

甲 19

犬の低体温麻酔法に関する研究

信田卓男

麻布獣医科大学家畜外科学教室

主任：北昂教授

犬の低体温麻酔法に関する研究

信 田 卓 男

麻布獣医科大学家畜外科学教室

主任 北 昂 敦 捷

目 次

緒 言

10 - 11

1 ~ 10

第 1 章

11 ~ 36

低体温麻酔法の検討および低体温麻酔の
生体における影響

第 1 節 実験材料ならびに方法

第 2 節 実験成績

(1) 第 1 実験

(2) 第 2 実験

第 3 節 小括

第 2 章

47 ~ 82

低体温麻酔下の完全血行遮断と心蘇生法
の検討

第 1 節 実験材料ならびに方法

第2節 実験成績

- (1) 第1実験(用チバマッサージ群)
- (2) 第2実験(哥流群)

第3節 小括

第3章

83 ~ 105

低体温麻酔・完全血行遮断下の左右心房
開心術

第1節 実験材料ばかりに方法

第2節 実験成績

- (1) 右心房切開群
- (2) 左心房切開群

第3節 小括

第4章

106 ~ 126

低体温麻酔・完全血行遮断下の右心室開
心術

第1節 実験材料ばかりに方法

第二節 実験成績

第三節 小括

総括ならびに考察

167 ~ 161

結論

162 ~ 166

参考文献

Figure.

Table.

緒 言

低体温麻酔法とは、温血動物の体温を人为的に低下させ、それに対隨して生じる組織代謝率の低下および酸素消費量の減少を利用して、常温の生体では生理学的に実施する、とが不可能な外科手術を可能にする手術補助手段の一方方法である。すなわち、3分間以上の血行遮断を伴なう外科手術および脳、心臓、肝臓などの*Digital organ*の外科手術には、一時的に生体機能を停止あるいは代行する必要があり、その一方方法として、体温の降低によりその目的を達するものである。

したがって、低体温麻酔法は、目的とする手術により多くの種類があげられる。まず、低体温麻酔を冷却手段の差異によって分類すると、表面冷却法 (external surface cooling), 体腔冷却法 (body cavity cooling), 血液冷却法 (blood cooling) などに分けられる。さらには、これらは細分して、たとえ

ば、表面冷却法のうちでも氷水冷却法、冰嚢冷却法、空気冷却法、Blanket 冷却法、体腔冷却法では、胸腔冷却法、胃内冷却法など多様な冷却法が考案されていふ。また、低体温麻酔は、冷却する温度の差異によつても分類され、SWAN (1962) は、 $37\sim28^{\circ}\text{C}$ を軽度低体温 (moderate hypothermia), $28\sim20^{\circ}\text{C}$ を中等度低体温 (intermediate hypothermia), $20\sim0^{\circ}\text{C}$ を高度低体温 (deep hypothermia), 0°C 以下の氷結レベルを極度冷却 (super cooling), それ以下のレベルを凍結すものを freezing とし、LITTLE (1959) は、 $37\sim32^{\circ}\text{C}$ を軽度低体温 (light hypothermia), $32\sim26^{\circ}\text{C}$ を中等度低体温 (moderate hypothermia), $26\sim20^{\circ}\text{C}$ を高度低体温 (deep hypothermia), 20°C 以下のレベルを極度低体温 (profound hypothermia) と定義していふ。また、本邦の岡村は、人達の臨床的見地から、自発呼吸下で管理でき $37\sim25^{\circ}\text{C}$ までの段階を單に低体温 (hypothermia) とし、それ以下のレベルを極度低体温 (profound

(8)
hypothermia) としている。また、単に表面冷却のみで低体温にする方法を單純低体温法(simple hypothermia)、体外循環の補助で行なう方法を体外循環併用低体温法としている。このように、低体温麻酔法には多くの種類があり、人医界においては、実験および臨床に広く活用されたり。しかし、獣医界においては、その應用は少なくて、今だ臨床應用はなされたりまじ。

低体温麻酔を歴史的にみると、古くはHIPPocrates の時代にまでさかのぼり、もはやこの時代から医療効果を目的として局所的に人体の体温を下げる試みがなされていたといわれたり。しかし、系統的に低体温麻酔が研究されようにはなつたのは、比較的新しいことである。1921年、HEYMANS は、血液を冷却または加温する二点により、史上はじめて生体の体温を調節する試みを行なつた。また、SMITH は、癌治療の目的で患者を冷却し、A. ALBOTT は初めて "Hypothermia" なる術語を

紹介していさ。その後、1940年には、TEMPLE FAY が、人体の直腸温を 23°C まで降下させることに成功し、近代医学への低体温麻酔の応用を亦唆していさ。

一方、心臓外科学領域に低体温麻酔が応用されようとしていたのは、さうに時日を経過してからである。1950年、BIGELOW は、体温を 25°C まで冷却して15分間の血行遮断に成功し、低体温麻酔による心臓手術の可能性を示唆した。また、LEWIN は、1953年に体表面全体を冷却する表面冷却法によって、心房中隔欠損症の根治手術に成功し、さらに同年、GIBBON が体外循環による開心術の成功例を報告するに至って、人医界においては1950年代に低体温麻酔による心臓外科学の歴史が始まっていさ。⁹³⁾ 李邦^{ヒューリー}によれば、本邦の脳灌流冷却法、神原、織田らの軽度低体温法およびこれらに低流量^{100~115}の体外循環法を加味した方法、渡辺、岡村らの表面冷却のみによる超低体温法などが報告され、低体温麻酔法は113~130

段階を経て発展し、現在では、人医界において広く應用されるに至つてゐる。

低体温麻酔に関する概念は、研究者によりたりの相違がみられる。R. W. VIRTUE は、その著書 *Hypothermic Anesthesia* のなかで、『低体温 (Hypothermia)』とは、温血動物での体温を正常以下に低下させた状態をさし、“低体温麻酔 (Hypothermic Anesthesia)” は、低温によって無痛覚と意識の消失を起させるとしてある』と述べてゐる。この理論は、主として米国で發展した低体温麻酔法の根本的概念であり、*Physiologic Principles of Surgery*、その他多くの成書にも、“寒冷または低温は、それ自体ひとつの中れた麻酔剤である”との記載がみられる。これに対し、フランスの LABORITT は、侵襲に対する生体の過剰反応を抑制する状態を得ることを目的とし、phenothiazine誘導体を使用して、いわゆる薬物冬眠に端を発する人工冬眠法の概念を提倡した。これは、侵襲に対する生体反応の抑制とは

かり、過分なエネルギー消費を制限するためには、薬物冬眠に冷却法を併用すると、いう理論である。一方、本邦の人医における低体温の研究者である岡村は、これらの理論に対し、hypothermic anesthesia の概念である「低体温による起きた麻酔状態の利用」は、生体の体温で 30°C 前後までが限界であるとした。そして、理論的に正しく、さらに低体温による利点を利用するためには、寒冷という温血動物に対する大きな stress から生体を保護して、低温へ導入することが肝要であると、いう理論を展開した。それゆえに、低体温麻酔を実施する上で最も重要な点は、低体温自体の麻酔力を利用するのではなく、低温状態にさらされた生体の管理と処置にあるとしている。

以上がえって、歎医外科領域における低体温麻酔の研究をみると、人医界のそれに比較して極めて低调であり、報告例も非常に少な
い。本邦においては、黒川らが、1964年以降

ントバルビタールの静脈内麻酔と純酸素の吸入により表面冷却法を行はし、心臓手術への低体温麻酔の応用を試みた。しかし、黒川らは、その報告の中で、犬においては、体温 25°C の低体温麻酔は可能であるが同様の低体温麻酔下での血行遮断下開心手術は不可能に近いと述べており、臨床的に応用することは可能では犬の低体温麻酔は、表面冷却法で $28\sim30^{\circ}\text{C}$ が適当で、それ以下は危険であるといふ結論をだしている。その後、現在までほぼ10年を経過したが、わが国の獣医界においては、低体温麻酔法に関する報告はみられていない。さらには、海外における報告をみても、軽度低体温法により、血行遮断下で10~20分以内の開心手術に成功した報告例はみられるが、低体温麻酔による長時間の完全血行遮断下で開心手術に成功した例はみられていない。このように、獣医学領域において、長時間の完全血行遮断による開心手術が不成功に終つている理由は、動物独自の低体温麻酔法に

関する基礎的な研究が不十分である」と、および、DIRTUE らの低体温理論を中心であり、冷却中の生体の管理を軽視してしまふなどがその大きな原因をほしていふものであると考えられる。

低体温麻酔法は、体外循環法などに比較して、高価な器具・器材あるいは多數のスタッフを必要とせず、cannulation やその他複雑な操作も不要である。また、それに併隨して無血静止状態で広い術野が得られると、この最大の利点を有していふ。したがつて、急速に発展しつつある我が国の獣医臨床の分野、とくに小動物臨床においても、近々将来、心臓外科、脳外科の分野における必要欠くべからざる手術の補助手段となる可能性が極めて大きいと考えられる。

特に近年、小動物臨床においては、外科的治療を必要とする心疾患の報告例が増加し、それによもよつて、これらの疾病に対する外科的治療の要求度も増大する傾向にある。一

方では、心疾患に関する experimental surgery におけるも、長時間にわたる直視下の開心手術の必要性が急速にわかつてゐる。このようすは観点からみれば、犬における低体温麻酔法の確立は、獣医学ならびに実験外科学において極めて重要であり、貢献度の高いものであると推察される。

そこで著者は、1時間前後の完全血行遮断および開心手術を可能にする、犬の低体温麻酔法を確立する目的で、その基礎的研究を企画した。

本論文の第1章においては、生体を冷却するときに生じる各種の反応を観察する目的で、ペントバルビタール麻酔の下により犬を冷却し、その間の生体反応を把握した。そして、各種の予備実験と文献的には考察を加え、低体温時の生体反応に対する補正手段を検討し、体温 21°C レベルの低体温状態が安全に得られる犬の低体温麻酔法を試作した。ついで、第2章、第3章、第4章においては、試

作した低体温麻酔法の安全性をさらに検討するとともに、同低体温麻酔下において、如何にわたり完全血行遮断、右心房開心術、左心房開心術、右心室縦切開術、右心室横切開術をそれぞれ実施し、その实用性をも検討した。その結果、犬において、体温 31°C レベルの1時間にわたり低体温状態が安全に得られかつ、その間に如何に間前後の完全血行遮断、左右心房開心術、右心室開心術が可能か、犬の低体温麻酔法を考案するに至った。

第1章

低体温麻酔法の検討および低体温麻酔の 生体に及ぼす影響

温血動物の体温を降下させると、ある一定の臨界温度を境として死への転機をたどる。低体温麻酔は、この臨界限界を人為的に広げようとするより、通常では生命に危険をおよぼす低体温状態を安全に確保すると、さうした意義を有しており、そのためには、低体温状態の生体をいかに管理するかによつて低体温麻酔の良否が決定される。

本章においては、第1実験として、pentobarbitalのみを投与した犬を体温が 31°C にならまで冷却し、臨界温度を越えて死に至るまでの生体反応を電気生理学的、血行動力学的、血液生化学的見地から観察した。そして、第2実験では、第1実験の結果および文献的考察、予備実験の結果から試作した犬の低体温

麻酔法を用いて、同じく実験犬を体温 21°C まで冷却し、第1実験の成績と比較検討した。

第1節 実験材料ならびに方法

1. 実験材料

実験材料は、神奈川県犬管理センターより入手した推定年令1才の雑種成犬で、血液検査、血液ガス分析、心電図検査等により健康と認められたものの10例を使用した。なお、そのうちわけは、オ、実験で雄3例、雌2例の計5例（体重11～13.5kg・平均12.2kg）、オ又実験で雄1例、雌4例の計5例（体重6.5～12.5kg・平均9.6kg）である（Table I.）。

2. 実験方法

(1) 第1実験

実験犬は、実験の12時間前より絶食させ、熟睡導入良好にするために、体表面を剪毛した。ついで、pentobarbital sodium 25mg/kgを静脈内に投与して全身麻酔を施し、大腿動脈に大腿動脈圧、中心静脈圧測定用のöDMAN

LEDIN catheter を挿入した。その後は、全身を
ビニールシートで被覆し、4°C の氷水槽に浸
漬して食道温(以下 E.T.)が 21°C に到達する
まで体表面冷却を行なった。E.T. が 21°C に到
達したのちは、体表面冷却を中止し、室温中
(16 ~ 24.5 °C・平均 20.2 ± 3.1°C) に放置して
経過を観察した。

(2) 第2実験

実験犬は、第1実験と同様に実験の12時間
前より絶食させ(Fig. 1)。導入麻酔の1時
間前に前投薬として hydroxyzine hydrochloride
(Atarax P) 0.5 mg/kg, atropine sulfate 0.025
mg/kg, 20 分前に trifluromazine hydrochloride
(Desprin) 0.5 mg/kg, atropine sulfate 0.025 mg
/kg., hydroxyzine hydrochloride 0.5 mg/kg, hyd-
rocortisone sodium succinate (Solu-CORTEF)
10 mg/kg を筋肉内に投与した。

→ “” thiopental sodium (Rabonal) 15
~ 20 mg/kg を静脈内に投与して導入麻酔を行な
う。ただちに気管チューブを挿管した(Fig. 2)。

その後は、trifluoperazine hydrochloride 0.5 mg/kg の追加投与を行なう。succinyl cholin-chloride (Succin) 0.5 mg/kg を静脈内に投与して肋間筋を弛緩させ、hyper ventilationを行なうながら、急速に ether を吸入させて維持麻酔を行なつた。ether 麻酔は、AKOMA 速科工業 EM-A 吸入麻酔器を用い、semi-closed circuit の "wick type" の vaporizer を使用した。麻酔深度が GVEDEG (1920) の分類で 3 期 3 相に到達した時点で、ビニールシートに全身を被覆し、氷水槽に浸漬して、E.T. 21°C 手で冷却した (Fig. 3)。なお、冷却中は、大脳静脈に挿入して catheter を用いて、血液希釈を目的に 10% の low molecular weight dextran 10 ~ 15 ml/kg を点滴注入し、E.T. 20°C の時点での micro embolism の防止を目的に heparin sodium 1 mg/kg を静脈内に投与した。冷却後は、15 ~ 25.5°C (平均 20.8°C ± 3.8°C) の室温に 1 時間放置してのち (Fig. 4)、42 ~ 44°C の温水槽に浸漬して、E.T. 26°C に到達するまで加温し

た。加温中は heparin sodium に拮抗させる目的で E.T. 25~30°C に復温された時点で *p*-rotamine sulfate (1.5 mg/kg.) を静脈内に投与した。また、Base Excess が -10 mEq/l 以下となるときは、適時 7% sodium bicarbonate solution で補正した。

復温後は、通常の術後管理を行はし、3日間にわたりて観察した（Fig. 6）。sodium pentobarbital 麻酔下 (25 mg/kg. I.P.) で放血し剖検にふした。

なお、以上の実験を通じ、食道温 26°C 間隔ごとに以下の検査項目を観察記録した。

心電図： 福田エレクトロ社製の二要素交流連記式心電計 R-200S を使用し、誘導法は肢誘導の II 誘導を用い、記録紙の搬送速度は 50 mm./sec. , $1 \text{ mV} = 10 \text{ mm.}$ で記録した。また、次の実験においては、A-B 誘導，A-B 増高単極誘導，肢誘導，胸部 単極誘導，胸部 単極補助誘導を用い、低体温麻酔後 2 時間までの

経過を観察した。T₁ が、体温温麻酔中に記録し下肢誘導Ⅱの心電図にて P, PQ, QRS, QT, TP の各 duration を計測した。

血圧： 大腿動脈から挿入した catheter と、それぞれ strain gauge pressure transducer と接続し、三栄測器社製 Digiograph FR-201 によって大腿動脈圧、中心静脈圧を記録した。

血液ガス諸量： 血液ガスの分析は、ILX-1A 社製の IL Micro pH and Blood Gas Analyzing system Model 113-S 2型を使用し、動脈血および静脈血の血液酸素分圧（以下 P_0_2 ），血液炭酸ガス分圧 (PCO_2)，ならびに血液 pH を測定した。測定に用いた血液は、動静脉血各 1.5 ml で、大腿動脈、中心静脈から catheter を経由して採血し、0.08 ml の heparin sodium で凝固防止したものを使用した。

血液検査： 血液検査は、赤血球数、白血球数、血球比容積比、血色素量、血清総蛋白量、ルゴール反応、ならびに血液比重を測定した。

第2節 実験成績

(I) 第1実験

第1実験においては、体温の降下にとまばら生体の諸反応を純粹に観察する目的で、実験犬を pentobarbital sodium のみにより全身麻酔し、E.T. 21°Cまで冷却して、その間の生体機能の変化を観察した。

表面冷却により、体温を 21°C まで降下させることに要した時間は、84 ~ 135 分（平均 110 ± 16.4 分）であり、体温の降下度は、 $0.15^{\circ}\text{C}/\text{min}$ であった。冷却中は、E.T. が 25°C となるごとに、ほとんどどの例で shivering が発生し、E.T. 29°C に至るまで継続した。呼吸は、冷却初期から E.T. 25°C に至るまで、回数は増加し浅表となつたが、その後は漸次減少する傾向を示し、E.T. $23.0 \sim 25.0^{\circ}\text{C}$ （平均 $23.9 \pm 0.3^{\circ}\text{C}$ ）で呼吸停止がみられた（Table 1）。

1. 心拍数の変化

心拍数は、実験前値が 110 ± 15 回/min., pentobarbital 麻酔後は 172 ± 7.9 回/min. である。だが、冷却を開始するとともに増加し、E.T. 35°C では 189.8 ± 18.8 回/min. となる。その後は、体温が降下するとともに心拍数も減少する傾向を示し、E.T. 33°C では 162.8 ± 17.5 回/min., E.T. 27°C では 85.8 ± 13.8 回/min., E.T. 23°C では 42.8 ± 8.7 回/min., E.T. 21°C では 24.8 ± 9.0 回/min. となる。E.T. 21°C 以後は、冷却を中心にして室温中に放置したが、全例が 1 分間に 10 回以下の極度な徐脈を呈し、No. 1, 2, 3 は心室細動に、No. 4, 5 は心停止に移行して死亡した (Fig. 7, Table 9)。

2. 心電図の変化

心電図の変化としては、Fig. 8 に示すとく、E.T. 35°C から E.T. 29°C にかけて shivering による基線の動搖がみられ、E.T. 29°C 以後は、体温の降下とともに PQ, QRS, QT の持続時間の延長がみられた。E.T. 21°C の時高において

では、大部分の例で、PRの極度の延長(0.8秒以上), ST-Tの変化が認められ。E.T. 20°C ベルにおいては、No. 1, 2, 3 で心室細動、No. 4, 5 では心停止に移行した。

3. 血圧の変化

(1) 大腿動脈圧

大腿動脈最高血圧の変化は、Fig. 9 に示すところである。大腿動脈最高血圧の実験前値は、 $137.0 \pm 11.2 \text{ mmHg}$ であったが、冷却を開始するとともに上昇する傾向を示し、E.T. 25°C では $147.9 \pm 21.2 \text{ mmHg}$ となつた。その後は、冷却による体温の降下とともに減少し、E.T. 31°C で $130.8 \pm 21.1 \text{ mmHg}$, 27°C で $122.7 \pm 14.5 \text{ mmHg}$, 23°C で $104.1 \pm 25.4 \text{ mmHg}$, 21°C で $68.7 \pm 23.3 \text{ mmHg}$ となつた。E.T. 21°C 以後は、冷却を中心とした室温中に放置したが、冷却中止後10分における $32.3 \pm 10.5 \text{ mmHg}$ と極度に減少し、そのまま回復の傾向をみずには全例が死亡した (Fig. 9, Table 10)。

(2) 中心静脈圧

中心静脈圧は、Fig. 10 に示すごとく、実験前値が $0.13 \pm 0.5 \text{ mmHg}$ で、冷却を開始してからも E.T. 27°C の時もまではほぼ一定の値を示した。しかし、E.T. 25°C 以後においては、上昇する傾向に転じ、E.T. 23°C で $7.2 \pm 3.1 \text{ mmHg}$ 、E.T. 21°C で $10.2 \pm 1.8 \text{ mmHg}$ となつた。(Table 11)

4. 血液ガス諸量の変化

(1) 血液酸素分圧 (PaO_2)

大腿動脈血の酸素分圧(以下 PaO_2)は、実験前値が $85.6 \pm 2.9 \text{ mmHg}$ であり、冷却開始後においても E.T. 35°C で $89.4 \pm 9.7 \text{ mmHg}$ 、 29°C で $94.8 \pm 10.4 \text{ mmHg}$ 、 25°C で $88.8 \pm 17.9 \text{ mmHg}$ とほぼ一定の傾向を示した。しかし、E.T. 23°C 以後においては急激に減少する傾向を示し、E.T. 23°C で $45.8 \pm 15.9 \text{ mmHg}$ 、 21°C で $22.4 \pm 6.2 \text{ mmHg}$ と極度 arterial hypoxia の様相を呈した(Fig. 11)。

中心静脈血の酸素分圧(以下 PvO_2)は、 PaO_2 とほぼ同様の傾向を示し、E.T. 23°C において $29.2 \pm 2.3 \text{ mmHg}$ 、 21°C において $21.8 \pm 3.5 \text{ mmHg}$

と減少した。

(2) 血液炭酸ガス分圧 (PCO_2)

大腿動脈血の炭酸ガス分圧は、Fig. 12 に示すごとく、実験前値が $45.0 \pm 4.7 \text{ mmHg}$ であったが、冷却による体温の降下とともに増加する傾向を示し、E.T. 35°C では $56.5 \pm 14.7 \text{ mmHg}$ 、 27°C では $70.0 \pm 12.4 \text{ mmHg}$ 、 25°C では $83.0 \pm 13.1 \text{ mmHg}$ 、 21°C では $99.7 \pm 0.5 \text{ mmHg}$ と hypercapnia の様相を呈した。

中心静脈血の炭酸ガス分圧についても、 $PaCO_2$ とほぼ同様の傾向を示し、体温の降下に伴う CO_2 の蓄積する傾向を示した。

(3) 血液pH

大腿動脈血pHは、実験前値が 7.34 ± 0.07 であったが、冷却による体温の降下とともに低下し、E.T. 35°C では 7.28 ± 0.03 、 27°C では 7.06 ± 0.12 、E.T. 25°C では 6.99 ± 0.03 、E.T. 21°C では 6.84 ± 0.05 と、極度の acidosis を呈した (Fig. 12)。また、中心静脈血pHについても、ほぼ同様の傾向が観察された。

(4) Base Excess (B.E.)

大腿動脈血の PCO_2 , pH, Hb. から算出された B.E. は、Fig. 13 に示したごとく、体温の降低とともに減少した。実験前の B.E. は、 -2.7 ± 1.7 mEq/l であったが、E.T. 35°C では -6.3 ± 2.2 mEq/l, 27°C では -15.2 ± 4.5 mEq/l, 23°C では -15.5 ± 1.2 mEq/l と減少し、E.T. 21°C では -19.7 ± 2.6 mEq/l となつて、極度の metabolic acidosis を示した。

5. ヘマトクリット値の変化

ヘマトクリット値は、実験前値が 37.3 ± 9.5 % であり、冷却開始後においても、E.T. 31°C では 34.7 ± 12.2 %, 25°C では 36.3 ± 13.3 % とほぼ一定の傾向を示した。しかし、E.T. 23°C 以後においては急激に増加する傾向を示し、E.T. 23°C では 42.0 ± 7.3 %, 21°C では 45.0 ± 7.0 % と血液濃縮の傾向が認められた (Fig. 14)。

以上、オノ実験の結果から、pentobarbital 麻酔のオノナリ犬を冷却した場合には、E.T. 23°C

°C を境界として、心拍数、動脈圧、 P_{O_2} 、pH、B.E. の極度の減少、 PCO_2 、中心静脈圧、ヘマトクリット値の極度の増加が観察され。E.T. 20°C レベルにおいては、全例が死亡するところが確認された。そして、体温の降下により死に至る生体の反応の主なものはとては、hypoxia, hypercapnia, 極度の metabolic acidosis, 血液濃縮および末梢循環不全があげられ。最終的には、心室細動、心停止により死亡するところが確認された。

(II) オヌ実験

オヌ実験では、オ1実験の成績および文献的考察、予備実験の結果から、著者が試作了犬の低体温麻酔法 (Table 2.) を用い、オ1実験と同様に実験犬の体温を 31°C まで降下させ、その安全性を検討し、あわせて、オ1実験の成績と比較した。

オヌ実験において、体温を 21°C まで降下させるのに要した冷却時間は、 $64\sim101$ 分 (平均 77.0 ± 14.9 分) であり。体温の降下度は、P-remedication から ether 麻酔の導入までに平均 2.35°C (直腸温), 冷却を開始してからは、 $0.164^{\circ}\text{C}/\text{min.}$ である。すながわ、E.T. $24.0\sim27.0^{\circ}\text{C}$ (平均 $26.1 \pm 1.2^{\circ}\text{C}$) の時点での自発呼吸の停止がみられた。

E.T. が 21°C となる時点での冷却を中止し、その後はオ1実験と同様に室温中に放置したが、この場合、E.T. $0.4\sim1.6^{\circ}\text{C}$ after drop がみられ、最低体温は E.T. $19.6\sim21.0^{\circ}\text{C}$ (平均

$20.3 \pm 0.7^{\circ}\text{C}$ となつた。なお、この状態で室温
に 1 時間放置したが、オノ実験のとく死亡
する例は 1 例もみられず、食道温で平均 0.64
 $^{\circ}\text{C}$ の回復がみられた。

つづいて、 $32 \sim 34^{\circ}\text{C}$ の温水に全身を浸漬し?
加温したが、その場合、E.T. $0.152^{\circ}\text{C}/\text{min}$. の割
合で体温の回復がみられ、E.T. $26.5 \sim 28.0^{\circ}\text{C}$
(平均 $27.2 \pm 0.6^{\circ}\text{C}$) の時点では自発呼吸が再現
した。E.T. $23 \sim 24^{\circ}\text{C}$ では、shivering が著
いた。顎筋緊張、咽喉頭反射、眼瞼反射等の
生体反応も著明となつた。E.T. が 35°C に復温
されたのちは、 $25 \sim 157$ 分 (平均 67.6 ± 51.8 分)
で全例に意識の回復が認められ、起立運動が
みられた。なお、実験終了後は、 $24 \sim 36$ 時間
後まで倦怠感、脱力感がみられた例があつた
が、これらの症状は徐々に回復し、 $48 \sim 72$ 時
間後においては、全例が実験前の状態に回復
した (Table 3)。

1. 心拍数の変化

心拍数の変化は、実験前値が 105.6 ± 2.3 回/min. であるたゞ、麻酔導入前にかけ *premedication* で 199.2 ± 28.0 回/min., ether 麻酔時にかけて 184.0 ± 29.0 回/min. に増加した。しかし、冷却を開始するとともに漸次減少する傾向を示し、E.T. 25°C では 80.2 ± 3.5 回/min., 21°C では 58.0 ± 6.0 回/min. に減少した。さらば、冷却を終了後においては、最低で 40.5 ± 3.6 回/min. にまで減少した。室温に放置すると徐々に心拍数の回復がみられた。ついで、加温を行なうと、体温の回復とともに心拍数も回復する傾向を示し、E.T. 23°C においては 62.2 ± 4.5 回/min., 25°C では 71.2 ± 11.6 回/min. となり、E.T. 27°C の時 101.8 ± 3.9 回/min. とほぼ実験前の値に回復した。その後は、E.T. の回復に伴なつて心拍数は増加する傾向を示し、E.T. 33°C では 155.8 ± 11.0 回/min., 35°C では 176.0 ± 5.0 回/min. となつた。なお、実験後、24, 48, 72 時間後においては、ほぼ実験前の心拍数と同様の値を示した。

(Fig. 7, Table. 9)。

2. 心電図の変化

冷却または加温時を通じて記録した敗誘導正の心電図では、大部分の例が洞調律で経過し、少く実験にかられたようだ。心室細動かより心停止はかられなかつた (Fig. 15-1, 2, 3)。各棘波の duration および interval は、体温の降下とともに延長し、復温するにしたがつて実験前値に向復してゆく傾向が著明であつた。各棘波の duration および interval について、実験前の値を 100%としてその変動を観察してみると、つきのとおりである。

(1) P 波

P 波の duration は、冷却の開始とともに延長し、冷却終了後、室温に放置してから 40 分を経過した時点では、 $220.8 \pm 12.0\%$ となつた。しかし、加温を開始するとともに、duration の延長は回復する傾向を示し、E.T. 25°C において $79.7 \pm 12.6\%$ 、E.T. 32°C においては $108.4 \pm 4.2\%$ とほぼ実験前の値に回復した。なお、

実験終了後の 24, 48, 72 時間値は、実験前値とほぼ同様である (Fig. 16, Table 4)。

(2) PR 間隔

PR 間隔は、premedication を行なつて時点では $87.1 \pm 12.7\%$ 、ether 麻酔時では $85.1 \pm 5.1\%$ と短縮する傾向がみられたが、冷却を開始すると漸次延長し、E.T. 23°C では $158.2 \pm 17.0\%$ を示した。室温に放置したのち、20 分後に $112.0 \pm 27.0\%$ と最も延長したが、その後においては漸次回復する傾向を示し、加温を行なつて E.T. 29°C に達した時点では実験前値に回復した。なお、実験終り、48, 72 時間の PR 間隔は、実験前の値とほぼ同様であった (Fig. 17, Table 5)。

(3) QRS 持続時間

QRS 群の duration は、premedication と ether 麻酔時において変化がみられたが、冷却を開始した時点から延長の傾向を示す。室温に放置後 40 分を経過した時点では $246.3 \pm 41\%$ と最も duration が延長した。その後は、回

復する傾向に転じ、加温時 E.T. 31°C の時点では $106.0 \pm 13.4\%$ とほぼ実験前の値に回復した。実験後 24, 48, 72 時間ににおける QRS 群の duration は、実験前の値とほぼ同様である (Fig. 18, Table 6)。

(4) QT 間隔

QT 間隔は、premedication の時点では $81.0 \pm 6.3\%$, ether 麻酔時にかけては $95.0 \pm 15.4\%$ と短縮する傾向がみられた。しかし、冷却を開始すると漸次延長する傾向に転じ、E.T. 23°C に体温が降下した時点では $254.7 \pm 6.8\%$, 室温に放置後 50 分値にかけては $280.3 \pm 30.0\%$ となつた。加温過程においては、体温の回復とともに QT 間隔の延長も回復する傾向を示し、E.T. 23°C の時点では $263.7 \pm 23.4\%$, E.T. 31°C の時点では $134.8 \pm 7.9\%$ となつた。実験後 24, 48, 72 時間の QT 間隔は、ほぼ実験前の値と同様である (Fig. 19, Table 7)。

(5) TP 間隔

TP 間隔は、premedication において $27.5 \pm 12.5\%$

, ether 麻酔において $26.0 \pm 19.3\%$ と著しく短縮する傾向がみられた。しかし、冷却を開始すると漸次延長する傾向を示す。E.T. 29°C では $23.3 \pm 9.0\%$, 27°C では $55.0 \pm 7.1\%$, 25°C では $114.6 \pm 22.2\%$ を示した。室温放置後においては、50分値で最も延長し $230.1 \pm 49.7\%$ を示した。その後、加温を開始すると、延長したTP間隔は短縮し始め、E.T. 23°C の時点で $110.2 \pm 24.6\%$ を示し、ほぼ実験前の値に回復したが、その後はさらに短縮する傾向を示し、E.T. 27°C では $49.0 \pm 9.3\%$, E.T. 31°C では $78.9 \pm 11.4\%$, 25°C では $24.8 \pm 10.3\%$ と著明なTP間隔の短縮がみられた。実験後は、24時間値で $78.5 \pm 12.5\%$, 48時間値で $79.3 \pm 16.4\%$, 72時間値で $64.6 \pm 27.8\%$ を示し、実験前の値よりも短縮する傾向がみられた (Fig. 20, Table 8)。

以上のようす、premedication, ether 麻酔、冷却からびへ加温の経過における心電図では、各棘波の duration および interval において

著明な変動がみられ、これらの変動は、体温の変化とほぼ平行する傾向がみられた。なお、気管チエーブを挿管し下段は、多くの例で肺性P波が認められ、加温時E.T. 25~27°Cの時点での棘波のみられた例があつた(Fig. 15-3)。また、1例で寒温板置時10~30分の時点に心房性期外収縮、心室性期外収縮、上室性期外収縮など刺激生成異常が認められた。

実験終了後以降、約2時間に記録したA-B誘導、A-B増高單極誘導、腹誘導、胸部單極誘導、胸部單極補助誘導における心電図では、実験前記録した心電図と比較してほとんど差異は認められなかつた。

3. 血圧の変化

(1) 大腿動脈圧

大腿動脈最高血圧は、Fig. 9 に示すごとく体温の低下に比例して減少し、体温の上昇とともに回復する傾向が認められた。

ether 麻酔時の値は、 137.0 ± 32.5 mmHg であ

→ 下が、冷却による体温の降下とともに減少し。E.T. 27°Cでは、 110.0 ± 25.0 mmHg, 23°Cでは 94.3 ± 25.2 mmHg, 21°Cでは 82.6 ± 20.7 mmHgとなる。室温放置後では、20分過後にかゝりて最低の 84.8 ± 22.8 mmHgを示したが、その後は次第に回復する傾向がみられた。ついで、加温を行なうと、E.T. 27°Cまでは回復の傾向がみられ 97.1 ± 23.2 mmHgを示したが、その後においては一過性に下降し、E.T. 29°Cの時点で 91.9 ± 17.4 mmHgを示した。しかし、加温過程が進行するにつれて、再び回復する傾向を示し、E.T. 31°Cでは 96.8 ± 25.3 mmHg, 33°Cでは 113.7 ± 29.9 mmHg, 35°Cでは 141.6 ± 33.6 mmHgとなる。→ ほぼ実験前の値に回復した(Table 10.)。

(2) 中心静脈圧

中心静脈圧は、ether 麻酔時が 0.5 ± 0.8 mmHg、である。下が、冷却による体温の降下とともに増加し、E.T. 33°Cでは 1.6 ± 1.3 mmHg, 27°Cでは 4.3 ± 1.9 mmHg, 25°Cでは 4.8 ± 1.6 mmHg, 21°Cでは 5.9 ± 1.8 mmHgを示した。

冷却を終り室温に放置したのちは、20分値で $5.8 \pm 1.1 \text{ mmHg}$ 、40分値で $6.0 \pm 1.8 \text{ mmHg}$ 、60分値で $5.6 \pm 2.1 \text{ mmHg}$ と高値を示した。

加温過程においては、体温が回復するとともに、中心静脈圧も冷却前の値に復帰する傾向を示し、E.T. 25°C では $5.1 \pm 2.0 \text{ mmHg}$ 、 29°C では $4.0 \pm 1.5 \text{ mmHg}$ 、 35°C では $1.1 \pm 1.2 \text{ mmHg}$ となつた (Fig. 10, Table 11)。

4. 血液ガス諸量の変化

(1) PaO_2

PaO_2 は、実験前値が $92.8 \pm 12.1 \text{ mmHg}$ であるが、ether と oxygen の混合吸入麻酔を開始すると同時に急増し $476.6 \pm 32.8 \text{ mmHg}$ を示した。冷却開始後においては、体温の低下に比して上昇する傾向を示し、E.T. 25°C では $625.4 \pm 58.9 \text{ mmHg}$ 、 21°C では $660.0 \pm 30.0 \text{ mmHg}$ となつた。室温放置時ににおいては、大きな変動はみられず、わずかに増加の傾向を示した。

加温過程においては、体温の回復とともに PaO_2 も減少する傾向を示し、E.T. 25°C では、

$579.8 \pm 28.6 \text{ mmHg}$, 31°C では $500.2 \pm 23.8 \text{ mmHg}$, 35°C では $488.4 \pm 21.1 \text{ mmHg}$ と T_{E} の T_{E} (Fig. 11)。

(2) P_{vO_2}

中心静脈血の P_{vO_2} は、前述した PaO_2 に比較して ether やび oxygen の \pm 吸入麻酔の影響は少なくて、麻酔時の P_{vO_2} は $69.6 \pm 14.7 \text{ mmHg}$ と実験前値の $45.6 \pm 12.2 \text{ mmHg}$ に對して軽度の増加を示すにすぎない、 T_{E} 。しかし、冷却を開始するとともに急激な増加の傾向を示す。E.T. 29°C では $302.3 \pm 23.3 \text{ mmHg}$, 21°C では $260.0 \pm 22.1 \text{ mmHg}$ を示す。 T_{E} の後、室温放置時は時間の経過とともに減少する傾向を示し、60分値では $269.5 \pm 43.6 \text{ mmHg}$ と T_{E} , T_{E} 。

加温過程では、体温の回復とともに実験前値に復帰する傾向を示す。E.T. 25°C では $248.6 \pm 64.1 \text{ mmHg}$, 31°C では $195.4 \pm 41.5 \text{ mmHg}$, 35°C では $157.9 \pm 37.8 \text{ mmHg}$ と T_{E} の T_{E} が、 159.7°C 室温放置後20分値は 45 mmHg と低値を示す。加温時においてそれが持続する例がみられ T_{E} 。

(3) PaCO_2

大脳動脈血の PaCO_2 は、実験前値における $38.4 \pm 3.2 \text{ mmHg}$ であったが、ether 吸入麻酔を開始するとともに $22.4 \pm 6.8 \text{ mmHg}$ と減少する傾向を示し、それ以後、冷却、室温放置、加温の各過程を通じ $20 \sim 25 \text{ mmHg}$ の値を示した (Fig. 12)。

(4) PvCO_2

中心静脈血の PvCO_2 も、前述した PaCO_2 とほぼ同様の変化を示し、第 1 実験にから以下より T_f 、 PCO_2 の極度の増加は観察されなかつた。

(5) pH

pH は、実験前値が 7.44 ± 0.05 であったが、冷却による体温の降低とともに減少する傾向を示し、E.T. 25°C で 7.27 ± 0.12 、 23°C で 7.18 ± 0.04 となつた。その後は、室温放置時から加温初期の E.T. 25°C まで回復する傾向を示し、ほぼ実験前値に回復したが、加温過程が進行するにつれて再び減少する傾向を示すと、E.T. 31°C の時点では 7.28 ± 0.09 を示した。

(Fig. 13)。

(6) rPH

rPH は、前述した aPH とほぼ同様の変化を示し、オクシゲン化水素濃度が減少するに伴う冷却過程における pH の極度の低下は観察されなかつた。

(7) Base Excess (B.E.)

動脈血の PCO_2 、 pH から算出した $B.E.$ は、実験前値が $-3.3 \pm 2.5 mEq/l$ であったが、冷却による体温の降低とともに減少する傾向を示し、E.T. $22^{\circ}C$ では $-10.6 \pm 8.0 mEq/l$ 、 $25^{\circ}C$ では $-13.3 \pm 2.0 mEq/l$ となつた。室温放置時にあつては、一時回復する傾向を示したが、加温過程において再び減少する傾向を示し、E.T. $31^{\circ}C$ の時点では、最低値の $-15.9 \pm 4.9 mEq/l$ を示した。その後は、加温による体温の回復とともに $B.E.$ も回復する傾向を示し、E.T. $35^{\circ}C$ の時点では $-7.5 \pm 1.7 mEq/l$ となつた (Fig. 13)。

5. 血液性状の変化

(1) 血球血漿容積比 (Ht. 値)

Ht. 値は、実験前値が $39.6 \pm 1.0\%$ であった

が、体温の降低とともに減少する傾向を示し、E.T. 21°C の時では $31.1 \pm 2.6\%$ を示した。室温放置時ににおいては、ほぼ一定であるが、加温による体温の回復とともに、実験前値に復帰する傾向を示し、E.T. 25°C では $35.4 \pm 5.2\%$ 、 29°C では $35.7 \pm 4.0\%$ 、 35°C では $36.8 \pm 3.5\%$ となつた(Fig. 18)。

(2) 赤血球数

赤血球数の実験前値は $672\text{万} \pm 68\text{万}/\text{cm}^3$ であるが、低体温麻酔を行なつたの方は、24時間値が減少する傾向がみられ、 $524\text{万} \pm 56\text{万}/\text{cm}^3$ となる。その後、48、72時間値においては、それぞれ $524\text{万} \pm 48\text{万}$ 、 $545\text{万} \pm 31\text{万}/\text{cm}^3$ となり、大きな変動は認められなかつた(Fig. 21)。

(3) 白血球数

白血球数は、実験前値が $10660 \pm 3249/\text{cm}^3$ であるが、低体温麻酔を行なつたの方の24時間値ではかなりの増加がみられ、 $24080 \pm 7786/\text{cm}^3$ を示した。その後、48時間、72時間では、やや減少する傾向がみられたが、それぞ

此、 $23280 \pm 9833 \text{ cm}^3$, $21360 \pm 9707 \text{ cm}^3$ を示し、実験前値に比較して増加した (Fig. 22)。

(4) 血液比重

血液比重は、実験前値が 1.059 ± 0.0019 であったが、低体温麻酔後には減少する傾向を示し、24時間値では 1.052 ± 0.0085 , 48時間値では 1.052 ± 0.0053 , 72時間値では 1.051 ± 0.0029 となつた。

(5) 血清総蛋白量 (T.P.)

T.P. は、実験前値が $6.52 \pm 0.69 \text{ g/dl}$ であったが、低体温麻酔後には減少する傾向がみられ、24時間値では $6.00 \pm 0.84 \text{ g/dl}$, 48時間値では $6.36 \pm 0.83 \text{ g/dl}$, 72時間値では $6.04 \pm 0.34 \text{ g/dl}$ を示した。

(6) 血色素量

血色素量は、実験前値で $88.0 \pm 13.1\%$ を示したが、低体温麻酔後では減少する傾向を示し、24時間値では $69.2 \pm 6.1\%$, 48時間値では $65.4 \pm 3.5\%$, 72時間値では $68.6 \pm 13.0\%$ となつた。

(2) 白血球百分比

白血球百分比では、低体温麻酔後の24時間値で好中球の增多する傾向が認められた。好中球の実験前値は $77.8 \pm 6.7\%$ であるが、低体温麻酔後の24時間値では $84.8 \pm 0.5\%$ 、48時間値では $81.2 \pm 12.6\%$ 、72時間値では $80.9 \pm 4.2\%$ を示した。

(3) Lugo / 反応

血清のLugo / 反応は、実験前において全例が陰性であったが、低体温麻酔後では、5例中3例が陽性に転じ、24時間後まで持続した。

6. 割検所見

実験を終了後、24時間を経過した時点では、全例とも一般状態は実験前の状態に回復したため、安樂死とし、病理理解剖を行なった。

その結果、諸臓器には、著変は認められなかつたが、気管粘膜に出血斑、各肺葉の辺縁に充血の認められる例があつた。

以上、牛の実験においては、著者が牛の実

験の結果を参考にして試作した犬の低体温麻酔法を用いて、実験犬を食道温で 31°C まで冷却し、ついで室温中で1時間放置したのち復温して、その場合の生体の変化を観察した。その結果、著者が試作した低体温麻酔法では、体温降時に心拍数の減少、心電図における各波duration およびinterval の延長、大脛動脈圧の低下、動脈および静脈血PO₂の増加、血液pHおよびBase Excess の低下などが観察された。これらの変動は、冷却過程と加温過程において鏡像的なパターンを示し、復温後においては、すべての検査所見がほぼ実験前の値に回復した。また、低体温麻酔後3日間の観察を行なった結果では、1例の死亡例もみられず、全例が元氣・食欲を回復した。さらに、剖検による所見では、低体温麻酔の影響と思われる肉眼的所見は認められなかつた。

第3節 小括

第1章においては、体温 31°C レベルの1時間にわたり低体温状態が安全に得られた犬の低体温麻酔法を試作する目的で、雑種成犬10例を用い、第1実験、第2実験を企画した。

まず、第1実験では、対照群として pentobarbital のみで全身麻酔を実施した実験犬5例に対し、表面冷却を行なって体温を 31°C まで低下させて、その場合の生体機能の変化を観察した。その結果、全例が E.T. $21^{\circ}\text{C} \sim 20^{\circ}\text{C}$ に達した時点で心停止あるいは心室細動に陥り死亡した。その間の生体の変化としては、冷却初期 (E.T. $35 \sim 29^{\circ}\text{C}$) において、大脛動脈圧、心拍数の上昇、shivering が認められ代謝の亢進、産熱現象の発現が観察された。その後、冷却中期 (E.T. $29 \sim 25^{\circ}\text{C}$) においては、一時安定する傾向を示し、体温の降下に比例して諸現象が変化したが、冷却後期 (E.T. $25 \sim 23^{\circ}\text{C}$) になると、心拍数、大脛動脈圧, PO_2

● 血液 pH, Base Excess の極度の減少, PCO_2 , Ht. 値, 中心靜脈圧の極度の増加が観察され、循環器・呼吸器系の虚脱, 重度の代謝性 acidosis, 血液濃縮等が認められ全例が斃死した。また、E.T. 21°C 以下においては、体温の変換等の軽度の刺激により期外収縮やハ室細動が発現し、心筋の被刺激性の増大が示唆された。

そこで、サメ実験においては、サメ実験にみられたこれら諸変化を最少限にくいとめ、かつ安全に冷却が実施できるよう Table 2 に示した犬の体温温麻酔法を試作した。

● その概略は、つぎのとくである。

1. サメ実験でみられた冷却初期の心拍数、大腿動脈圧の上昇を、寒冷刺激に対する過度の交感神経系の緊張によるものと考え、これらの反応を抑制すべく、自律神経遮断薬を前投薬することとした。

2. 冷却初期の shivering による生じる酸素消費量の増加、組織代謝率の上昇を抑制し、

心筋の被刺激性に関する *catecholamine* の分泌を最少限にいくことをため、ether の深麻酔状態で冷却を実施することとした。

3. 冷却中にみられた血液濃縮を是正し、血液濃縮に伴なつて生じると予想される sludging, aggregation に対する目的で、低分子デキストラン液により冷却中は血液希釈を行はず。heparin もあわせて投与することとした。

4. 冷却中にみられた hypercapnia 等に対するは、人為的 ventilation を行はず。PCO₂ ベルを 20 ~ 40 mmHg に保つこととした。

5. 冷却後期にみられた重度の代謝性 acidosis に対するは、人医界で使用されていゝ了三村らの式を用ひ、7% bicarbonate solution により補正を行はずこととした。

6. 寒冷侵襲を受けまことより惹起されると予想され、下垂体-副腎皮質系の疲弊に対するは、hydrocortisone sodium succinate を投与することとした。

以上のようすは理論的背景の七と試作した

犬の低体温麻酔法 (Table 2) を用い、オメ実験では、オメ実験と同様に雑種成犬 5 例を用い、体温を 31°C まで低下させてその間の生体の変化を観察した。その結果、オメ実験におけることは、オメ実験にみられたようだ、心拍数、大腿動脈圧、 PO_2 、B.E.、 pH の極度の減少、 PCO_2 、Ht. 値、中心静脈圧の極度の増加は認められず、安定して冷却過程が観察された。また、E.T. 20°C レベルの 1 時間にわたる低体温状態を得たの方、復温してその後 3 日間の状態を観察したが、1 例の死亡例もみられず、全例が実験前の状態に回復した。

このように実験結果から、著者の試作した犬の低体温麻酔法によれば、実験犬を E.T. 21 ~ 20°C レベルまで冷却し、その状態で 1 時間放置しても、これらを加温することによって実験前の状態に回復させることが可能であると考えられた。

しかしながら、低体温麻酔の本来の目的は、外科手術の可能な範囲を拡大させることに

あり、その観点からすれば、本章の実験は生
体に手術侵襲を全く加えずにはいため、不十
分である。そこで、第2章においては、第2
実験で行はる低体温麻酔法を用ひ、低体温
下で開胸し、心臓を停止させ生体の血行を完
全に遮断し、初期の目的を達し得るかを検討
することとした。

第2章 低体温麻酔下の完全血行遮断と 心蘇生法の検討

オノ章の成績から、著者の方針によれば、犬においてもE.T. 20~21°Cレベルの1時間による体温状態が安全に得られることが確認され、かつ復温するところにより実験前の状態に回復することができ判明した。

そこで、本章においては、著者の低体温麻酔法により、体温の状態において長時間(約分以上)による心停止下の完全血行遮断が可能であるか否かを検討することとし、オノ実験、オノ実験を企画した。

また、オノ実験では、オノ章と同様の低体温麻酔下において、開胸し、平均41.5分間の完全血行遮断を実施して、心蘇生が可能であるか否かを検討した。

ついで、オノ実験においては、オノ実験の成績を参考にして考案した著者の酸素加血冠

灌流法を用い、同様の低体温麻酔下において長時間の血行遮断を実施し、その後の心蘇生の可能性を検討した。

第1節 実験材料ならびに方法

1. 実験材料

実験材料は、神奈川県犬管理センターより入手した推定年令1才の雑種成犬で、血液検査、血液ガス分析、心電図検査等により健康と認められたその14例を使用した。なお、そのうちわけは、第1実験で雄6例、雌8例の計14例（体重8.5～13.5kg・平均11.7kg）、第2実験で雄4例、雌6例の計10例（体重7～10kg・平均8.9kg）である。

なお、第2実験においては、血液交叉試験により実験犬の血液と適合した雑種成犬6頭を別に用意し、頸動脈から冠灌流に使用する血液（約600ml/head）を採取した。

2. 実験方法

(1) カ1実験

オ1章のオ2実験と全く同様の体温過麻酔法を用い、E.T.が21°Cに到達するまで冷却を実施した。

ついで、冷却を終了したのちは、右第5肋間下には胸骨縦切開により開胸し心臓を露出したのち、前大静脈、後大静脈、奇静脉、肺動脈ならびに大動脈に綿糸または綿テープを装着した(Fig. 23)。そして、それぞれの綿糸下には綿テープを閉鎖して、生体の血行を完全に遮断した。なお、血行遮断と同時に、動脈用注射針を用い、大動脈起始部に平均0.76 mlの心停止液(Table 12)を注入し、人為的に心停止を行なった。使用した心停止液は、potassium citrate 0.81 g, magnesium sulfate 2.46 g に distilled water を加え 100 mlとし、sodium bicarbonate で pH を 7.4 に補正したものである。

そして、このままで完全血行遮断・心停止

の状態で 20 ~ 63 分（平均 41.5 分間）室温中に放置した。

ついて、所定の時間が経過したのちには、生理食塩水 20 ml を用いて冠洗浄を行はし、用手心マッサージを行はしながら、岡村氏心蘇生液 No. 2 (Table 12) を平均 1.1 ml/kg の割合で左心室腔内に注入した。そして、心室細動の頻度が増加したときでは、electric defibrillator を使用し電気的除細動を行はして心蘇生を行なつた。

(2) 第 2 実験

第 1 章と同様の方法で体温麻酔を行はし、E.T. が 23 °C に到達するまで氷水槽内で冷却したのち、手術台上に保定し、平圧下で右第 5 肋間を開胸した。ついて、第 1 実験と同様の方法で心臓に起始する大血管を閉鎖し、生体の血行を完全に遮断したのち、あらかじめ大動脈起部に挿入しておいた catheter から心停止液を急速に注入し、人為的に心停止を行な

つた。そして、このまゝなば停止・完全血行遮断の状態で平均28.2分間、室温中に放置した。

ついで所定の時間が経過したのは、前もって大動脈起部に挿入しておいたcatheterと右心室に挿入した右心vent用のcatheterを用いて酸素加血液の冠灌流を実施した。なお、冠灌流に使用した血液は、血液交叉試験の結果、実験犬の血液と適合した動脈血であり、Fig. 24に示す如く血液酸素加装置を用いて十分にoxgenate したものを使用した。

このまゝ冠灌流法により、心拍動が再開し下の方は、血行遮断を解除し通常の方法で開胸したのち、42~44℃の温水槽で、E.T.が25~36℃に回復するまで加温した。心蘇生後においては、意識の回復がみられるまで適宜に生体のPHを補正し、強心処置ならびに輸血を実施した。

なお、以上の実験を通じ、全経過にわたつ

て、心電図、大腿動脈圧、中心静脈圧、血液

が入分圧、血液pH、Base Excess等を測定し
生体の機能を観察した。

第2節 実験成績

(1) 第1実験(用手心マッサージ群)

低体温麻酔により体温を 21°C に降下させると
のに要した時間は、59~119分(80.8 ± 18.6 分)
であり、E.T. $29 \sim 24.0$ ($25.7 \pm 1.5^{\circ}\text{C}$)に降下
した時点で自発呼吸の停止がみられた。

冷却を中止して室温に放置するとE.T. 20.2
 $\sim 2.5^{\circ}\text{C}$ ($1.0 \pm 0.7^{\circ}\text{C}$)のafter dropがみられ、
最低体温は $19.0 \sim 22.2^{\circ}\text{C}$ ($20.5 \pm 1.2^{\circ}\text{C}$)とな
った(Table 13)。この間に万ケ子、心電図、
大腿動脈圧、血液ガス、血液pHならびにBase
Excessの変化としては、第2実験(第1章)
の場合と同様の傾向が認められた。

本実験においては、冷却したのち室温に放
置していき間に開胸し、前大静脈、後大静脈
、奇靜脈、肺動脈ならびに大動脈にtapingを行なって、 $20 \sim 63$ 分(37.6 ± 15.9 分間)の心停止
下完全血行遮断を実施した。開胸およびtaping

に用いた時間は 20~38 分 (28.9 ± 6.3 分) であった。

Taping を行なってそれぞれの血管を閉鎖し、血行を遮断すると同時に、大動脈起部の穿刺によって心停止液を冠動脈内に注入した。

この場合に使用した心停止液の量は、6~12 ml (8.9 ± 1.8 ml)/head であり、その結果、注入後 1 分以内に心拍動の完全停止がみられた。

なお、完全血行遮断は 20~63 分 (37.6 ± 15.9 分) にわたって行なつたが、その間に体温は緩徐ながら回復する傾向が認められた。

平均 41.5 分間の血行遮断を行なつたのちは、これを解除して停止した心臓の蘇生を試みた。心蘇生には、岡村の心蘇生液を 5~20 ml (13.1 ± 6.3 ml)/head 使用したのち、58~110 分 (90.3 ± 40.1 分間) のバマッサージを行なつた。除細動には、110~120 V · 0.1 sec. の条件で 10 数回にわたり counter shock を実施した。

このような方法で心蘇生を試みた結果、心拍動の再開は、E.T. 22.2~23.0 °C、血行遮断の解除後 2~4 分の時点では 8 例中 2 例 (25%) みら

れ下が、約5～30分間持続したのち、再び心室細動に移行した。なお、他の6例は、まつたく心拍動の再開がみられなかつたが、この場合、用手心マッサージを継続し加温を行なうと、全例にvital signが認められ、特に腹筋の緊張、shivering、瞳孔反射が明瞭に観察され下 (Table 13)。

実験の終了後、剖検を行はって肉眼的変化を観察した結果では、心外膜下、心内膜下に出血斑、肺水腫、肝臓・腎臓・脾臓に高度のうつ血が認められ、長時間にわたる心マッサージの影響が示唆され下。また、大動脈壁には、穿刺による生じたと思われる偽動脈瘤が全例に認められ下。

以上、本実験におけることは、第1章・第2実験で考案した低体温麻酔法を行い、低体温状態の生体に長時間の完全血行遮断を行はり、その後に心蘇生が可能であるか否かを検討した。その結果、8例中2例に心拍動の再開をみ下が、他の例では心室細動を除去するこ

がでさず、心拍動が再開した例についても再び心室細動に移行し、結局のところ心蘇生は得られなかつた。

しかし、用手心マッサージを継続し、加温を行なうことによつて余例に明瞭な vital signs が観察されており、長時間の血行遮断後においても、脳組織の機能は温存されていまとが示唆された。

このようば実験の成績から、完全な心蘇生が得られなかつた原因として、つきのことが推察された。

① 開胸の際に胸骨縦切開を行なつた場合、術野が狭少なため、十分な用手心マッサージを行なうことが困難である。また、この方法では、心蘇生時に仰臥位にあるため、心尖部が椎骨側へ下垂し、その結果、冠循環の不全をきたしやすく、心蘇生を困難とする一因となる。

②、大動脈起部を穿刺して心停止液を注入する方法では、心臓の保定位置によつて大動

脈起始部が捻轉し、左右の冠動脈内へ均等に心停止液を注入することができ困難となる。したがって、この場合には完全な心停止を得るまでに要する時間が延長し、anoxic arrestの傾向が増大するため、心筋に与えるdamageを増加して、心蘇生に影響をおぼす。

③ 大動脈穿刺による心停止液の注入法は、その後に偽動脈瘤を形成する危険がある。

④ 心蘇生時にに行なった生理食塩水20mlによる冠洗浄では、冠動脈内の心停止液を完全に排除することができ困難であり、また、用手心マッサージのみによる心蘇生活法は、確実性に乏しく、心筋への機械的な損傷も大である。

以上のような観点から、低体温麻酔下における長時間の血行遮断後にあって、心蘇生率を向上させよためには、心停止液の注入方法に改善を加えると同時に、心蘇生時に冠動脈内の心停止液を完全に排除し、かつ適正な冠循環量を保持する方法を考案する必要があると考えた。

2. 第2実験(冠流群)

第1実験では、用チバマッサージおよびCO₂-unter shockを行なって心蘇生を試みたが、いずれの例も完全な心蘇生は得られなかつた。しかし、第1実験の成績から、その原因の主なものとしては、低体温麻酔法自体ではなく心停止液の注入方法と長時間にわたる用チバマッサージおよび心蘇生時の冠縮環不全によると考えられた。

そこで、第2実験では、ÖDMAN-LEDIN catheter を大腿動脈経由で逆行性に大動脈起始部に挿入し、このcatheter を使用して冠動脈への心停止液や心蘇生液の注入を行なうこととした。また、さらに、この実験では、心蘇生時の冠縮環を確保し、バマッサージに要する時間を短縮させる目的で、Fig. 27 に示したような装置を考案し、酸素加血液をもつて冠流を行ない、心筋への十分な酸素供給を行なって心蘇生を行なうこととした。

著者実験では、低体温麻酔によりE.T.を23°Cまで低下させるのに要した時間は、60~81分(61.7±12.1分)であり、冷却の経過中には、E.T. 25~27.2°C (26.1±1.1°C) の時点での自発呼吸の停止がみられた。ついで室温に放置したのちは、E.T. 0.9~2.5°C (1.7±0.5°C) の after drop がみられた。この場合、最低体温は、E.T. 20.5~22.1 (21.3±0.5°C) であった。

冷却を終了したのちは、ただちに右第5肋間を開胸し、さきに述べた方法で血行遮断を行なった。開胸に要した時間は21~34分(26±3.8分)であり、血行遮断時のE.T.は21.6~21.4°Cであった。心停止には、著者実験で用いたものと同一組成の心停止液を8~13ml(10.6±2.0ml)/head 使用した。

心蘇生時の冠循環を確保するためには使用した酸素加血液の冠流量は、90~160ml(115±24.3ml)/head で、注入速度は1.54ml/sec.であつた。なお、著者の考案した装置により、5分前後の酸素ガスの送風により、血液のガス

分圧は、 P_{O_2} が $180 \sim 225 \text{ mmHg}$ 、 PCO_2 が $14 \sim 80 \text{ mmHg}$ から pH が 7.3 となつた。

完全血行遮断時間は、 $33 \sim 46$ 分 (38.2 ± 4.7 分) であり、使用した心蘇生液の量は $10 \sim 19.5 \text{ ml}$ ($14.5 \pm 4.2 \text{ ml/head}$) であった。

心蘇生は、1 ~ 18回 (4.8 ± 6.6 回) の counter shock を行なつた結果、全例に心拍動の再開がみられた。この場合、血行遮断解除から心蘇生によるまでに要した時間は、 $3 \sim 48$ 分 (12.3 ± 16.1 分) であり、心拍動が再開した時点のE.T.は、 $20.5 \sim 23^\circ\text{C}$ ($21.6 \pm 0.89^\circ\text{C}$) であった。心拍動の再開後から開胸操作に要した時間は、 $26 \sim 54$ 分 (38.5 ± 23.2 分) であり、加温には $117 \sim 152$ 分 (131.5 ± 12.2 分) を要した。なお、自発呼吸は、加温時においてE.T. $23 \sim 28^\circ\text{C}$ ($26.3 \pm 1.1^\circ\text{C}$) の時点で再開した。

復温後においては、全例が意識を回復し、心拍動の再開から意識の回復までの間を要した時間は、 $190 \sim 279$ 分 (267.7 ± 77.6 分) であった (Table. 14)。

ほか、No. 2, No. 3 の 2 例は、特別な術後管理を必要とせずに回復し生存した。他の例は、心蘇生後 8 時間で 1 例、1 日後に 1 例、2 日後にも 2 例死亡した。

この実験経過における生体機能の変化は、つぎのとおりである。

1. 心拍数の変化

実験前値は、 98.0 ± 9.2 回/min. であったが、premedication や ether 麻酔により増加し、 196.8 ± 42.6 回/min. を示した。冷却を開始すると体温の低下とともに減少する傾向を示し、E.T. 25°C では 80.0 ± 8.3 回/min., 23°C では 60.9 回/min. となつた。

その後は、前述の方法により、血行遮断を行ない、所定の時間が経過した後に血行遮断を解除して心拍動の再開を試みたが、遮断を解除した直後は、期外収縮の発生の下の心拍数は不整であった。

心拍動が安定し、加温を開始すると、体温

の回復とともに心拍数も回復する傾向を示し

E.T. 25°C では 29.3 ± 14.4 回/min., E.T. 29°C では 108.9 ± 10.7 回/min. と実験前値に復帰した。その後は、体温の回復に伴って心拍数も増加する傾向がみられ、E.T. 31°C では 150.2 回/min., 35°C では 165.0 ± 22.7 回/min. を示した (Fig. 25, Table 9)。

2. 心電図の変化

各棘波における duration と interval の変化は、第 1 章・第 2 実験の場合と同様であり、冷却による体温の低下とともに duration の延長がみられ、加温によつて実験前値に回復する傾向が著明であつた。

各棘波における duration および interval を計測し、実験前の値をそれぞれ 100% としたときの変化は、つきのとおりである。

(1) P 波

P 波の duration は、体温の降低に比例して延長し、E.T. 35°C では $128.0 \pm 16.4\%$, E.T. 29°C では $171.8 \pm 22.3\%$, 23°C では $246.7 \pm 64.5\%$ を示した。

血行遮断を解除し心拍動が再開したのちは、E.T. 23°C の時点では P 波の duration が最も延長し、 $202.4 \pm 32.1\%$ と T_{pre} より大。ついで、加温による体温の回復とともに実験前の値に回復する傾向がみられ、E.T. 29°C の時点では、 $135.4 \pm 25.8\%$ 、E.T. 25°C では $104.6 \pm 11.4\%$ でほぼ実験前の値に復帰し、長時間の血行遮断による影響は観察されなかつた (Fig. 26)。

(2) PQ 間隔

PQ 間隔の変化は、冷却による体温の降下とともに延長し、E.T. 27°C では $131.1 \pm 25.6\%$ 、E.T. 23°C では $165.1 \pm 35.2\%$ であった。

血行遮断を解除し心拍動が再開したのちは、E.T. 23°C では $141.0 \pm 17.6\%$ 、E.T. 29°C には $118.6 \pm 18.1\%$ でほぼ実験前の値に回復した。その後は、漸次短縮する傾向を示し、E.T. 25°C の PQ 間隔は $84.3 \pm 11.0\%$ と T_{pre} より大 (Fig. 27)。

(3) QRS 群

QRS 群の duration は、premedication T_{pre} より大に ether 麻酔の時点では変化がみられたか

→ たが、冷却を開始すると次第に延長する傾向を示し、E.T. 29°Cでは $154.5 \pm 36.2\%$ 、E.T. 23°Cでは $217.5 \pm 39.0\%$ であった。

血行遮断を解除し心拍動が再開したのちに加温すると、QRS群のdurationはE.T.の回復とともにあって実験前の値に回復する傾向を示し、E.T. 35°Cの時点では実験前値に復帰した(Fig. 28)。

(4) QT間隔

QT間隔は、premedication時で $74.1 \pm 4.1\%$ 、ether 麻酔時では $95.0 \pm 19.7\%$ と短縮する傾向を示したが、冷却を開始するとともに漸次延長し始め、E.T. 23°Cでは $264.9 \pm 54.2\%$ となつた。加温においては、E.T. 23°Cで $268.7 \pm 42.5\%$ 、29°Cでは $163.9 \pm 24.7\%$ で加温とともに回復する傾向を示した。なお、E.T. 35°Cの時点でのQT間隔は、 $109.3 \pm 28.7\%$ を示し、ほぼ実験前の値に復帰した(Fig. 29)。

(5) TP間隔

TP間隔は、premedicationの時点では 17.3

$\pm 12.3\%$, ether 麻酔の時点では $17.4 \pm 8.0\%$ で著明な短縮がみられた。冷却を開始し体温が降下はじめると TP 間隔は漸次延長し、E.T. 29°C では $23.7 \pm 10.0\%$, E.T. 23°C では $103.6 \pm 17.8\%$ となつた。

血行遮断を解除し、心拍動が再開して E.T. 23°C の時点では、 $104.5 \pm 25.1\%$ を示し、加温によって体温が回復するにしたがい、短縮する傾向がみられた (Fig. 30)。

なお、心停止液を用いて任意に心拍動を停止させた時の心電図は、Fig. 31-2 に示したところである。心停止液を注入した直後におけることは、QRS 群の duration が延長はじめ、amplitude は減少し、ついで QRS 群が消失して P 波のみとなり、完全房室 block を経て心停止に移行した。

また、心蘇生時ににおける心電図は、Fig. 31-3 に示したところ、counter shock の直後は種々の部位から発生する刺激生成異常の状態を示すが、この状態は数分以内で安定し、E.

T. 23°C の時点では大部分の例が洞調律に回復した。また、加温中にあつては、E.T. 23~27°C の時点において R 麻酔 noch のみられた例が多かつたが、E.T. 35°C に復温された時点では、ほぼ実験前の心電図に回復した (Fig. 31-4)。

3. 血圧の変化

(1) 大腿動脈最高血圧

大腿動脈最高血圧は、第1章・第2実験の成績と同様に、冷却が進行するにつれて低下し、加温を行なって体温が回復するにつれて血圧も回復する傾向がみられた。

ether 麻酔時の大腿動脈圧は、 118.9 ± 10.5 mmHg であり、冷却による体温の低下とともに減少して、E.T. 23°C の時点では 97.3 ± 14.5 mmHg を示した。

血行遮断を解除し心拍動が再開したのちは、 59.1 ± 7.4 mmHg と低値を示したが、加温による体温の回復とともに血圧も回復する傾向を示し、E.T. 25°C の時点では 60.9 ± 16.9 mmHg, 31°C では 95.5 ± 21.2 mmHg, 35°C では 119.6 ± 21.3 mmHg

と実験前値に復帰した (Fig. 32, Table 10)。

(2) 中心静脈圧

中心静脈圧は、ether 麻酔時が -0.73 ± 1.6 mm Hg であったが、冷却による体温の低下とともに増加し、E.T. 23°C の時点では 6.1 ± 2.0 mmHg を示した。

血行遮断後は、心拍動の再開した直後に 5.9 ± 2.8 mmHg を示したが、その後は回復する傾向を示し、加温時の E.T. 25°C では 4.2 ± 2.0 mmHg, 31°C では 2.3 ± 1.8 mmHg, 35°C では -0.36 ± 1.3 mmHg とほぼ実験前値に回復した (Fig. 33, Table 11)。

4. 血液ガス諸量の変化

(1) PaO_2

PaO_2 は、第 1 章・第 2 実験の成績と同様に ether の吸入麻酔を開始するとともに急増し、実験前値では 85.7 ± 7.1 mmHg であったが、吸入麻酔時には 532.5 ± 65.2 mmHg を示した。

冷却を開始してからは、体温が低下するにつれて PaO_2 も増加し、E.T. 29°C の時点で

は $605.8 \pm 58.8 \text{ mmHg}$, 25°C では $653.3 \pm 61.1 \text{ mmHg}$ を示した。

ついで、開胸し血行遮断を行なうと、25分値において $256.7 \pm 95.3 \text{ mmHg}$ に減少したが、血行遮断を解除し心拍動が再開すると再び増加する傾向を示し、E.T. 23°C の時点においては $619.0 \pm 120.1 \text{ mmHg}$ を示した。その後は、加温による体温の回復とともに減少する傾向を示し、E.T. 31°C では $455.0 \pm 85.3 \text{ mmHg}$, 35°C では $401.7 \pm 90.1 \text{ mmHg}$ となつた (Fig. 38)。

(2) PvO_2

PvO_2 は、実験前値が $30.9 \pm 2.1 \text{ mmHg}$ であり、吸入麻酔時には $79.9 \pm 19.2 \text{ mmHg}$ に增加了。

冷却を開始すると、 PaO_2 と同様に増加する傾向を示し、E.T. 29°C では、 $287.5 \pm 112.1 \text{ mmHg}$, 25°C では $367.8 \pm 163.1 \text{ mmHg}$ となつた。

血行を遮断したのちは、25分値において $102.0 \pm 60.1 \text{ mmHg}$ を示し、血行遮断により静脈内の PO_2 が急激に減少することが観察された。

遮断を解除し心拍動が再開したのちは、低

値を示し、E.T. 25°C では $63.2 \pm 20.1 \text{ mmHg}$, 31°C では $57.3 \pm 19.3 \text{ mmHg}$, 25°C では $47.7 \pm 20.1 \text{ mmHg}$ と、動静脈血の酸素分圧較差の増大が認められた (Fig. 3x)

(3) PaCO_2

PaCO_2 は、実験前値が $26.2 \pm 3.4 \text{ mmHg}$ であったが、冷却を開始すると増加する傾向を示し、E.T. 29°C では $39.1 \pm 8.8 \text{ mmHg}$ と Td > Tc。その後は、冷却が進行するにつれて実験前値に回復する傾向を示し、E.T. 25°C では $28.8 \pm 9.3 \text{ mmHg}$ となつた。

血行遮断を行なつてから、心拍動が再開すると、 PaCO_2 は減少する傾向を示し、加温過程の E.T. 23°C の時点では $15.3 \pm 8.6 \text{ mmHg}$ と最低値を示した。その後は、E.T. が 25°C に回復するまで 20 mmHg 前後で変動し、E.T. 25°C の時点では $19.0 \pm 7.3 \text{ mmHg}$ を示した (Fig. 3x)。

(4) PvCO_2

PvCO_2 は、 PaCO_2 とはほぼ同様の変化を示して推移した。実験前値は $40.7 \pm 19.3 \text{ mmHg}$ であり、

吸入麻酔を開始すると急激に減少し、 $32.2 \pm 21.1 \text{ mmHg}$ を示した。冷却過程においては、E.T. 29°C における $40.7 \pm 8.5 \text{ mmHg}$ を実験前値に回復したが、その後は、体温の低下とともに再び減少し、E.T. 25°C の時点では $34.8 \pm 9.8 \text{ mmHg}$ を示した。血行遮断を行なつたのちの加温過程では、 30 mmHg 前後で推移し、著変は認められなかつた (Fig. 34)。

(5) apH

apH は実験前値が 7.47 ± 0.03 であり、冷却による体温の低下とともに減少し、E.T. 29°C の時点では 7.38 ± 0.07 を示した。その後は、E.T. 25°C の時点、 7.37 ± 0.09 と一時回復する傾向がみられたが、血行遮断を行なうことにより再び低下し、25分値においては 7.27 ± 0.12 となつた。

血行遮断を解除し、心拍が再開したのちは、7% sodium bicarbonate solutionによる補正を行なうと、E.T. 23°C の時点において apH は 7.49 ± 0.07 に回復した。その後は、加温に

よる体温の回復とともに再び減少する傾向を示し、E.T. 27°C では 7.41 ± 0.1 、E.T. 31°C では 7.42 ± 0.09 を示した (Fig. 24)。

(6) vPH

vPH は、Fig. 24 に示すとおり、ほぼ apH の変化と一緒にいた。しかし、血行遮断下での 25 分値では 7.26 ± 0.09 を示し、 apH に比較して減少の程度は軽度であった。

(7) B.E.

B.E. は、実験前値が $-3.23 \pm 1.1 \text{ mEq/l}$ であったが、ether の吸入麻酔および冷却による体温の降下により減少する傾向を示し、E.T. 35°C では $-8.42 \pm 2.3 \text{ mEq/l}$ 、23°C では $-9.50 \pm 3.5 \text{ mEq/l}$ を示した。

その後は、血行遮断を行なうことによりさらには減少し、25 分値では $-12.4 \pm 6.4 \text{ mEq/l}$ を示した。

血行遮断を解除し心拍動が再開したのち、加温による体温の回復とともに B.E. も回復する傾向を示し、E.T. 23°C の時点では $-10.4 \pm$

3.4 mEq/l , 29°C では $-9.3 \pm 1.8 \text{ mEq/l}$, 35°C では $-5.5 \pm 2.3 \text{ mEq/l}$ となり。ほぼ実験前の値に復帰した (Fig. 24)。

5. Ht. 値の変化

Ht. 値は、実験前値が $39.8 \pm 6.1\%$ であり、ether 麻酔により $35.4 \pm 4.9\%$ を示した。

冷却を開始したのは、体温の降下に比例して減少する傾向を示し、E.T. 23°C の時点では $33.6 \pm 4.3\%$, 25°C では $28.2 \pm 3.9\%$ となつた。血行遮断を解除し心拍が再開したのは、

E.T. 23°C の時点では $34.5 \pm 4.3\%$ と一時回復したが、体温の回復とともに再び減少し、E.T. 27°C では $30.2 \pm 2.4\%$, 33°C では $31.5 \pm 3.2\%$, 35°C では $29.4 \pm 5.3\%$ を示した (Fig. 25)。

6. 割検所見

実験の終了後は、酸素テント内に 5~6 時間いたって収容し、その後は特別な術後の療法を行なわずに無処置で放置した。だが、

実験後に斃死した 4 例については、死後 1~3 時間以内に剖検し、他の生存例 (2 例) に

対しては実験後 8 日目に sodium pentobarbital 麻酔下で放血し、剖検に至った。以下、生存時間による、8 時間生存例、24~48 時間生存例、1 週間以上の生存例にかけて剖検所見を記載する。

(1) 心蘇生後・8 時間生存例 (No 1, 6)

胸腔内には、鮮紅色の血液 300~500 ml の貯留を認め、気管粘膜には点状の出血斑、肺の辺縁部は肺氣腫が認められた。ほか、他の諸臓器は貧血色を呈していた。

(2) 24~48 時間生存例 (No 4, 5)

胸腔内には、血液および血液凝塊を 200~300 ml 認め、右肺、右心室、右心房壁に癒着が認められた。気管粘膜には、出血斑がみられ、肺は水腫様を呈し、辺縁部には気腫が認められた。

(3) 1 週間以上の生存例 (No 2, 3)

心臓壁、心膜、右肺、右胸壁の粘膜に癒着を認めたのみで、肉眼的には他の諸臓器に異常は認められなかつた。

第3節 小括

本章においては、オノ章・オヌ実験で考案した著者の低体温麻酔法の安全性を確認し、かつ、本法により長時間の完全血行遮断が可能であるか否かを検討する目的で、オノ実験、オヌ実験を企画した。なお、低体温麻酔下で長時間の完全血行遮断を成功させたためには、低体温麻酔法の良否もさることながら、任意心拍動停止法、心蘇生法など直視下心内手術を行なうに際しての基礎的事項についても検討を加える必要がある。そこで、本章においては、それらについてもあわせて検討を加えた。

まず、オノ実験においては、オノ章で述べた著者の低体温麻酔法のもとに、20分以上における長時間の完全血行遮断をおこない、その可能性および問題点について検討した。

まず、心臓へのアプローチの方法であるが、犬においては胸郭の解剖学的形態からして

胸骨縦切開法により胸腔内に広い術野を得ることは困難であった。また、胸骨縦切開法の場合、手術時に実験犬は仰臥位となるため、心尖部が椎骨側に下垂し、その結果、大動脈弓の弯曲度が増して、心蘇生時に冠循環不全をきたす状態が観察された。したがって、このような点から、犬における長時間の完全血行遮断を伴う心臓手術に際しては、人医界で一般に広く應用されていきる胸骨縦切開法は不適当であると思われた。

任意心拍動停止法について岡村は、長時間の血行遮断中には心臓を停止した状態で保つほうが、electricalとmuscularのcardiac activityを休止させ子ほり、metabolic activityをも低下させ、心蘇生の過程を有利に導くことを証明している。本章のオ、実験においては、0.81% potassium citrateと2.46% magnesium sulfateの溶液でpHを7.3に補正した心停止液を使用し、岡村らの注入方法により任意心拍動停止法を実施した。その効果は、岡村らの

報告にあるように極めて良好で、注入後 5~60 秒以内に完全な心停止が得られたが、注入方法につき若干の問題点があげられた。それは、心停止液の注入に際して行なう大動脈壁の穿刺により、穿刺部に直径 5~10 mm の偽動脈瘤 (aneurysm spurium) を形成することと、穿刺に際して大動脈を挙上するため、大動脈起部が捻轉し、左右の冠動脈へ均等に心停止液が注入されないとある。それがためか、実験の成績では、実験例により心停止液の使用量および心停止までの所要時間に差異がみられた。MERRITT は、理想的な任意心拍動停止法の条件のひとつとして cardiac arrest を速やかにさすことをあげている。そのためには、比較的短時間に冠動脈内へ一定量の停止液を注入する必要があり、穿刺に用いられる注射針の口径もできる限り大きなもののが要求される。しかし、犬においては、ヒトに比較して大動脈壁が脆弱であるため、大動脈穿刺による注入法に危険性を有しており、

また、注入の正確性からみて改善を要するものと思われた。

ついで、心蘇生法については、本章のオノ実験で行なった方法は、岡村らの方法を追試するため、生理食塩水20mlによる冠洗浄と岡村式心蘇生液No.2、および用キ心マッサージによる方法であった。実験の成績は、8例中2例に心拍動の再開がみられたが、心拍が再開した例でも5~20分後に心室細動に移行し、この方法では、完全な心蘇生は得られなかつた。岡村らは、この方法によればヒトにおいて心蘇生液の注入後、数分間のマッサージで心拍動が出現すると報告している。しかし、本実験の結果から推察すると、この成績は心蘇生液の注入するタイミングや心マッサージの技術的熟練度によつてかなりの相違を示し、心マッサージの際に少しでも心臓が捻轉したり冠血管が屈曲すると心蘇生は困難となる。将来の臨床応用を考えると、とくに専門心臓外科領域においては、体重3~6kgの

先天性心疾患の幼犬が本法の対象となる可能性が強いことを考慮するならば、このような症例に対し胸腔内に術者の片手を完全に挿入しておこなう心マッサージは不可能に近い。したがって、長時間の血行遮断後に用いる心蘇生法は、心マッサージの技術や方法によつて左右されることがなく安定して心蘇生が得られる方法の考案が必要であると考えられた。

そこで、本章のオム実験においては、前述したごとき問題点を改善するため、酸素加血液の冠灌流法を考案し、実験に供した。

その結果、著者の低体温麻酔法により得られた、E.T. 21°C レベルの低体温状態において平均38.2±4.7分間の完全血行遮断後に全例で心拍動の再開が認められ、復温するごとにより意識の回復をみるに至った。

オム実験における心拍数、心電図、大脈動脈圧ならびに血液ガス諸量、HT.値の変化は、つきのとおりである。

心拍数は、オム実験の成績と同様

に体温の降下とともに減少し、E.T. が 23°C に
降下した時点では、実験前値の $62.1 \pm 6.5\%$ と
なった。心拍動の再開後は、加温とともに順
調に回復し、E.T. 27°C の時点でほぼ実験前の
値に復帰した。心拍数に関しては、冷却およ
び加温の過程を通じ、血行遮断を行なわなか
った第1章の成績と全く同様の変化を示し、
長時間にわたる完全血行遮断の影響は観察さ
れなかつた。

心電図については、心蘇生後の加温時に期
外収縮などの刺激生成異常をみる例があつた
がほぼ順調に回復し、E.T. 25°C に加温された
時点では全例が洞調律に復帰した。なお、心
電図の波形上の变化は、血行遮断を行なわなか
つた場合と比較して差異は認められず、冷
却にともなつて生じた心臓周期の延長、房室
伝導速度および心室内伝導速度の遅延は、加
温とともに完全に回復した。これら心電図の
变化から推察すると、第2実験で行なつた長
時間の血行遮断および酸素加血液の冠流流法

は、心臓刺激伝導系および心筋に対する影響の少ないものであり、長時間の血行遮断とともに心筋細胞の anoxia を体温下においては惹起されないことが確認された。

大腿動脈圧に関しては、心拍の再開直後に実験前値の $38.6 \pm 3.4\%$ にまで低下したが、加温とともに順調に回復し、E.T. 25°C に復温された時点では実験前の値に復帰した。

血液ガス諸量の変化に関しては、血行遮断を行なわなかった場合に比較して、加温の過程において動静脈血酸素分圧差 ($A-V \text{ O}_2$ difference) が著しく増大した。この現象は、組織における酸素消費量が増加する場合 (demand anoxia) や末梢循環不全のために血液循環がうっ滞する場合 (stagnant anoxia) に発生するといわれている。本実験においては、加温にともなう体温の回復により組織における酸素消費量が増大し、さらには長時間完全血行遮断後における末梢循環不全が関与して $A-V \text{ O}_2$ difference が増大したものと考えられ

た。

以上、本章においては、著者の低体温麻酔法により、低体温状態を得たのち、長時間の完全血行遮断を行ない、その後、生存するか否かを検討した。その結果、オカ実験では、血行遮断を解除した後ににおいても心拍動の再開がみられず、全例が死せた。

次にオカ実験においては、オカ実験の成績を参考にして考案した酸素加血液の冠流流法を心蘇生に用いたところ、全例に心拍動の再開がみられ、加温することにより意識の回復がみられるまでになった。

これらの成績から、著者の低体温麻酔法に酸素加血液の冠流流法を併用することはより、犬においてE.T. 21°C レベルの低体温麻酔との時点で約60分間の完全血行遮断が可能であることが確認された。

第3章

低体温麻酔、完全血行遮断下の 左右心房開心術。

第1章および第2章において、著者の試作した犬の低体温麻酔法と酸素加血液の冠灌流液を併用することにより、E.T. 21°C ベルの低体温状態で約60分間の心停止下完全血行遮断が可能であることが確認された。

そこで、第3章においては、第1章、第2章と同様の低体温麻酔、完全血行遮断下で、左心房開心術、右心房開心術を実施し、その可能性を検討するとともに、心房開心術の生体に対する影響を観察した。

第1節 実験材料 がらくばい方法

1. 実験材料

実験材料は、神奈川県犬管理センターより入手した推定年令1才の雑種成犬で、血液検査、血液ガス分析、心電図等により健康と認められたもの10例を使用した。ほか、そのうちわけは、右心房切開群が雌5例（体重6～11kg・平均8.1kg）、左心房切開群が雄5例（体重6～12kg・平均8.2kg）の計10例である。

2. 実験方法

第1章と同様の低体温麻酔法により、E.T.を23℃まで降下させ、第2章と同様の方法により完全血行遮断、任意心拍動停止を行なったのち、右心房切開群では、後大静脈起部から右心耳に向う右心房切開を行ない、左心房切開群では、左心耳から左冠状動脈回旋枝に沿って左心房斜静脈辺縁に終る左心房切開を実施した。そして、両群とも平均25.4分間、

開心状態のままで放置してのち、心房の切開創を縫合し、酸素加血液の昇流と電気的除細動により心蘇生をはかり、その後は復温して意識が回復するまでの経過を観察した。

なお、以上の実験を通じ、サ1章、サ2章と同様の検査項目を観察記録した。

第2節 実験成績

(1) 右心房切開群

低体温麻酔により体温を 23°C まで降下させたのに要した時間は、54~92分（平均 69.2 ± 12.7 分）であり、冷却中は、E.T. $25.0 \sim 26.5^{\circ}\text{C}$ （平均 $25.5 \pm 0.7^{\circ}\text{C}$ ）の時点での自発呼吸の停止がみられた。冷却後、室温に放置したのちは、 $0.9 \pm 0.6^{\circ}\text{C}$ の after drop がみられ、それによると最も低い最低体温は E.T. $22.1 \pm 0.6^{\circ}\text{C}$ となつた。

冷却を終了したのちは、前述した方法により血行遮断、任意心拍動停止法を行ない、右心房の開心術を実施した。その間の血行遮断時間は 39.2 ± 3.6 分であり、開心時間は 35.2 ± 3.0 分であつた。なお、開心術中の心臓は、完全に停止状態であつた（Fig. 36）。

心房壁の切開創を縫合したのちは、酸素加血液の冠灌流法により心蘇生をはかった。冠灌流を開始すると、弛緩・停止状態にあつた心臓は力強く細動を発現し始め、1~2分（

平均 14 ± 0.5 分) ののちに全例で心拍動の再開が認められた。なお、心拍動が再開した時点のE.T.は $22.8 \pm 0.3^{\circ}\text{C}$ であり、冠灌流に使用した血液は $205 \pm 39.5 \text{ ml/head}$ であった。

ついて、閉胸後から復温に要した時間は、44~81分(平均 65.6 ± 13.8 分)であり、自発呼吸は、E.T. $26.5 \sim 29.5^{\circ}\text{C}$ (平均 $27.5 \pm 1.4^{\circ}\text{C}$)の時点で再開した。なお、心拍動の再開した時点から $205 \sim 270$ 分(平均 265 ± 39.5 分)後に全例で意識の回復が認められ、長期観察を目的に飼育しているNo3については、脳機能障害等の発生を認められず、現在、術後4ヶ月を経過したが、生存中である(Table 15)。

1. 心拍数の変化

心拍数は、実験前値が 121.0 ± 21.5 回/min.であったが、冷却を開始すると体温の低下に比例して有意に減少し、E.T. 29°C では 113.2 ± 12.2 回/min., 25°C では 67.8 ± 13.3 回/min., 23°C では 57.3 ± 9.6 回/min.を示した。開心術後は、心蘇生の直後に期外収縮の発生で不整となつた

が加温とともに回復する傾向を示し、E.T. 23 °C で 80.7 ± 11.4 回/min., 27 °C で 104.0 ± 16.2 回/min., 29 °C で 122.0 ± 8.1 回/min. と実験前値に復帰した。その後は、体温の回復とともに上昇する傾向を示し、E.T. 23 °C の時点では 140.0 ± 10.5 回/min., 25 °C で 174.0 ± 18.5 回/min. を示した (Fig. 37)。

2. 心電図の変化

冷却時の心電図は、第 2 章と同様、体温の降下に比例して duration および interval の延長がみられ、E.T. 23 °C の時点においても、全例が洞調律で経過し、心室細動等の発生はみられなかった。また、任意心拍動停止時においては、心停止液を注入後、1 ~ 2 心拍をかゝって cardiac standstill へと移行した。開心術後においては、心拍動の再開直後は房室解離や複数の部位から発生する期外収縮が認められるが、加温により体温が回復するとともに心電図も回復する傾向を示し、E.T. 25 °C の時点ではほぼ全例が洞調律を示した。なお、
no 2 の例においては、E.T. 27 °C の時点において

て心房細動が発生したが、電気的除細動により洞調律に復帰した (Fig. 38)。

3. 血圧の変化

(1) 大腿動脈圧

大腿動脈圧は、ether 麻酔時の最高血圧が $116.0 \pm 23.8 \text{ mmHg}$ 、最低血圧が $71.8 \pm 21.8 \text{ mmHg}$ であったが、冷却を開始すると体温の降下とともに減少する傾向を示し、E.T. 23°C では、最高血圧が $75.7 \pm 21.7 \text{ mmHg}$ 、最低血圧が $65.7 \pm 24.4 \text{ mmHg}$ を示した。開心術後は、心臓が洞調律に復帰するまで不安定であったが、その後は順調に向復する傾向を示し、加温時 E.T. 23°C の時点では、最高血圧が $60.5 \pm 16.9 \text{ mmHg}$ 、E.T. 27°C では $71.6 \pm 6.1 \text{ mmHg}$ 、E.T. 35°C では $104.5 \pm 28.7 \text{ mmHg}$ とほぼ冷却前の値に復帰した (Fig. 39)。

(2) 中心静脈圧

中心静脈圧は実験前値が $0.8 \pm 1.0 \text{ mmHg}$ であったが、冷却を開始すると上昇する傾向を示し E.T. 27°C では $2.8 \pm 2.1 \text{ mmHg}$ 、 23°C では $8.6 \pm 2.6 \text{ mmHg}$ を示した。心房切開後は、加温とともに回

復する傾向を示し、E.T. 27°C では $4.0 \pm 1.0 \text{ mmHg}$ 、
 31°C では $5.3 \pm 1.1 \text{ mmHg}$ となつたが、E.T. 35°C では
 $2.5 \pm 1.5 \text{ mmHg}$ を示し、実験前に比較して高値を
示した (Fig. 40)。

4. 血液ガス諸量の変化

(1) PaO_2

PaO_2 は、実験前値が $87.0 \pm 13.1 \text{ mmHg}$ であったが、第二章の成績と同様に、ether + oxygen による吸入麻酔、および冷却による体温の降下とともに増加し、E.T. 31°C では 544.0 ± 33.3 mmHg 、 27°C では $622.0 \pm 35.4 \text{ mmHg}$ 、 23°C では $671.0 \pm 40.1 \text{ mmHg}$ を示した。

血行遮断および開心術中の25分値においては、 $272.5 \pm 24.2 \text{ mmHg}$ と低値を示したが、血行遮断を解除し心拍が再開するとともに再び高値を示し、遮断解除直後には $640.0 \pm 50.1 \text{ mmHg}$ 、加温過程に移ったからは、E.T. 28°C では $505.0 \pm 24.3 \text{ mmHg}$ 、 29°C では $554.0 \pm 38.4 \text{ mmHg}$ 、 35°C では $467.0 \pm 67.8 \text{ mmHg}$ を示した (Fig. 41)。

(2) PvO_2

PvO_2 は、実験前値が $40.0 \pm 9.5 \text{ mmHg}$ であったが、oxygen の吸入および冷却による体温の低下とともに増加し、E.T. 25°C では $177.2 \pm 28.2 \text{ mmHg}$ 、 27°C では $273.0 \pm 25.3 \text{ mmHg}$ 、 23°C では $242.0 \pm 40.3 \text{ mmHg}$ を示した。

ついで、血行遮断および開心術中の25分値においては、 $61.0 \pm 9.5 \text{ mmHg}$ に低下した。

血行遮断解除および心蘇生後においては、第1章のオメ実験、オメ2章の成績に比較して低値を示し、E.T. 23°C の時点では $112.5 \pm 15.2 \text{ mmHg}$ 、 29°C では $16.4 \pm 10.8 \text{ mmHg}$ 、 25°C では $67.8 \pm 15.3 \text{ mmHg}$ と動静脈血酸素分圧差 ($A-V O_2$ difference) の増大が認められた。

(3) $PaCO_2$

$PaCO_2$ は、実験前値が $35.0 \pm 8.0 \text{ mmHg}$ を示し、冷却を開始するとともに一時増加する傾向を示したが、冷却過程が進行するとともに漸次減少する傾向を示し、E.T. 23°C の時点では $31.7 \pm 9.5 \text{ mmHg}$ を示した。

血行遮断および開心術中の25分値において

は、 $31.5 \pm 8.2 \text{ mmHg}$ を示したが、血行遮断を解除し心拍動が再開するとともに急増し、遮断解除直後においては $47.0 \pm 9.9 \text{ mmHg}$ となつた。

加温過程においては、体温の回復とともに減少する傾向がみられ、E.T. 33°C では $14.3 \pm 5.2 \text{ mmHg}$ 、 25°C では $21.7 \pm 6.2 \text{ mmHg}$ を示した(Fig. 41)。

(4) $PvCO_2$

$PvCO_2$ は、 PaO_2 とほぼ同様の傾向を示して推移した。なお、血行遮断を解除した直後においては、 $75.5 \pm 10.1 \text{ mmHg}$ と高値を示し、遮断中の血中 CO_2 の蓄積が観察された(Fig. 41)。

(5) aPH

aPH は、実験前が 7.36 ± 0.04 であったが、冷却による体温の降下とともに減少し、E.T. 31°C では 7.25 ± 0.03 、 27°C では 7.24 ± 0.05 、 23°C では 7.25 ± 0.04 を示した。

血行遮断、右心房開心術中の25分値においては 7.20 ± 0.08 を示したが、心房壁を縫合し心拍動を再開させると、直後ににおいて $7.15 \pm$

0.04% に低下し、極度の acidosis を呈した。

加温過程においては、体温の回復とともに acidosis も回復する傾向を示し、E.T. 25°C では 7.25 ± 0.07 ，29°C では 7.31 ± 0.08 ，35°C では 7.35 ± 0.06 と、ほぼ実験前値に復帰した。
(Fig. 41)。

(6) rPH

rPH は、aPH と同様の傾向を示し、冷却過程において低下の傾向を、加温過程において回復する傾向が観察された (Fig. 41)。

(7) B.E.

B.E. は、実験前値が $-1 \pm 1.2 \text{ mEq/l}$ であったが、冷却による体温の降下に比例して減少し、E.T. 31°C では $-4.5 \pm 1.0 \text{ mEq/l}$ ，27°C では $-4.5 \pm 1.5 \text{ mEq/l}$ ，23°C では $-6.0 \pm 2.1 \text{ mEq/l}$ を示した。血行遮断、開心術中は、25分値において $-12.0 \pm 2.5 \text{ mEq/l}$ と低値を示し、極度の代謝性 acidosis が観察された。

加温過程においては、体温の回復とともに

実験前値に復帰する傾向を示し、E.T. 23°C で

は $-11.1 \pm 2.5 \text{ mEq/l}$, 29°C では $-8.0 \pm 1.8 \text{ mEq/l}$, 33°C では $-4.0 \pm 2.0 \text{ mEq/l}$, 35°C では $1 \pm 0.9 \text{ mEq/l}$ を示した (Fig. 41)。

5. HT. 値の変化

HT. 値は、実験前値が $20.0 \pm 4.3\%$ であったが、冷却過程における血液希釈の進行とともに減少し、E.T. 31°C では $22.1 \pm 4.8\%$, 25°C では $22.5 \pm 5.8\%$ を示した。

右心房開心術後は、血行遮断の解除とともに回復し、加温過程では E.T. 23°C で $24.5 \pm 6.3\%$, 31°C で $31.4 \pm 6.1\%$, 25°C で $26.5 \pm 10.0\%$ と增加了。

6. 割検所見

No. 3 の例については、長期観察を目的に現在飼育中であるが、他の例は実験後 1 ~ 2 週間後に安樂死させ、剖検にふした。

胸腔内は、肺と壁側胸膜、肺と心膜、心外膜と心膜の間に癒着が認められたが、他の諸臓器は肉眼的に異常を認めなかつた。

(II) 左心房切開群

左心房切開群では、冷却に要した時間が $46 \sim 185$ 分（平均 78.0 ± 35.1 分）であり、冷却中は、E.T. $26.0 \sim 27.3^{\circ}\text{C}$ （平均 $26.8 \pm 0.84^{\circ}\text{C}$ ）の時点での自発呼吸の停止がみられた。冷却後、室温に放置したのは、 $1.1 \pm 0.8^{\circ}\text{C}$ の after drop がみられ、それにともなう最低体温は E.T. $21.9 \pm 0.8^{\circ}\text{C}$ となつた。

冷却を終了したのは、右心房切開群と同様の方法により人為的に心停止をさせ、左心房の開心術を実施した。その間の血行遮断時間は 41.0 ± 33 分であり、開心時間は 35.6 ± 2.6 分間であつた（Fig. 42）。

ついて、血行遮断を解除し心蘇生を行つたが、これに要した時間は $1 \sim 4$ 分（平均 2.8 ± 1.6 分）であり、全例で心拍動の再開が認められた。心拍動が再開した時点の E.T. は $21.8 \pm 0.3^{\circ}\text{C}$ であり、冠灌流に使用した血液は $352.0 \pm 50.1 \text{ ml/head}$ であつた。なお、No 1, 3, 5においては、冠灌流の開始直後に aorta

起部に残留した空氣により、運動脈の air embolism がみられた。

ついで、閉胸後から復温に要した時間は、
50～157分 (82.6 ± 37.9 分) であり、自発呼吸
は、E.T. $25.3 \sim 27.2^{\circ}\text{C}$ (平均 $26.2 \pm 0.4^{\circ}\text{C}$) の
時点で再開した。なお、心拍動の再開から240
～270分 (平均 253.3 ± 12.5 分) 後に全例で意
識の回復が認められた (Table 15)。

1. 心拍数の変化

心拍数は、右心房切開群とほぼ同様の変化
を示し、両群に有意の差は認められなかつた。
実験前値は、 139.0 ± 16.2 回/min. であったが
冷却の開始とともに減少し、E.T. 23°C では 58.8 ± 15.8 回/min. を示した。開心術後は、E.T.
 23°C の時点において 75.0 ± 5.0 回/min., 27°C では
 108.3 ± 6.2 回/min. を示し、E.T. 31°C の時点では
 130.0 ± 8.2 回/min. と実験前値に復帰した。その後は、体温の回復とともに上昇する傾向を示
し、E.T. 33°C では 141.7 ± 11.8 回/min., 25°C では
 156.7 ± 4.7 回/min. となつた (Fig. 27)。

2. 心電図の変化

左心房切開群の心電図は、右心房切開群に比較し開心術後にかけて洞調律への回復が遅く、特に開心創の縫合後に冠動脈の air embolism のみられた No.1, 3, 5においては、加温中期 (E.T. 27~29°C) に至るまで心室性期外収縮の発生がみられた。しかし、加温後期においては、漸次回復する傾向を示し、E.T. 35°C に復温された時点では、ほぼ実験前の心電図に復帰した (Fig. 43)。

3. 血圧の変化

(1) 大腿動脈圧

大腿動脈圧は、ether 麻酔時の最高血圧が $109.2 \pm 4.8 \text{ mmHg}$ 、最低血圧が $73.8 \pm 4.0 \text{ mmHg}$ 、であったが、体温の降下とともに減少し、E.T. 23°C の時点では、最高血圧が $77.9 \pm 22.9 \text{ mmHg}$ 、最低血圧が $44.6 \pm 25.7 \text{ mmHg}$ を示した。左心房開心術後は、直後において $46.3 \pm 15.3 \text{ mmHg}$ 、加温時の E.T. 23°C では $45.5 \pm 15.0 \text{ mmHg}$ と右心房切開群の同時点に比較し有意に減少した。

が、加温とともに体温の回復とともに回復し、E.T. 27°Cでは $82.5 \pm 12.8 \text{ mmHg}$, 31°Cでは $89.0 \pm 18.3 \text{ mmHg}$, 35°Cでは $100.8 \pm 11.8 \text{ mmHg}$ となつた (Fig. 39)。

(2) 中心静脈圧

中心静脈圧は、実験前値が $0.1 \pm 0.5 \text{ mmHg}$ であったが、冷却により上昇する傾向を示し E.T. 23°C の時点では $5.0 \pm 1.8 \text{ mmHg}$ を示した。左心房開心術後は、E.T. 23°C の時点で $5.5 \pm 2.1 \text{ mmHg}$, 25°Cで $6.2 \pm 1.2 \text{ mmHg}$ と高値を示したが、加温による体温の回復とともに回復し、E.T. 35°Cでは $0.3 \pm 0.5 \text{ mmHg}$ とほぼ実験前値に復帰した (Fig. 40)。

4. 血液ガス諸量の変化

(1) PaO_2

PaO_2 は実験前値が $85.6 \pm 12.4 \text{ mmHg}$ であり、冷却時は右心房切開群と同様の変化を示して E.T. 23°C の時点で $595.0 \pm 36.2 \text{ mmHg}$ となつた。

血行遮断中は、25分値において 178.5 ± 33.8

mmHg と低下したが、左心房開心術後、血行遮

断を解除するとともに再び上昇し、直後では $480.0 \pm 52.2 \text{ mmHg}$ を示した。加温過程においては、体温の回復とともに減少する傾向を示し、E.T. 27°C では $321.6 \pm 31.1 \text{ mmHg}$, 31°C では $266.7 \pm 42.5 \text{ mmHg}$, 35°C では $288.7 \pm 30.1 \text{ mmHg}$ と下った (Fig. 44)。

(2) PaO_2

PaO_2 は、実験前値が $42.4 \pm 10.5 \text{ mmHg}$ であったが、oxygen の吸入と体温の降低とともに下りて増加し E.T. 23°C の時点では $182.6 \pm 40.1 \text{ mmHg}$ と下った。血行遮断後は、25分値において $45.2 \pm 11.2 \text{ mmHg}$ と低下したが、左心房開心術後、血行遮断を解除すると再び上昇し、E.T. 23°C では $92.7 \pm 13.2 \text{ mmHg}$, 29°C では $71.0 \pm 22.1 \text{ mmHg}$, 35°C では $57.0 \pm 13.5 \text{ mmHg}$ と下った (Fig. 44)。

(3) PaCO_2

PaCO_2 は、実験前値が $30.9 \pm 8.5 \text{ mmHg}$ であったが、冷却過程においてはほぼ一定の傾向を示し $35 \sim 45 \text{ mmHg}$ の間で変動した。

左心房開心術後においては、血行遮断の解

除直後において $59.9 \pm 18.5 \text{ mmHg}$ と急増したが加温過程においては体温の回復とともに実験前値に復帰する傾向を示し、E.T. 25°C では $47.2 \pm 15.4 \text{ mmHg}$, 27°C では $44.2 \pm 9.2 \text{ mmHg}$, 35°C では $37.7 \pm 7.3 \text{ mmHg}$ を示した (Fig. 44)。

(4) $P_{v\text{CO}_2}$

$P_{v\text{CO}_2}$ は、実験前値が $45.9 \pm 7.5 \text{ mmHg}$ であった。実験中は PaCO_2 とほぼ同様の変化を示し、冷却終了時が $44.2 \pm 6.2 \text{ mmHg}$, 左心房開心術直後が $42.0 \pm 23.5 \text{ mmHg}$ を示した。

加温過程においては、E.T. 23°C の時点では $44.5 \pm 18.2 \text{ mmHg}$, 29°C では $49.0 \pm 8.8 \text{ mmHg}$, 35°C では $49.2 \pm 6.6 \text{ mmHg}$ を示し、実験前値に復帰した (Fig. 44)。

(5) aPH

aPH は実験前値が 7.40 ± 0.03 であったが、冷却による体温の低下とともに減少する傾向を示し、冷却終了時には 7.35 ± 0.04 を示した。左心房開心術後は、血行遮断を解除するとともに急激に減少し、直後では 7.14 ± 0.02 と

T₂ つた。

加温過程においては、体温の回復とともに
αPH も回復する傾向を示し、E.T. 25°C では 7.20
 ± 0.03 , 31°C では 7.15 ± 0.04 , 35°C では 7.37 \pm
0.03 となつた (Fig. 44)。

(6) αPH

αPH は αPH と同様の変化を示し、冷却過程
において軽度の減少、左心房開心術後において
極度の減少、加温過程において回復する傾
向を示した (Fig. 44)。

(7) B.E.

B.E. は、実験前値が $-0.5 \pm 1.1 \text{ mEq/l}$ であつ
たが、冷却による体温の降下とともに減少し
E.T. 23°C の時点では $-5.3 \pm 1.3 \text{ mEq/l}$ を示した
。左心房開心術後は、血行遮断の解除直後に
において $-9.2 \pm 2.1 \text{ mEq/l}$ と極度の代謝性 acidosis
を示したが、加温による体温の回復とともに
B.E. も回復し、E.T. 31°C では $-6.8 \pm 1.9 \text{ mEq/l}$
, 35°C では $-0.3 \pm 1.5 \text{ mEq/l}$ となつた (Fig. 44)。

5. Ht. 値の変化

Ht. 値は、実験前値が $23.6 \pm 1.8\%$ であったが、冷却を開始すると減少する傾向を示し、E.T. 31°C の時点では $20.4 \pm 4.6\%$ 、 27°C では $29.5 \pm 6.3\%$ を示した。

左心房開心術後は、加温による体温の回復とともにHt. 値も回復し、E.T. 23°C では $21.5 \pm 1.5\%$ 、 31°C では $22.3 \pm 2.5\%$ 、 25°C では $26.7 \pm 4.5\%$ となり、Tn。

6. 割検所見

実験を終了したのちに、1～3週間生存させ術後の状態を観察したのち剖検に移した（Fig. 45）。

胸腔内は、右心房切開群と同様、肺と壁側胸膜、肺と心膜、心房、縫合部と心膜に癒着が認められ、No.3においては化膿性胸膜炎が認められた。

また、No.1, 2, 5においては、心筋の各部に直径 1 mm 以下の硬塞斑が認められた（Fig. 46）。

第3節 小括

心房開心術は、低体温麻酔下で多くはこれら
の心臓手術のなかで最も利用頻度は高いものと予想され、臨床的には、心内膜床欠損症、
心房中隔欠損症の根治手術、房室弁置換術、
弁輪縫縮術等に応用される。

本章においては、著者の低体温麻酔法により、
血行遮断下の右心房開心術および左心房
開心術が可能であるか否かを検討する目的で、
難種成犬10例を右心房切開群、左心房切開
群に分け、前章までと同様の低体温麻酔、完
全血行遮断下で心房開心術を実施した。

右心房切開群では、右心房切開により卵円
窓、静脈間隣起、三尖弁等が直視下に露出さ
れ、無血靜止状態の広範な心臓内術野が得ら
れた。開心創を縫合したのちは、酸素加血液
の冠灌流により第2章の成績と同様、すみや
かに心拍動が再開し、心蘇生の段階では右心
房切開の影響は観察されなかつた。加温過程

ばかりでは、体温の回復とともに大腿動脈圧、心拍数、心電図、血液ガス諸量の回復がみられたが、中心静脈圧はE.T. 35°Cの時点においても有意に上昇しており、切開および縫合による右心房収縮への影響が示唆された。また、1例ではあるが加温過程のE.T. 27°Cの時点で心房細動の発生がみられたが、これも、右心房の切開、縫合による影響と思われた。

左心房切開群では、開心操作とともに15例中3例に冠動脈のair embolismがみられ、加温過程の初期において大腿動脈圧の有意の減少が観察された。しかし、加温過程が進行するにつれて、air embolismの影響も消え、右心房切開群と同様、大腿動脈圧、心拍数、心電図、血液ガス諸量は実験前値に復帰する傾向を示した。

実験後は、両群とも生存させ、術後の状態を観察したが、長時間の血行途絶による脳機能障害や、開心操作による心臓の刺激伝導障害等は観察されなかつた。

以上の結果から、著者の低体温麻酔法および酸素加血液の冠灌流法により、体温21~22°Cレベルにおいて35分間の右心房開心術、左心房開心術が可能であることが判明した。

序章

低体温麻酔、完全血行遮断下の
右心室開心術。

歎迷導領域における低体温麻酔下の右心室開心術は、犬において BRADEN (1972), BREZNICK (1971, 1973) らの報告にされるほどとく比較的、短時間の開心術であり、長時間(30分以上)にわたる開心術の成功例はあまり報告されていない。

30分間以上の血行遮断下で行なう、比較的長時間の開心術には、脳組織との関連から、体温を 25°C 以下とする必要があり、この場合には低体温麻酔法の良否によつて、開心術の心蘇生および代加温過程での回復状況に、影響がおよぶと考えられてゐる。また、血行遮断下の長時間にわたる開心術を実施するうえで、さらに重視しなければならない問題は、術中において心蘇生および空気塞栓の問題、術後においては、開心操作とともに発生す

る心臓の刺激伝導障害と低心拍出量症候群などがあり、一般の外科手術に比較して、多くの問題点を有している。

そこで、本章においては、著者の低体温麻酔法および酸素加血液の冠灌流法により、犬において長時間の右心室開心術が可能であるか否かを検討する目的で、各種成犬10例に対して平均26.5分間の右心室開心術を実施した。なお、人医界における右心室の切開法には、右心室の流出路に対して垂直に切開する右心室横切開法と、平行に切開する右心室縦切開法の二方法が考えられており、本章においては、これらの二方法の大犬における安全性、および有意性を検討する目的で、実験犬を二群にわけ、兩切開法を実施し、あわせて検討を加えた。

第1節 実験材料ならびに方法

1. 実験材料

実験材料は、神奈川県犬管理センターより入手した推定年令1才の雑種成犬で、血液検査、血液ガス分析、心電図等により健康と認められたもの20例を使用した。なお、そのうち2例は、I群（右心室横切開群）が10例（体重8.5～14.5・平均11.7kg），II群（右心室縦切開群）が10例（体重5.0～16.0kg・平均10.8kg）の計20例である。

2. 実験方法

第1章と同様の低体温麻酔法によりエ.ア.トを23°Cまで降低させ、低体温状態を得たのち、通常の方法で右第5肋間を開胸し、前大静脈、後大静脈、奇静脉、大動脈、肺動脈にゴムチューブまたは絹糸を装着した。そして、それぞれのゴムチューブまたは絹糸を閉鎖して生体の血行を完全に遮断し、冠動脈内にバル

止瀉0.8ml/kg. を注入して、人為的に行心停止をはかった。

心停止後は、I群において、三尖弁口から心尖部に向う右心室横切開を、II群においては肺動脈弁口から心尖部に向う縦切開を実施し、右心室腔内の血液を排除して、三尖弁、右心室乳頭筋等を直視下に露出した(Fig. 47, 48)。その後は、このような血行停止、閉心状態のままで平均36.5分間、室温中に放置したのち、心腔内の空氣を排除し、開心創を縫合して、著者の冠灌流法(Fig. 24)により心蘇生をはかった。

冠灌流法により、心拍動が再開したのちは、血行遮断を解除し通常の方法で開胸し、40°Cの温水槽に全身を浸漬して、E.T.が36°Cに回復するまで加温を行なった。

なお、実験の全経過にわたって、心電図、大脛動脈圧、中心静脈圧、血液ガス分圧、血液pH、Base Excess, Ht. 値を測定し、生体機能を観察した。

第二節 実験成績

低体温麻酔により、E.T. が 23°C に到達するまでに要した時間は、I群が 54 ~ 97 分（平均 72.8 ± 13.0 分）、II群が 63 ~ 129 分（平均 82.7 ± 24.7 分）であり、自発呼吸の停止は、I群が E.T. $26.0 \pm 1.8^{\circ}\text{C}$ 、II群が E.T. $24.9 \pm 1.5^{\circ}\text{C}$ の時点でもたらされた。冷却後、室温に放置したのは、I群で $1.5 \pm 0.7^{\circ}\text{C}$ 、II群で $1.6 \pm 0.8^{\circ}\text{C}$ の after drop がみられ、それとともに最低体温は、I群で $21.5 \pm 0.7^{\circ}\text{C}$ 、II群で $21.6 \pm 0.9^{\circ}\text{C}$ となった。

冷却を終了したのは、ただちに開胸し、それぞれの実験群に対して、前述した方法により血行遮断・心停止下で右心室の開心術を実施した。血行遮断時間は、I群が 31 ~ 60 分（平均 44.9 ± 8.8 分）、II群が 33 ~ 53 分（平均 44.8 ± 6.8 分）であり、遮断時の E.T. は、I群が $21.8 \pm 0.7^{\circ}\text{C}$ 、II群が $21.7 \pm 1.0^{\circ}\text{C}$ であった。開心時間は、I群が 26.1 ± 4.2 分、II群が 26.8 ± 6.9 分

であり、開心術中の心臓は、両群とも完全には停止状態であった。

心室壁を縫合したの方では、酸素加血液の冠灌流法により心蘇生を行つた。冠灌流を開始すると、弛緩・停止状態にあつた心臓は両群とも力強く細動を発現し始め、I群では 5.6 ± 3.8 分、II群では 4.0 ± 2.3 分のうちで全例で心拍動の再開が認められた。なお、心拍動が再開した時点のE.T.は、I群が $21.7 \pm 0.8^{\circ}\text{C}$ 、II群が $22.4 \pm 1.3^{\circ}\text{C}$ であり、冠灌流に使用した血液は、I群が平均 225 ml/head 、II群が平均 49 ml/head であった。

ついで、開胸後から復温に要した時間は、I群が 107.2 ± 23.4 分、II群が 97.9 ± 15.5 分であり、自発呼吸は、I群がE.T. $26.6 \pm 2.1^{\circ}\text{C}$ 、II群がE.T. $26.9 \pm 1.8^{\circ}\text{C}$ の時点で再開した。なお、心拍動の再開からI群では 454.0 ± 165.3 分、II群では 492.2 ± 107.0 分後に、両群とも全例で意識の回復が認められ、長期間の観察を目的に、術後管理を実施した61例については、

脳機能障害等の発生も認められず極めて順調に回復した (Table 16, 17)。

I. 心拍数の変化

I群： 心拍数は、実験前値が平均 122.2 ± 11.5 回/min. であったが、冷却を開始すると体温の降下に比例して有意に減少し、E.T. 23°C の時点では、 53.7 ± 10.9 回/min. で実験前値の約 48% を示した。開心術後は、加温とともに回復する傾向を示し、E.T. 25°C では、 79.0 ± 10.8 回/min.、E.T. 29°C では 106.1 ± 13.3 回/min. となり、E.T. 31°C では、 125.4 ± 15.1 回/min. と実験前値に復帰した (Fig. 49)。

II群： 実験前値は、 128.7 ± 15.7 回/min. であったが、冷却による体温の降下により有意に減少し、E.T. 23°C の時点では 49.6 ± 13.8 回/min. となつた。開心術後は、I群と同様に、加温とともに回復する傾向を示し、E.T. 25°C では 76.8 ± 10.4 回/min.、E.T. 29°C では 101.1 ± 16.4 、E.T. 31°C では 115.3 ± 14.2 回/min. と実験前値に復帰した (Fig. 49)。

2. 心電図の変化

冷却時の心電図は、I群ばかりにII群とともに第1章と同様、体温の降下に比例して duration および interval の延長がみられ、E.T. 23 °C の時点においても、全例が洞調律で経過し、心室細動等の発生はみられなかつた。また、任意心拍動停止時にあつては、心停止液を注入後、1~2心拍をあつて cardiac standstill へと移行し、心室細動の発生はみられなかつた。

I群： 右心室横切開術後においては、心拍動の再開直後に房室解離や種々の部位から発生する期外収縮が認められたが、加温により体温が回復するとともに心電図も回復する傾向を示し、E.T. 25°C の時点ではほぼ全例が洞調律を示した。なお、加温過程の初期 (E.T. 23 ~ 26°C) においては、多くの例で R 棱の上行脚に notch が観察されたが、E.T. 25°C の時点では実験前の心電図に回復した (Fig. 50)。

II群： 右心室縦切開術後においては、I

群と同様に、心拍動の再開後は房室解離や期外収縮の発生が認められ、加温過程の初期においては、R波の上行脚にnochが観察された。また、I群に比較し、加温過程の中期(E.T. 27~30°C)においても期外収縮の発生する例が多かった(Fig. 51)。

3. 血圧の変化

(1) 大腿動脈圧

I群：大腿動脈圧は、ether麻酔時の最高血圧が 109.3 ± 18.1 mmHg、最低血圧が 65.6 ± 16.0 mmHgであったが、冷却を開始すると体温の降下とともに減少する傾向を示し、E.T. 23°Cでは、最高血圧が 85.8 ± 19.0 mmHg、最低血圧が 57.7 ± 14.8 mmHgを示した。右心室横切開術後は、洞調律に復帰するまで不安定であったが、その後は順調に回復する傾向を示し、加温時 E.T. 23°C の時点では、最高血圧が 66.0 ± 20.0 mmHg、E.T. 29°Cでは 90.7 ± 20.4 mmHg、E.T. 35°Cでは、 115.9 ± 20.7 mmHgとほぼ冷却前の値に復帰した(Fig. 52)。

II群： ether麻酔時の最高血圧は、 101.5 ± 8.9 mmHg，最低血圧は 57.8 ± 10.7 mmHg，E.T. 23°C の時点では、最高血圧が 81.7 ± 14.7 mmHg，最低血圧が 52.2 ± 17.8 mmHg であった。右心室縦切開術後は、I群と同様に低値を示し、加温時 E.T. 23°C の時点では、最高血圧が 63.9 ± 7.6 mmHg，最低血圧が 31.5 ± 10.8 mmHg を示した。その後は、加温による体温の上昇に比例して回復方向を示し、E.T. 35°C では、最高血圧が 101.0 ± 15.0 mmHg を示した (Fig. 52)。

(2) 中心静脈圧

I群： 中心静脈圧は、実験前値が 0.8 ± 1.9 mmHg であったが、冷却を開始すると上昇する傾向を示し、E.T. 27°C では 4.5 ± 2.6 mmHg，E.T. 23°C では 5.6 ± 2.4 mmHg を示した。右心室縦切開術後は、加温とともに実験前値に復帰する傾向を示し、加温時 E.T. 23°C の時点では、 4.9 ± 2.1 mmHg，E.T. 31°C では 1.8 ± 1.6 mmHg，E.T. 35°C では、 0.3 ± 2.4 mmHg を示した (Fig. 53)。

II群： 実験前値は、 -0.03 ± 1.06 mmHg

, E.T. 23°C の時点では $4.8 \pm 1.2 \text{ mmHg}$ を示した。右心室縦切開術後は、I群と同様に体温の回復とともに実験前値に復帰する傾向を示し、加温時 E.T. 23°C の時点では $4.3 \pm 0.9 \text{ mmHg}$, E.T. 27°C では $0.6 \pm 0.6 \text{ mmHg}$, E.T. 25°C では $-0.5 \pm 1.4 \text{ mmHg}$ を示した (Fig. 53)。

4. 血液ガス諸量の変化

(1) PaO_2

I群： 実験前値は、 $81.0 \pm 6.4 \text{ mmHg}$ であり、冷却による体温の降下に比例して増加し E.T. 23°C の時点では、 $648.0 \pm 46.5 \text{ mmHg}$ となつた。血行遮断および右心室縦切開術中の25分値においては、 270.8 ± 131.8 と低下したが、血行遮断を解除し心蘇生を行うことによって再び増加し、加温時 E.T. 23°C の時点においては $585.5 \pm 111.7 \text{ mmHg}$ を示した。その後は、加温過程が進行するにつれて実験前値に復帰する傾向を示し、E.T. 27°C では $472.2 \pm 142.4 \text{ mmHg}$, E.T. 29°C では $398.0 \pm 186.7 \text{ mmHg}$, E.T. 25°C では $378.9 \pm 142.5 \text{ mmHg}$ を示した (Fig. 54)。

II群： 実験前値は $78.3 \pm 7.2 \text{ mmHg}$ であり、 O_2 の吸入および体温の降低により E.T. 23°C の時点では、 $630.0 \pm 50.2 \text{ mmHg}$ を示した。

血行遮断中には、 25 分通において $248.2 \pm 112.1 \text{ mmHg}$ を低下したが、 右心室縦切開術後は、 血行遮断の解除および拍動の再開により再び増加し、 直後では $596.7 \pm 120.5 \text{ mmHg}$ となつた。

加温過程においては、 I群と同様に体温の回復とともに PaO_2 も実験前値に復帰する傾向を示し、 E.T. 27°C では $565.8 \pm 99.2 \text{ mmHg}$ 、 29°C では $497.5 \pm 101.1 \text{ mmHg}$ 、 E.T. 35°C では $436.7 \pm 140.3 \text{ mmHg}$ を示した (Fig. 55)。

(2) PvO_2

I群： 実験前値は $31.8 \pm 6.0 \text{ mmHg}$ であり、 低体温麻酔により PaO_2 と同様の変化を示して、 E.T. 23°C の時点では $213.9 \pm 112.7 \text{ mmHg}$ となつた。 血行遮断中には、 $53.8 \pm 19.2 \text{ mmHg}$ に低下したが、 右心室縦切開術後は、 増加し、 加温時の E.T. 23°C では $117.0 \pm 75.2 \text{ mmHg}$ 、 29°C では $105.3 \pm 60.0 \text{ mmHg}$ 、 35°C では $78.0 \pm 27.1 \text{ mmHg}$ を

示した (Fig. 54)。

II群： 実験前値は、 $24.2 \pm 6.4 \text{ mmHg}$ であったが、冷却による体温の降低とともに增加了し、E.T. 23°C では $347.5 \pm 98.2 \text{ mmHg}$ となつた。右心室縦切開術後は、E.T. 25°C で $204.0 \pm 52.2 \text{ mmHg}$ と I群に比較して高値を示したが、その後、加温による体温の回復とともに減少し、実験前値に復帰する傾向を示し、E.T. 35°C では $54.7 \pm 9.2 \text{ mmHg}$ となつた (Fig. 55)。

(2) PCO_2

I群： PaCO_2 は、実験前値が $31.4 \pm 3.6 \text{ mmHg}$ 、 PrCO_2 は $44.5 \pm 8.5 \text{ mmHg}$ であり、冷却過程においてほぼ一定の傾向を示し $35 \sim 45 \text{ mmHg}$ の間で変化した。

右心室縦切開術後においては、心拍動の再開した直後に PaCO_2 が $46.2 \pm 20.5 \text{ mmHg}$ 、 PrCO_2 が $68.3 \pm 16.3 \text{ mmHg}$ と高値を示したが、加温過程においては体温の回復とともに実験前値に復帰する傾向を示し、E.T. 25°C では PaCO_2 が $26.3 \pm 10.4 \text{ mmHg}$ 、 PrCO_2 が $40.0 \pm$

10.8 mmHg, 29°C では P_{aCO_2} が 36.3 ± 13.9 mmHg, P_{vCO_2} が 39.4 ± 12.2 mmHg, 25°C では P_{aCO_2} が 38.7 ± 11.2 mmHg, P_{vCO_2} が 46.2 ± 11.9 mmHg を示した (Fig. 54)。

II群： I群とほぼ同様の傾向を示し、推移した (Fig. 55)。

(4) 血液pH

I群： 実験前値は aPH が 7.44 ± 0.029 , vPH が 7.38 ± 0.025 であったが、体温の降下とともに減少する傾向を示し、E.T. 23°C の時点では aPH が 7.40 ± 0.13 , vPH が 7.34 ± 0.08 を示した。

右心室横切開術後においては、血行遮断を解除するとともに急速に減少し、直後では aPH が 7.300 ± 0.18 , vPH が 7.16 ± 0.11 となつた。

加温過程においては、ほぼ一定の値を示し E.T. 25°C では aPH が 7.40 ± 0.07 , vPH が 7.35 ± 0.08 , E.T. 25°C では aPH が 7.34 ± 0.09 , vPH が 7.28 ± 0.09 を示した (Fig. 54)。

II群： 実験前値は aPH が 7.44 ± 0.02 ,

vPH が 7.38 ± 0.09 であり、冷却による E.T. 23 °C の時点では aPH が 7.31 ± 0.09 , vPH が 7.27 ± 0.10 を示した。右心室縦切開術後は、aPH が 7.22 ± 0.09 , vPH が 7.20 ± 0.11 と低下したが、加温による体温の回復とともに pH も回復し、E.T. 35 °C に復温された時点で、aPH が 7.34 ± 0.092 , vPH が 7.26 ± 0.10 となつた (Fig. 55).

(5) B.E.

I 群： B.E. は、実験前値が -1.07 ± 1.69 mEq/l であり、冷却中には E.T. 31 °C の時点で最低値を示し -5.39 ± 3.27 mEq/l となつた。

右心室横切開術後は、血行遮断の解除直後において -5.33 ± 5.29 mEq/l となつたが、その後は回復する傾向を示し、E.T. 25 °C で -2.39 ± 3.67 mEq/l, 33 °C で -2.39 ± 3.28 mEq/l となつた (Fig. 54)。

II 群： 実験前値は、 -2.0 ± 1.87 mEq/l であり、冷却中は体温の降下とともに減少し、E.T. 23 °C の時点では -8.0 ± 2.11 mEq/l を示した。右心室縦切開術後は、I 群に比較して低

値を示し、E.T. 23°C では -10.0 ± 2.80 mEq/l, 29°C では -6.5 ± 2.9 mEq/l, 35°C では -6.9 ± 3.1 mEq/l となつた (Fig. 55)。

5. Ht. 値の変化

I群： 実験前のHt. 値は $38.5 \pm 5.1\%$ であつたが、低体温麻酔による体温の降下とともに減少する傾向を示し、E.T. 31°C では $30.9 \pm 5.8\%$, 29°C では $29.1 \pm 5.0\%$ と有意に減少した。右心室横切開術中の25分値においては、 $28.0 \pm 6.3\%$ とさらに減少したが、血行遮断が解除され心拍動が再開すると実験前値に回復する傾向を示し、E.T. 23°C では $35.6 \pm 5.7\%$, 29°C では $38.3 \pm 4.4\%$, 35°C では $40.0 \pm 6.7\%$ を示した (Fig. 56)。

II群： II群においても、I群とはほぼ同様の傾向がみられた。実験前値は、 $36.8 \pm 2.7\%$ であり、冷却による体温の降下とともに減少して、E.T. 23°C の時点では $29.1 \pm 2.9\%$ を示した。右心室縦切開術中は、25分値において $31.7 \pm 5.6\%$ を示したが、血行遮断の解除後において

では回復する傾向がみられ、E.T. 23°C で 34.8 ± 4.3%，29°C で 35.9 ± 4.1%，35°C で 37.3 ± 5.1% となつた (Fig. 56)。

6. 割検所見

I群およびII群とも、実験犬を実験後、週間ないし 3 カ月にわたり生存させ、開心術後の状態を観察したのち (Fig. 57)、安樂死とし、剖検に至つた。

剖検所見としては、両群とも胸腔内（肺と壁側胸膜、心外膜と心膜、心葉と横隔葉）に癒着が認められ、炎性滲出液の貯留する例もみられたが、他には、実験の影響と思われる所見は認められなかつた (Fig. 58, 59, 60)。

第2節 小括

前章までの成績により、著者の考案した低体温麻酔法および酸素加血液の冠灌流法を適用することによって、犬において、体温 21°C レベルで約4分間の血行遮断と、その間に右心房切開術、左心房切開術が可能であることを確認した。また、術後の生存率についても、術後出血を防止しうるならば、ほぼ全例が確実に生存し、脳機能障害等も観察されないことがあわせて確認された。

そこで、本章においては、さらに本法の安全性を確認し、かつその応用範囲を拡大する目的で、同様の低体温麻酔下において、右心室の開心術を実施した。なお、右心室の開心方法には、人医界において一般的に右心室流出路に対して垂直に切開する右心室横切開法と、平行に切開する右心室縦切開法の二方法が考えられている。本章においては、これら二方法の犬における安全性および有意性をモ

検討する目的で、実験犬を二群に分け、実験を実施した。

Ⅰ群（右心室横切開群）では、低体温麻酔と after drop の結果、最低体温は $21.5 \pm 0.7^{\circ}\text{C}$ となり、血行遮断時間は、 44.9 ± 3.8 分、そのうち開心時間は 26.1 ± 4.2 分であった。開心創を縫合し、酸素加血の昇流法により心蘇生を行なうと 5.6 ± 1.9 分の後に全例で心拍動の再開がみられ、加温するごとに実験前の状態に回復した。また、Ⅱ群（右心室縦切開群）においても、Ⅰ群とほぼ同様の傾向を示し、著者の低体温麻酔法および酸素加血の昇流法により、犬において、約10分間前後の血行遮断・心停止下の右心室開心術が可能であることが判明した。

右心室開心術後の生体の変化としては、心蘇生直後の心電図所見において、Ⅰ群に比較してⅡ群に期外収縮の発生頻度が高かつた。これは、Ⅱ群において右心室縦切開法が、右心室横切開法に比較して、心臓に与

- えの影響が大であることを示すものであるが、加温による体温の回復とともに両群とも期外収縮は消失し、安定して洞調律に復帰した。したがって、心電図所見からは、両方法とも安全に実施できるものと考えられるが、手技的な面を考慮するならば、犬においては右心室の横切開法よりも縦切開法のほうが広範な心臓内の術野が得られ、かつ、心筋の縫合に際して縫合部の支持力が強く縫合後のみられる針穴からの出血も極めて少ないという利点を有しており、臨床においては利用価値の高いものであると考えられた。
- また、大腿動脈圧、中心静脈圧、血液ガス諸量等の変化に関するところでは、I群およびII群の間に有意の差は認められず、両群とも復温された時点では、実験前の値に回復した。
- なお、長期の観察を目的に、実験終了後を飼育した例では、最長例で3ヶ月間観察したが、右心室開心術および血行遮断による影響は観察されなかった。

以上の成績から、著者の低体温麻酔法および酸素加血液の冠灌流法によれば、体温 21°C レベルの低体温下において、約40分間の右心室横切開術および縦切開術が安全に実施できることが確認され、かつ、右心室の切開方法としては、横切開と縦切開との間に有意の差は認められないと判明した。

第5章 総括からびに考察

温血動物は、サオから体温を一定に保とうとする恒温性 (homeothermism) を有しており、寒冷侵襲に対しては、熱放散の減少、産熱現象の増加等の生体防禦反応が作動する機構を有しています。しかし、ヒトたゞびその恒温性の限度を越える寒冷侵襲が加わると、生体は防禦反応を示すが故に疲弊し、末梢循環の不全、代謝性acidosis、血液濃縮による心負担の過大によって死に至る。

低体温麻酔法とは、このように観点から單に生体を冷却するのみではなく、種々の薬物によって温血動物の恒温性を消失させ、さらには低体温状態の生体を管理する所によつて、通常では死に至る体温までも人為的に体温を降下せしめうる方法である。したがって、低体温麻酔法の良否によつて、必然的に冷却可能な体温の温度限界が決定されるため、より

低体温状態がより安全に得られる低体温麻酔法の確立が要求された。

人医界においては、1950年にBIGELOWが体温を 25°C に降低させ、その時点で15分間の血行遮断を行なうことにより成功して以来、低体温麻酔の研究が発展し、現在では、脳外科、心臓外科の領域で臨床的に応用されています。⁸⁾しかししながら、獣医界においては、低体温麻酔に関する報告は極めて少なく、臨床的な応用の段階までには、今だに至っていない。

低体温麻酔の意義は、冒頭にも述べたごとく、体温の降低に伴なって生じる組織代謝の低下や酸素消費量の減少を外科手術に応用し、常温の生体では実施することができ不可能な外科手術を可能にするところにある。したがって、常温では許容血行遮断時間が3分前後であるとされていける脳の手術や、長時間の血行途絶と心拍動の停止が要求される心臓外科の領域・特に開心手術においては、低体温麻酔の有する意義も大である。

獣医学領域における低体温麻酔の研究は、
 (14) (15), (16)
 (1966, 1971)

BRADEN (1972), BREZNOCK (1971, 1973),

黒川 (1963, 1964) の報告が行われる。しかし、これらの報告は、いずれも体温が28°C

以上の軽度低体温麻酔法 (moderate hypothermia) であり、その時点での血行遮断は10分内外である。また、黒川らはその

報告の中で、体温25°C以下の低体温麻酔による血行遮断下心臓手術は、心室細動や心拍動の停止を引きだし、それに対する強心処置や心臓マッサージが無効であるため、犬において

は体温25°C以下の低体温麻酔による心臓手術は不可能に近いと述べている。そして、犬における低体温麻酔の体温は、28~30°Cが適当でそれ以下では危険であるといふ結論を下してしまった。

しかし、このように体温28~30°Cの低体温麻酔による10分以内の血行遮断では、

臨床的に行ないうる外科手術の範囲は限られてしまい、その利用価値も極めて限定される。

特に近年、獣医学領域においては、診断技

術の向上に伴ない先天性心疾患等の報告例が増加し、長時間(30分以上)にわたる開心術の必要性が高まってきた。したがって、さらには低い体温と長時間の血行遮断が可能な犬の低体温麻酔法を考案する必要があると考えられる。

そこで著者は、長時間の血行遮断と30分以上の開心術を可能とする犬の低体温麻酔法を確立する目的で、基礎的な実験を企画した。

まず、第1章のオ1実験においては、pentobarbital のみにより全身麻酔を施して実験犬を氷水槽で冷却し、体温を 21°C まで低下させて、ただ単に冷却のみを行なった場合の生体の変化について観察した。

その結果、実験犬は全例がE.T. $21\sim20^{\circ}\text{C}$ に冷却された時点では心室細動あるいは心停止に陥り、黒川らが示唆した通り、犬の体温を 25°C 以下に低下させることの危険性が確認された。そして、体温の低下により死に至るまでの生体の変化を分析すると、つきのよう

いたが、下。

まず、体温が 38°C から 35°C に降下した時点の冷却初期においては、大腿動脈圧、心拍数、 PaO_2 等の上昇、shivering が認められ、寒冷侵襲に対する生体の防禦反応である代謝の亢進、産熱現象の発現が観察された。ついで、

- 体温が 25°C まで降下する時点（冷却中期）においては、寒冷に対する生体の防禦反応もおさまり、体温の降下に比例して生体の諸機能も低下する比較的安定した経過が観察された。ついで、さらに体温が降下し $23 \sim 21^{\circ}\text{C}$ の付近になると、生体は循環器・呼吸器系とも虚脱状態に陥り、心拍数および動脈圧の極度の低下、静脈系のうつ滞、anoxia、代謝性acidosis、血中炭酸ガスの蓄積、血液濃縮等が観察され、ついには、心室細動・心停止に移行して全例が死んだ。そして、このようないくつかの実験成績から犬を冷却することにより生じる異常反応としては、① shivering による組織代謝の亢進、② PO_2 の減少、 PCO_2 の蓄積、③ $\text{a}-$

cicosis, ④血液濃縮, ⑤心室細動があげられた。

26)

SPURR らによれば、犬を用いた冷却実験の死七所見は、14例中、呼吸停止6例、心室細動5例、心室細動からたゞちに呼吸停止に移行したもの2例、心拍停止1例で、犬の臨界直腸温度は $23.6 \pm 0.5^{\circ}\text{C}$ であったと報告している。本実験においても、犬の臨界直腸温度は、おおむね体温 23°C 近辺にあると考えられたが、低温に対する生存限界をさらに拡大させ、より低い体温状態を安全に得るためにには、冷却中にみられるこれらの異常反応に対し、それを未然ににくくとめるべく補正手段をうつ必要があると考えた。

そこで、サニ実験においては、このような考えのもとに各種の補正手段をとり入れた犬の低温麻酔法(Table 2.)を試作し、サニ実験と同様の冷却実験を試みた。

その結果、サニ実験においては、サニ実験にみられたような異常反応、すなわち、冷却

初期の shivering, PO_2 の減少, PCO_2 の蓄積, 極度の acidosis, 血液濃縮, 心室細動および心拍停止などは認められず、体温の降下に比例して生体の各機能も低下するといえ、極めて安定した冷却過程が観察された。そして、体温が 21°C に達した時点で冷却を中止し、その後1時間にわたって低体温状態の生体を観察したのが後温したが、1例の死亡例もみられなかつた。

温血動物を冷却したときに生じる shivering について、BIGELOW は、shivering の発生により生体の酸素消費量は $2 \sim 2.5$ 倍に増加するとして述べ、低体温麻酔の本来の目的に逆行する¹⁶²⁾とを示唆している。また、宮崎らは、筋電図所見から、NMJ放電の出現するものをI型、吸息期に一致して grouping voltage を認めるものをII型、呼吸相に關係なしに grouping voltage を示すものをIII型とし、いずれの shivering も麻酔深度に關係して出現する」と所述べ、Ⅲ期Ⅱ相以下の全身麻酔では冷却による

Shivering が認められ不易とを明らかにした
 い。オ₂実験で行はつた低体温麻酔法では
 生体を冷却する前に、S. C. C. により骨格筋
 を完全な弛緩状態とし、さらに ether の吸入
 麻酔によりⅢ期より以下の深麻酔状態を維持
 した。その結果、オ₂実験では、shivering の
 発生はみられず、また、オ₁実験の冷却初期
 に生じたようす、心拍数、大腿動脈圧の上昇
 なども観察されなかつた。これは、shivering
 を防止することにより、組織代謝の亢進を抑
 制し、かつ末梢血管の収縮を防止したため、
 緩環器系への負担が軽減した結果による
 ものと考えられた。

つきに、オ₁実験の冷却後期にみられたHt.
 値の上昇、オ₂実験低体温にもなう血液濃
 縮現象の発現に対し、オ₂実験では、低分子
 デキストラン液により積極的な血液希釈を行
 はつた。低体温時のHt. 値の変動に関しては
 、増加の傾向をとるという報告 (BLAIR,^{11,12)}, D'
 AMATO) が多く、SWANは、体温が20°Cの低体温

時には、常温の 15.2% における Ht. 値の増加が認められたと報告している。また、KLUSSMAN は、非脾臓摘出群と脾臓摘出群を同一条件で冷却した場合、後者では体温 23°C で Ht. 値の 5~6% の増加が認められたが、前者では増加が認められなかつたとして、低体温時の Ht. 値の増加方ならぬ血液濃縮の原因を脾臓の収縮によるものとしている。一方、HEGNAUER は、体温が 22~20°C の低体温時には循環血漿量は 12% の減少を示し、低体温麻酔の前後で体温が 4~6% の減少を示すことから、Ht. 値の増加する原因を循環血漿量の減少によるものと報告している。

拙々実験における Ht. 値の変化は、E.T. 25°C の時点において実験前値の 7.2% に減少し、第一実験の成績や他の多くの報告にみられるようす增加の傾向は観察されなかつた。これは、瀬崎、牧田らによつてその意義が認められていくように、血液濃縮と静脉還流の減少によるところなく中心静脉圧の降下を防止する目的で

- 冷却の過程において低分子デキストラニ液により血液希釈を行はつたためであると考えられる。ここで用いた低分子デキストラニ液は、BERNSTEIN の報告にもあるように、単に血液を希釈するだけではなく、赤血球の陰性荷電を増し、凝集現象を抑制して組織灌流を改善するという利点を有してしまふ。これらの点から、オズ実験で行はつた低分子デキストラニ点滴注入は、同時に投与したヘパリンとあわせて、低体温麻酔時ににおける sludging の予防という意味からしてもとくに意義深いものであると考えられた。
- 低体温麻酔法の優劣を決定する因子として、川島は、体温 25°C 近辺からの心室細動の発生をいかにコントロールするかにあるとしている。また、他の多くの研究者も、低体温麻酔の最大の危険は、心室細動の発生であると指摘している。著者の実験においても、1章のオズ実験のように無処置で実験犬を冷却した場合には、E.T. $23\sim20^{\circ}\text{C}$ 近辺において全例

が心室細動または心停止を発現していふ。

COTINOらは、低体温時にみられる心室細動の発生機序に関するて、体温の降低とともにばつたみられる心筋不応期の延長と心刺激伝導時間の延長とが、体温 25°C 以下ではバランスを失い、前者が後者の延長をしのぐようになつたの。その結果として刺激パルスのre-entryが起り心室細動が発生すると報告していふ。

また、MOURIZENらは、その理論に対し、不応期と刺激伝導時間は、体温が 20°C に達するまではほぼ平行して延長することを証明し、心室細動の発生機序としてmultiple ectopic foci説をうかたてている。一方ばかり、彼らの理論としては、体温が 25°C を過ぎると少く度の房室ブロック、 20°C では完全房室ブロックを生じ、 18°C 以下では外界からの電気刺激によるペーシングで心室の収縮が起らなければ、とかく、 25°C 程度の低体温状態では伝導速度の一一番遅い房室結節の機能が低下し、 18°C 以下では、次に遅い伝導速度をもつ心室筋内伝

導がブロックされるとし、低体温時には Purkinje 組織を通つてのインパルスが心室筋全体を一様に興奮させることは限らず、したがつて、とり残された心室筋の領域が独自のリズムで収縮を始めるため、心室細動が発生するとしている。また、その他に心室細動の発生を促す要因としては、体温の降下によるモロウ低カリウム血症、PHの異常、カテコールアミンの分泌増加、心筋の温度較差なども報告されており、現在でも不明な点が多い。一方、低体温時における心室細動の発生を抑制する処置として人迷界においては、カリウムの点滴投与、β遮断剤、α遮断剤、ether 深麻酔+自律神経遮断剤、ether 深麻酔+過換気、二酸化炭素の付加など研究者により種々の対策が考えられている。しかし、これらは、必ずしも理論的裏付けが十分なされないとは言えない。

第1章の第2実験で行は、大体温麻酔法

では、前投薬として、交感神経遮断剤のtri-

flupromazine hydrochloride と hydroxyzine hydrochloride, 副交感神経遮断薬として atropine sulfate を使用した。低体温麻酔における前投薬の意義は、すでに PURPRA が示唆していようと、寒冷に対する生体の防禦反応である交感神経系の緊張を回避すると云ふのである。また、岡村らは、低体温への導入が円滑に行はれなかつた場合、体温 28°C 前後の時点で著明な不整脈が出現すると報告し、その原因は、心筋自体というよりむしろ心外性の因子である過度の交感神経系の緊張状態が考えられるとして述べている。オ₂実験の成績では、麻酔前投薬により ether 麻酔への導入も円滑であり、冷却初期においても血圧の上昇や不整脈の出現は観察されなかった。また、冷却後期の E.T. $23 \sim 21^{\circ}\text{C}$ 付近においても、オ₁実験でみられた心室細動や心停止はみられず、血行動態に關しても、体温の低下に比例して体血圧も減少するという極めて安定した状態が観察された。これは、麻酔前投薬で投与して

自律神経遮断剤とether麻酔により、体温の降下に伴つてみられたcatecholamineの分泌増加を抑制し心筋の被刺激性の亢進を抑えるとともに、血液希釈により末梢循環の悪化を防止し得たためによるものと推察され。catecholamineの分泌亢進を抑制する作用からびん糖・服液傾向を防止する作用を有するtrifluoropromazine hydrochlorideや、抗不整脈作用を有するhydroxyzine hydrochloride、ether、低分子デキストランなどの効果によるものであると考えられる。

低体温時における血液ガス諸量の変化は、
 ●オ1実験（無処置で犬を冷却した場合）では、冷却後期において P_0_2 、pH、B.E.の極度の減少、 PCO_2 の増加が観察された。それに對し、
 オ2実験では、酸素ガスの吸入とventilationによる PCO_2 レベルの維持を行つたため、その悪化を最少限にくつぐめたことができた。すげわち、オ2実験における P_0_2 の変化としては、冷却による体温の降下とともに P_0_2 は

増加し、第1実験でみられたような極度の anoxia は観察されなかった。また、 PCO_2 については、冷却初期における一過性に増加する傾向がみられたが、その後ほぼ一定に経過した。なお、冷却初期における PCO_2 の一過性の増加については、呼吸管理面の影響も考えられるが、latent shivering 等の発生により組織代謝が一時的に亢進したためとも考えられ、麻酔深度の点でさらに詳細な検討が必要であると考えられた。

血液PHおよびBase Excessに関しては、第1実験に比較して第2実験ではその減少傾向は軽度であった。しかし、冷却時に減少し、室温放置時に回復するという傾向を示し、加温の開始とともに再び減少する傾向がみられた。吉竹によれば、低体温時には、末梢血管の収縮、肺内血流分配の悪化、ヘモグロビン酸素解離曲線の左方移動による血液と組織間の酸素授受障害等に起因し、metabolic acidosis があらわれると報告されている。第2

実験においてもその傾向はみられ、特に加温時にあって metabolic acidosis が惹起された。¹⁰¹⁾しかし、人医界で用いられてゐる三村らの式 ($7\% \text{重曹水 ml} = 0.23 \times \text{B.E. (mEq/l)} \times \text{B.W. (kg)}$) により補正を試みた結果、acidosis は一挙に改善され、安定して加温過程が觀察された。

以上のようにオ1章の成績から、著者の試作した低体温麻酔法によれば、犬において通常では死に至る体温 $20\sim21^{\circ}\text{C}$ レベルの低体温状態が1時間にわたって安全に得られることが確認され、かつ本法により、無処置の犬を冷却した場合に発現する異常反応を是正することが可能であった。しかし、本法が、ただちに血行遮断下の心臓手術や大血管の手術に応用し得るかについては多くの問題があるため、オ2章以後においては、本法による行なえる手術の可能範囲を決定するための実験を企画した。

まず、オ2章においては、その基礎的手段階として、著者の低体温麻酔法を行なったの

ち開胸し、心臓に起始する大血管を開鎖して平均40.0分間の完全血行遮断を行はした。そして、その後は、血行遮断を解除し心蘇生をはかり、オノ章で考案した犬の低体温麻酔法により長時間の完全血行遮断が可能であるか否かを検討した。なお、低体温麻酔下で長時間の完全血行遮断を成功させるためには、低体温麻酔法の良否もさることながら、任意心拍動停止法や心蘇生法など直視下心内手術を行なうに際しての基礎的な手順についても検討を加える必要がある。そこで、オノ章におけることは、オノ実験とオニ実験を企画し、あわせて検討を加えた。

まず、オノ実験においては、低体温麻酔により体温を23°C以下に降下させたのち、胸骨縦切開または右第5肋間の切開により開胸し、心臓を直視下に露出した。ついで、大血管を開鎖し、ヤング氏液により任意心拍動停止法を施して心停止させ、平均41.5分間にわたりて室温中に放置した。そして、その後は

・ 血行遮断を解除し、用手心マッサージを行なうとともに、岡村氏心蘇生液No.2と電気的除細動により心蘇生をはかり、低体温麻酔下における完全血行遮断の安全性およびその問題点について検討を加えた。

まず、低体温麻酔下において長時間の完全血行遮断を行なうための心臓へのアプローチの方法であるが、犬においては胸郭の解剖学的形態からして、胸骨縦切開法による胸腔内に広い術野を得ることは困難であった。また、胸骨縦切開法の場合、手術時に実験犬は仰臥位となるため心尖部が椎骨側に下垂し、その結果、大動脈弓の弯曲度が増して、心蘇生時に冠血管の不全をきたす状態が観察され、心マッサージの効果も不十分であった。したがって、この二つの点から、犬における長時間の完全血行遮断を伴なう心臓手術に際しては、人医界で一般に広く应用されている胸骨縦切開法は、心蘇生の面で不適当であると思われた。

つまり、長時間にわたる血行遮断時にかけて、心臓をどのような状態に保つかであるが、人医学においては、①電気刺激により心室細動を発現させる方法、②無処置で放置し、anoxic arrest を待つ方法、③薬物により完全に停止状態とする方法のいずれかが実施される。そして、その良否については、多くの報告がなされている。岡村らによれば、長時間の血行遮断中には心臓を完全な停止状態で保つほうが、electrical & muscular a cardiac activityを休止させたほうが、metabolic activityを低下させ、心蘇生の過程を有利に導くことが証明されてい。また、MERRITやSEALY らも、血行遮断時に心室細動の状態で放置すると、わずか数秒で冠循環はもとより心筋にも著明なcyanosisがあらわれると述べ、薬物による任意心拍動停止法を推奨している。本章の第1実験においては、0.81%のpotassium citrateと2.46%のmagnesium sulfateの溶液でpHを7.3に補正して心停止液を使

用し、岡村らの注入法により任意心拍動停止法を実施した。その効果は、岡村らの報告にもあるように極めて良好で、注入後5~60秒以内に完全な心拍動の停止がみられたが、注入方法に若干の問題点があげられた。それは、心停止液の注入に際して行なう大動脈の穿刺により、穿刺部に直径5~10mmの偽動脈瘤を形成するなどと、穿刺に際して大動脈を挙上するため、大動脈の起部が捻轉し左右の大動脈へ均等に心停止液が注入されないことがある。それがため、オノ実験の成績では、実験例による心停止液の使用量あるべ心停止を起こすまでの所要時間に差異がみられた。

MERRIT⁽⁴⁶⁾は、理想的な任意心拍動停止法の条件のひとつとして、心停止液を注入したのちは可及的オサヤカに cardiac arrest をさすとをあげている。そのためには、比較的短時間に冠動脈内へ一定量の停止液を注入する必要があり、穿刺に用いる注射針の口径もできる限り大きなものが要求される。しかし、大

においてはヒトに比較して大動脈壁が脆弱であるため、大動脈穿刺による注入方法に危険性を有しており、また、注入の正確性からみても、改善を要するものと思われた。

ついで、心蘇生法については、本章のオノ実験で行なった方法は、岡村らの方法を追試するため、生理食塩水による冠洗浄と岡村式心蘇生液10.2%，おとびそれ併用して用手心マッサージを行なう方法であった。実験の成績は、8例中2例に心拍動の再開がみられたが、心拍動が再開した例でも5～30分後に再び心室細動に移行してしまった。この方法では、犬において完全な心蘇生は得られなかつた。岡村らは、この方法によれば、ヒトにおいて心蘇生液の注入後、数分間のマッサージで心拍動が出現すと報告している。しかし、本実験の結果から推察すると、この成績は心蘇生液を注入する時期や心マッサージの技術によってかなりの相違を示し、心マッサージの際に少しだけ心縦軸が捻轉したり冠血管か

屈曲するといふ蘇生は困難となり、確実性に欠けるところがある。とくに、歎送心臓外科領域における将来の臨床応用を考えると、体重3～6kgの先天性心疾患の幼犬が本法の対象となる可能性が強いことを考慮するならば、このような症例に対し胸腔内に術者の片手を完全に挿入して行なう心マッサージは不可能に近い。したがって、長時間の血行遮断後に用いる心蘇生法は、心マッサージの技術や方法によって左右されることはなく安定して心蘇生が得られる方法を考案する必要があると考えた。

そこで、本章のゆえ実験においては、前述した二と三問題点を改善するため、任意心拍動停止法には、新しく逆行性カテーテル注入法を、また、心蘇生には酸素加血液の冠液流法を考案し実験に供した。

その結果、著者の低体温麻酔法により得られたE.T. 21°C レベルの低体温状態において、平均38.2±4.7分間の完全血行遮断後において

も全例で心拍動の再開が認められ、復温する
ことにより意識の回復をみ生存するに至った
。なお、オフ室験で行なった任意心拍動停止
法では、オフ室験のように大動脈瘤の発生も
みられるが、心停止液は左右の大動脈へ均等に
注入された。また、今回著者が考案した酸素
加血液の冠灌流法では、特殊な器具器材、複
雑な cannulation を必要とせず、本法を行なわ
なかつた場合(オフ室験)に比較して極めて
安定して心蘇生が得られた。冠灌流による心
蘇生活の有用性は、KEITH らの著書 (Heart
disease in infancy and childhood) や MAS-
TARD らの Pediatric Surgery に紹介されてい
る。また、本邦においても、田中らの報告に
みられるように、人医界ではすでに臨床応用
されている。しかし、それらの方法は、専用
の pump や heat exchanger 等を必要とし比較的大
がかりなものである。今回おこなつた著者の
方法では、cannulation の際に大動脈壁や心室
壁を損傷することなく、簡便でかつ正確に冠

灌流を実現することができず、専用の pump や oxygenator を必要としなかった。また、使用する血液も 100~200 ml/head と極めて少量であり、心蘇生率も用手心マッサージのみの場合に比較してはさかに効率的であった。さらに、開心術を行なつた際には、心室内の脱気操作にも応用できなど多くの利点を有しており、将来の獣医臨床への応用の可能性は大であると考えられた。

つきに、長時間にわたる完全血行遮断の生体に及ぼす影響であるが、岡村らは、酸素消費量の低下度、血流遮断に伴う脳波の変化、Warburg 検圧法による脳、肝、心臓の各切片の代謝低下度、および組織像などから、許容血行遮断時間を、常温で 5 分、体温 30°C で 15 分、27°C で 20 分、25°C で 30 分としている。今回の実験では、体温が平均 21.6°C の時点において、38.2 分間の完全血行遮断を行なつたが、実験後においても脳機能、心機能等に異常は認められなかつた。また、心電図所見において

- 1つは、血行遮断を行はなかつた場合に比較し心蘇生後の加温時にあつて期外収縮など
の刺激生成異常をみる例があつたが、加温による体温の回復とともに実験前の所見に回復
し、MERRIT らの指摘した心停止液の使用による心筋細胞の anoxia 等は観察されなかつた。
- 2つめ、血液ガス諸量に関しては、血行遮断を行はなかつた場合に比較して、加温の過程
において $A - V O_2$ difference が著しく増大した。この現象は、組織における酸素消費量が
増大する場合 (demand anoxia) や末梢循環不全のため血液の循環が末梢でうつ滞する場合
(stagnant anoxia) に発生するといわれていふ。本実験においては、加温とともに体温
の回復により組織における酸素の消費量が増大し、さらに長時間の完全血行遮断により生
じた末梢循環不全が関与して $A - V O_2$ difference が増大したものと考えられるが、これらに対
しては、α-遮断剤またはβ刺激剤の投与が
● 心率であると考えられた。

以上、第1章、第2章の成績から、低体温
麻酔法により、犬において、従来の獣医学領域
での報告では不可能に近いとされていた、
体温21~22°Cレベルの約40分間にわたる完全
血行遮断がほぼ安全に実施できることが確認
された。そして、つきに第3章および第4章
では、同様の低体温麻酔・完全血行遮断下で
開心術(右心房切開術、左心房切開術、右心
室横切開術、右心室縦切開術)を実施し、本
法の安全性をさらに追求するとともに、あわ
せて、前述した開心術の生体に及ぼす影響を
観察した。

獣医学領域における低体温麻酔下の開心術^{9,15,16)}
は、犬において黒川、BRADEN、BREZNOK、福
慶らの報告がみられるが、いずれも比較的、
短時間の開心術であり、長時間にわたる開心
術の成功例は、報告されていない。

40分間以上の血行遮断下で行なう比較的長
時間の開心術には、脳組織との関連から、体
温を25°C以下にす必要があり、この場合に

す。低体温麻酔法の良否による、開心術後の心蘇生および加温過程での回復状況に影響があるかと考へられてます。また、血行遮断下の長時間にわたる開心術を実施するうえで、さへに重視しなければならぬ問題は、術中にあって心蘇生および空気栓塞の問題、術後においては、開心操作にともなって発生する心臓の刺激伝導障害と低心拍出量症候群などがあり、一般の外科手術に比較して、多くの問題点を有してます。

次章で行なった心房開心術では、まず右心房切開により、仰臥位、静脈間陸起、三尖弁等が直視下に露出され、無血靜止状態の心臓より心臓内術野が得られた。そして、開心創を縫合したのは、著者の酸素加血液冠流法により蘇生を試みたが、血行遮断のみで開心術を行なわなかつた第2章の成績と同様、すみやかに心拍動が再開し、心蘇生の段階では右心房開心術の影響は観察されなかつた。加温過程においては、体温の回復とヒート

大腿動脈圧、心拍数、心電図、血液ガス諸量の回復がみられたが、中心静脈圧はE.T. 25°Cの時点においても有意に上昇しており、切開および縫合による右心房収縮への影響が示唆された。さらに、1例ではあるが加温過程のE.T. 27°Cの時点において心房細動の発生がみられたが、これも、右心房の切開、縫合による影響であると思われた。

つづいて、左心房開心術では、開心操作にともなう5例中3例に冠動脈の air embolism がみられ、加温過程の初期において大腿動脈圧の有意の減少が観察された。しかし、加温過程が進行すると、air embolism の影響も消え、右心房開心術の例と同様に、大腿動脈圧、心拍数、心電図、血液ガス諸量は実験前値に復帰する傾向を示した。

実験を終了後は、兩群とも生存させ術後の状態を観察したが、長時間の血行途絶による脳機能障害や、心房開心術とともに心臓の刺激伝導障害や低排出量症候群は観察さ

れなかつた。

このように、低体温麻酔・完全血行遮断下で行はつた心房開心術では、心蘇生後において中心静脈圧の上昇、心房細動、冠動脈内のair embolismなど心房切開による影響がみられたが、復温後には順調に回復し実験前の状態に復帰した。

つぎに、先々章では、前章までと同様の低体温麻酔、完全血行遮断下において平均26.5分間の右心室開心術を実施した。なお、人医界で行はわれてゐる右心室の切開法では、一般的に右心室の流出路に対して垂直に切開する右心室横切開法と、平行に切開する右心室縦切開法の二方法が考えられてはいるが、本章においては、これらの二方法の大犬における安全性および有意性を検討する目的で、実験犬を二群にわけ、兩切開法を実施し、あわせて検討を加えた。

本章で行はつた右心室の切開法は、I群(10例)において三尖弁口から心尖部に向う横

切開法、Ⅱ群(10例)においては、肺動脈弁口の直下から右心室流出路至心尖部に向う縦切開法である。本実験の結果から推察すると、右心室開心術をおこなう上での手技的な面では、犬においては右心室縦切開法のほうが横切開法に比較して広範囲に心臓内の術野が得られ、かつ、心筋の縫合に際して縫合部の支持力が強く、縫合後にもうれし針穴からの出血を極めて少ないと、いう利点を有していまと考えられた。しかし、開心後の心蘇生に要した時間は、Ⅰ群が平均5.6分±2.8分、Ⅱ群が4.0±2.3分であり、2群の間に有意の差は認められず、兩群とも極めて安定した心蘇生が得られた。著者の低体温麻酔法および酸素加血液の冠流法により、これがこの切開方法においても約40分間前後の右心室開心術が可能であると考えられた。

721

WALDENHAUSEN らは、心臓の切開法について、術後の心収縮力の低下は、開心操作による冠状動脈分枝の損傷程度にはほぼ比例する

44)

と述べてゐる。また、MARCH らは、右心室機能曲線および strain gauge arch の所見から観察すると、冠状動脈分枝の損傷の少ない右心室横切開法のほうが、縦切開法に比較して有利であると報告してゐる。本実験においては、開心術後の心電図所見で、I 群に比較して II 群に期外収縮の発生頻度が高かつたが、大脳動脈圧、中心静脈圧、血液ガス分析所見では、兩切開法の間に有意の差は認められなかつた。したがつて、兩方法とも安全に実施できることと考えられるが、前述したような手技面での利点を考慮に入れならば、犬においては右心室横切開法よりも縦切開法のほうが、実際面での利用価値が高いものであると考えられる。

低体温麻酔下における開心術直後の血液ガス諸量について、志田は、心蘇生の直後には PCO_2 は一時的に上昇し、 pH は低下し、Base Excess は、血行遮断中に進行した嫌気的代謝による二酸化炭素蓄積によって一時的に血液中には

いよだため、急激な acidosis に陥るゝと述べて
いよ。本実験においても、血行遮断を解除し
た直後に、 PCO_2 の急激な上昇、pH および Base
Excess の著明な低下が観察された。体温温下
の酸塩基平衡については、現在もなお多くの
問題点を有していよ。すなはち、採血時に温
度補正を行はば pH および PCO_2 から得られ
る値と、38°C の恒温槽で測定した値とでは、非
常に異った結果を示し、その解釈が極めて困
難であること、および、体温温下の酸塩基平
衡が常温下の概念で解釈できまか否かが不明
146~148)

であることを示すである。浦沢、諫山らは、低
体温時の acidosis は、常温下の概念で考え
ほど重篤なものではなく、体温温下の生体に
固有なものであると述べていよ。しかし、一
方では、MOHRI のように、血行遮断前後の a-
cidosis を、hyperventilation で補正し、 PCO_2 を
低値に、pH を 7.8 前後の高値に保つことが、麻
酔経過を良好にするものであるとしていよ研
究者も多い。本実験においては、血行遮断解

(101)

除の直後は三村の補正式により補正を行はる、かつ、hyperventilationにより PCO_2 を低下し、 pH を上昇させることにより、極めて安定した心蘇生および加温過程が観察されていえる。これらの点については、今後は詳細な検討を加える必要があると考えられるが、体温過麻酔下の酸塩基平衡の問題は、常温の概念で論じた性質のものではなく、体温と、この特異な状態での酸塩基平衡として考慮すべきであると考えられた。

開心術後の心臓刺激伝導障害に関して、RABINOVICHは、その原因として心筋に加えられた外科的損傷、術後の低酸素血症および神経反射として副交感神経系の反射などあげている。心筋に加えられた外科的損傷に起因する術後刺激伝導障害は、開心術の種類により異なる。ヒトにおいては、右心房開心術において crista terminalis に相当する部分を走行するとしており、後結節間路を切断あるいは縫合する可能性が強く、心房内伝導路の損傷によ

り術後に結節調律を呈する症例が多いといわれています。また、心室中隔欠損の閉鎖に際して、刺激伝導系の左脚前枝を損傷し、left anterior hemiblock を合併したり、あるいは右脚を損傷して右脚ブロックを合併する例も多々と報告されています。また、低酸素血症による術後刺激伝導障害の発生については、hypoxia によって catecholamine の分泌が亢進し、末梢血管の収縮、体血圧の上昇、迷走神経反射の亢進、カリウムの細胞外逸出、pH の下降など一連の反応により心機能が低下し、心筋の興奮性の上昇により不整脈が惹起されやすくなると考えられています。本実験においても、開心術後において一過性の房室ブロックや、R 頸に noch あることは分離のみられる例が多かった。しかし、これらの変化は、加温により体温が回復するとともに消失し、続的には刺激伝導障害を呈する例はみられなかつた。本実験でみられた、これらの一過性の刺激伝導障害は、開心操作によるアブリキ

ニ工線綫の断裂や心筋の損傷に起因するもの
であると考えられるが、これらは、術後早期
に機能的に修復されてしまう程度のものであ
り、大腿動脈圧、中心静脈圧等の測定結果か
ら推察しても、術後の血行動態にはほとんど
影響をおぼさないものであると考えられる。

結 論

今回、著者は、如何間前後の完全血行遮断下で開心手術を可能とする犬の低体温麻酔法および蘇生法を確立する目的で、雑種成犬56例を使用し、基礎的な研究を実施した。

その結果、つきの成績が得られた。

1. Pentobarbitalのみを投与し、冷却した場合の犬の臨界食道温度は、 $20.7 \pm 0.4^{\circ}\text{C}$ であった。なお、死に至るまでの生体の変化としては、心拍数・大脳動脈圧・血液酸素分圧・血液pH・Base Excessの極度の減少、血液炭酸ガス分圧・血球血漿容積比・中心静脈圧の増加が観察され、循環器・呼吸器系の虚脱、重度の acidosis、血液濃縮等が観察された。
- また、E.T. 21°C 以下においては、体位の変換等の軽度の刺激により期外収縮や心室細動が発現し、心筋の被刺激性の増大が認められた。

2. 著者の試作した犬の低体温麻酔法により、臨界食道温度を超える体温 $20\sim21^{\circ}\text{C}$ レベルの1時間にわたり低体温状態が安全に得られることを確認した。

3. その間の生体の変化としては、体温の低下に伴はる心拍数の減少、心電図における各duration およびinterval の延長、動脈圧の低下、 PO_2 の上昇、PH およびB.E. の低下が認められ、加温の過程においては冷却の過程と鏡像的な変化をもって実験前の状態に回復した。

4. 犬においては、低分子デキストラン液を単独で $10\sim15 \text{ ml/kg}$ 投与することにより、低体温時に発生する血球血漿容積比の上昇を防止することが可能であった。

5. 血液PHの補正には、低体温状態の犬においても、 $7\% \text{ 壓曹水} (\text{ml}) = 0.23 \times \text{B.E.} (\text{mEq/l}) \times \text{B.W.} (\text{kg.})$ の式を適用することは可能であった。

6. 犬におけるは、胸郭の解剖学的構造から、胸骨縦切開法で胸腔内に広い術野を得ることは困難であった。また、保定位置の関係で心蘇生時に心尖部が椎骨側に下垂し、大動脈起部が屈曲して一時的な冠循環不全をきたすことがあるため、犬における長時間の直視下心内手術のアプローチとして、胸骨縦切開法は不適当であった。

7. 任意心拍動停止法を行なうに際しての心停止液の注入方法は、大動脈穿刺法より逆逆行性カテーテル法のほうが、偽動脈瘤の発生を防ぐが、心停止までの所要する時間が短かかった。

8. 著者の考案した酸素加血液の冠灌流法と低体温麻酔法を併用することにより、E.T. 21°C レベルの低体温状態において平均38.2±4.7分間の心停止下完全血行遮断が可能である。

9. 長時間にわたり完全血行遮断後の生体機能の変化としては、動静脈血酸素分圧差の増大が認められた。

10. 著者の酸素加血昇流法又び体温麻酔法により、心停止・完全血行遮断下で25分間以上の右心房開心術、左心房開心術、右心室横切開術、右心室縦切開術が、それぞれ可能であった。

11. 犬においては、上記の開心術後においても、重篤な心臓刺激伝導障害の発現は観察されなかった。

12. 右心室の切開方法としては、横切開法と縦切開法とに生体に与える影響の差異は認められず、犬においては、いずれの方法とも安全に実施しうることが判明した。なお、犬においては、右心室横切開法よりも、縦切開法の方が広範な心臓内の術野が得られ、か

つ心筋の縫合に際して縫合部の支持力が強く、縫合綾にみられる針穴からの出血も極めて少なかったという利点を有していた。

13. 著者の考案した酸素加血液の冠流流法は、用キ心マッサージのみによる心蘇生法に比較して、心蘇生時間の短縮、心筋に与える damage の軽減、心蘇生率の向上など多くの点ですぐれていた。また、本法は、大動脈壁や心室壁を損傷することなく、複雑な cannulation なしに実施することができ、専用のポンプや oxygenator を必要とせずに少量の血液で十分な効果が得られた。また、開心術の実施時においては、心室内の脱気操作にも応用することができでき、実用的な方法であった。

謝 辞

稿を終えさせて臨む。終始御懇願仰御指導、
御校閲を賜わった。麻布歯科大学 北昂
教授、高崎重教授、若尾義人助教授、八深
甚丁の感謝の意を表すと共に。本研究を
遂行するにあたり御援助を戴いた菅沼常徳講
師、武藤真氏、北垣照夫氏、保阪正久氏、
船田安司氏、砂越雄二氏、木村渾氏、青木
修氏、古崎講治氏、三村嘉久氏、杉田喜平
氏、金子家敏氏、黒松勇蔵氏、新迫高志氏
心から深謝いたします。

1. Adamsons,K.,Daniel,S.S.,Gandy,G.,James,L.S.(1964) : Influence of temperature on blood pH of the human adult and newborn. J.Appl.Physiol.19,897.
2. Aldinger,E.E.(1963) : Metabolic effects of deep hypothermia. J.Surg.Res.3,4,178-184.
3. Anderson,S.(1963) : Blood acid base alignment nomogram. Scan. J.Clin.&Lab.Invest.15,211.
4. Bailey,L.L.,Takeuchi,Y.,Williams,W.G.,and Mustard,W.T.,(1976) : Surgical management of congenital cardiovascular anomalies with the use of profound hypothermia and circulatory arrest. J.Thorac.Cardiovasc.Surg.71,4,485-492.
5. Bernhard,W.F.(1961) : Hypothermic cardiac arrest in normothermic animals. Annals of Surg.153,1,43-51.
6. Bernstein,E.F.,Emmings,E.G.,Evance,R.L.,Castaneda,A., and Varoco,R.L.(1960) : Effect of low molecular weight dextran on red blood cell charge during clinical extracorporeal circulation. Circu.27,816.
7. Bigelow,W.G.(1950) : Oxygen transport and utilization in dogs at low body temperatures. Amer.J.Physiol.160,125.
8. Bigelow,W.G.,Lindsay,W.K. and Greenwood,W.F.(1950) : Hypothermia its possible role in cardiac surgery. Ann.Surg.132,849.
9. Bigelow,W.G.,Mustard,W.T. and Evans,J.G.(1954) : Some physiologic concept of hypothermia and their applications to cardiac surgery. J.Thoracic.Surg.28,463.
10. Bigelow,W.G.,Sidlofsky,S.(1961) : Hormones in hypothermia. British Med. Bull.17,1,56-60.

11. Blair,E.(1971) : Hypothermia. Textbook of Veterinary Anesthesia.555-579.
12. Blair,E.,Montgomery,A.V.,and Swan,H.(1956) : Post hypothermic circulatory failure. I. Physiologic observation on the circulation. Circu.13,909.
13. Bradley,A.F.,Severinghaus,J.W.(1956) : Effect of temperature on PCO and PO of blood in vitro. J.Appl.Physiol.9,201.
14. Braden,T.D.,Appleford,M.D.,Hartsfield,S.M.,Eyster,G.E.,Anderson,L.K.,and Blender,G.A.(1972) : Correction of ventricular septal defect in a dog. J.A.V.M.A.161,507-512.
15. Breznock,E.M.,Vasko,J.S.,Hilwig,R.W.,Bell,R.L.,and Hamlin,R.L.(1971) : Surgical correction using hypothermia of an interventricular seotal defect in the dog. J.A.V.M.A.158,1391.
16. Breznock,E.M.(1973) : Spontaneous closure of ventricular septal defect in the dog. J.A.V.M.A. 162,399-403.
17. Burke,J.F.(1963) : Preoperative antibiotics. Surg.Clin.N.Am. 43,665.
18. Cohn,L.H.,Roberts,W.C.,Rockoff,S.D.,and Morrow,A.G.(1966) : Bacterial endocarditis following aortic valve replacement. Clinical and pathologic correlation. Circu.33,209.
19. Covino,B.G.,Charleston,D.A.,and D'Amato,H.E.(1954) : Ventricular fibrillation in the hypothermic dog. Am.J.Physiol.178,148.
20. Dieter,R.A.,and Neville,W.E.(1972) : Metabolic aspect of body perfusion in dogs using profound hypothermia and severe hemodilution. Am.J.Vet.Res.37,485.
21. Dillard,D.H.,Mohri,H.,and Hassel,E.A.(1967) : Correction of

- total anomalous pulmonaly venous drainage in nifant utilizing deep hypothermia with total circulatory arrest. Circu. Suppl. 35,36,105.
22. Barnard,C.N.(1959) : Pre and postoperative care for patients undergoing open cardiac surgery. Diseases of the chest.35,194.
23. Benzing,G.(1967) : Cardiotomy and ventricular function. J.Thorac.Cardiovas.Surg.53 303,
24. D'Amato,H.E.,and Hegnauer,A.H.(1953) : Blood volume in the hypothermic dog. Am.J.Physio.173,100.
25. Dillard,D.H.,Mohri,H.,and Merendino,K.A.(1971) : Correction of heart disease in infancy utilizing deep hypothermia and total circulatory arrest. J.Thorac.Cardiovasc.Surg.61,64.
26. Dill,D.B.,and Forbes,W.H.(1941) : Respiration and metabolic effects of hypotermia. Am.J.Physiol.132,685.
27. Drew,C.E.(1961) : Profound hypotermia in cardiac sugery. British Med. Bull.17,1,37-42.
28. Ettinger,S(1968) : Conversion of atrial fibrillation using direct current synchronized shoch. J.A.V.M.A.152,41.
29. Fay,T.(1949) : Observations on prolonged human refrigeration. N.Y.State,J.Med.40,1351-1354.
30. Fekety,R.F.,Cluff,L.E.,Sabiston,D.C.,Seidl,L.G.,Smith,J.W., and Thoburn,R.(1969) : A study of antibiotics prophylaxis in cardiac sugery. J.Thorac.Cardiovasc.Surge.57,757.
31. Hall,L.W.(1960) : How to induce hypothermia in the dog. Med. Vet.Prac.41,14,34-38.
32. Haterius,H.O.,and Maison,G.L.(1948) : Experimental hypotherm-

- ia and rewarming in the dog recovery after severe reduction in body temperature. Am.J.Physiol.152,225.
33. Hegnauer,A.H.(1950) : Cardiovascular response of the dog to immersion hypothermia. Am.J.Physiol. 161,455.
34. Hegnauer,A.H.,Flynn,J.,and D'Amato,H.(1951) : Cardiac physiology in the dog during rewarming from hypothermia. Am.J.Physio. 167,69.
35. Horvath,S.M.,and Spurr,G.B.(1957) : The physiology of induced hypothermia. Nat.Acad.Sci.8,451.
36. Johnston,A.E.,Radde,I.C.,Steward,D.J.,and Taylor,J.(1974) : Acid-base and electrolyte changes in infants undergoing profound hypothermia for surgical correction of congenital heart defect. Canad.Anesth.Soc.J.21,23.
37. Keith,J.D.,Rowe,R.D.,and Vlad,P.(1970) : Heart disease in infancy and childhood. ed.2.,New York,Macmillan,363.
38. Kelman,G.R.,and Nunn,J.F.(1966) : Nomograms for correction of blood PO₂, PCO₂, pH and base excess for time and temperature. J.Appl.Physiol.21,1484.
39. Lesage,M.A.(1964) : Tolerance to deep hypothermia. Arch.Surg. 89,4,677-684.
40. Lewis,F.J.,and Taufic,M.(1953) : Closure of atrial septal defects with the aid of hypothermia, experimental accomplishments and the report of one successful case. Surg.33,1,52.
41. Liedtke,A.J.,Hughes,H.C., and Neely,J.R.(1976) : Effects of coronary perfusion during myocardial hypoxia. Comparison of metabolic and hemodynamic events with global ischemia and hypoxemia. J.Thorac.Cardiovasc.Surg.71,5,726-735.

42. Lyons,W.S.(1960) : Postoperative care after whole-body perfusion and open intra cardiac operations. J.A.M.A.173,625.
43. Manohar,M.,and Tyagi,R.P.(1972) : Surface-induced deep hypothermia and prolonged circulatory stasis in dogs. J.A.V.M.A. 161,4,371-377.
44. March,H.W.,Ross,J.K.,Weirich,W.L.,and Gerbode,F.(1961) : The influence of the ventriculotomy site on the contraction and function of the right ventricle. Circ.24,572.
45. McArthur,K.T.(1962) : Continuous recording of blood oxygen saturation in open heart operations. Surg.51,121.
46. Merritt,D.M.H.,Sealy,W.C.,Young,W.G.Jr.,Harris,J.S.,and Durhan,N.C.(1958) : Potassium,magnesium, and neostigmine for controlled cardioplegia.A.M.A.Arch. of Surg. 76,3,365.
47. Moffitt,E.A.(1959) : A study of blood flow,venous blood oxygen saturation,blood pressure and peripheral resistance during total body perfusion. Anes. 20,18.
48. Mohri,H.,Hessel,E.A.,Nelson,R.J.,Matano,I.,Anderson,H.N., Dillard,D.H.,and Merendino,K.A.(1966) : Use of rheomacrodex and hyperventilation in prolonged circulatory arrest under deep hypothermia induced by surface cooling. Am.J.Surg.112,241.
49. Mohri,H.,Dillard,D.H.,Crawford,E.W.,Martin,W.E.,and Merendino,K.A.(1969) : Method of surface-induced deep hypothermia for open heart surgery in infants. J.Thorac.Cardiovas.Surg.58,262.
50. Mohri,H.,Dillard,D.H.,and Merendino,K.A.(1972) : Hypothermia :Halothane anesthesia and the safe period of total circulatory arrest. Surg.72,345.
51. Mohri,H.,Pitts,C.L.,Sands,M.P.,Manhas,D.R.,Dillard,D.H., and Merendino,K.A.(1972) : Effects of surface induced hypother-

- mia and circulatory occlusion on plasma catecholamines. Surg. 72,596.
52. Mori,A.,Muraoka,R.,and Yokosa,F.(1972) : Deep hypothermia combined with cardiopulmonary bypass for cardiac surgery in neonates and infants. J.Thorac.Cardiovasc.Surg. 64,422.
53. Mustard,W.T.,Ravitch,M.M.,Suyder,W.H.Jr.(1969) : Pediatric Surgery. ed.2.Chicago,Year Book Medical Publishers Inc.,596.
54. Northway, R.B.(1973) : Hypothermia and electroanesthesia in the dog and cat. VM.SAC.1047,9.
55. Osborn,J.J.(1953) : Experimental hypothermia : Respiratory and blood pH changes in relation to cardiac function.Am.J.Phys. 175.
56. Parker,E.F.(1968) : The effects of right atriotomy and ventriculotomy upon right ventricular function. J.Thorac.Cardiovas. Surg. 55,88.
57. Purpura,M.D.(1958) : Hypothermic potentiation of centrally induced cardiac irregularities. Anesth.19,1,27.
58. Rittenhouse,E.A.,Mohri,H.,and Merendino,K.A.(1971) : Circulatory dynamics during surface induced deep hypothermia and after cardiac arrest for one hour. J.Thorac.Cardiovas.Surg.61,359.
59. Rittenhouse,E.A.,Mohri,H.,Dillard,D.H.,and Merendino,K.A. (1974) : Deep hypothermia in cardiovascular surgery. Ann.Thora. Surg. 17,63.
60. Rosenthal,T.B.(1948) : The effect of temperatur on the pH of blood and plasma in vitro. J.Biol.Chem.173,25.
61. Severinghaus,J.W.(1956) : Oxyhemoglobin dissociation curve correction for temperature and pH variation in human blood.

- J.Appl.Physiol. 12,485.
62. Severinghouse,J.W.(1959) : Respiration and hypothermia. Ann. New York Acad.Sci.80,384.
63. Stern,S.,and Braun,K.(1970) : Pulmonary arterial and venous response to cooling: role of alpha-adrenergic receptors. Am.J.Physiol.219,982.
64. Steward,D.J.,Sloan,J.A.,and Johnston,A.E.(1974) : Anesthetic management of infants undergoing profound hypothermia for surgical correction of congenital heart defects. Canad.Anesth.Soc. J. 21,15.
65. Stirling,C.R.(1957) : Effects of cardiac bypass and ventriculotomy upon right ventricular function with report of successful closure of ventricular septal defect by use of atriotomy. S.Forum.8,433.
66. Subramanian,S.(1974) : Early correction of congenital cardiac defects using profound hypothermia and circulatory arrest. Ann.R.Coll.Surg.Engl.54,176.
67. Swan,H.,Zeavin,I.,Holmes,J.H.,and Montgomery,V.(1953) : Cessation of circulation in general hypothermia.:Physiologic changes and their control. Ann,Surg. 138,360.
68. Swan,H.(1962) : Hypothermia,Surgery of the chest. W.B.Saunders Company,Philadelphia,London,662.
69. Theyl,R.A.(1965) : The value of venous oxygen levels during general anesthesia. Anesth.26,49.
70. Trevino,A.,Razi,B.,and Beller,B.M.(1971) : The characteristic electrocardiogramm of accidental hypothermia. Arch.Int.Med. 127,470.

71. Virtue,R(1955) : Hypothermic anesthesia. 66.Charles,c,Thomas ,Springfield,Illinoi.
72. Waldenhausen,J.A.,Herenden,J.T.,and Taybi,H.(1964) : Left ventricular function and coronary vessels. Surg.56,868.
73. Weirich,W.E.,Smith,C.R.,Incropera,F.P.,and Mandelbaum,I. (1973) : Hypothermia for cardiac arrest surgery in the dog. J.A.A.H.A. 9,540-547.
74. Wilson,J.N.(1965) : Rational approach to management of clinical shoch. Arch.Surg.91,92.
75. Wong,K.C.,Mohri,H.,and Dillard,D.(1974) : Deep hypothermia and diethyl ether anesthesia for open-heart surgery in infants. Anesth.& Analg. 53,765.
76. Spurr,G.B., Hutt,B.K.,and Horvath,St.M. (1954) : Prolonged hypothermia in the dog. Amer. J. Physiol. 178. 275-282.

77. 馬場国男, 平川方久, 綾藤 勇, 橋田晃和 (1973) : 心停止蘇生後の脳障害に対する
3 低体温療法の経験. 麻酔XX. 3, 252.
78. 細井靖夫, 米沢利英, 岡村 宏, 湘沢玲児, 斎藤一彦, 斎藤春悦, 船越 智, 紫田義治, 伊藤昭治, 八重樫碗一, 村井正元, 今達, 西川孝成 (1962) : 超低体温麻酔による心電図の変化. 麻酔II. 8, 657.
79. 福山敏彦, 牧野惟義, 河野通隆, 木村幸三郎, 奈良英功, 時松秀治, 岩木 巖, 高木芳嗣, 三宅 有, 片根敏郎 (1962) : 低体温療法の研究 (特に病態生理学的研究による shivering の意義と cold narcosis の限界, および低酸素負荷の問題について). 麻酔II. 8, 651~653.
80. 船木治穂, 池田晃穂, 天島睦夫, 謙山高矩, 伊藤通成, 羽田野 茂 (1965) : 血液冷却超低体温と血行動態. 医学のあゆみ, 52, 5, 240~246.
81. 綾藤 勇 (1968) : 低体温麻酔時の脳の

循環動態六関方の研究・麻酔17, 301~310.

82. 平野頼造(1976)：心蘇生六関方の生理と薬理, 麻酔25, 13. 1331~1343.
83. 細井信夫, 湧沢玲児, 柴田茂治, 斎藤春悦, 千葉胤貞, 岡田一誠(1969)：低体温麻酔時に於ける心拍出量. 麻酔18, 12, 1221~1222.
84. 細井信夫, 湧沢玲児, 柴田茂治, 千葉胤貞, 岡田一誠, 斎藤春悦(1970)：低体温麻酔時に於ける循環動態の変動. 麻酔19, 10. 1142~1143.
85. 細井信夫, 湧沢玲児, 柴田茂治, 千葉胤貞, 岡田一誠, 西尾四郎, 稲内秀彦, 清川泰彦, 斎藤春悦(1971)：単純超低体温時の循環動態の変動. 特に CO_2 の影響. 麻酔20, 10, 923~926.
86. 池田宣政, 宗行万元助(1969)：低体温時の I L meter 測定値. 前回の発表のその六関連して. 麻酔18, 9. 884~890.
87. 岩根 正, 相田純久, 丸山正則(1976)

：NCA変法を用ひて超低温温麻酔法による乳幼児開心術の臨床経験. 麻酔, 25. 13, 1410 ~ 1415.

88. 堀畠秀光 (1975) : 当病院における開心術の麻酔. 臨穂外科, 37. 1. 18.
89. 桂 重次 (1958) : 心臓血管外科に対する人工冬眠, 体温温下からびに超低温温麻酔の実験的研究. 心臓外科研究, 299.
90. 桂 重次 (1958) : 心臓停止による脳機能障害の研究. 心臓外科研究, 315~319.
91. 川島康男, 藤原厚憲, 岡田和夫, 小杉功, 山口達晴, 印南比呂志, 松田 功, 山村秀夫 (1973) : 表面冷却単純超低温温麻酔の体内血流分布に及ぼす影響. 1. phe-noxybenzamine併用法. 麻酔 22. 7. 638.
92. 川島康男, 岡田和夫 (1976) : 体温温麻酔の基礎. 臨穂外科. 38, 2, 111~117.
93. 木本誠二, 杉江三郎, 浅野献一 (1955) : 直視下心臓内手術, 特に選択的脳灌流冷却法の考察並びに本法による心房中隔欠損

症手術成功例について. 臨牀外科. 10, 293.

94. 木本誠二 (1958) : 心臓内直視下手術の研究. 心臓外科研究. 315~319.

95. 小坂二度見, 遠原潤治 (1964) : 低体温麻酔時のバマッサージに関する諸問題. 麻酔 XIII. 10, 681 ~ 692.

96. 黒川和瓶, 一木彦三, 小松健二, 奥田翠子, 野田宗兵, 大竹貴一, 斎藤京子 (1963) : ペントバルビタールナトリウムによる犬の低体温麻酔について. 日獣畜大紀要, 12, 6 - 20.

97. 黒川和瓶, 一木彦三, 小松健二, 野田宗兵, 本郷久仁治 (1964) : 犬の低体温麻酔下手術に関する研究. 血行遮断と右心室切開による糸状虫摘出手術について. 日獣畜大紀要, 13, 27 ~ 39.

98. 牧田俊彦 (1973) : 表面冷却下低体温麻酔時の末梢循環動態についての研究 (第1編) 末梢循環動態と体液循環動態. 日胸外会誌. 21, 12, 1103 ~ 1121.

99. 松室正智 (1965) : 低体温における心・腎
の Metabolism . 医学のあゆみ . 52, 5 .
263~269.
100. 松本昭彦, 佐藤 嘉, 近藤治郎, 熊田淳
一, 綾藤 久 (1973) : 心臓外科における
低体温法の病態生理 . 脳神経外科 , 25, 6 ,
589~596.
101. 三村 久, 高橋公綱, 井上 真 (1969)
: NaHCO_3 & THAM - 1. 投与量と pH の変動 . 麻
酔 18, 5, 399~407.
102. 審腰達朗, 平沢博之, 長吹敏子, 吉田豊
, 島村欣一, 米沢利英 (1969) : 低体温時
の循環血液量に関する研究(1). 冷却過程に
於ける変化 . 麻酔 18 (12) 1222~1223.
103. 審腰達朗 (1970) : 血液標識法による低
体温時の末梢循環に関する研究 . 麻酔 19,
7, 739~748.
104. 中村常太郎 (1972) : 低体温麻酔における
循環動態の研究 . 日胸外会誌 , 20, 320.
105. 中村和夫, 川崎富夫, 谷中 清, 坂田康

二，麻田 宗（1971）：開心術後shock に関する臨床的研究、血行動力学的診断と治療
116-124. 臨穀外科, 21. 2. 116~124.

106. 西風 潤，小林 実，松岡寿子，天羽崇
，角田一己，氏家 太，土本幸治，山花一
好（1972）：超低体温麻酔による心臓手術
の麻酔管理 117-127. 特に心室細動，心蘇
生について。麻酔 16. 2. 105~112.

107. 新津勝宏，安井 豊，村井正元，西川孝
成，牧田俊宣（1968）：低体温開心術と止
血剤。臨穀外科. 30, 5, 510~514.

108. 及川佑一郎，安井 豊（1969）：低体温
開心術後の電解質の変動。日胸外会誌. 17
，12，1336.

109. 及川 淳，北田道子，下平一憲，涌沢玲
児，宮本アルフォンソ（1970）：低体温時の
血液ガス分析。臨床病理 18, 補冊288.

110. 国村 宏，涌沢玲児，齊藤一彦，千葉淳
，瀬川脩一，新津勝宏，松谷裕之，佐々木
隆夫，道又 央，細井睦美，阿部 実，中

村哲夫，森 寛志，小田島節朗，加藤恵子，松本 修 (1960) : 超低体温麻酔下長時間心血流遮断後の心臓蘇生法に関する実験的・臨床的研究. 胸部外科 13, 2, 178~180.

111. 岡村 宏，浦沢玲児，齊藤一彦，千葉淳，瀬川修一，新津勝宏，松谷裕之，佐々木隆光，道又 大，細井睦美，阿部 実，中村哲夫，森 寛志，小田島節朗，加藤恵子，松本 修 (1960) : 超低体温麻酔下長時間心血流遮断後の心蘇生法に関する実験的・臨床的研究 (正編). 胸部外科. 13, 5, 628~632.

112. 岡村 宏，浦沢玲児，齊藤一彦，千葉淳，瀬川修一，新津勝宏，松谷裕之，佐々木隆光，道又 大，細井睦美，阿部 実，中村哲夫，森 寛志，小田島節朗，加藤恵子，松本 修 (1960) : 超低体温麻酔下長時間心血流遮断後の心臓蘇生法に関する実験的・臨床的研究 (正編). 胸部外科. 13, 8, 705 ~ 712.

113. 岡村 宏, 斎藤一彦, 湧沢玲児, 細井靖夫, 斎藤春悦, 紫田茂治, 船越 智, 伊藤昭治, 新澤勝宏, 松谷裕之, 高崎清悦, 細井睦美, 道又央, 小綿輝碗, 安井 豊, 今達, 村井正元, 寛崎義宣, 漆谷基, 小池達(1962) : 低体温ならびに超低体温法実施に際しての麻酔管理法. とくに自律神経遮断剤の効用について. 麻酔11, 9, 678.
114. 岡村 宏, 湧沢玲児, 斎藤一彦, 細井靖夫, 斎藤春悦, 千葉角貞, 紫田茂治, 五十嵐三儀, 瀬崎登志彰, 山下淳平, 阿部靖子, 石井隆志, 細井信夫(1966) : 心臓外科における単純超低体温法の実施法とその理論. 日胸外会誌, 14, 7, 696~697.
115. 岡村 宏(1969) : 表面冷却による単純超低体温の為の吸入麻酔. 既大医誌. 20. 1. 29~29.
116. 太田里美, 町田莊一郎, 杉江三郎(1972) : 開心術の補助手段としての低体温法の最近の動向. 第8回日本低体温研究会の問題

点を中心とした。日胸外会誌21, 12, 1162.

117. 織田秀夫, 長谷川健一, 菅間直, 高橋敬亮, 石原昭, 千葉智也, 大沢幹夫, 因中孝 (1957) : 低体温併用人工心肺。手術11, 890.

118. 斎藤春悦, 涌沢玲児, 柴田義治, 千葉角直, 細井信夫, 佐久木忠正, 岡田一敏, (1969) : 超低体温麻酔時の血清電解質変動。麻酔8, 12, 1223~1224.

119. 斎藤一彦 (1969) : 単純超低体温法の麻酔管理法に関する研究。特に心電図学的所見を中心とした(2)。日胸外会誌7, 11, 1238~1253.

120. 柳原洋, 織田秀夫, 太田八重子, 中山耕作, 木村賢二, 勝原綾久子, 岩井重雄, 市井厚吉, 長谷川健一, 脇川健次, 新井達太, 菅間直, 千葉智也, 高橋敬亮, 徳山昭二, 間田勝己, 今井三喜 (1956) : 心臓直視手術, 継天性心臓弁膜症の直視手術に成功した事例。臨外, 11, 325.

121. 柳原 什 (1958) : 心臓内直視下手術による研究. 心臓外科研究, 496~491.
122. 笠本 浩 (1958) : 任意心拍停止による研究. 心臓外科研究, 515~522.
123. 佐竹 弘 (1959) : 超低体温における心電図の変化, 実験的研究. 呼吸と循環, 7, 1033.
124. 佐谷 誠, 浅田 章, 豊田芳郎, 謝道, 北村 豊, 西村清司, 藤森 貢 (1976) : アドレナリン肺水腫の治療経験. 麻酔, 25, 7, 704~707.
125. 藤井金吉 (1958) : 超低体温による実験的研究. 心臓外科研究, 392~399.
126. 志田 寛, 森本雅己, 土尾隆, 関竜幸, 菅谷晴彦 (1973) : 開心術における単純超低体温法の問題点とその適応. 臨外35, 7, 763~772.
127. 塙千草弘 (1969) : 超低体温法による疾患の手術経験. 日臨外会誌, 30, 5, 598~599.

128. 信田卓男, 高橋 貢, 若尾義人, 菅沼常徳, 武藤 真, 北垣照夫, 保阪正久, 鮎田安司, 砂越確二, 北 昂(1975) : 犬の低体温麻酔法に関する実験的研究 I. 第79回日本獣学会要旨, 95.
129. 信田卓男(1976) : 犬の低体温麻酔法に関する実験的研究. I. 低体温時にかけ生体機能の変動と長時間完全血行遮断後の心蘇生法について. 麻酔研報, 31, 239~254.
130. 信田卓男, 高橋 貢, 若尾義人, 菅沼常徳, 古橋講治, 三柳嘉久, 金子家敏, 杉田喜代春, 黒松勇蔵, 仁木陽子, 北 昂(1976) : 犬の低体温麻酔法に関する研究 II. 第82回日本獣学会要旨. 124.
131. 信田卓男, 高橋 貢, 若尾義人, 菅沼常徳, 古橋講治, 三柳嘉久, 金子家敏, 杉田喜代春, 黒松勇蔵, 北 昂(1977) : 犬の低体温麻酔法に関する研究. III. 第83回日本獣学会要旨. 112.
132. 信田卓男(1977) : 犬の低体温麻酔法に関する

関する研究. II. 低体温麻酔下における左心室開心術につい. 麻酔研報, 2, 1.

133. 信田卓男, 高橋 重, 保田修一, 沢邦彦, 若尾義人, 菅沼常徳, 北 昂(1977) : 心疾患犬に対する低体温麻酔法の応用. I. 部分的大血管転位症の1例. 麻酔麻酔. 8, 13~20.

134. 信田卓男, 若尾義人, 菅沼常徳, 保田修一, 高橋 重, 北 昂(1977) : 比較的急性に経過した犬の僧帽弁閉鎖不全症の1例. 日獣会誌, ,

135. 信田卓男(1978) : 犬の低体温麻酔法に関する研究. III. 低体温麻酔下における左心房開心術につい. 麻酔研報.

136. 諸訪邦夫(1976) : 血液ガス測定値の温度補正. 麻酔, 25, 185.

137. 田中茂穂, 伊藤 孝, 佐藤清春, 鈴木康之, 石沢栄次, 堀内藤吾(1976) : 心臓外科における低体温法. 臨臨外科, 38, 2, 136~143.

138. 織田 勇 (1965) : 低体温に対する温血動物との臓器の生存限界. 医学のあゆみ. 52, 5, 313~318.
139. 砂田輝式, 志水 浩 (1965) : 低体温における血液性状の変化. とくに凝固機能. 医学のあゆみ. 52, 5, 273.
140. 高橋光太郎, 岩月暨一, 国田一夫, 佐藤和弥, 橋本保彦 (1969) : 高圧酸素環境と低体温併用に関する基礎的研究. 麻酔 18, 12, 1350~1351.
141. 高橋光太郎, 安田 勇, 佐藤和弥, 国田一夫 (1970) : 低体温下血流遮断時の酸塩基平衡. 麻酔 19, 1, 105.
142. 田中茂徳, 堀内藤吾, 石戸谷武, 石沢宗次, 国田嘉元, 佐藤成和, 仁田新一, 田所正道 (1971) : 単純低体温, 冠灌流蘇生法による乳幼児心室中隔欠損の開心根治手術. 心臓. 3, 12, 1449~1453.
143. 千葉智也, 關口守衛 (1968) : 低温, 高圧酸素下心保存法の再検討, 移植. 3, 4.

144. 内田盛夫, 山岡久泰 (1969) : 低体温麻酔50例の経験. 日赤医学, 2, 4.
145. 瀬崎登志章 (1967) : 低体温時における血液希釈の意義. 日胸外会誌. 15, 294.
146. 浦沢玲児, 紫田茂治, 斎藤春悦, 千葉清貞, 細井信夫, 佐々木忠正, 岡田一敏, 細井靖天 (1969) : 単純低体温麻酔による開心術500例の経験. 麻酔18, 2, 240~248.
147. 浦沢玲児, 斎藤春悦, 紫田茂治, 千葉清貞, 細井信夫, 佐々木忠正, 岡田一敏 (1969) : 低体温麻酔下高張創投与による心停止の1例. 麻酔18, 8, 759~764.
148. 浦沢玲児 (1972) : 開心術に対する低体温麻酔の要点. 胸部外科, 25, 322, 19.
149. 渡辺晃, 岡村宏, 高橋孝雄, 野呂甚吉 (1956) : 超低温麻酔下長時間心血流停止犬の心臓蘇生法に関する実験的研究. 総合医学, 13, 8, 771~780.
150. 渡辺晃, 村上禎 (1976) : 低体温麻酔と外科. 臨穂外科, 38, 2, 124~135.

151. 山口佳晴, 謙訪邦夫, 山村秀夫 (1969) : 心停止後の A - ADCO₂. 麻酔. 18. 1. 14.
152. 山口佳晴, 謙訪邦夫, 山村秀夫 (1971) : 心停止蘇生後の肺血流分布. 臨床生理. 1. 2, 166~171.
153. 矢島睦夫 (1970) : 超低体温法の実験的研究. 各種臓器に及ぼす病理組織学的変化. 日外会誌 21, 7, 783~805.
154. 米沢利英, 岡村 宏 (1961) : 低体温麻酔. 各科麻酔の実際. 医学書院. 285.
155. 米沢利英 (1971) : 単純超低体温時の換気適正調節の研究. 麻酔 20, 10, 924.
156. 米沢利英 (1976) : 低体温麻酔の臨床. 臨雑外科. 28. 2. 118~123.
157. 吉井直三郎 (1958) : 低体温麻酔の生理学的諸問題, 特に高張食塩水による心室の抗細動性. 心臓外科研究, 351~371.
158. 吉竹 敏 (1971) : 低体温と血液酸塩基平衡. 酸塩基平衡の臨床, 朝倉書店, 112.
159. 吉竹 敏, 三枝正裕 (1971) : 開心術後

の病態生理、脳神外科、33、4、327-343。

160. 和田久宣(1969)：心臓手術患者の術後管理に関する臨床的研究、心機能と動脈血及び中心静脈血のガス分析値について。麻酔、18、9、840-853。
161. 奥森雅道(1977)：開心術とsubendocardial ischemia. 呼吸と循環、25.5, 393-401.
162. 宮崎正天、魚住敏、室川佐太郎(1962)：低体温法の基礎的研究。麻酔、X1, 8. 652.



Fig. 1.

Photograph of a dog taken at the time of 2 hours before cooling.



Fig. 2.

Photograph of a dog taken at the time of 10 minutes before cooling.

Anesthesia was maintained at deep levels with ether administered via a semiclosed circuit.



Fig. 3.

A dog being cooled by placement of crushed ice over the entire body.

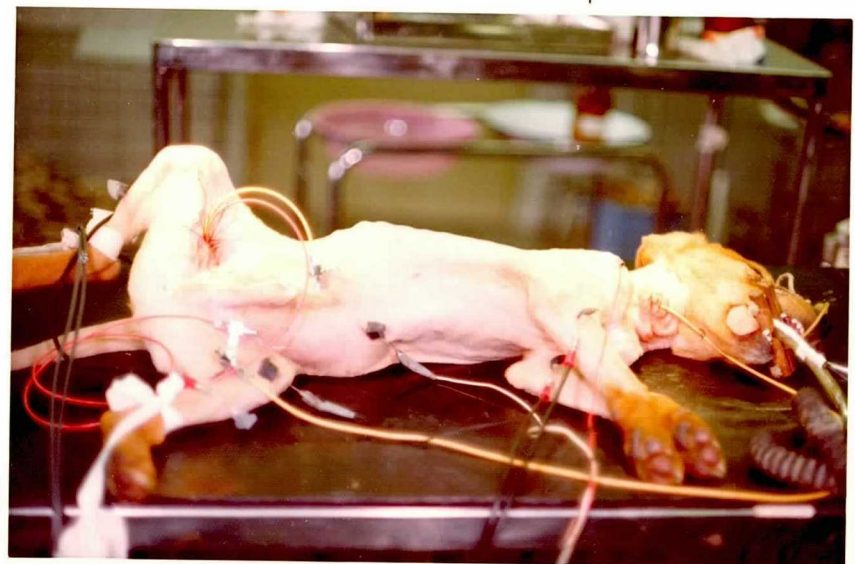


Fig. 4.

Photograph of a dog taken at the time of 20 minutes before rewarming.

Left femoral artery was cannulated to measure arterial blood pressure, and right jugular vein was cannulated to measure central venous pressure.



Fig. 5.

Slow rewarming was accomplished with warm water (42 to 44 C) with a plastic sheet interposed between the body of the dog and water.



Fig. 6.

Photograph of a dog taken at the time of 24 hours after hypothermic anesthesia.

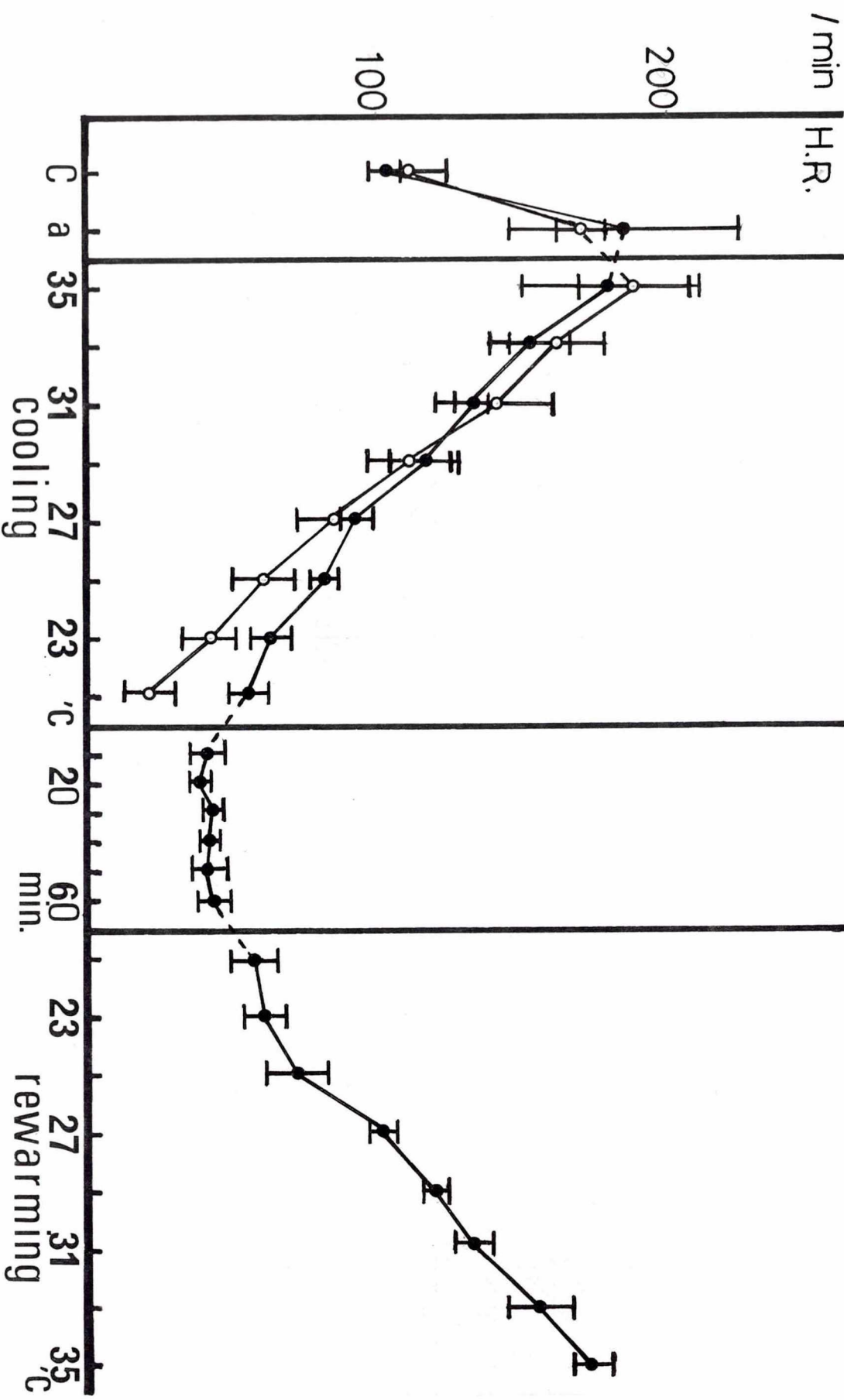


Fig. 7. Changes of heart rate.

Each dot and vertical bar express the arithmetic mean + standard deviation of 5 dogs. solid circle : arithmetic mean of experiment 2.
open circle : arithmetic mean of experiment 1.

C : control ● value, A : ether anesthesia, C : E. ●

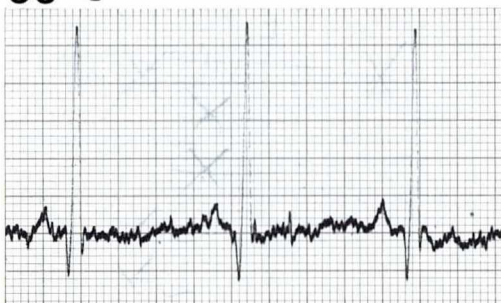
cont.



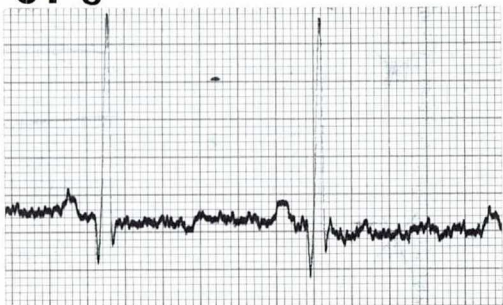
35 °C



33 °C



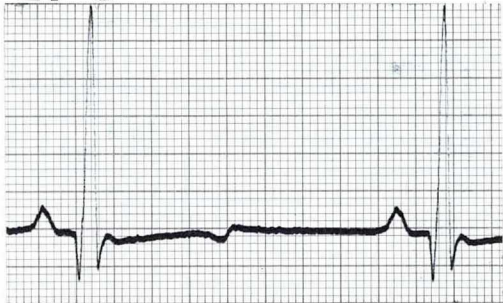
31 °C



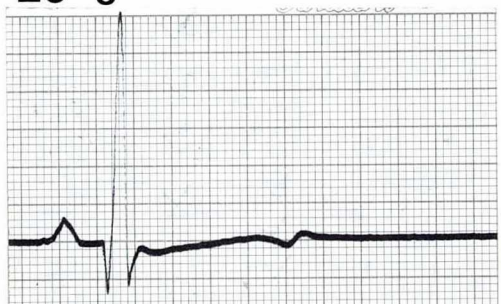
29 °C



27 °C



25 °C



23 °C



21 °C

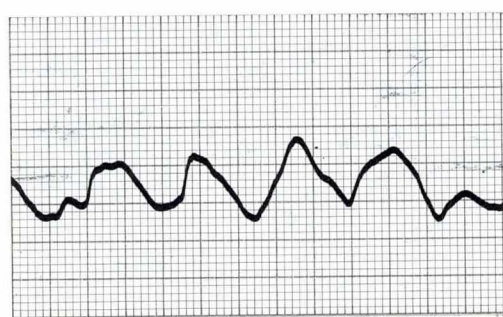
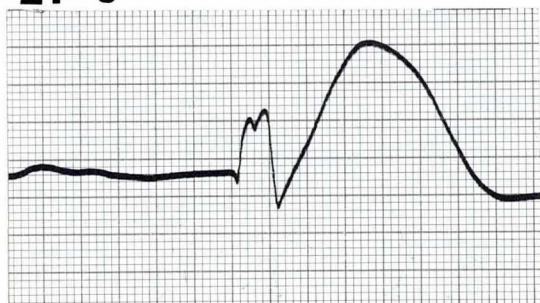


Fig. 8. Changes of electrocardiogram (limb lead II) in a dog of experiment 1.

Remarks : C : midesophageal temperature.

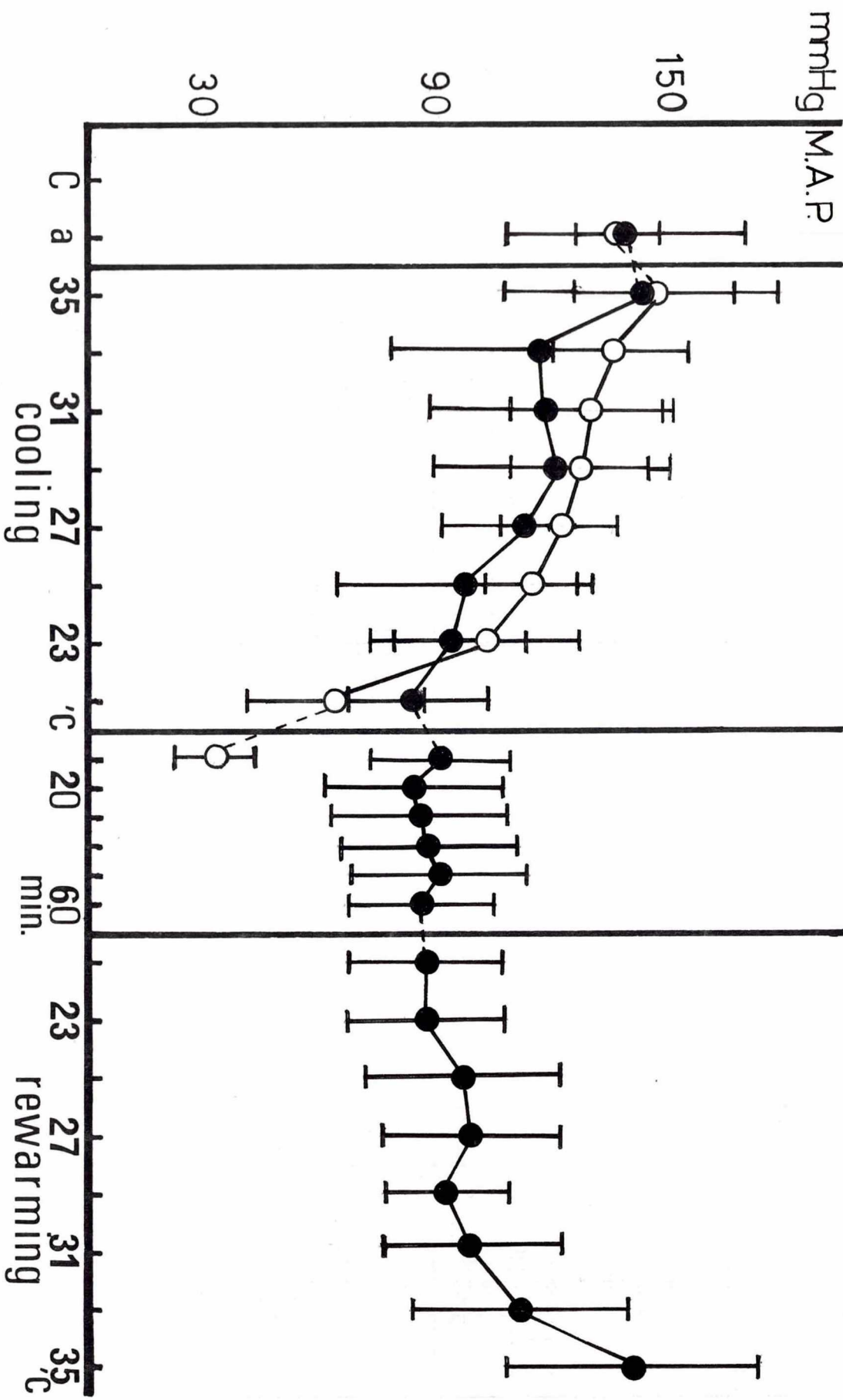


Fig. 9. Changes of maximal arterial pressure.

Each dot and vertical bar express the arithmetic mean + standard deviation of 5 dogs. open circle : arithmetic mean of experiment 1.
solid circle : arithmetic mean of experiment 2.

C : control value, a : anesthesia , C : E.T.

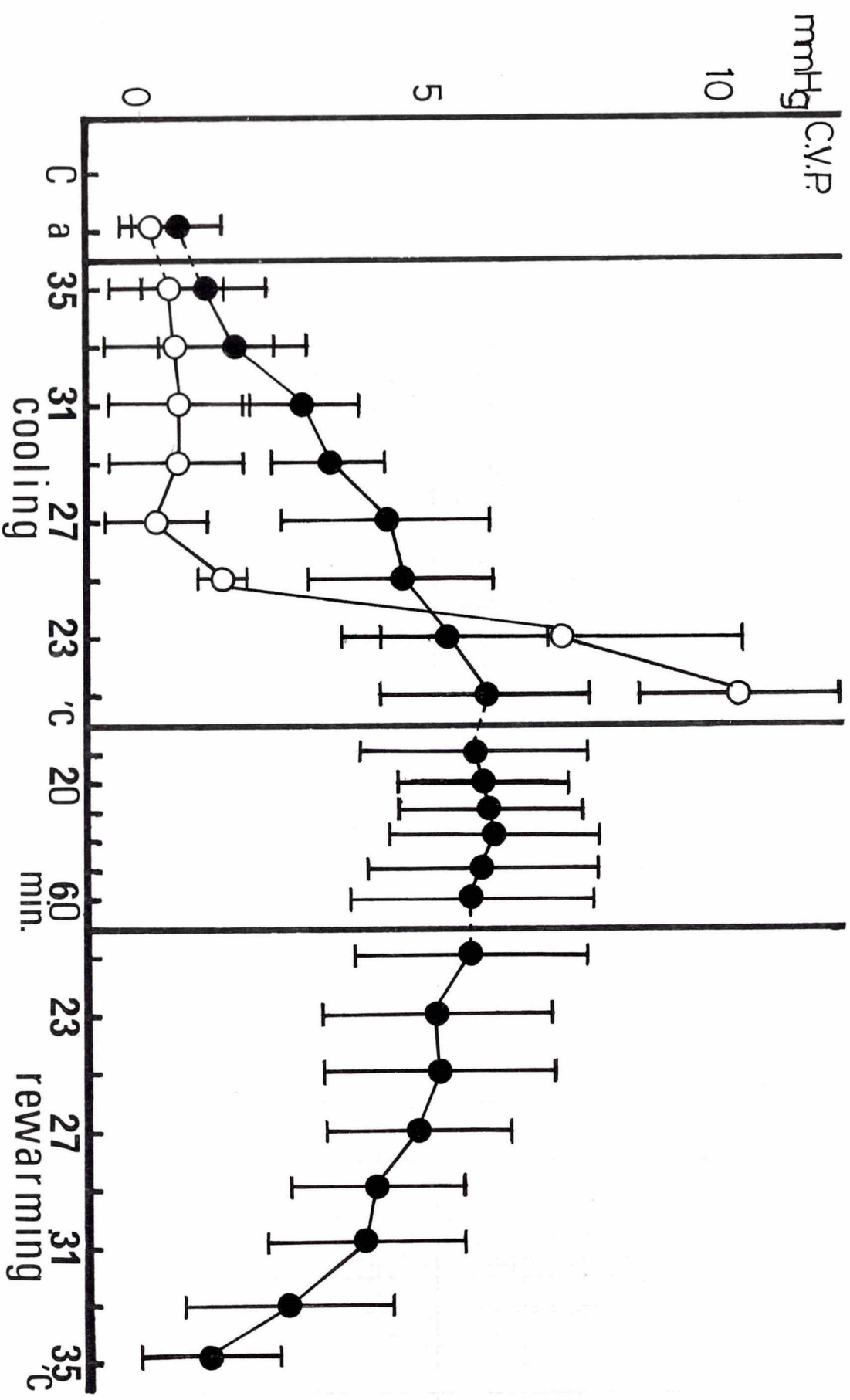


Fig. 10. Changes of central venous pressure.

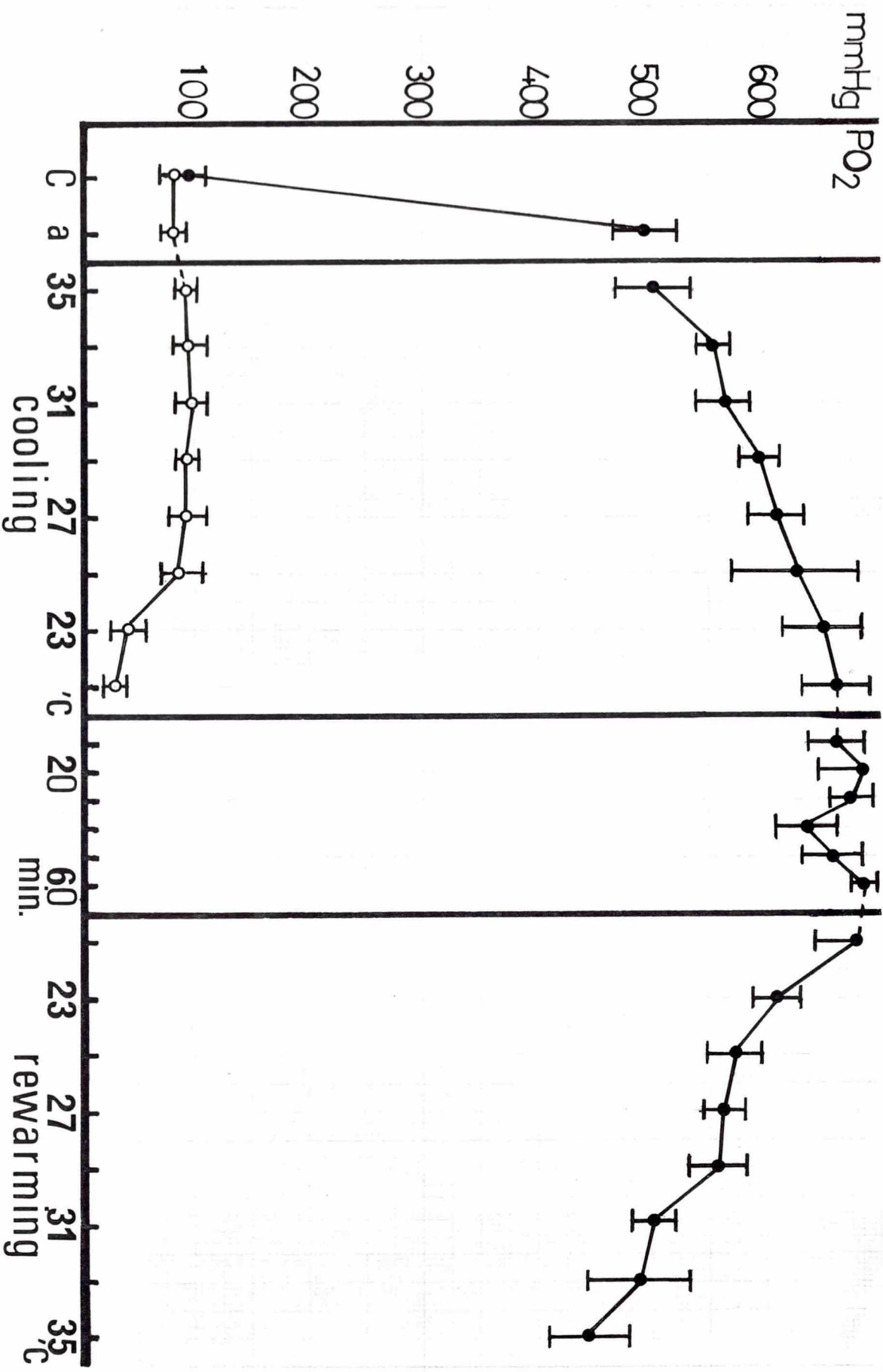


Fig. 11. Changes of arterial and venous blood oxygen tension (PO_2).
Each dot express the arithmetic mean of 5 dogs.

open circle : arithmetic mean of experiment 1.
solid circle : arithmetic mean of experiment 2.

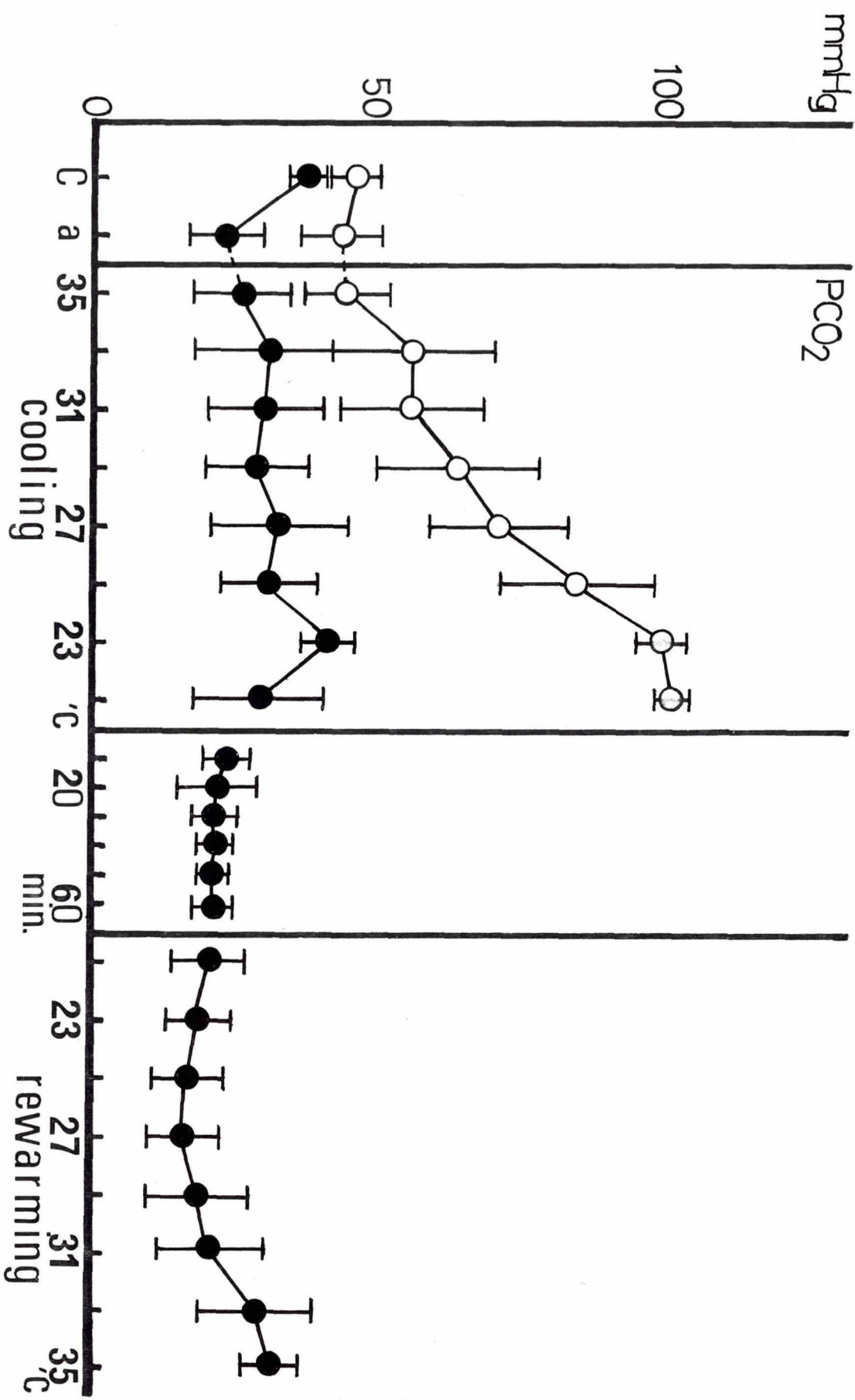


Fig. 12. Changes of arterial blood carbon dioxide tension (PCO)

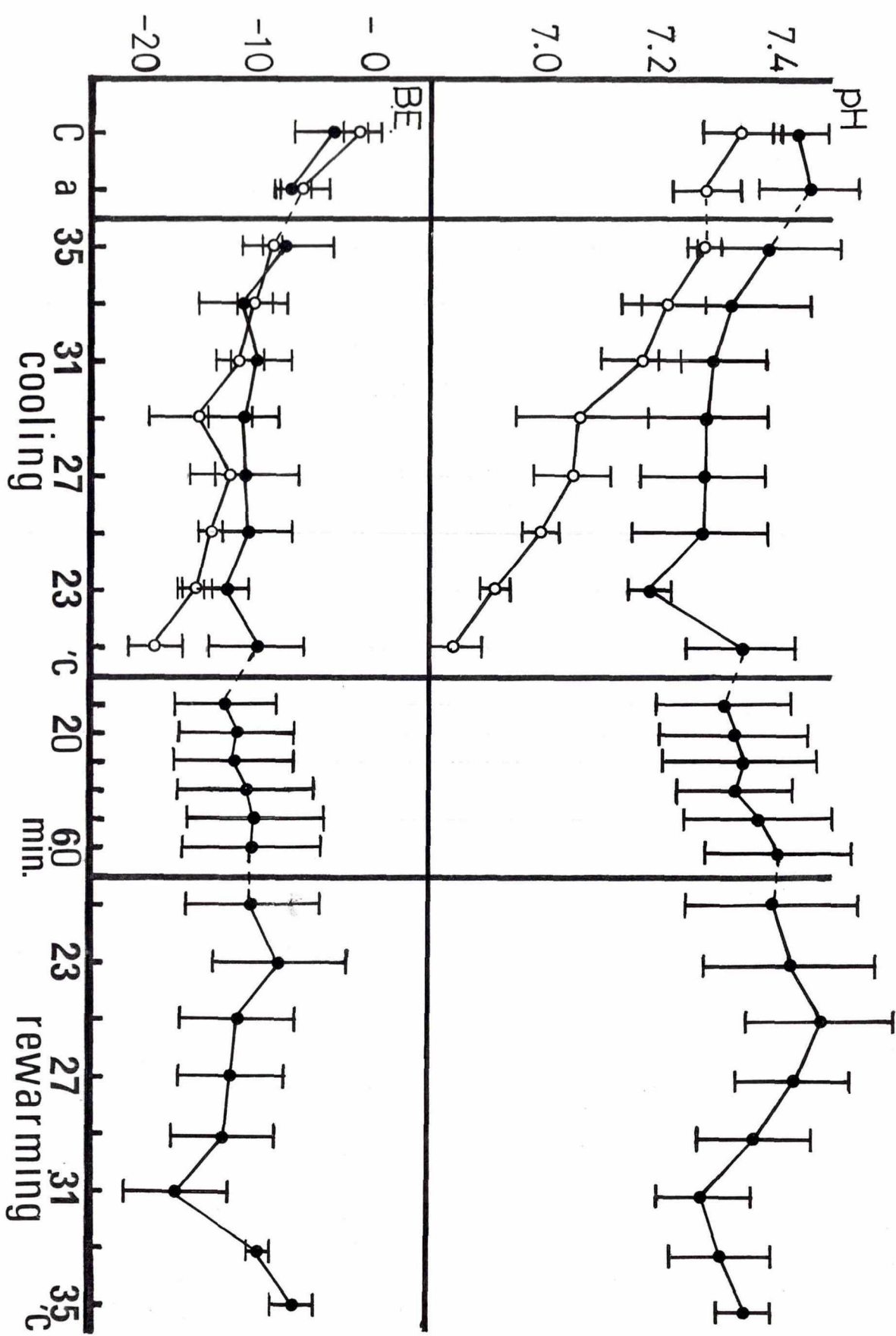


Fig. 13. Changes of arterial blood pH and Base excess.

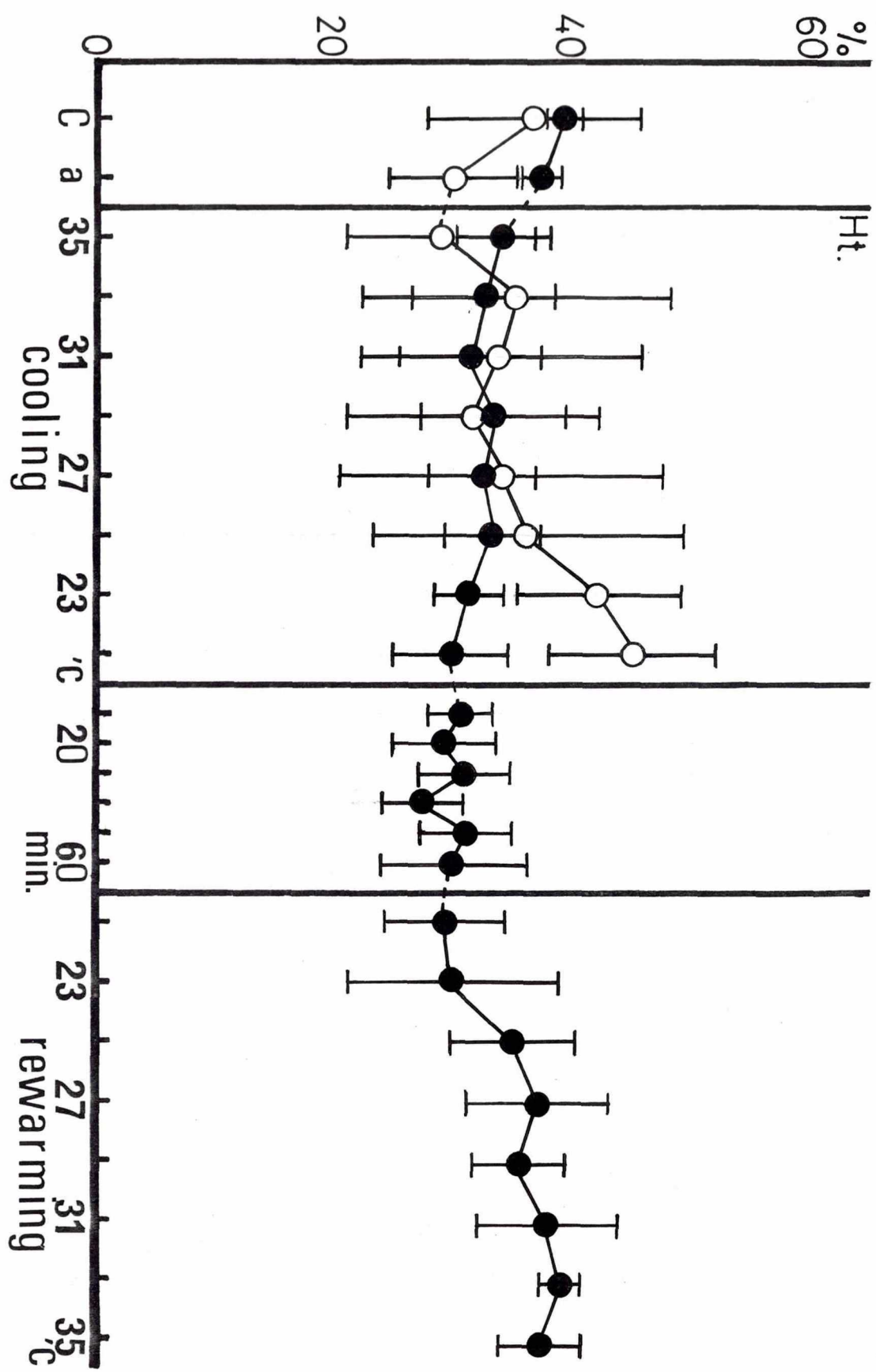
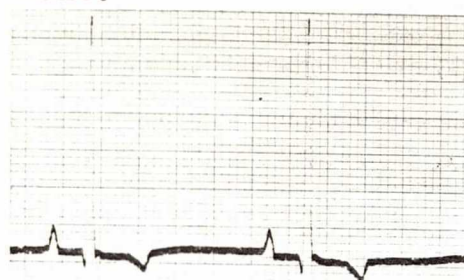
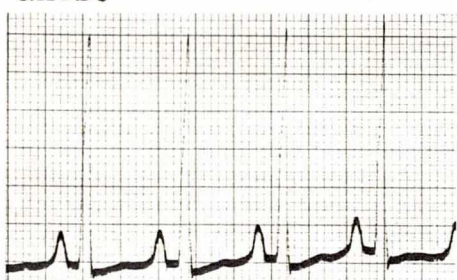


Fig. 14. Changes of hematocrit value.

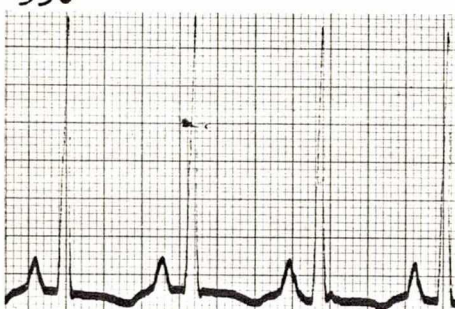
cont.



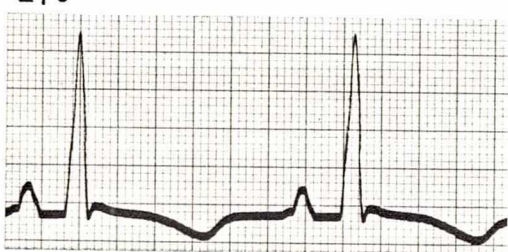
anes.



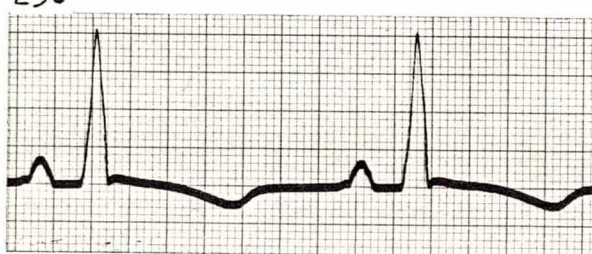
33°



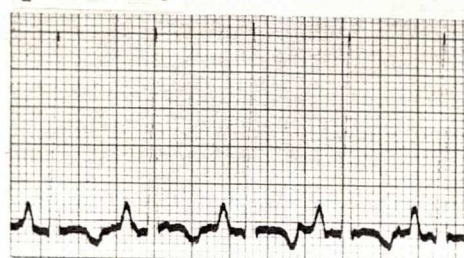
27°



23°



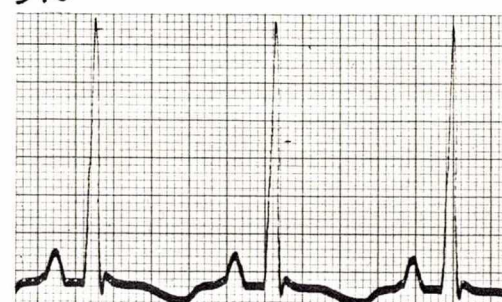
premedi.



35°



31°



25°

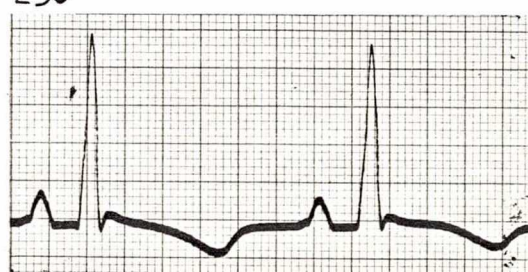


FIG. 15-1 CHANGES OF THE ELECTROCARDIOGRAM DURING COOLING.

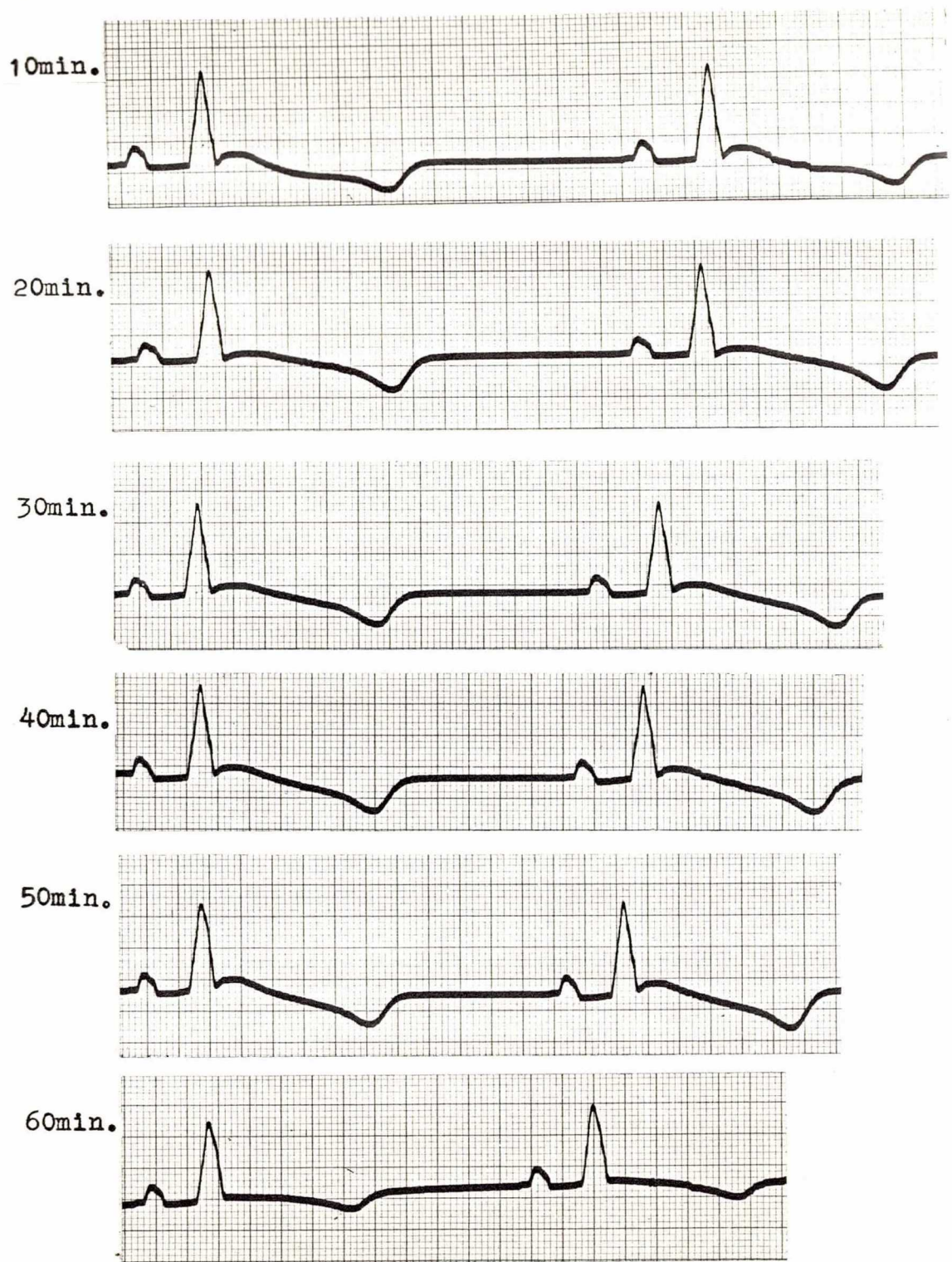


FIG. 15-2 CHANGES OF THE ELECTROCARDIOGRAM DURING HYPOTHERMIA.

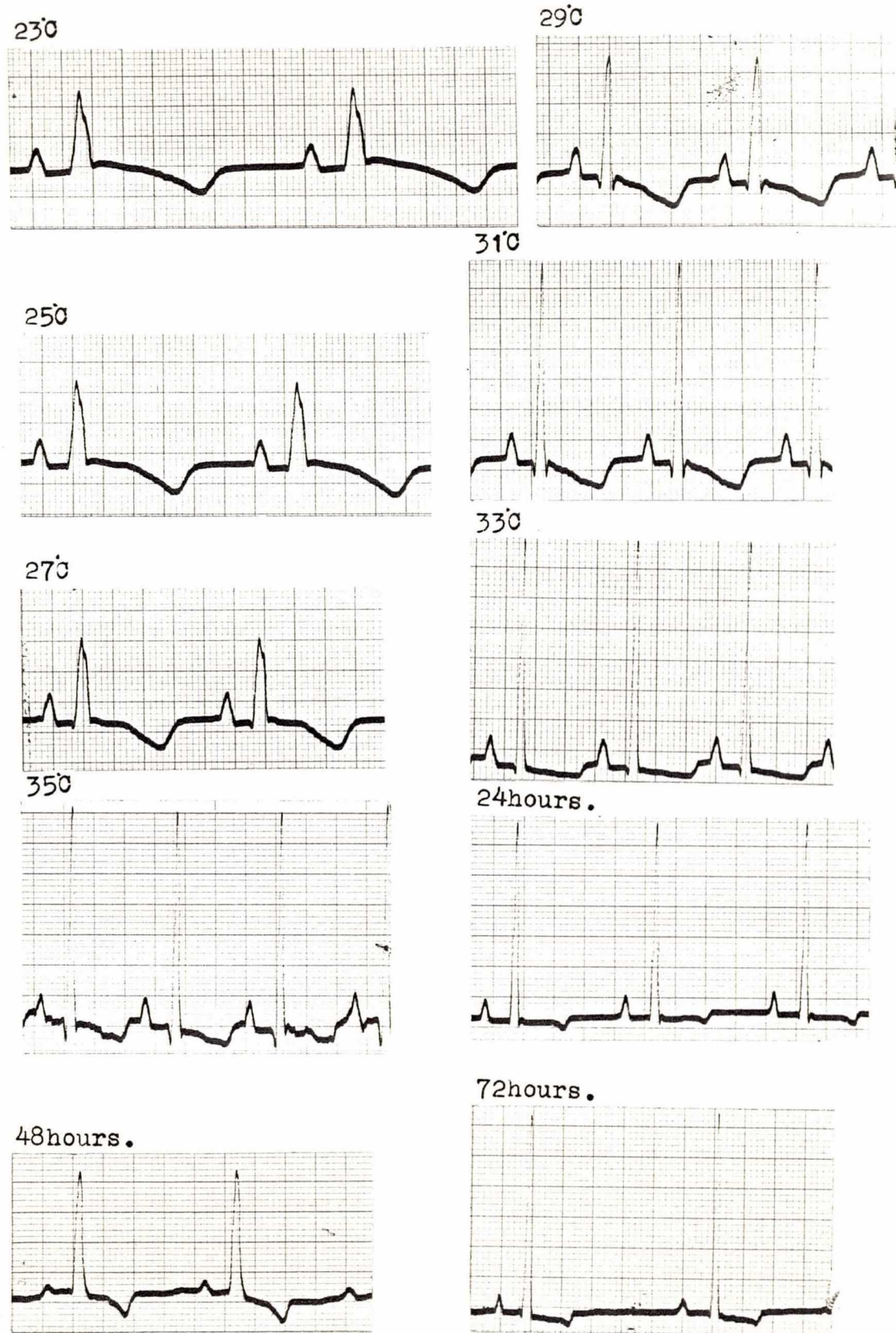
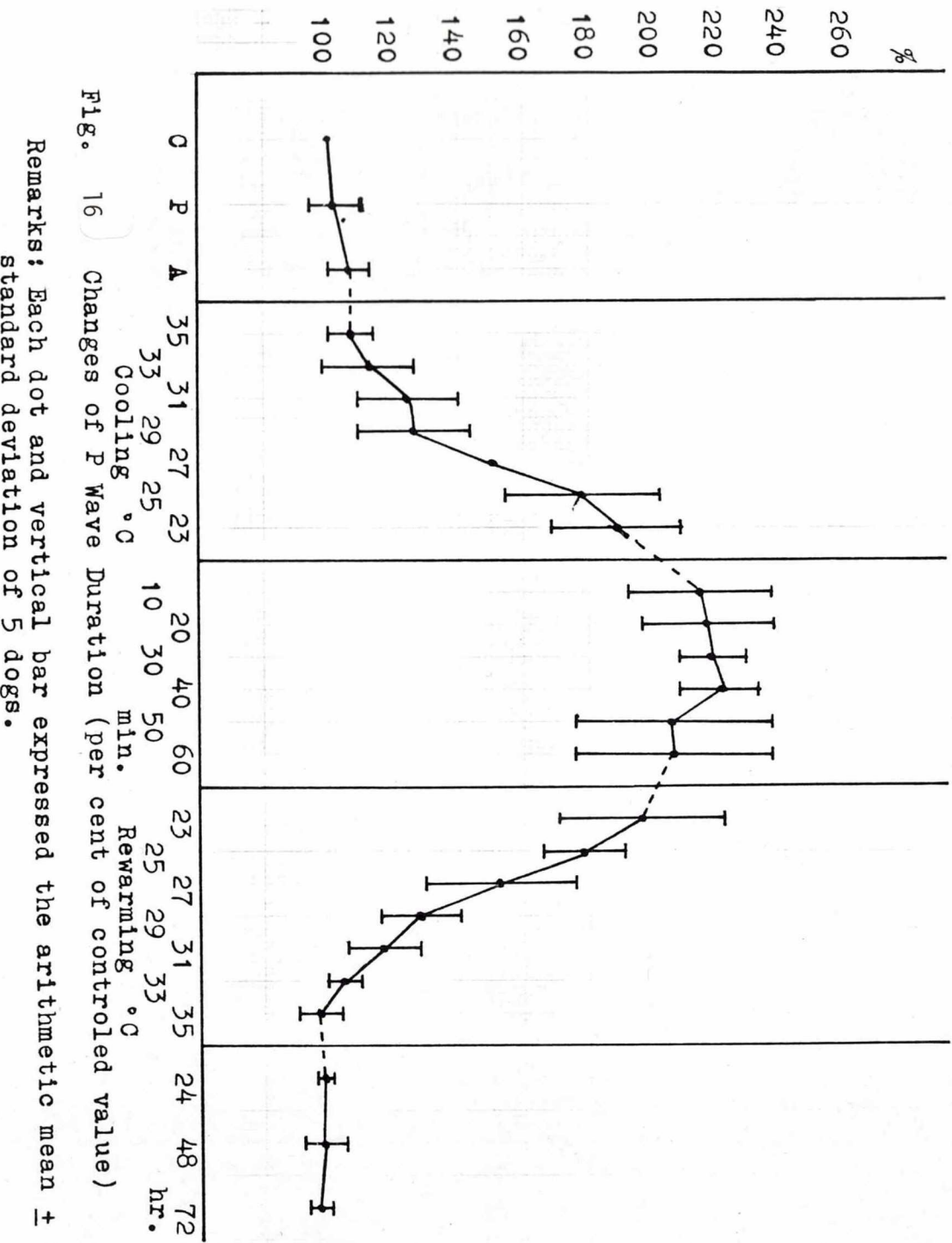
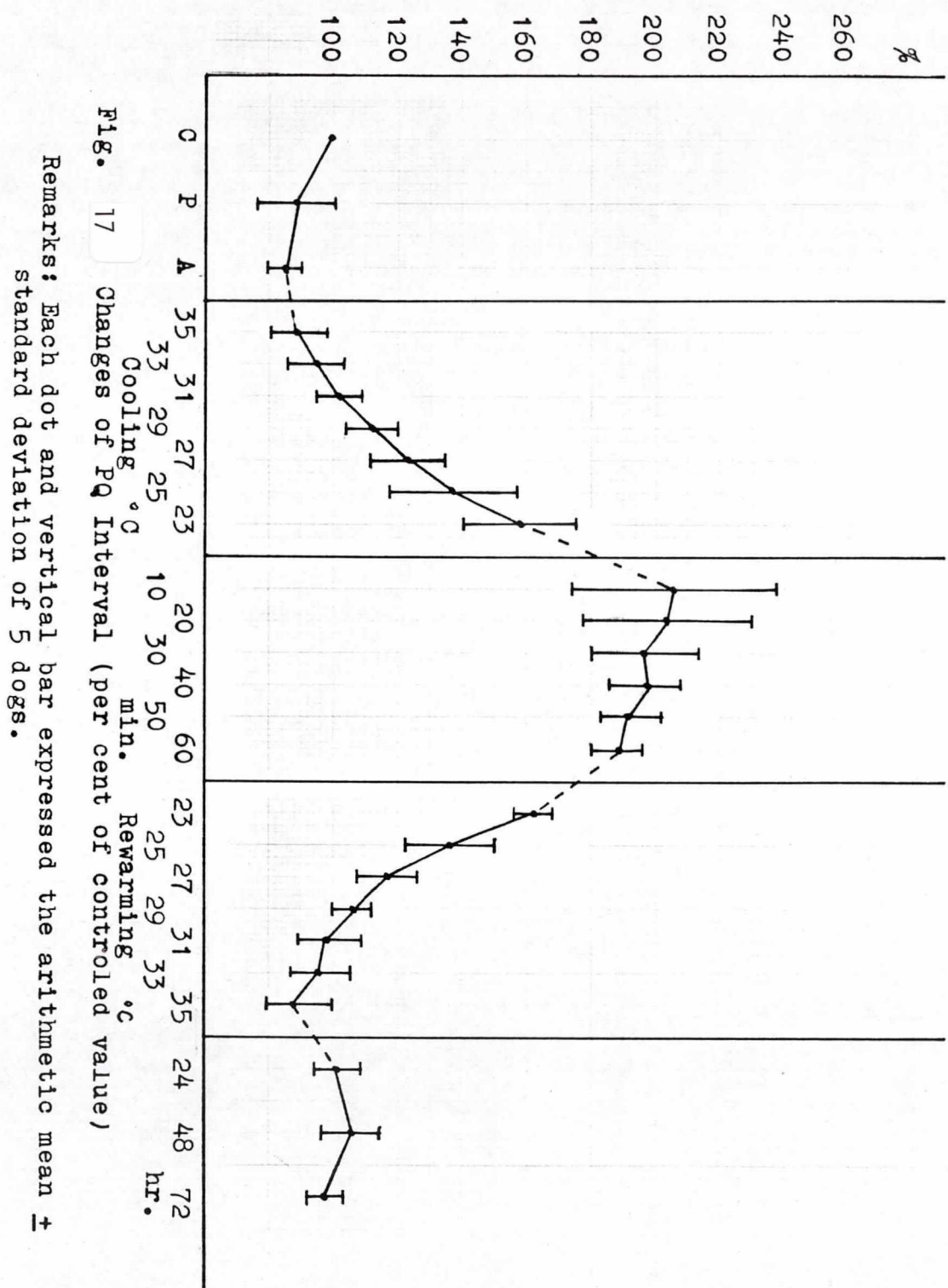


FIG. 15-3 CHANGES OF THE ELECTROCARDIOGRAM DURING REWARMING.





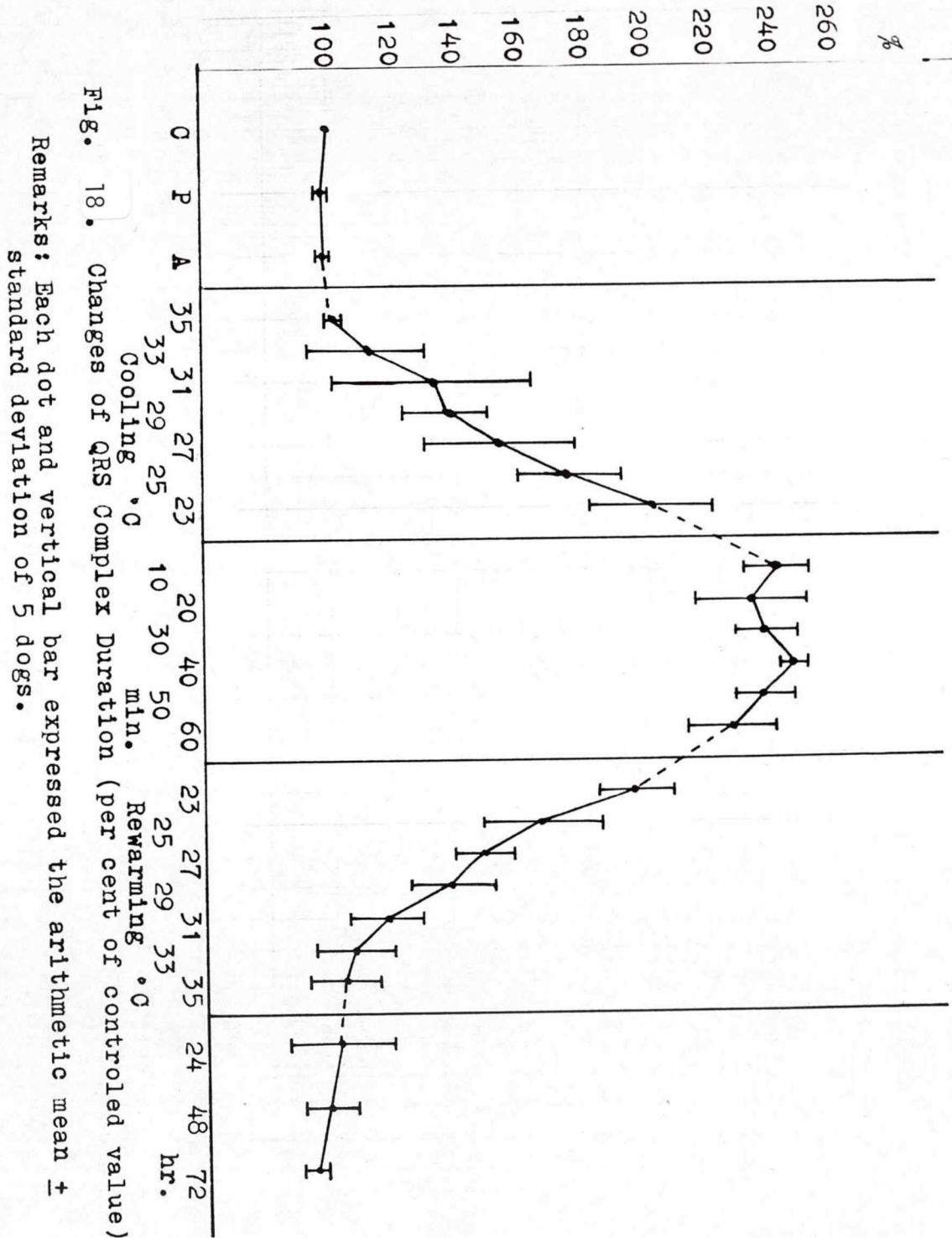


Fig. 18. Changes of QRS Complex Duration (per cent of controlled value)

Remarks: Each dot and vertical bar expressed the arithmetic mean \pm standard deviation of 5 dogs.

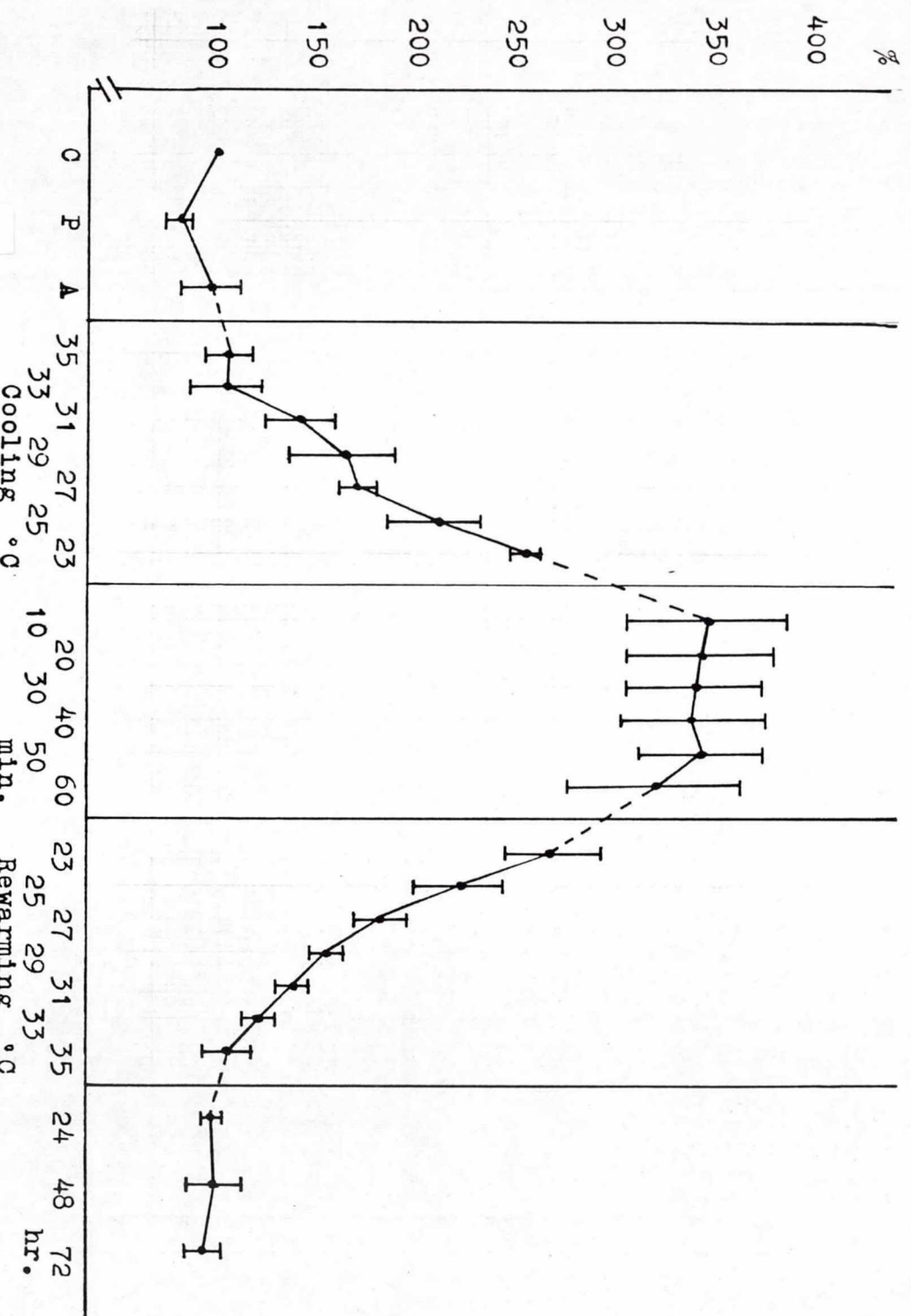


Fig. 19. Changes of QT Interval (per cent of controlled value)

Remarks: Each dot and vertical bar expressed the arithmetic mean \pm standard deviation of 5 dogs.

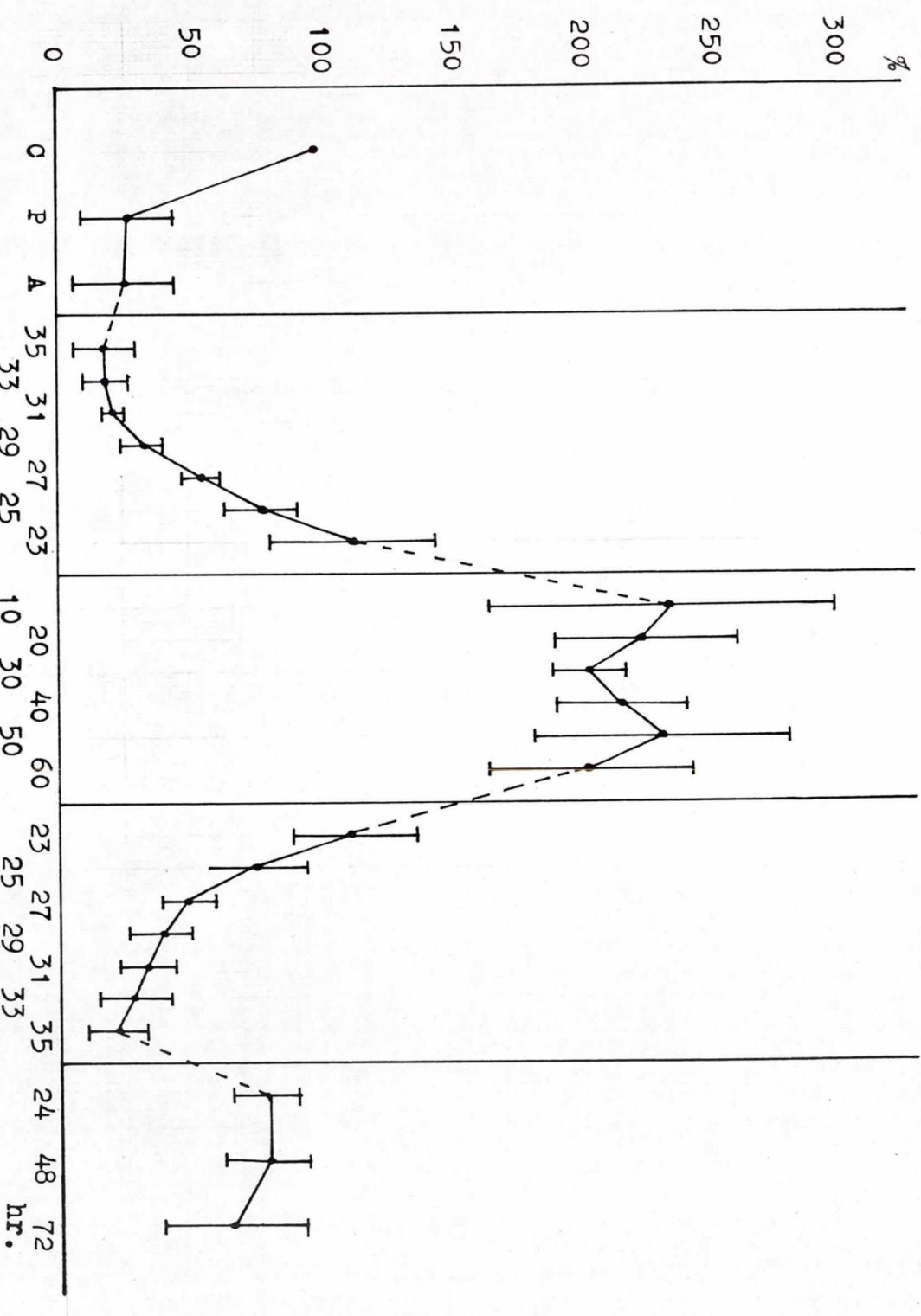


Fig. 20. Changes of T_P Interval (per cent of controlled value)

Remarks: Each dot and vertical bar expressed the arithmetic mean \pm standard deviation of 5 dogs.

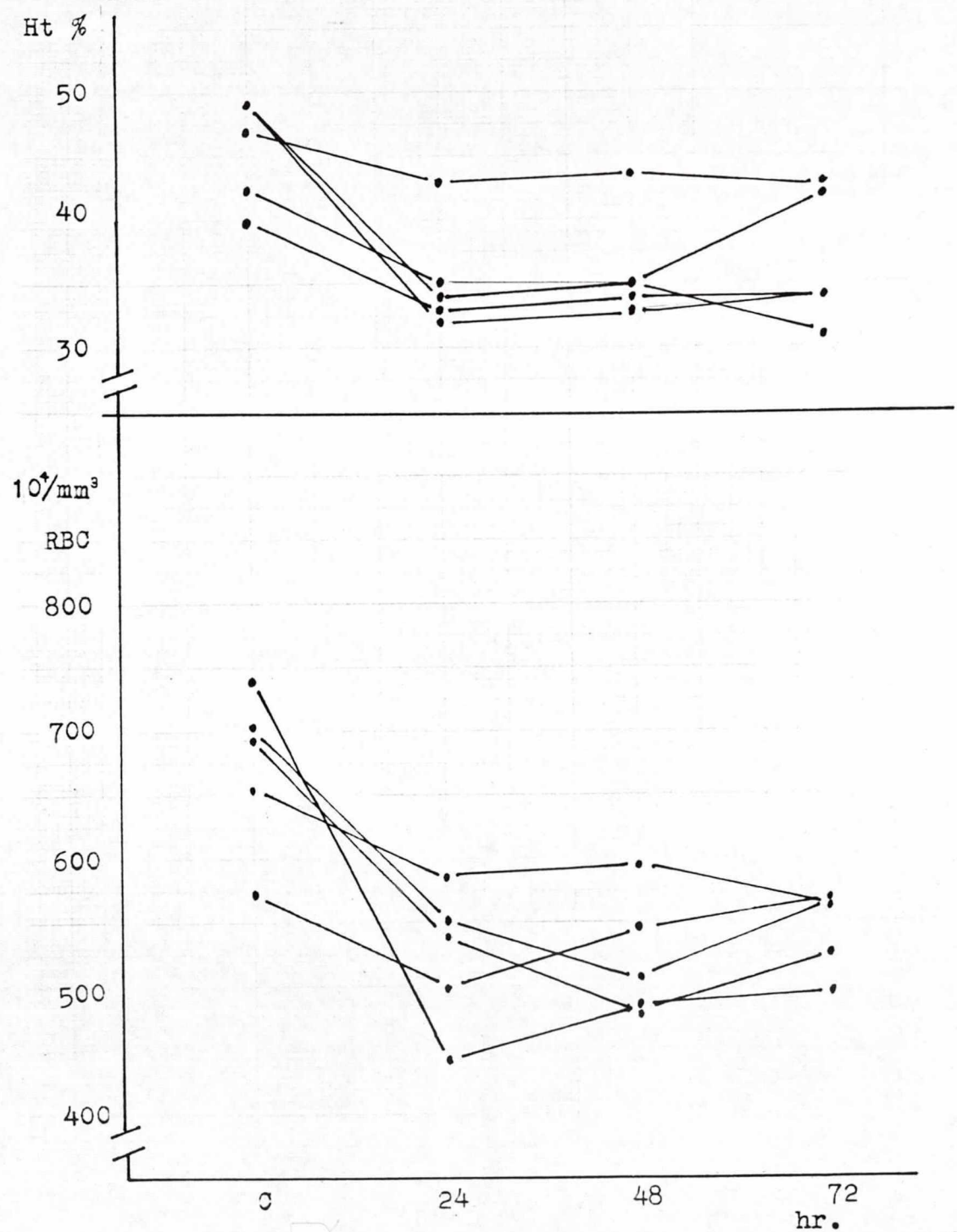


Fig. 21. Changes of Red Blood Cell Count and Hematocrit Value.

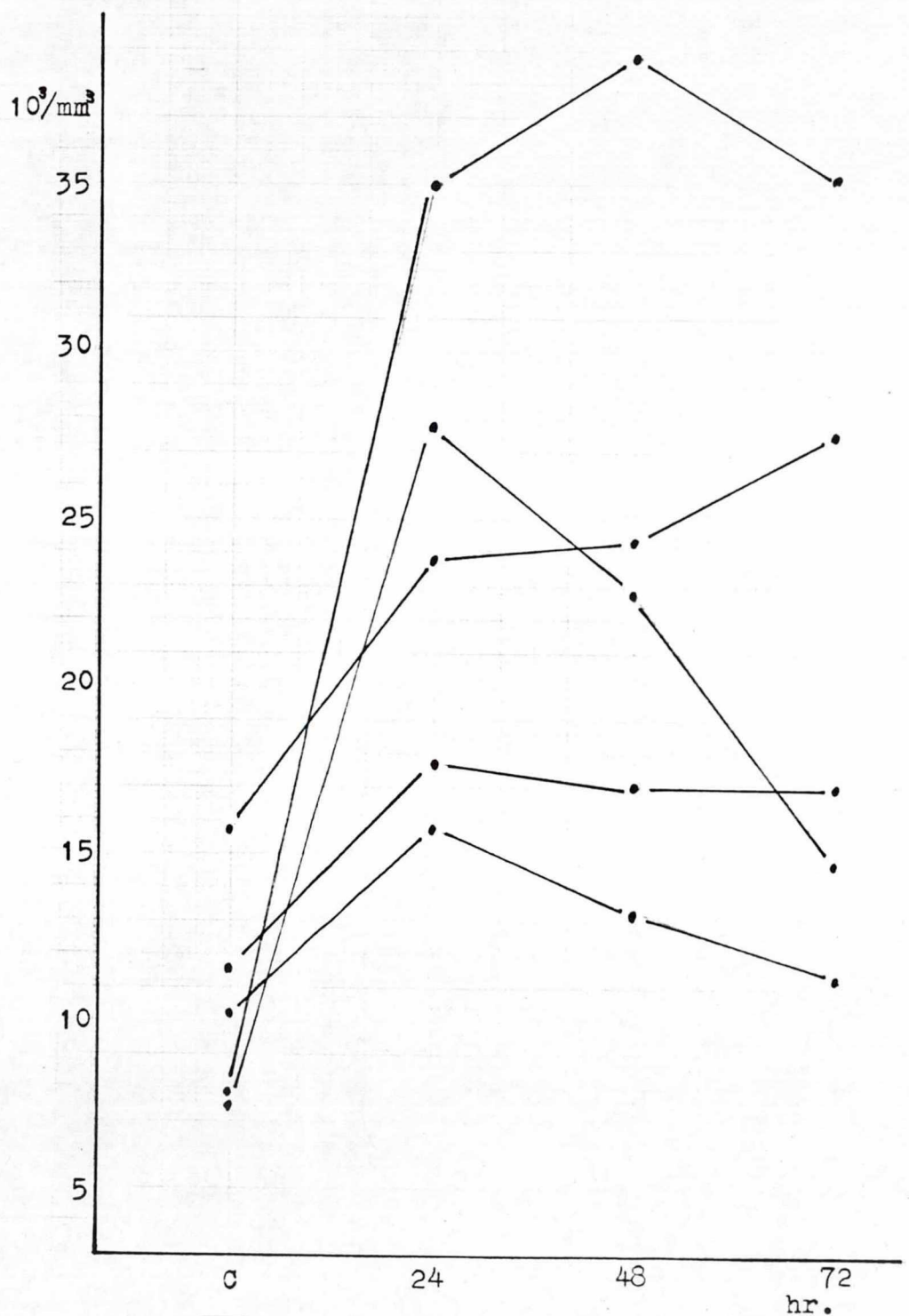


Fig. 22. Changes of White Blood Cell Count.

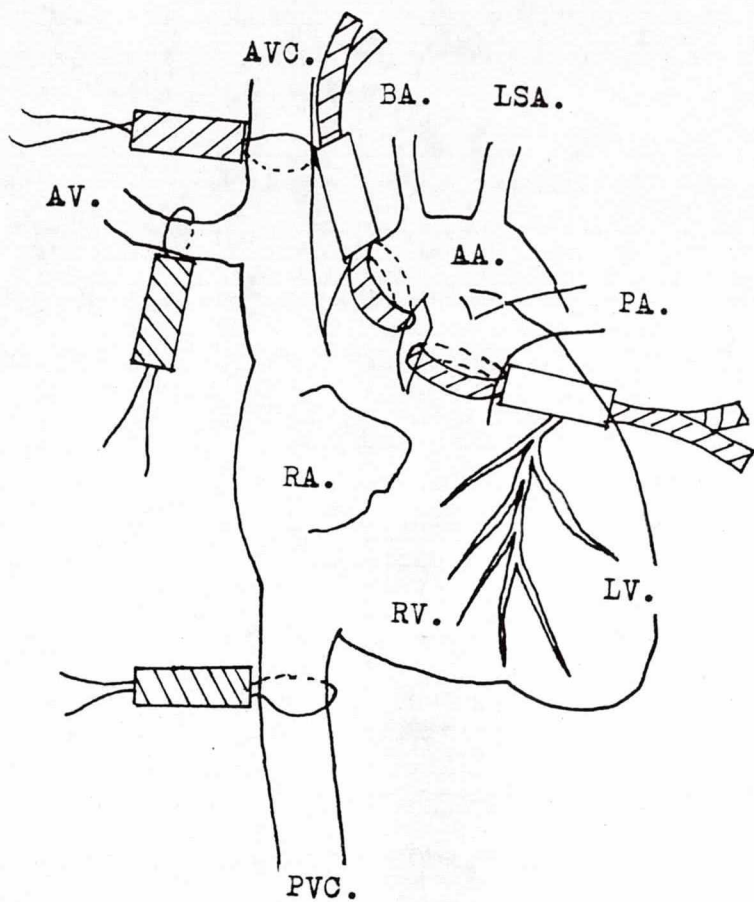


Fig. 23 Method of Ligation.

AVC: Anterior Vena Cava
 AV : Azygos Vein
 PVC: Posterior Vena Cava
 BA : Brachiocephalic Artery
 LSA: Left Subclavian Artery
 PA : Pulmonary Artery

AA: Aortic Arch
 RA: Right Atrium
 RV: Right Ventricle
 LV: Left Ventricle

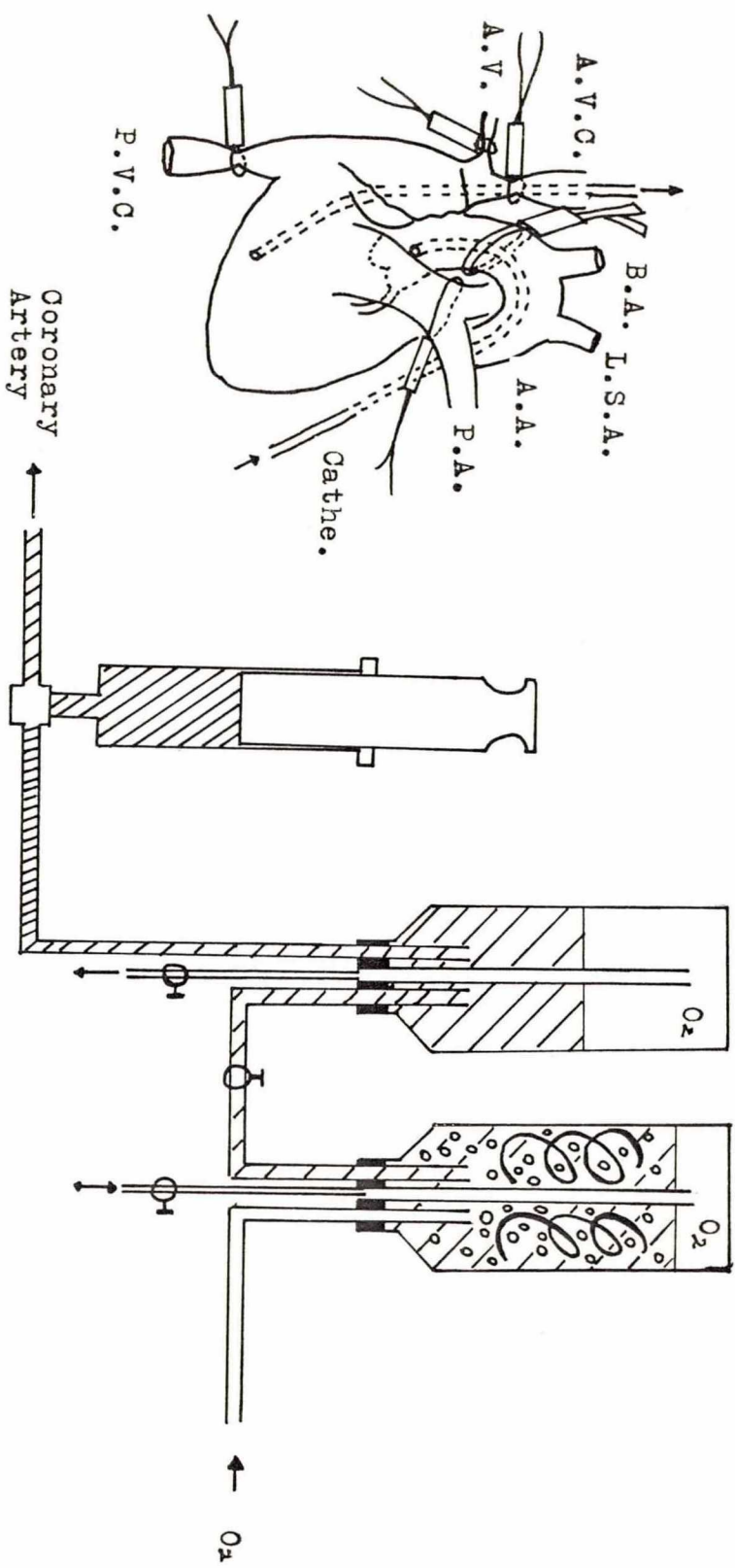


FIG. 24. METHOD OF LIGATION AND CORONARY PERfusion.

Remarks :

A.V.C. ; Anterior Vena Cava, A.A. ; Aortic Arch, A.V. ; Azygos Vein, B.A. ; Brachiocephalic Artery, L.S.A. ; Left Subclavian Artery, P.A. ; Pulmonary Artery, P.C.V. ; Posterior Vena Cava, R.V. ; Right Ventricle, R.A. ; Right Atrium.

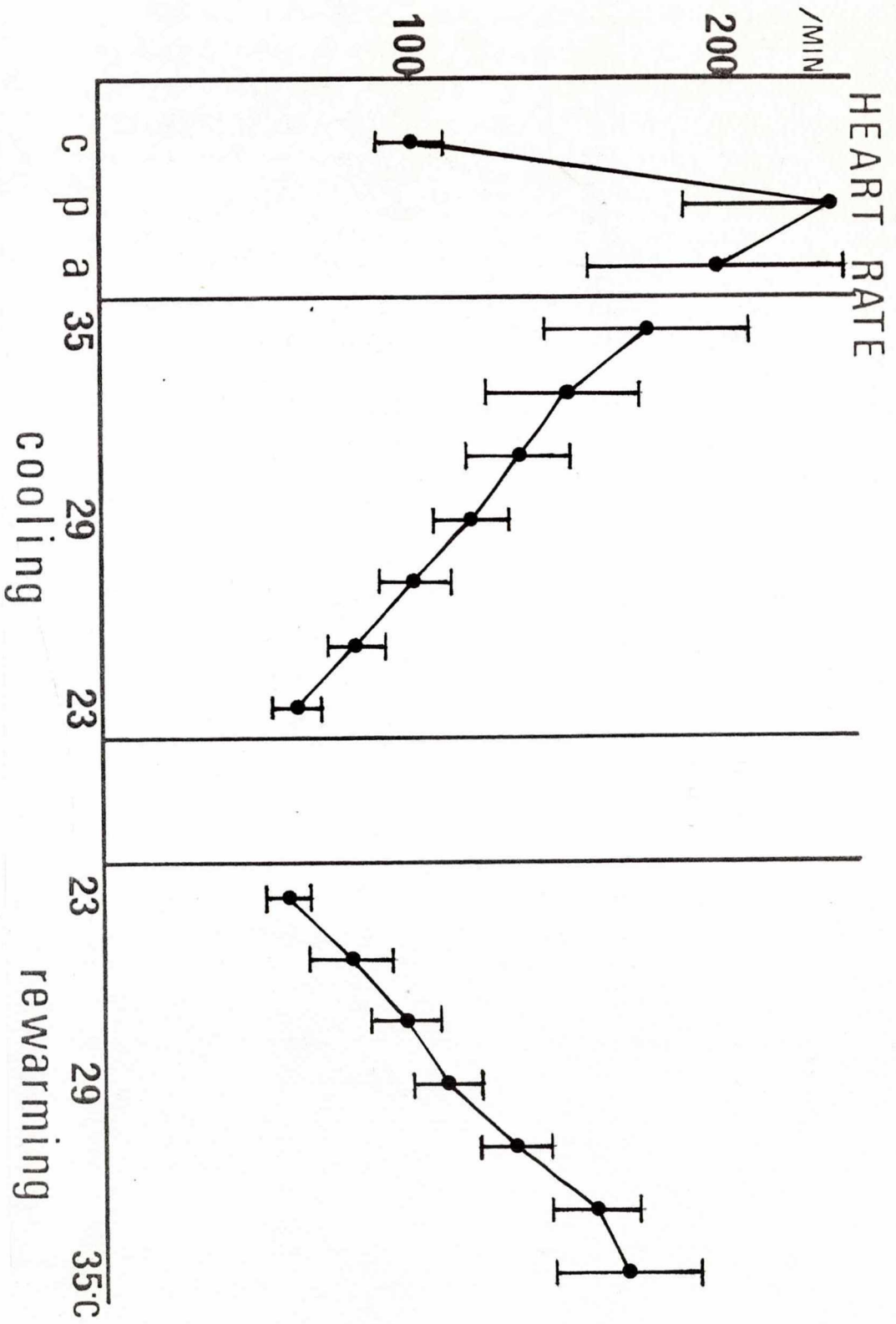


Fig. 25. Changes of heart rate.
Each dot and vertical bar express the arithmetic mean + standard deviation
of 6 dogs. C : controlled value, p : premedication, A : anesthesia,

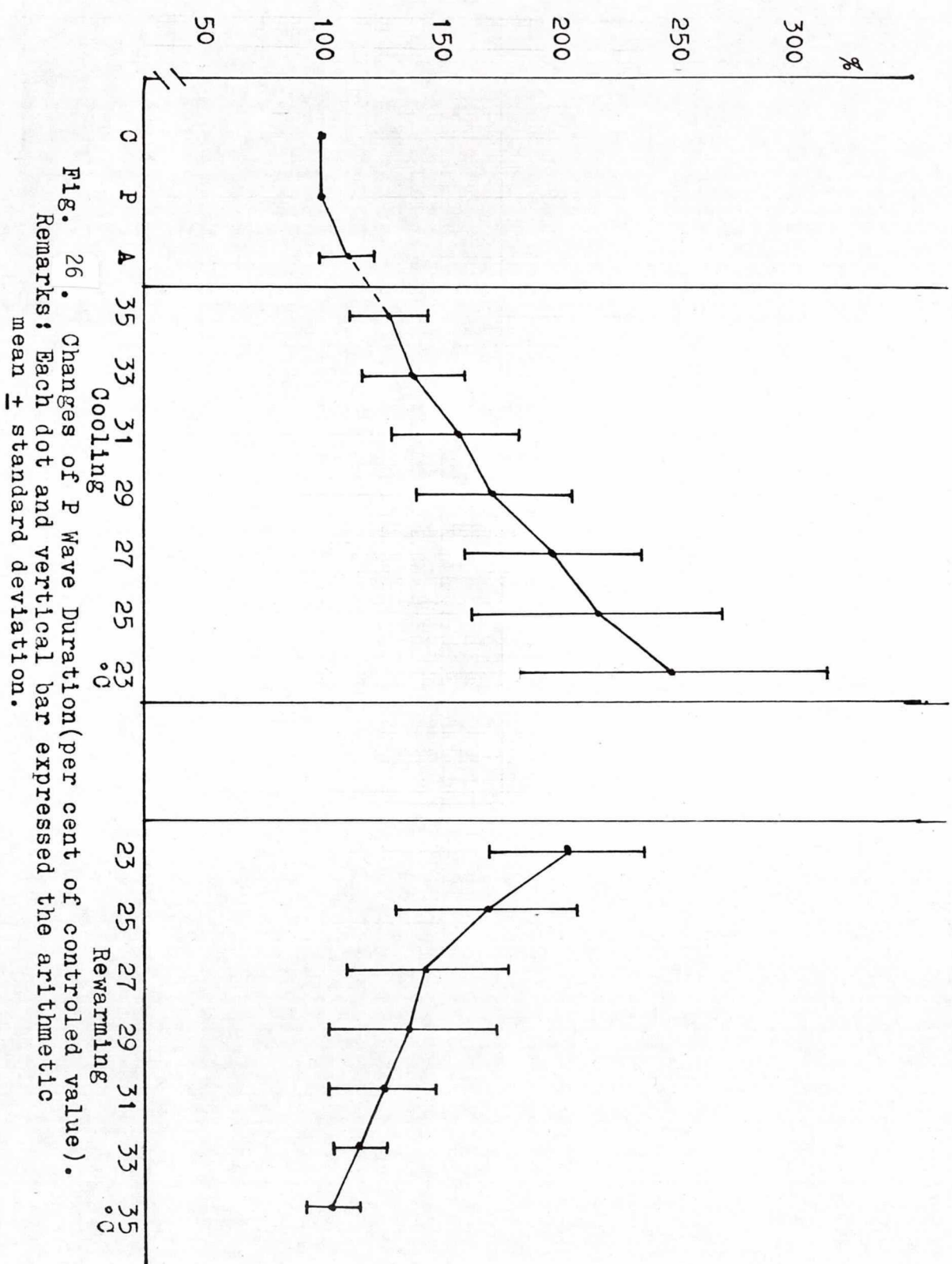


Fig. 26. Changes of P Wave Duration (per cent of controlled value).
 Remarks: Each dot and vertical bar expressed the arithmetic mean \pm standard deviation.

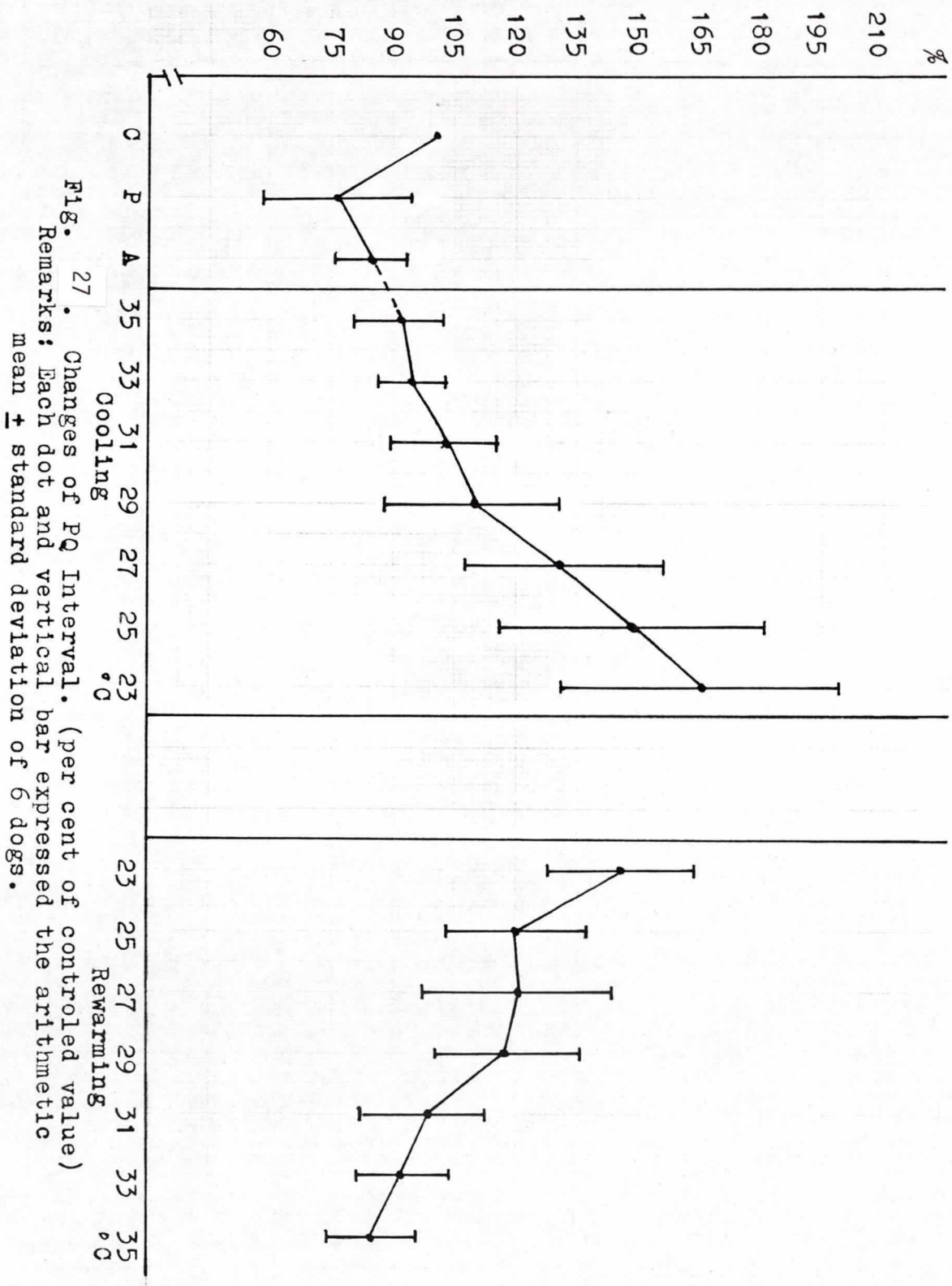


Fig. 27. Changes of PQ Interval. (per cent of controlled value)
 Remarks: Each dot and vertical bar expressed the arithmetic
 mean \pm standard deviation of 6 dogs.

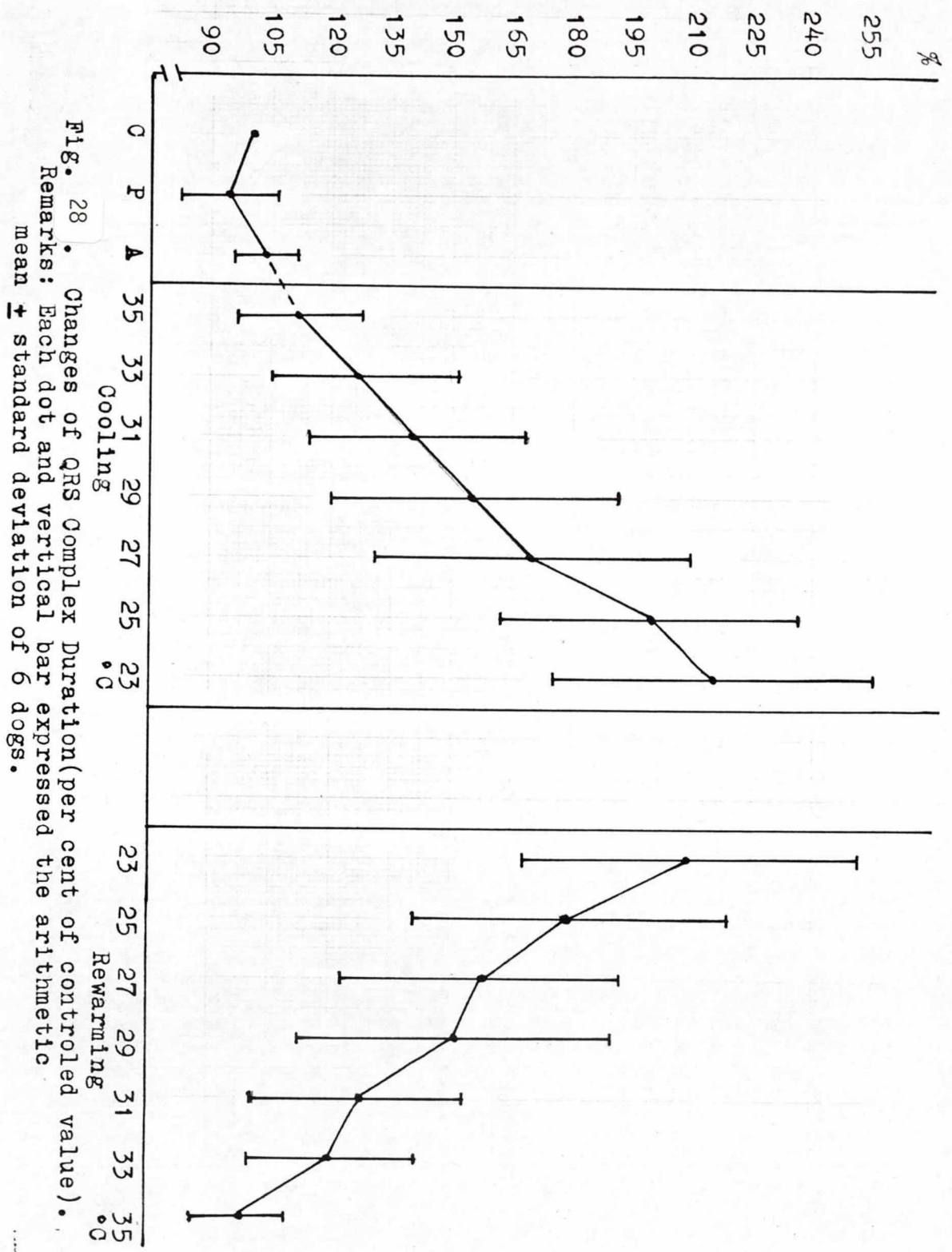


Fig. 28. Changes of QRS Complex Duration (per cent of controlled value).
 Remarks: Each dot and vertical bar expressed the arithmetic mean \pm standard deviation of 6 dogs.

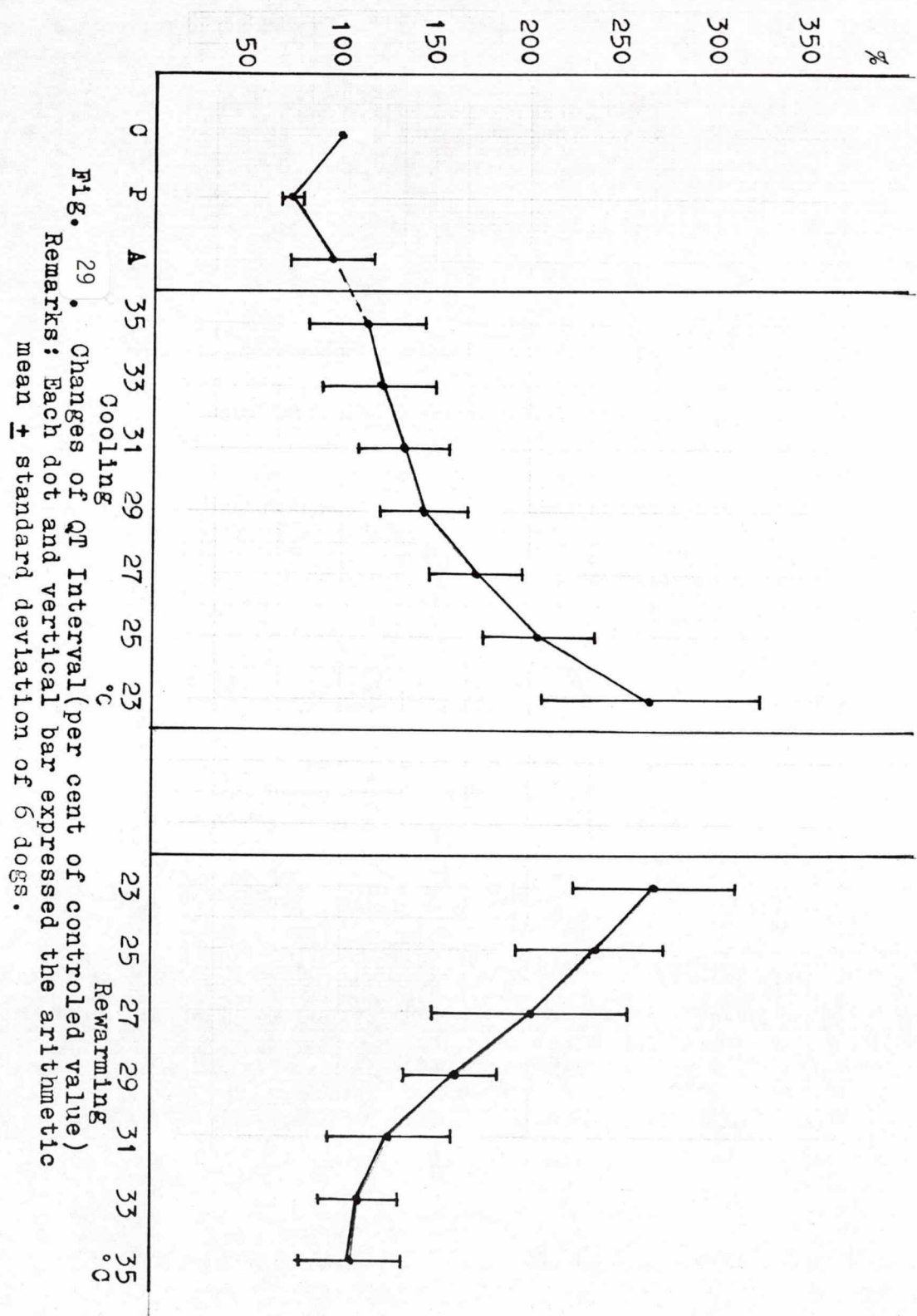
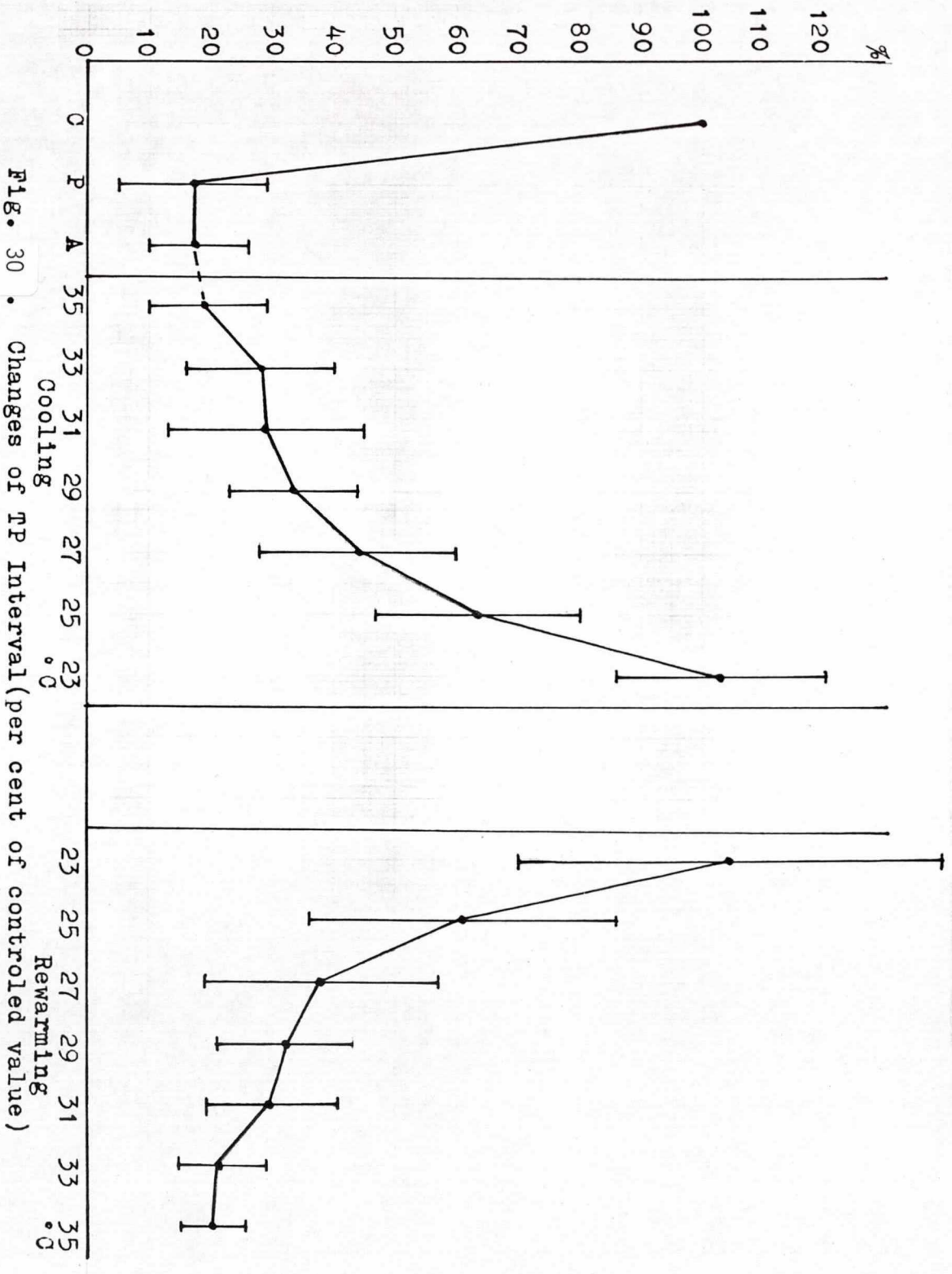
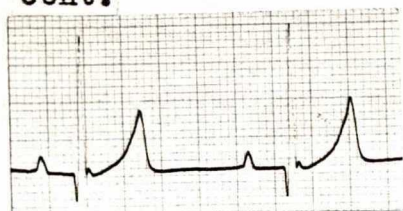


Fig. 29. Changes of QT Interval (per cent of controlled value) during Cooling and Rewarming.

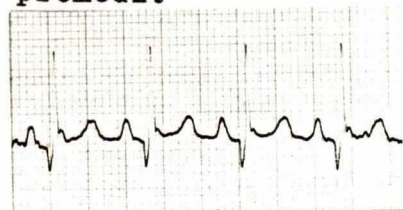
Remarks: Each dot and vertical bar expressed the arithmetic mean \pm standard deviation of 6 dogs.



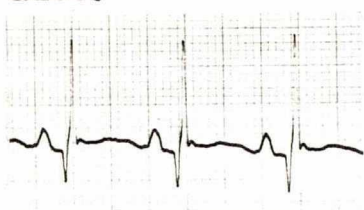
cont.



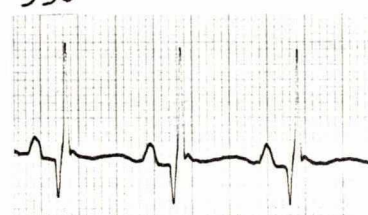
premedi.



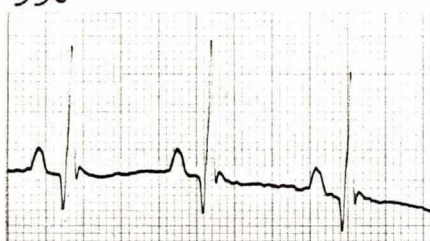
anes.



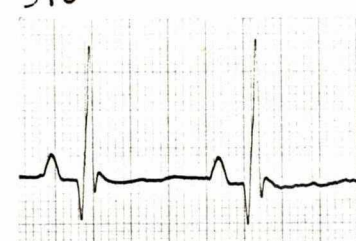
35°



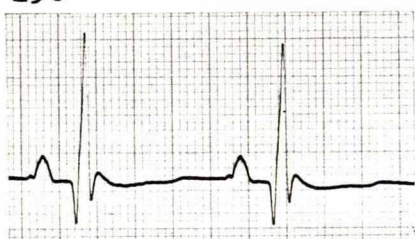
33°



31°



29°



27°



25°



23°

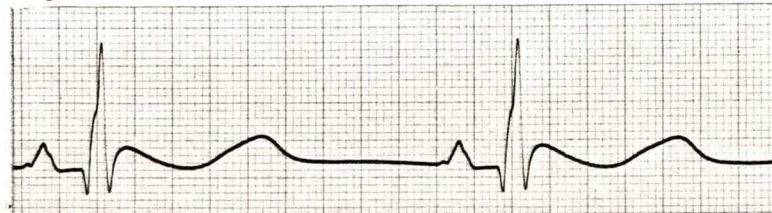


FIG. 31-1 CHANGES OF THE ELECTROCARDIOGRAM DURING COOLING.

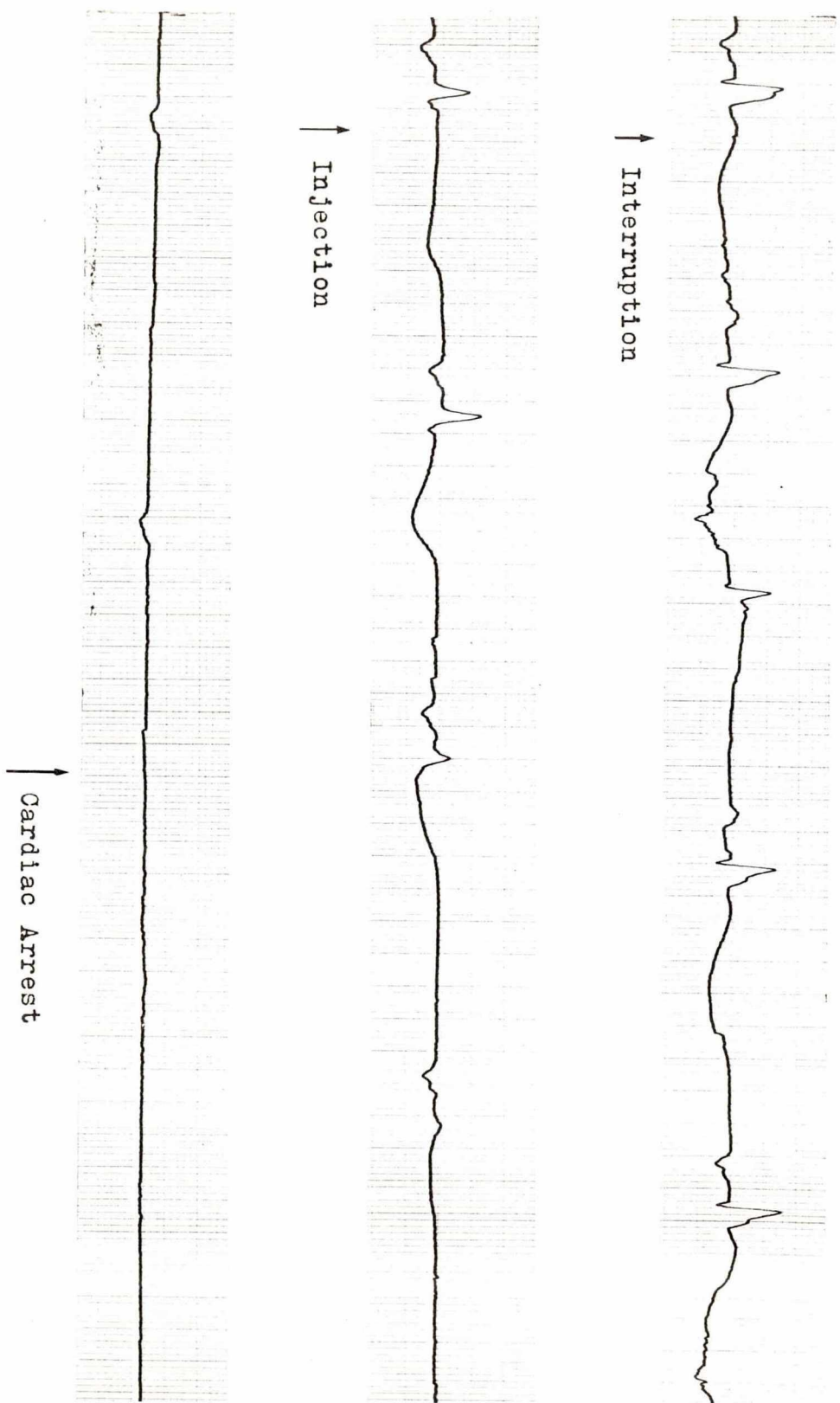
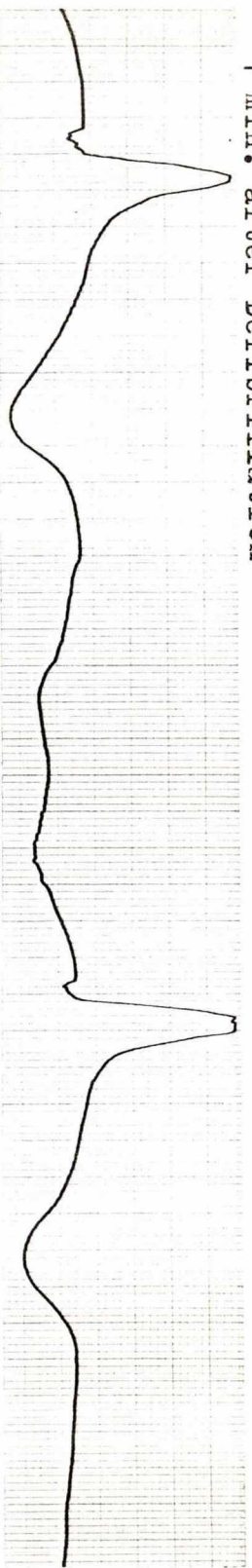
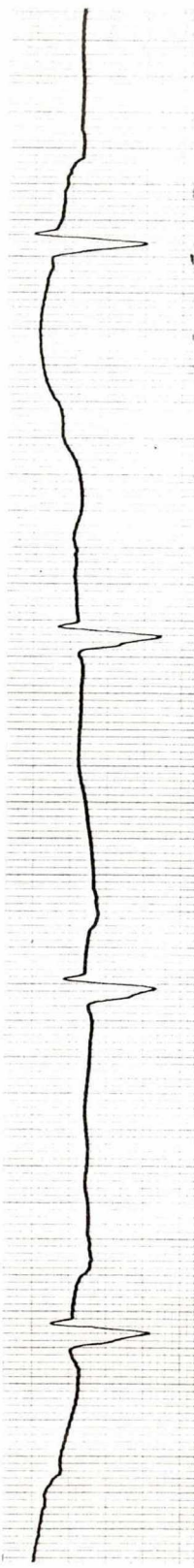


FIG. 31-2. ELECTIVE CARDIAC ARREST.

1 min. after Defibrillation



3 min. after Defibrillation



30 min. after Defibrillation

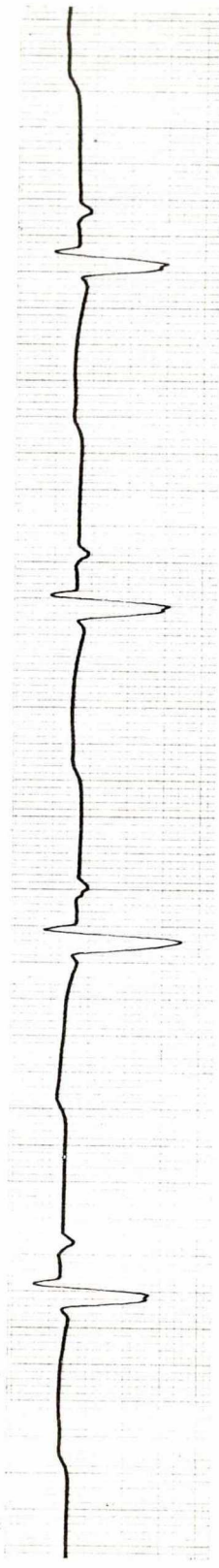


FIG. 31-3. RECOVERY PROCESS FROM THE CARDIAC ARREST IN THE ELECTROCARDIOGRAM.



FIG. 31-4 CHANGES OF THE ELECTROCARDIOGRAM DURING REWARMING.

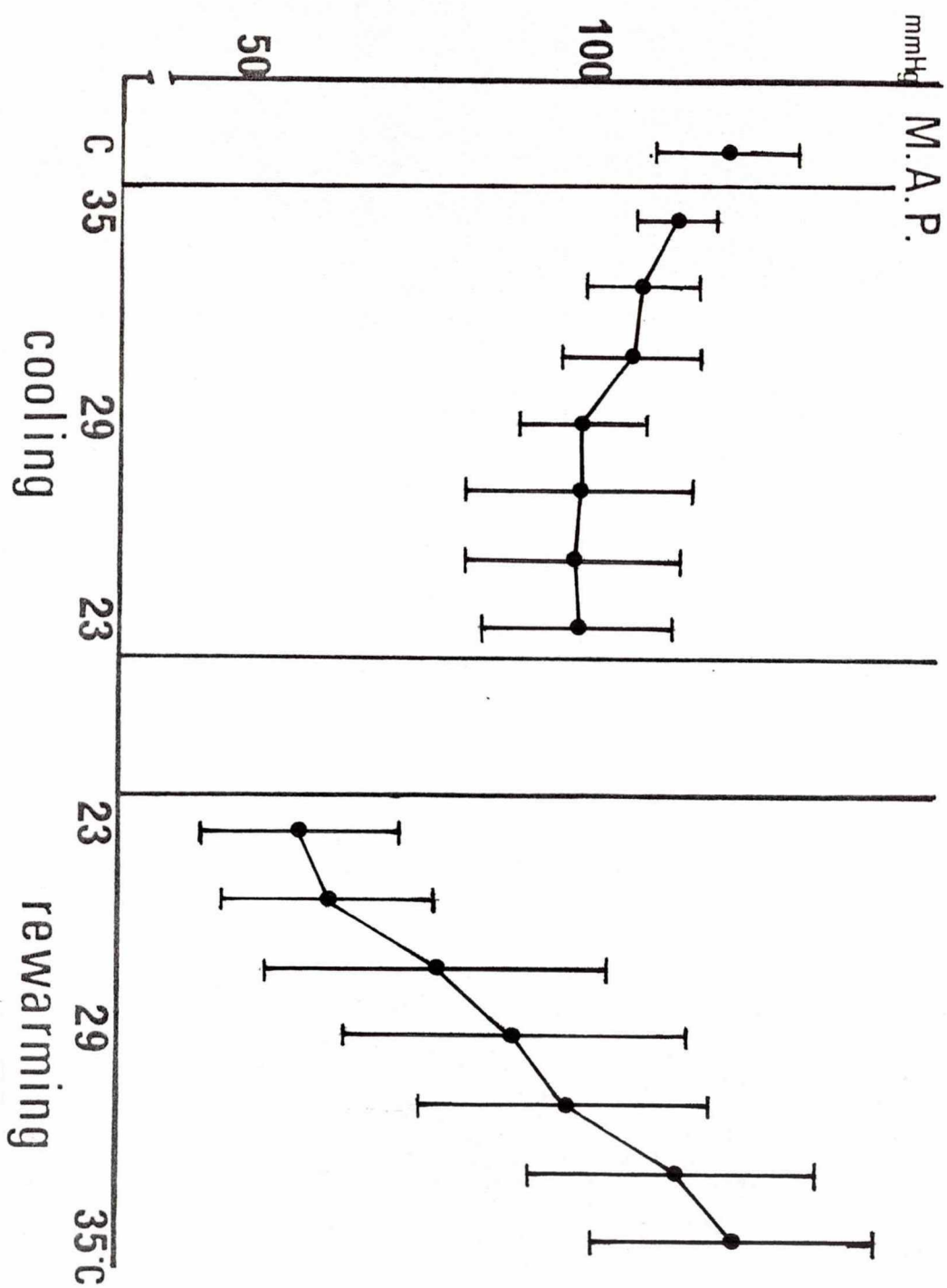


Fig. 32. Changes of maximal arterial pressure.

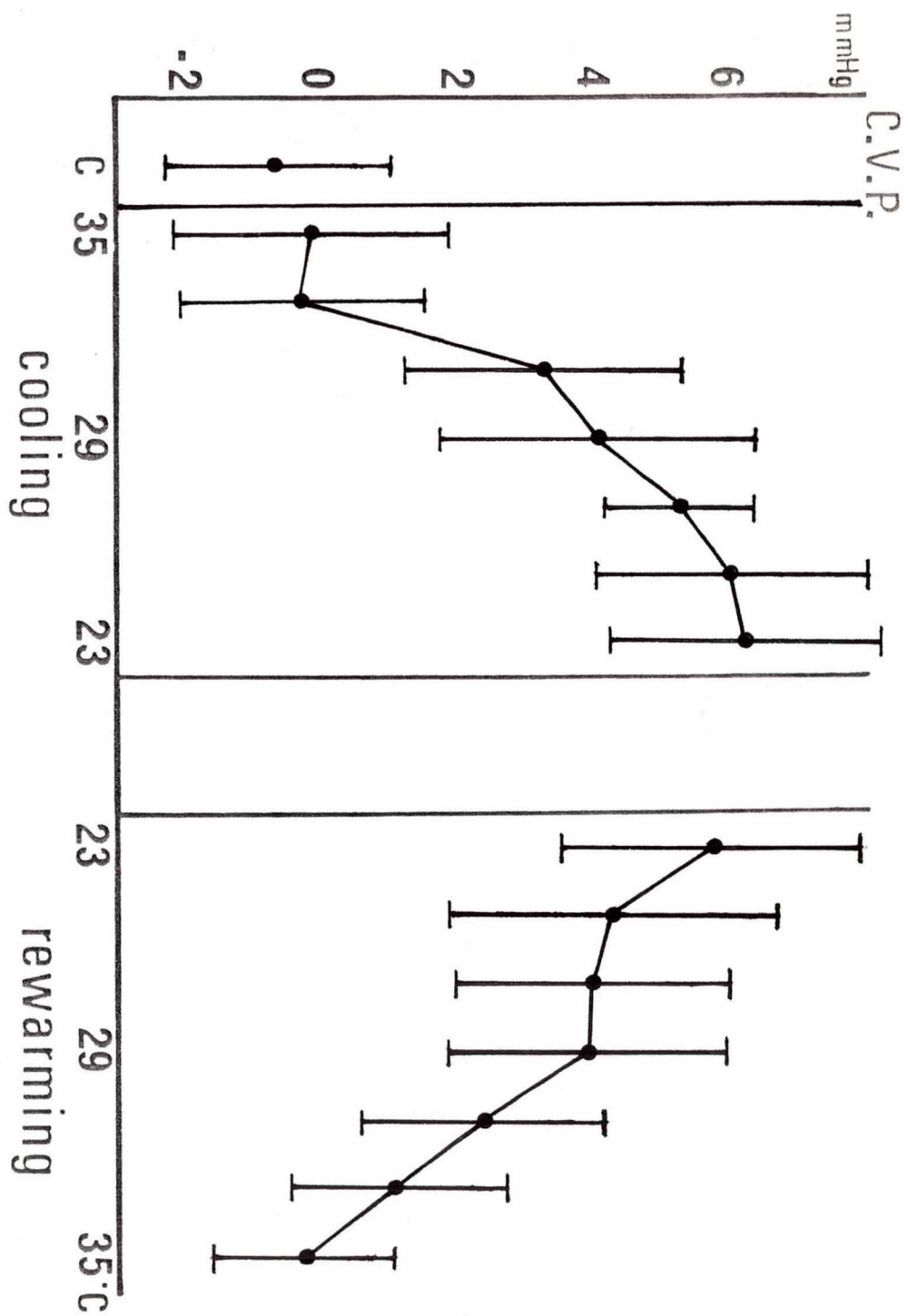


Fig. 33. Changes of central venous pressure.

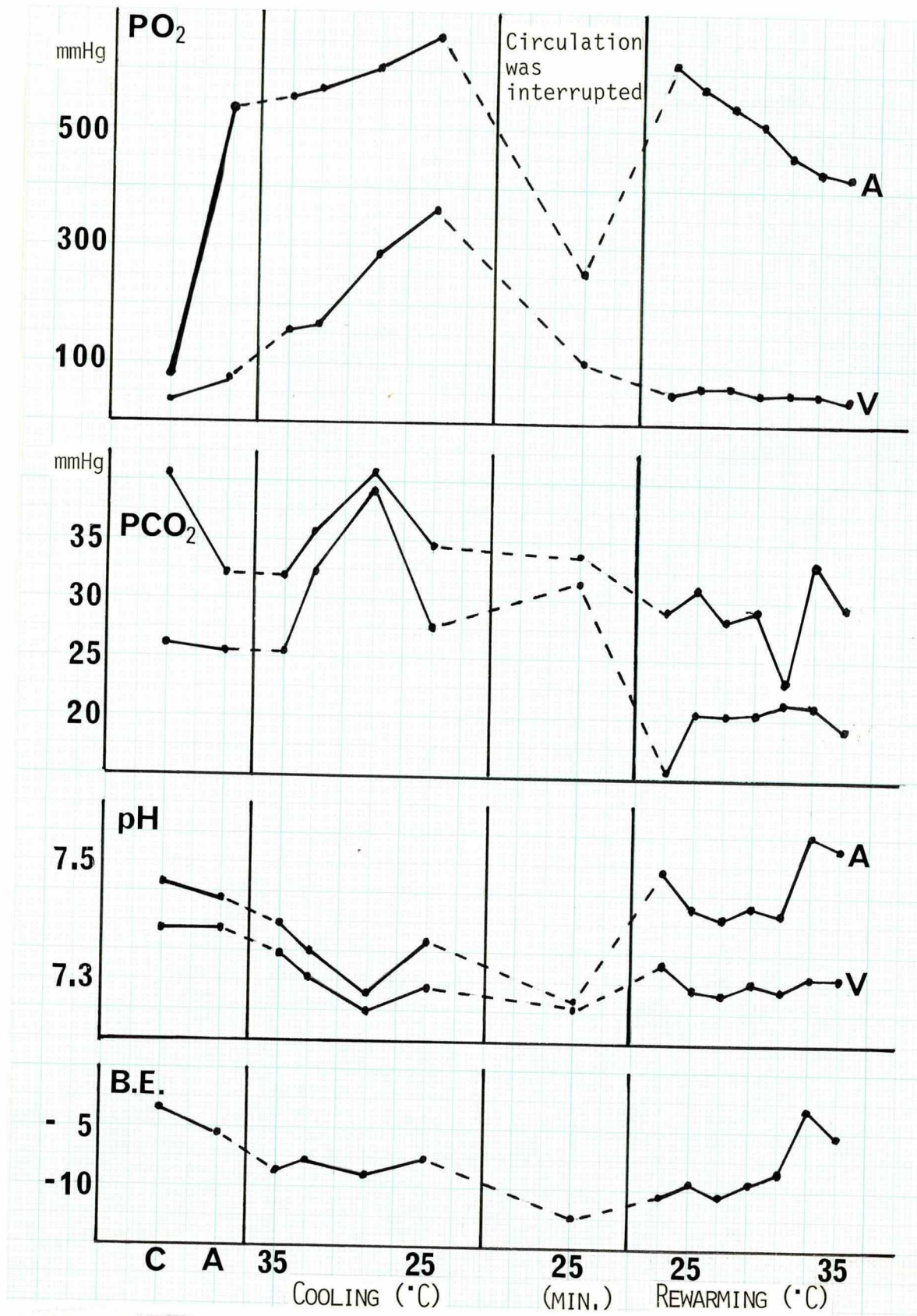


FIG. 34 CHANGES OF PO_2 , PCO_2 , pH AND BASE EXCESS.

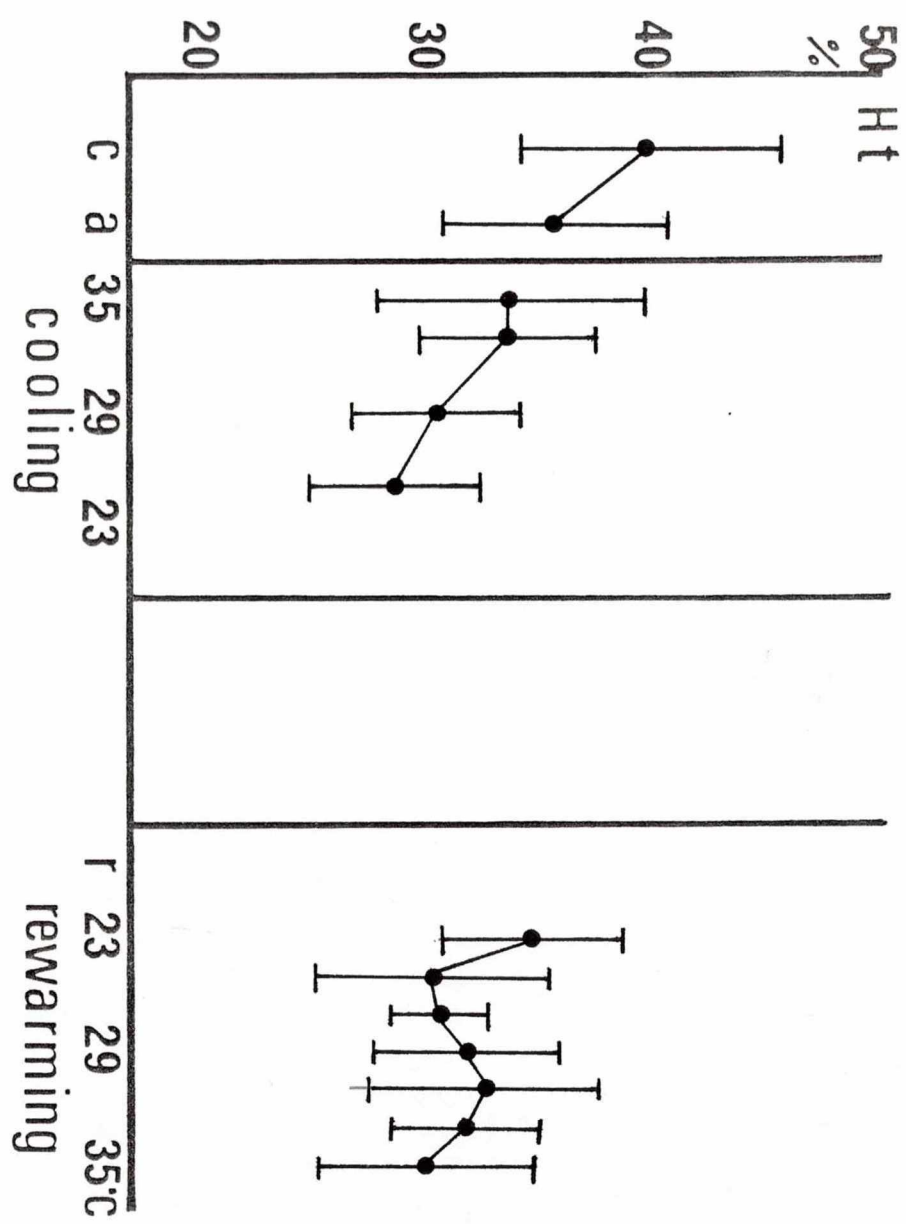
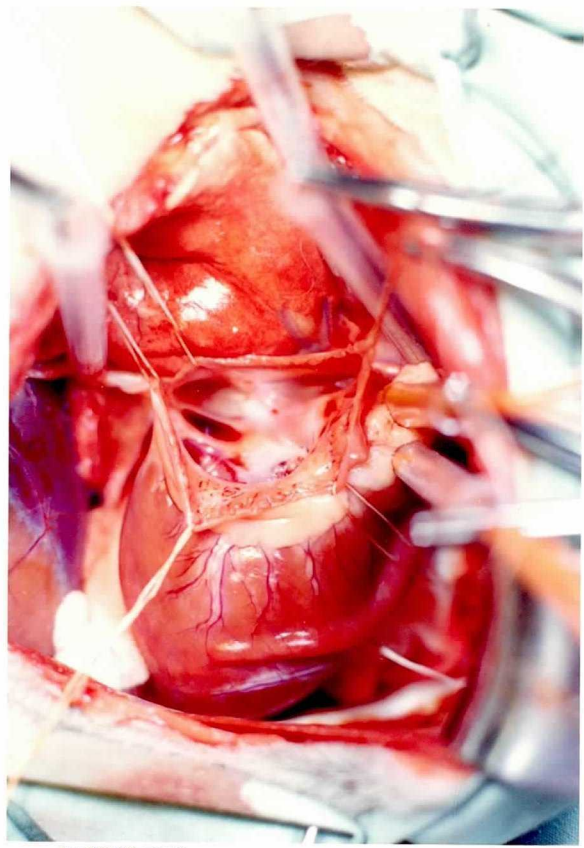
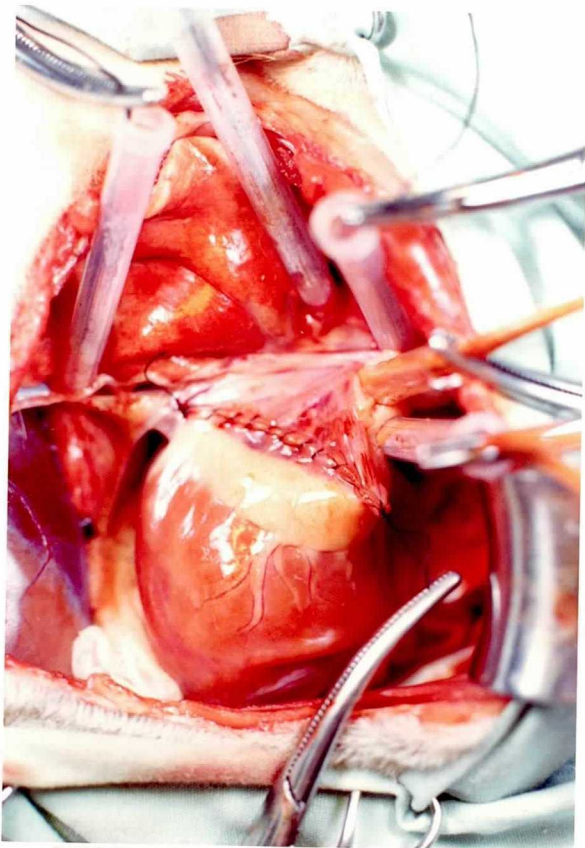


Fig. 35. Changes of hematocrit value.



FUJICOLOR CRD 77



FUJICOLOR CRD 77

Fig. 36.

In dogs of group I, a right atrial incision extending from posterior vena cava to right auricle was made.

35.2 + 3.0 minutes later,
the atrial wound was closed
by continuous suture.

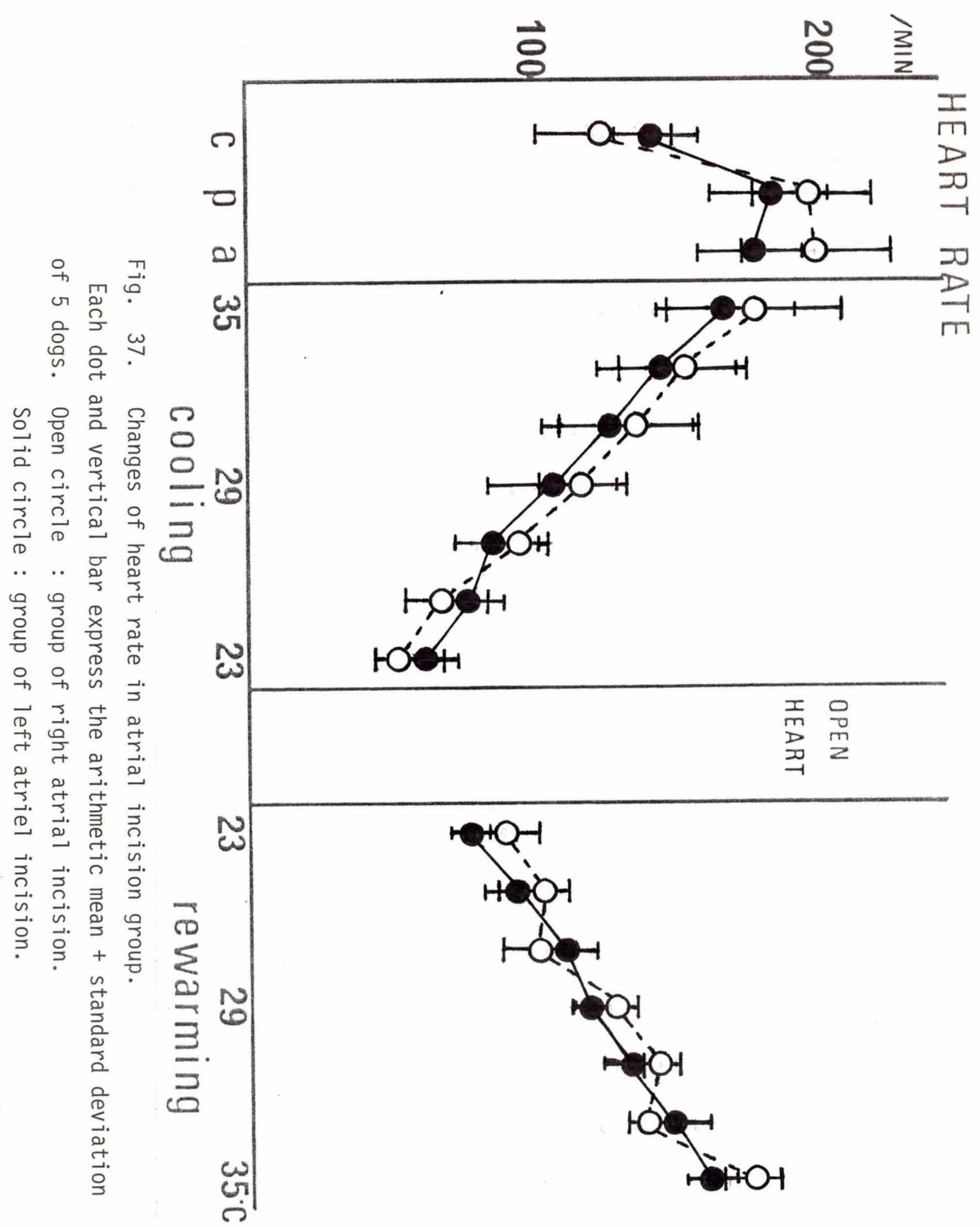


Fig. 37. Changes of heart rate in atrial incision group.
 Each dot and vertical bar express the arithmetic mean + standard deviation
 of 5 dogs. Open circle : group of right atrial incision.
 Solid circle : group of left atrial incision.

Cont

23°C Cooling

Resuscitation

Rewarming
23°C

25°C

27°C

29°C

31°C

33°C

1 Week

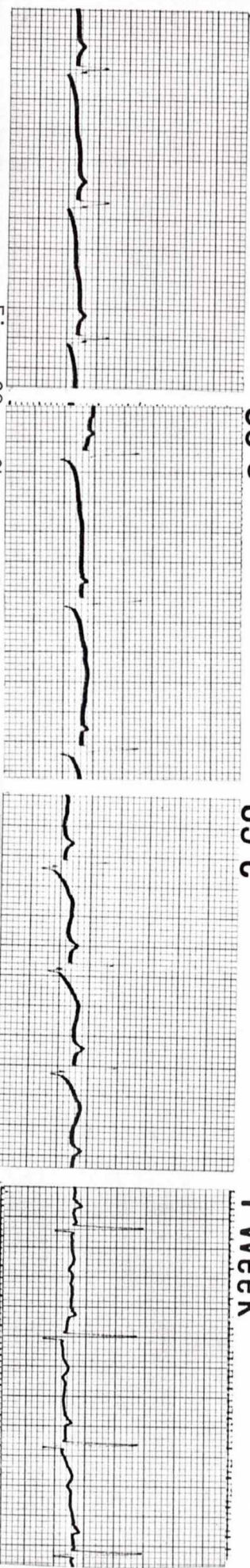


Fig. 38. Changes of electrocardiogram(limb lead II) in a dog of right atrial incision group.

Remarks : C : midesophageal temperature.

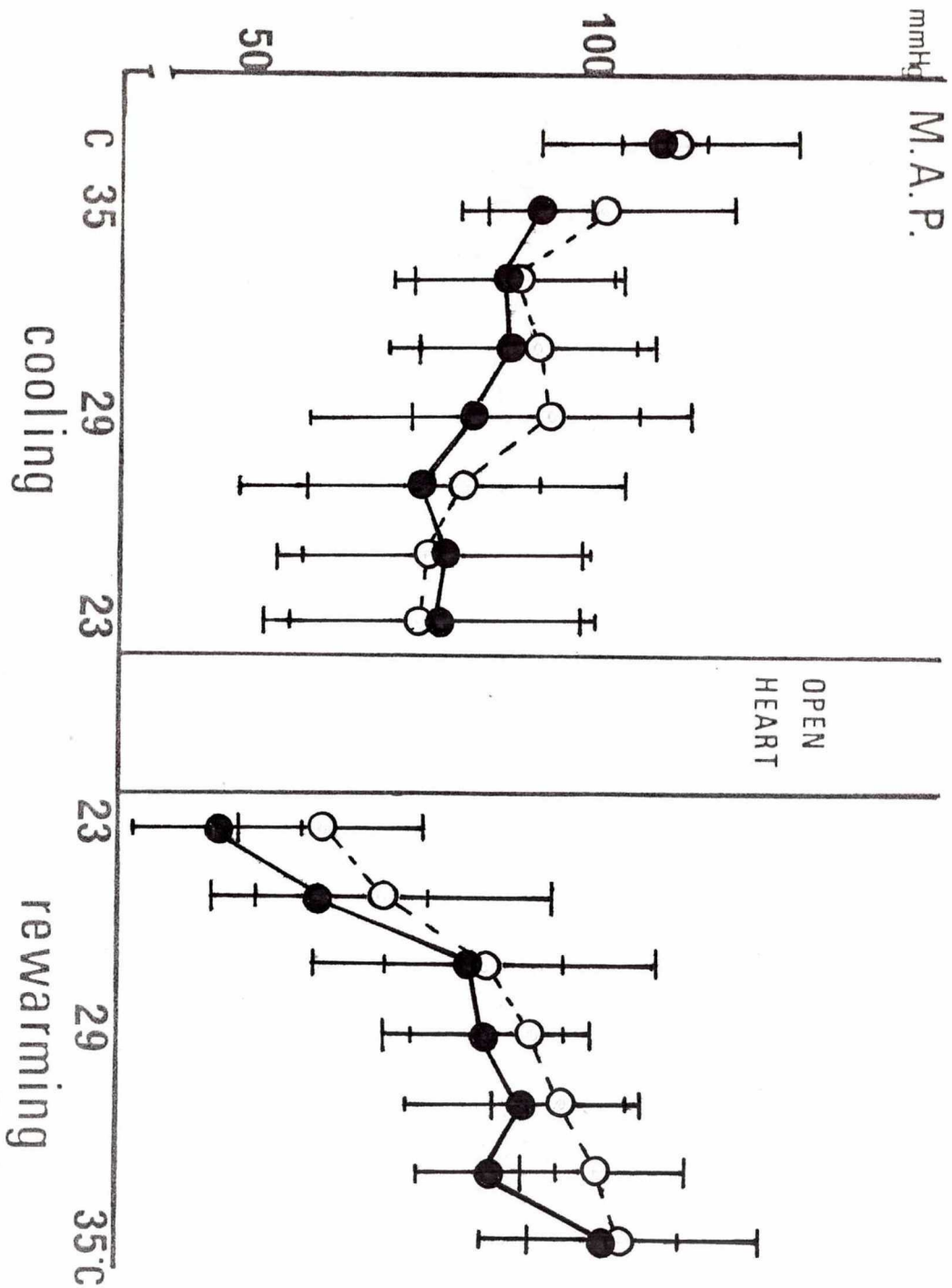


Fig. 39. Changes of maximal arterial pressure.

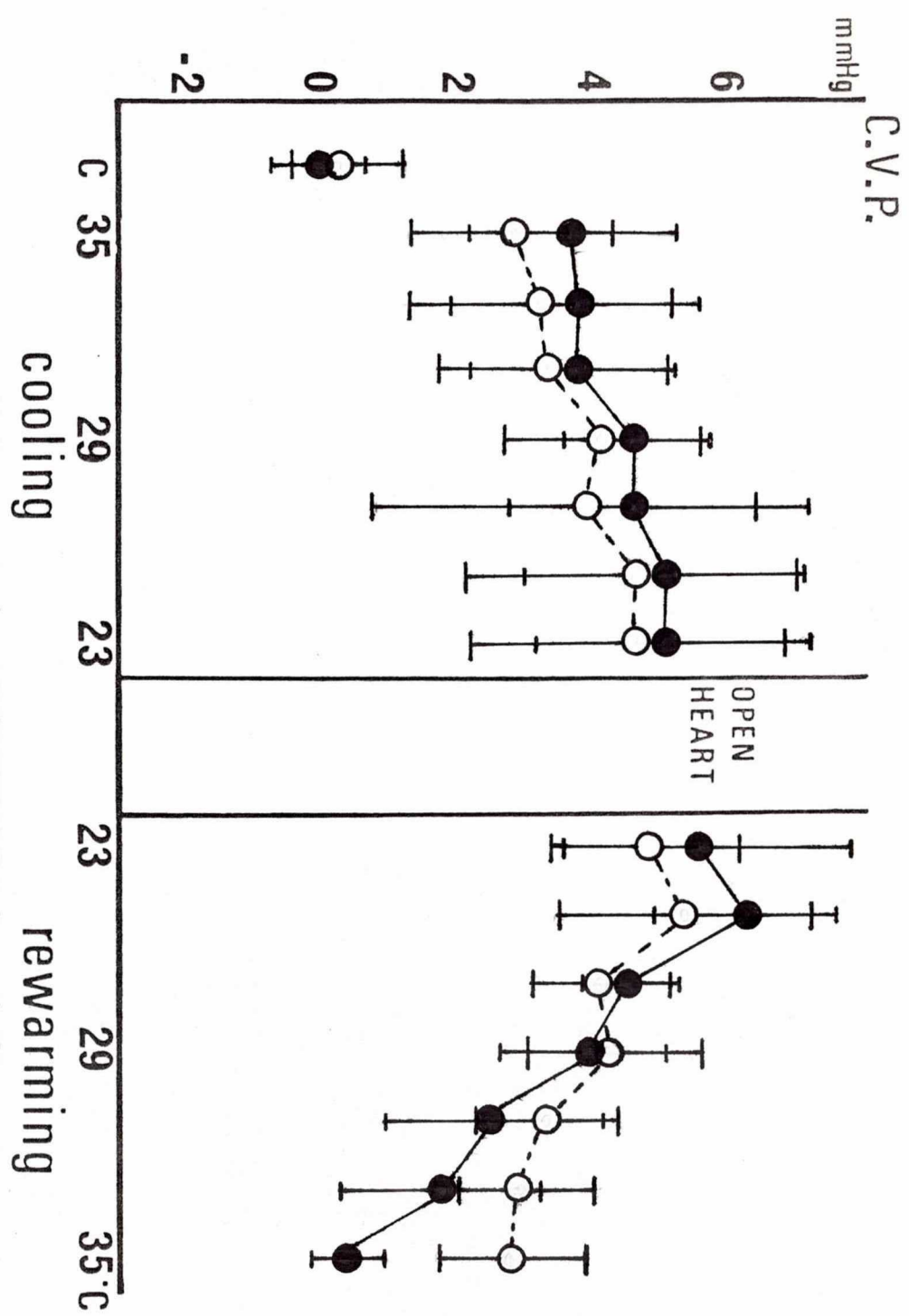


Fig. 40. Changes of central venous pressure.

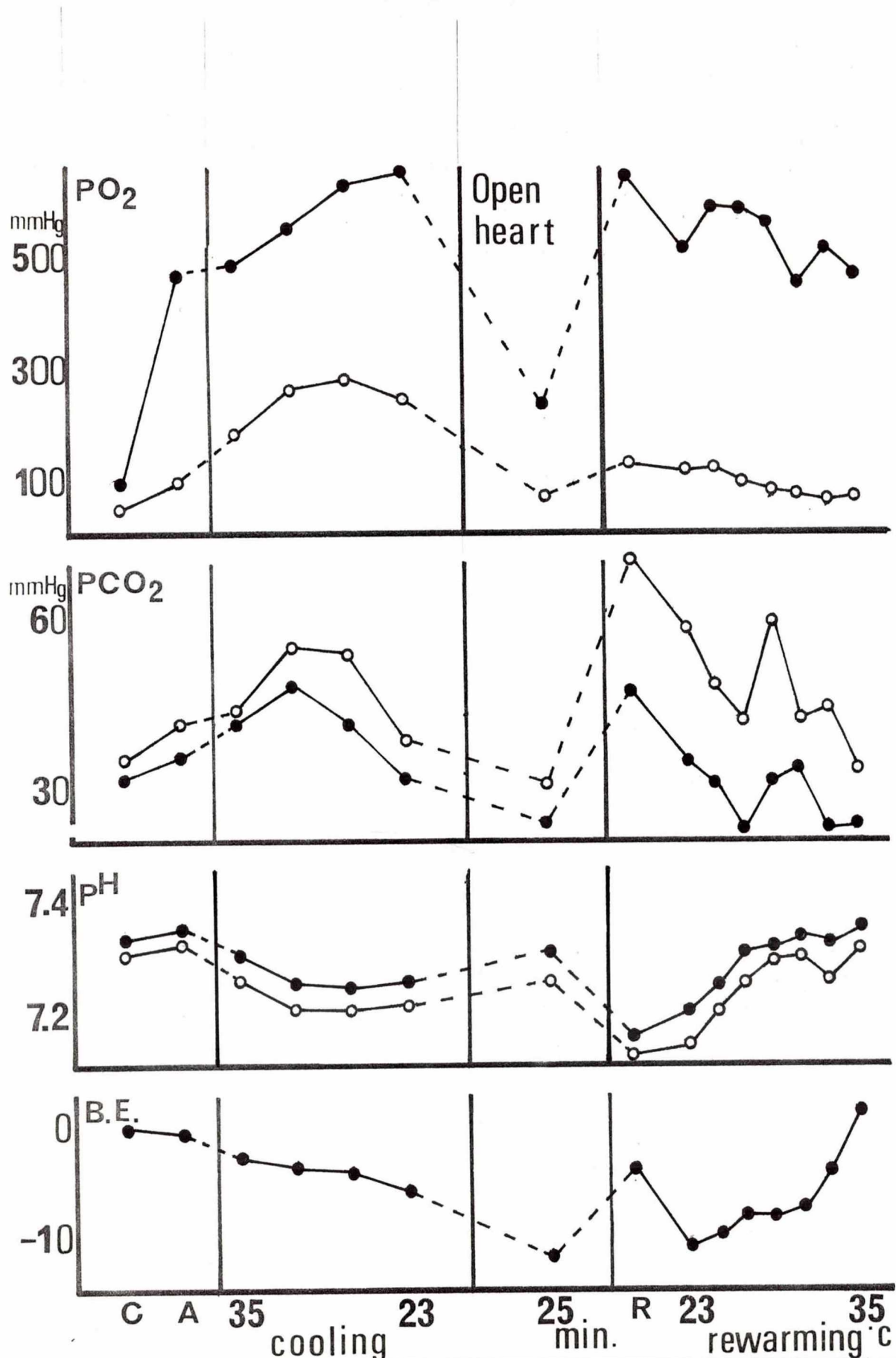
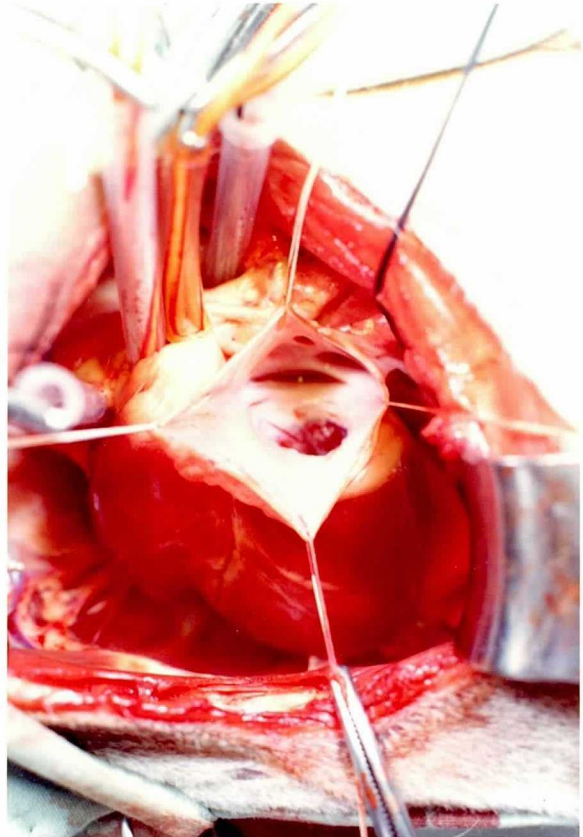
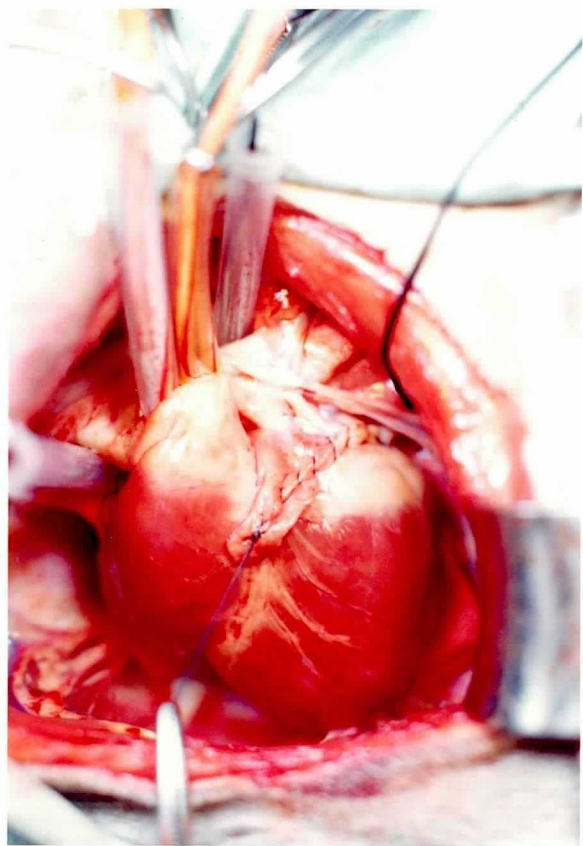


Fig. 41. Changes of PO_2 , PCO_2 , pH and Base excess in dogs of right atrial incision group. Each dot express the arithmetic mean of 5 dogs.

Solid circle : arterial blood Open circle : venous blood



FUJICOLOR CRD 77



FUJICOLOR CRD 77

Fig. 42.

In dogs of group II, a left atrial incision extending from left auricle to pulmonary vein was made.

35.6 + 2.6 minutes later, the atrial wound was closed by continuous suture.

Cont

23°C Cooling

Resuscitation

Rewarming
23°C

25°C

27°C

29°C

31°C

33°C

35°C

1 Week

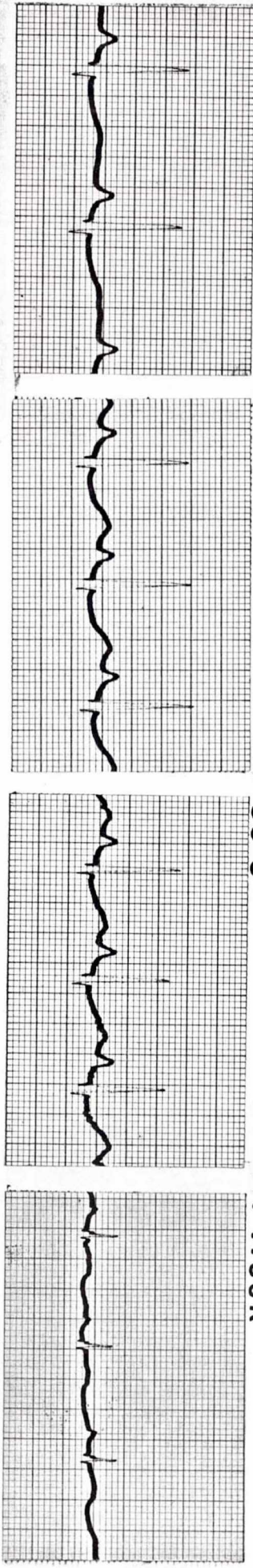


Fig. 43. Changes of electrocardiogram (limb lead II) in a dog of left atrial incision group.

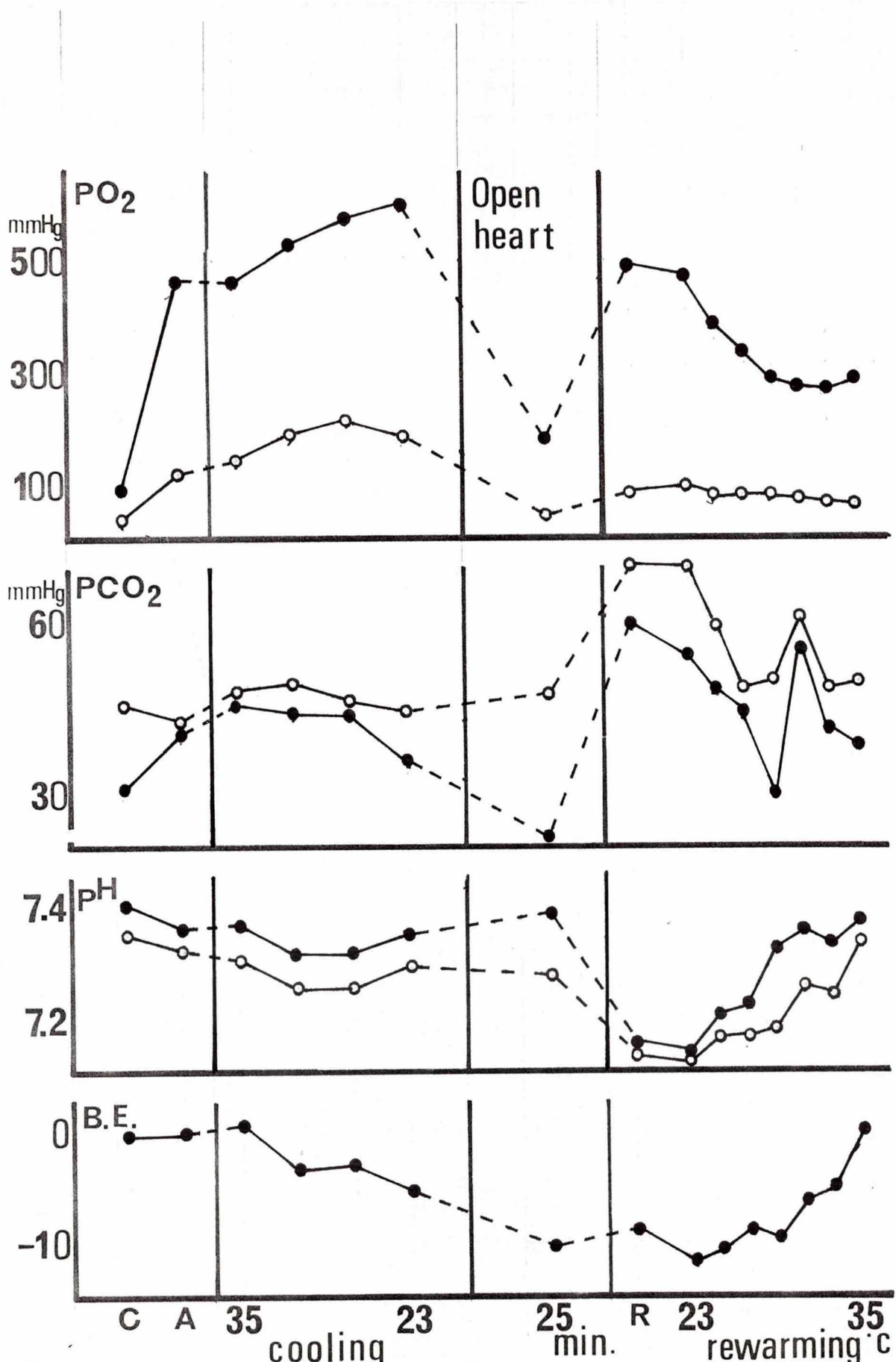


Fig. 44. Changes of PO_2 , PCO_2 , pH and Base excess in dogs of left atrial incision group.



Fig. 45. Photograph of a dog taken at the time of 3 months after atrial incision.

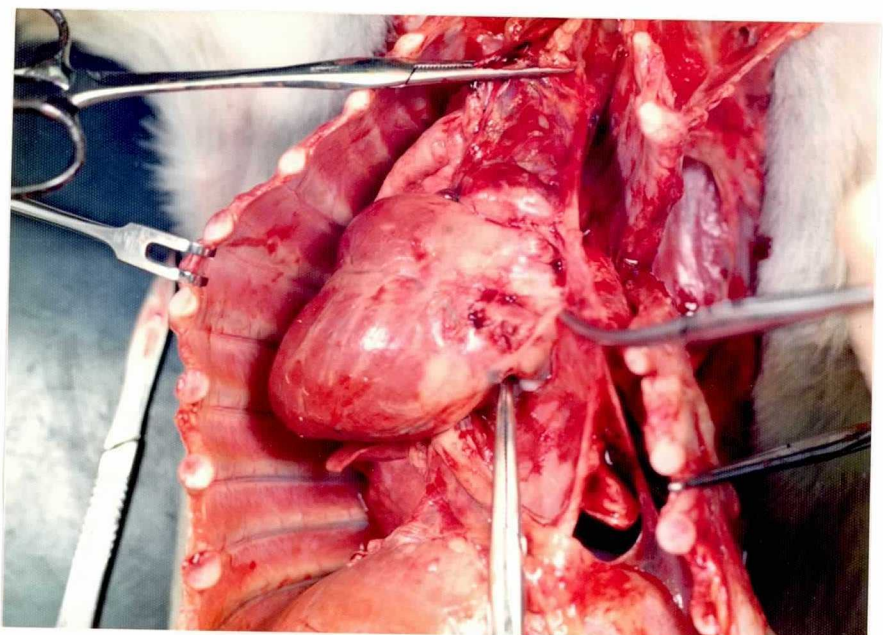


Fig. 46 Autopsy findings of 3 months after atrial incision.

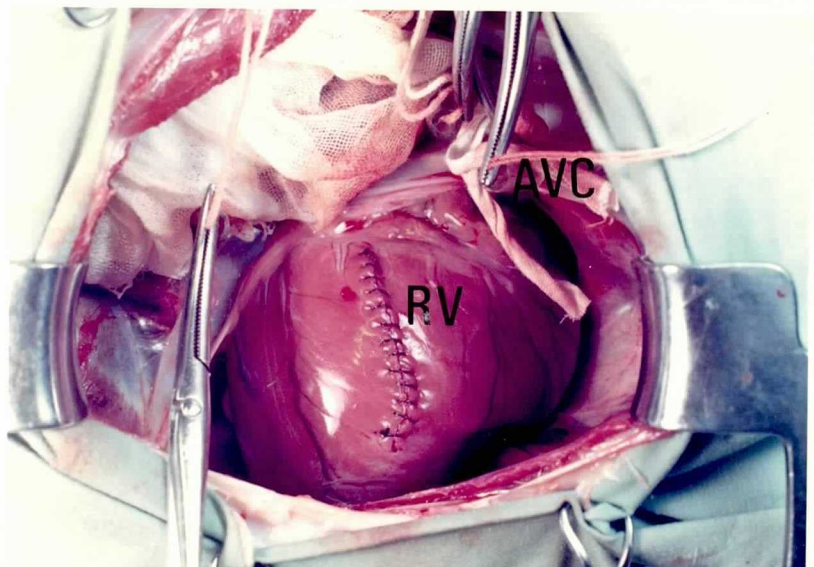
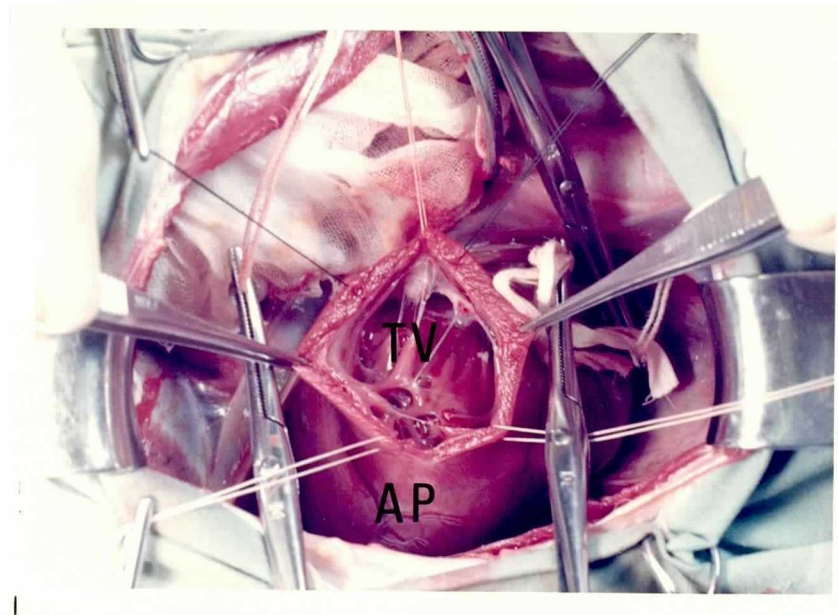
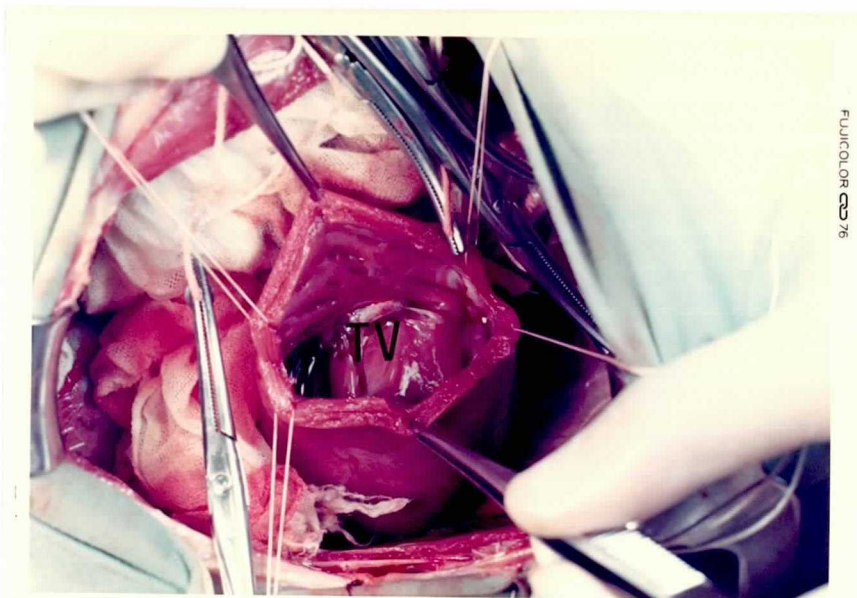


Fig. 47

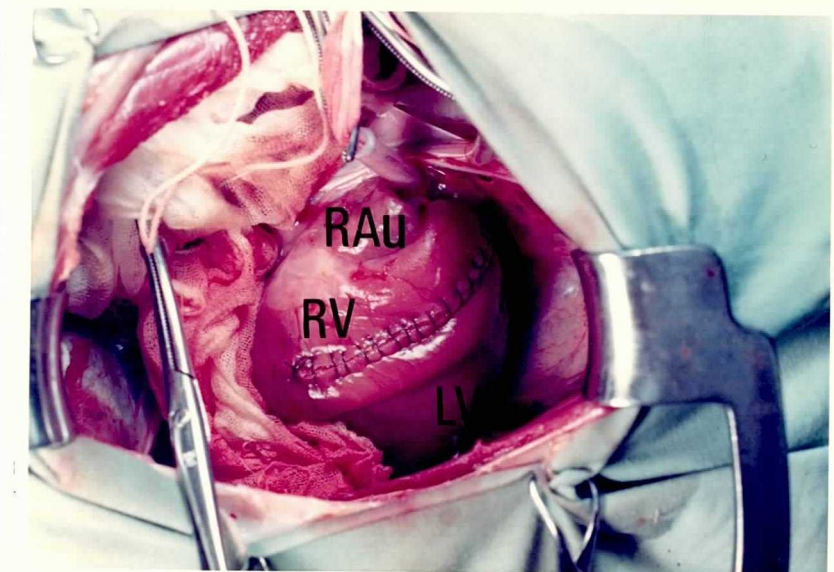
In dogs of group I, a right ventricular incision extending from coronary groove to apex was made.

36.1±4.2 minutes later, the ventricular wound was closed by continuous suture.

AP : Apex , AVC : Anterior Vena Cava ,
RV : Right Ventricle , TV : Tricuspid Valve



FUJICOLOR CD 76



FUJICOLOR CD 76

Fig. 48

In dogs of group II, a right ventricular incision extending from pulmonary conus to apex was made.

36.8±5.9 minutes later, the ventricular wound was closed by continuous suture.

LV : Left Ventricle , RAu : Right Auricle
RV : Right Ventricle , TV : Tricuspid Valve

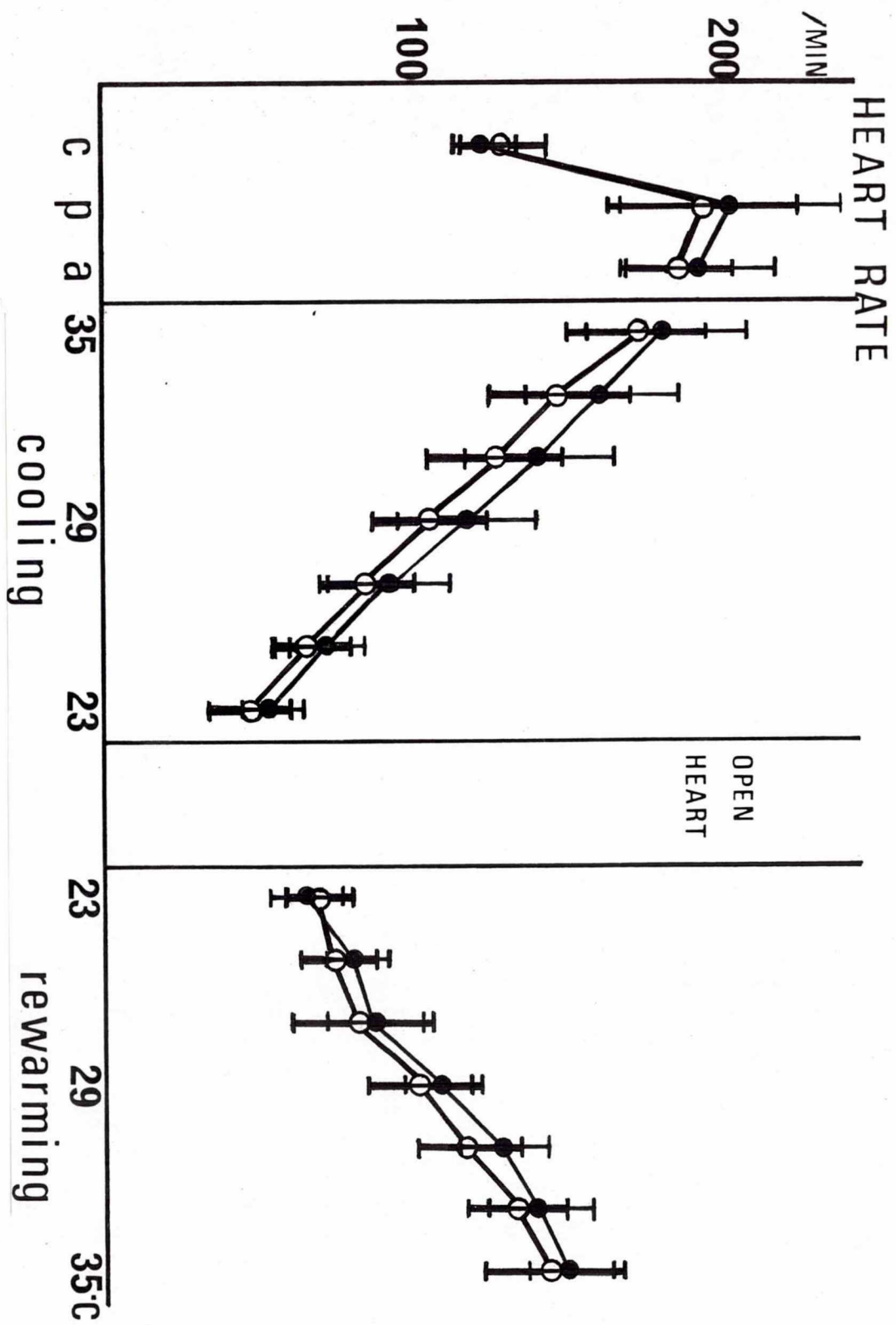


Fig. 49 Changes of Heart Rate.
Each dot and vertical bar express the arithmetic mean \pm standard deviation of 10 dogs.

- solid circle : arithmetic mean of group I.
- open circle : arithmetic mean of group II.
- C : controlled value , P : premedication , °C : midesophageal temperature.

Cont

23°C Cooling

Resuscitation

Rewarming
23°C

25°C

27°C

29°C

31°C

33°C

35°C

1 Week

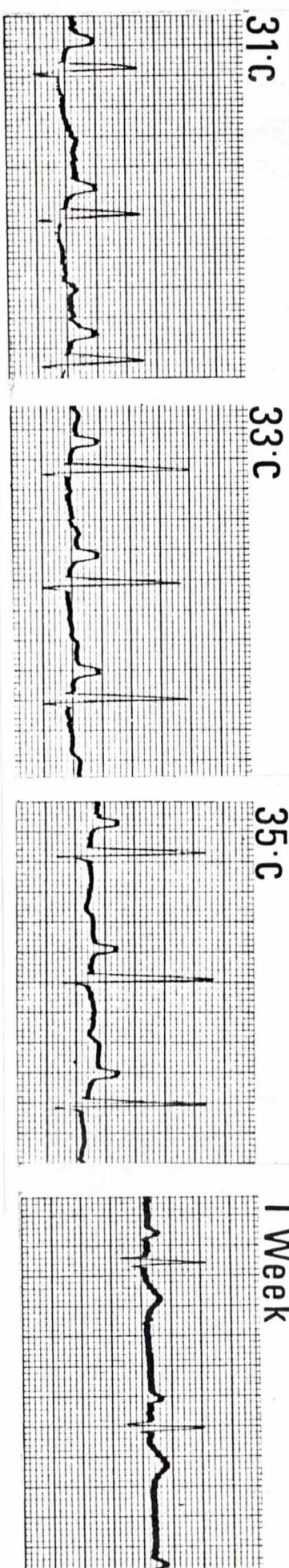


Fig. 50 Changes of Electrocardiogram (Limb Lead II) in a dog of group I.

Remarks : °C: midesophageal temperature.

Cont.

23°C Cooling

Resuscitation

Rewarming
23°C

25°C

27°C

29°C

31°C

33°C

35°C

1 Week

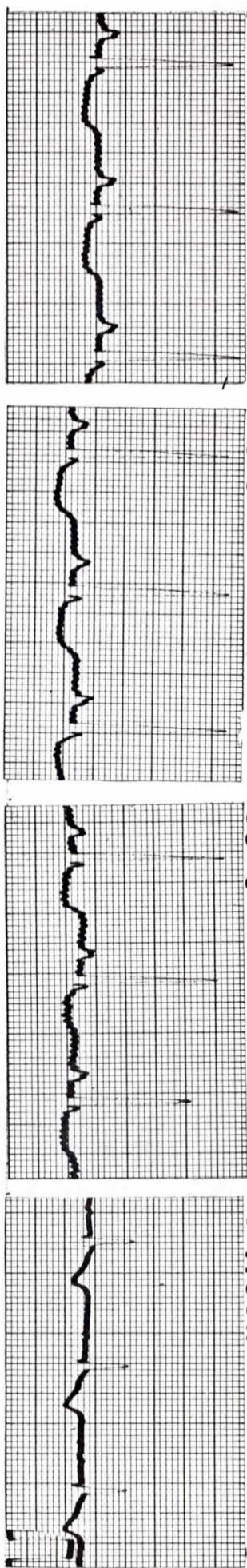


Fig. 51 Changes of Electrocardiogram (Limb Lead III) in a dog of group II.

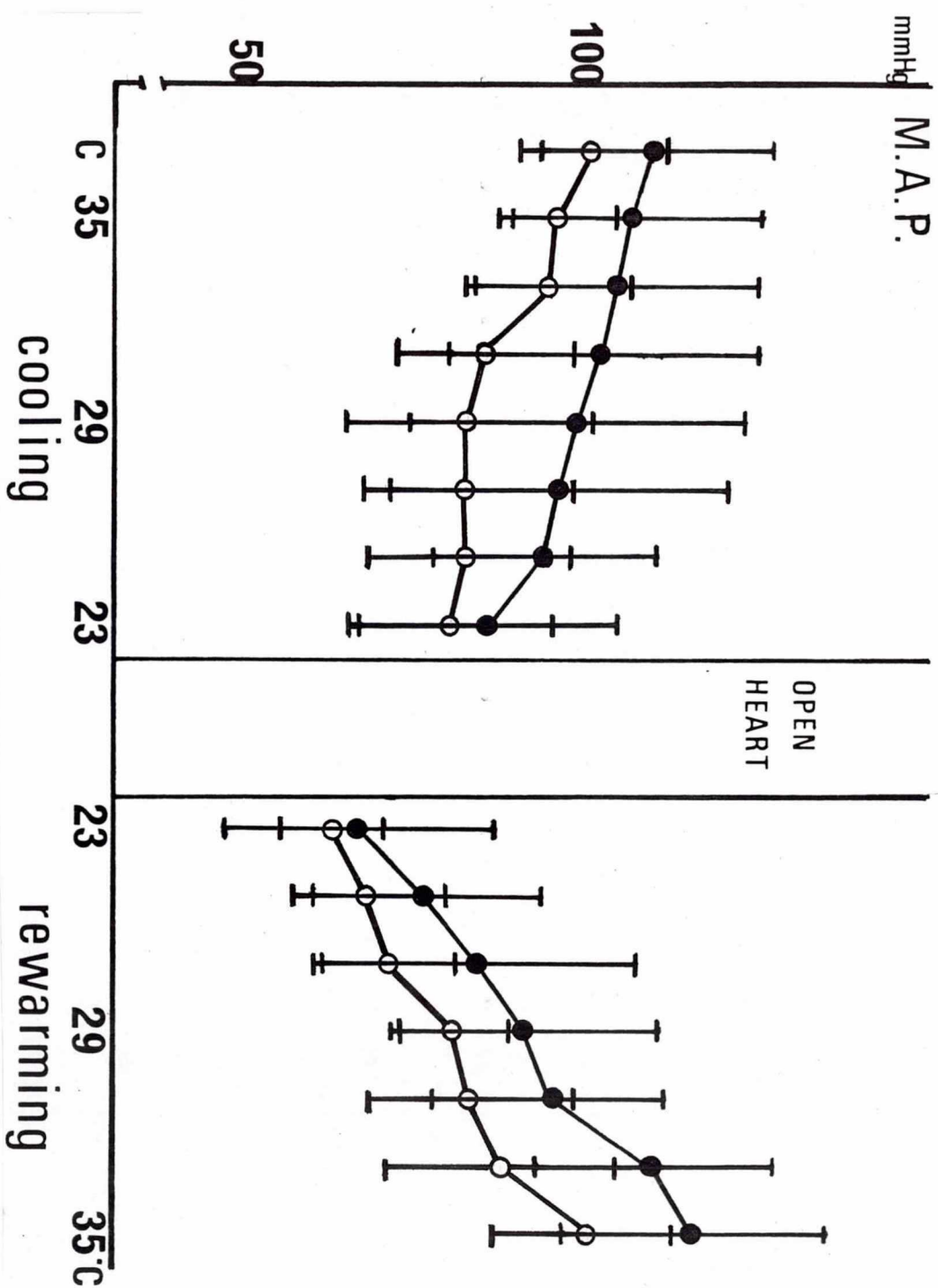


Fig. 52 Changes of Maximal Arterial Pressure.

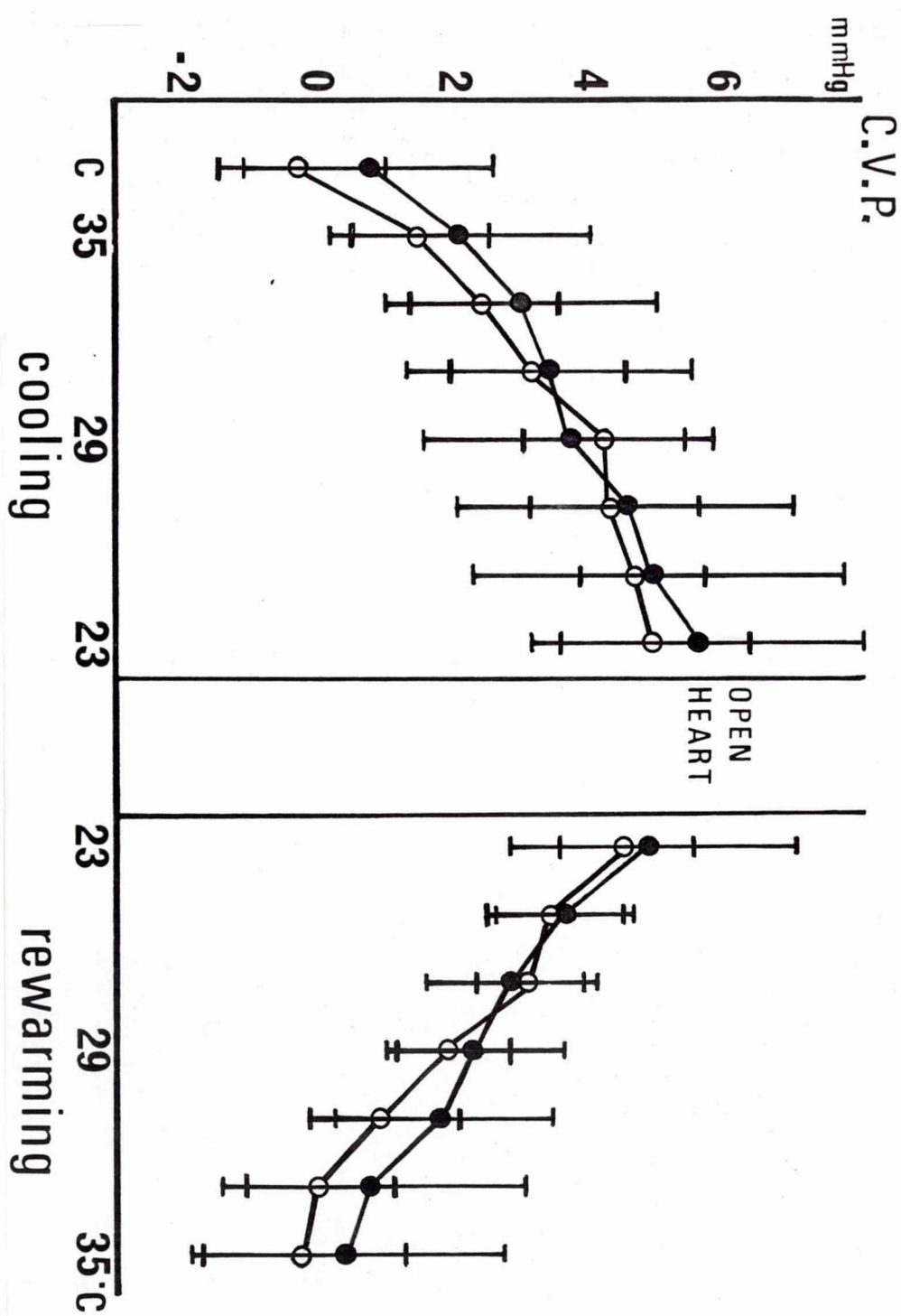


Fig. 53 Changes of Central Venous Pressure.

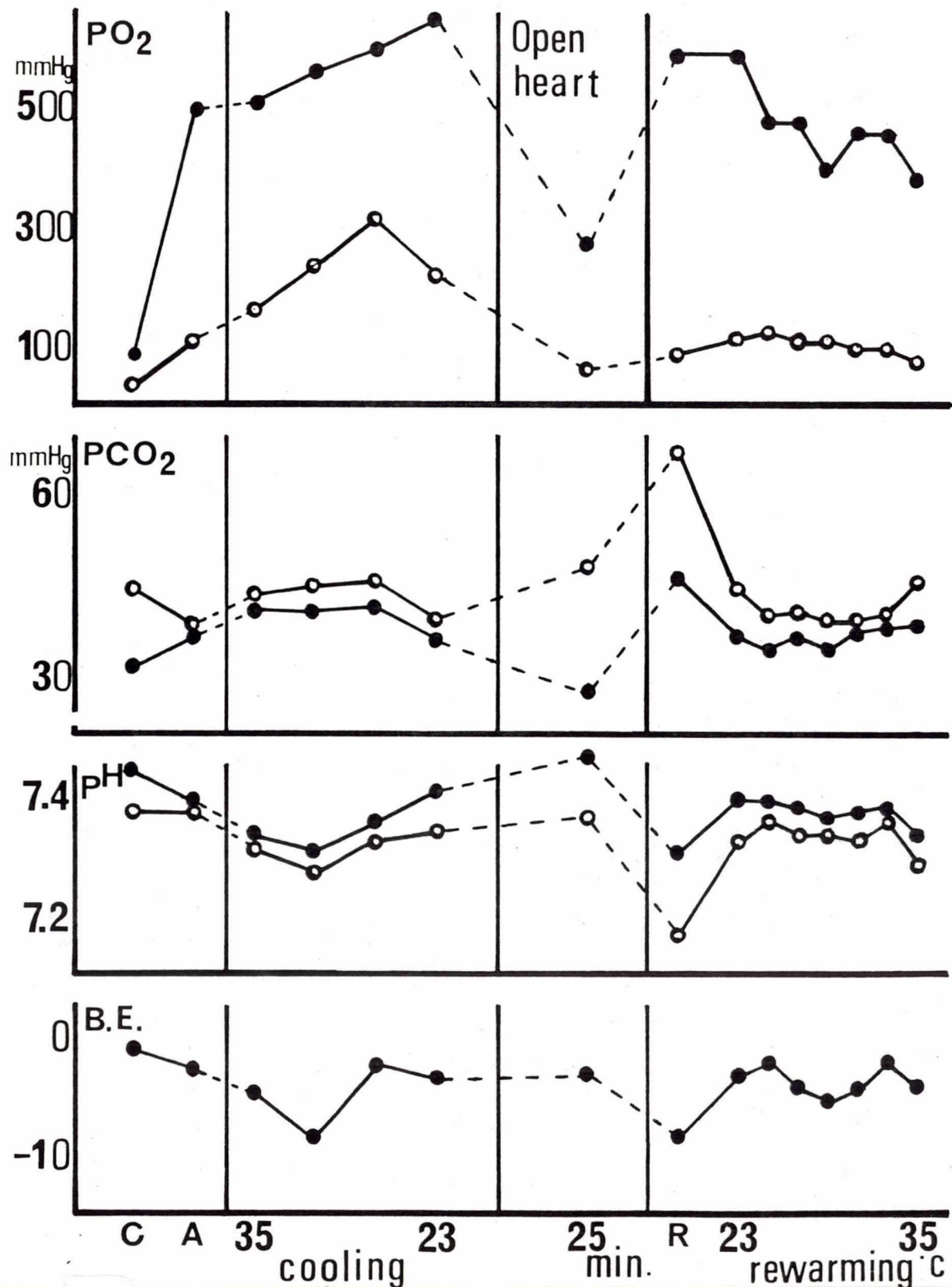


Fig. 54 Changes of PO_2 , PCO_2 , pH and Base Excess in dogs of group I.
 Each dot expressed the arithmetic mean of 10 dogs.
 ● solid circle : arterial blood, ○ open circle : venous blood

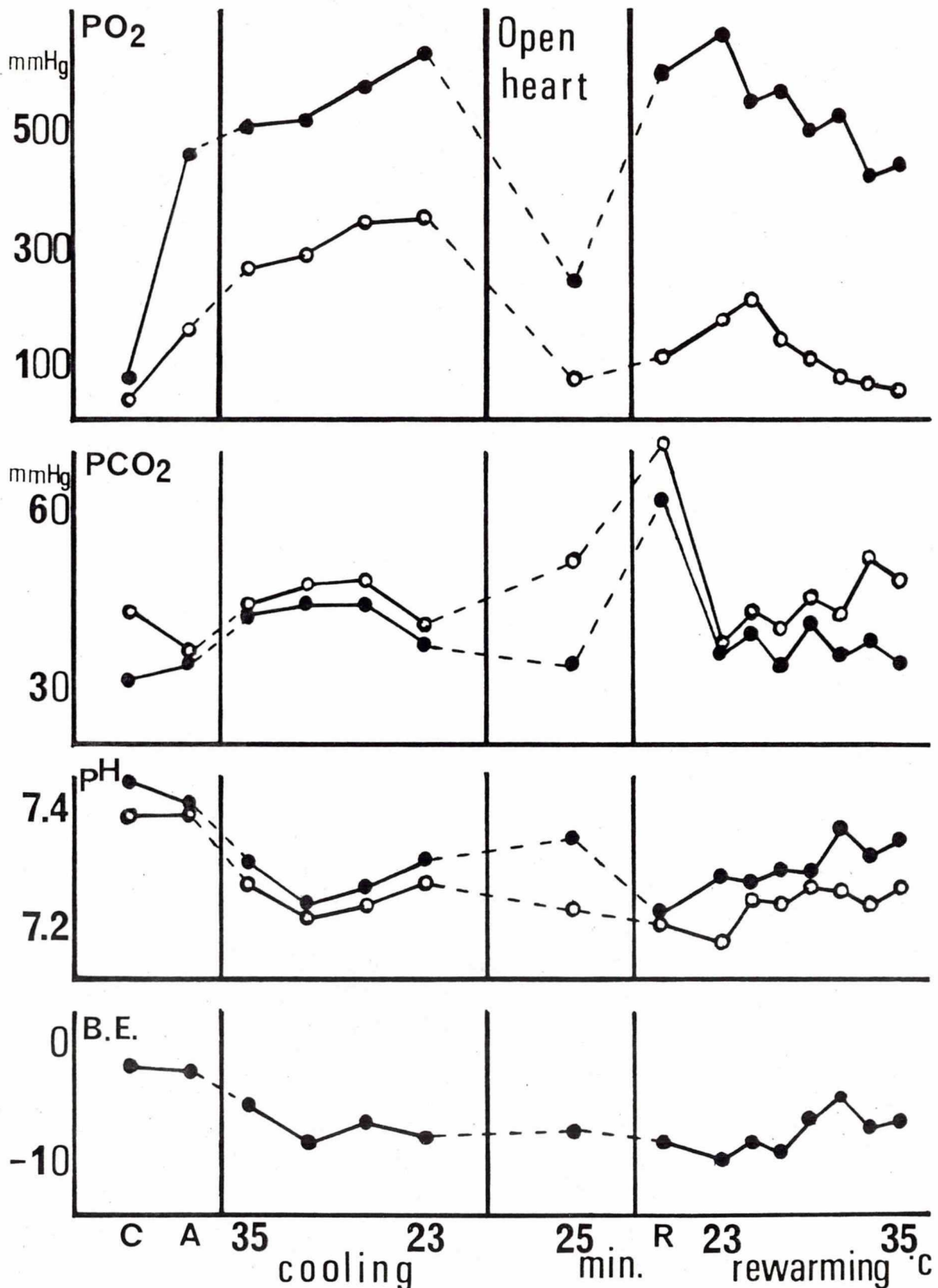


Fig. 55 Changes of PO_2 , PCO_2 , pH and Base Excess in dogs of group II.

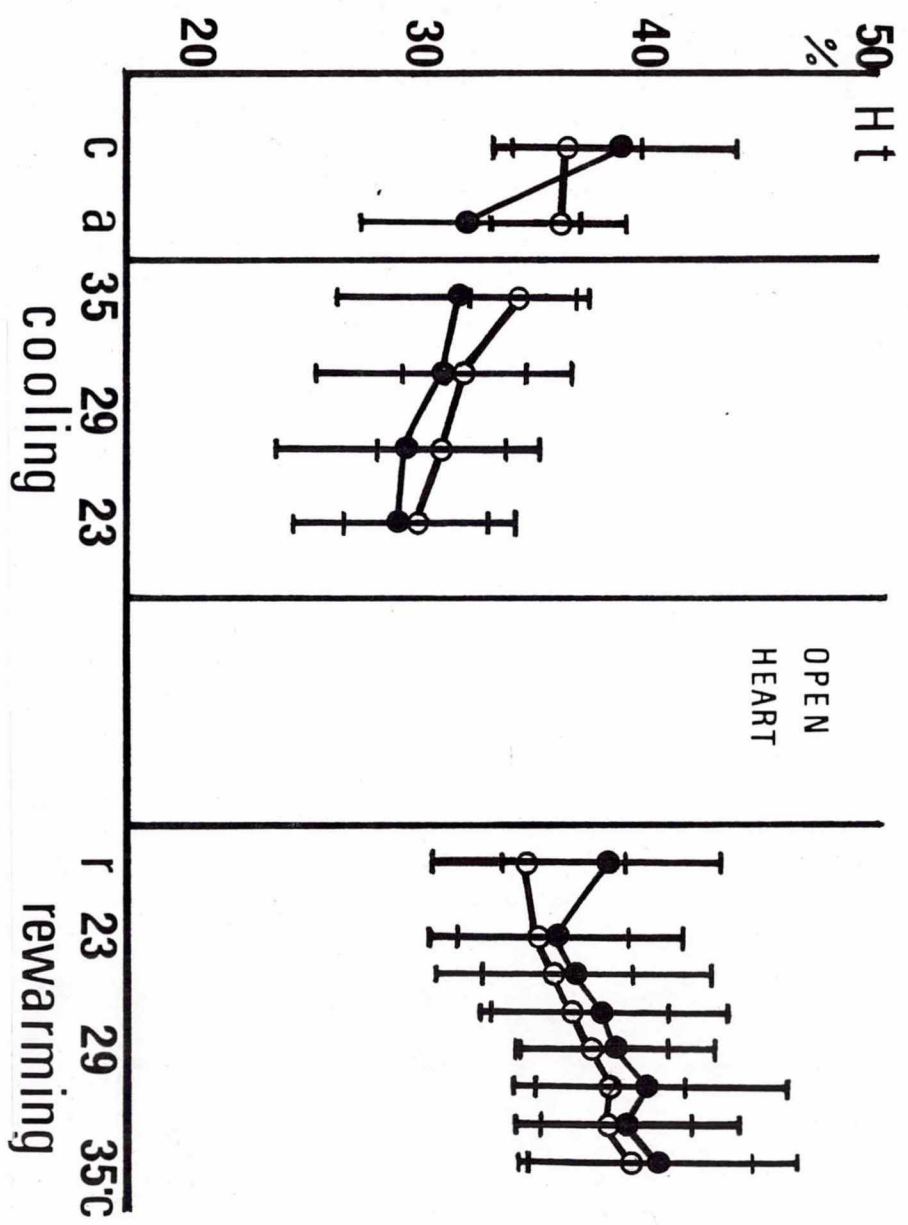


Fig. 56 Changes of Packed Cell Volume.



Fig. 57. Photograph of a dog taken at the time of
3 months after right ventricular incision.

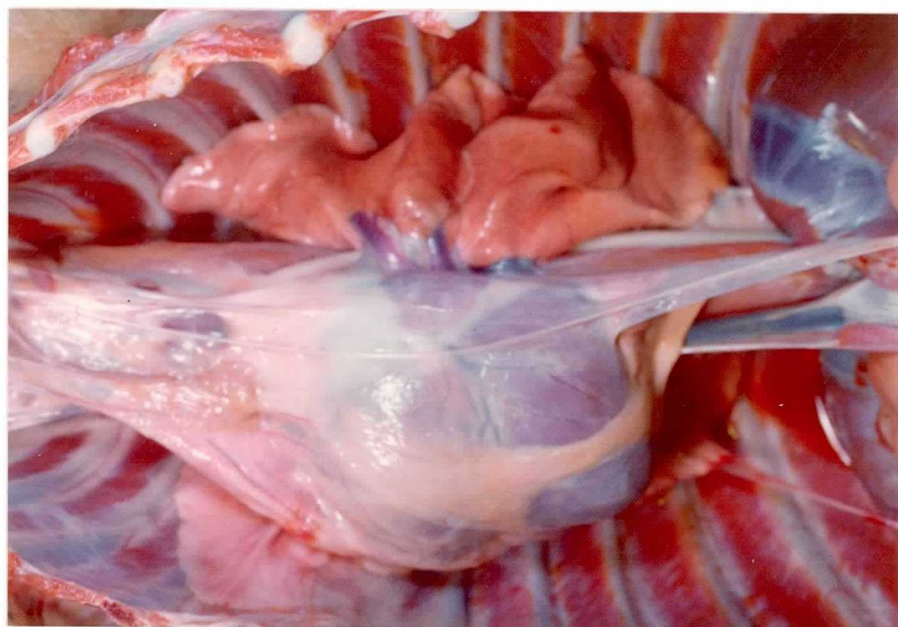


Fig. 58. Autopsy findings of 3 months after right
ventricular incision.

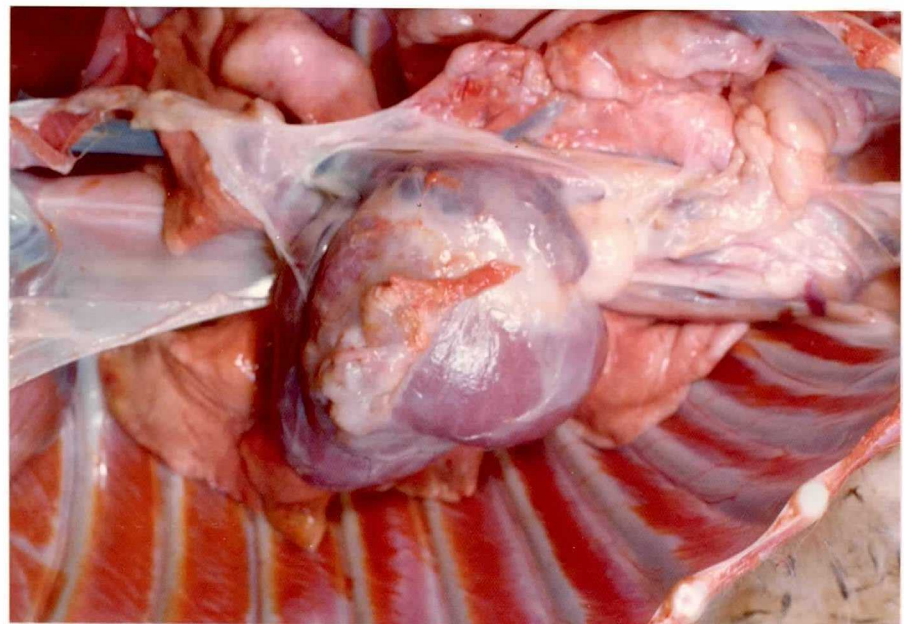


Fig. 59. Right ventricular aspect of the heart.

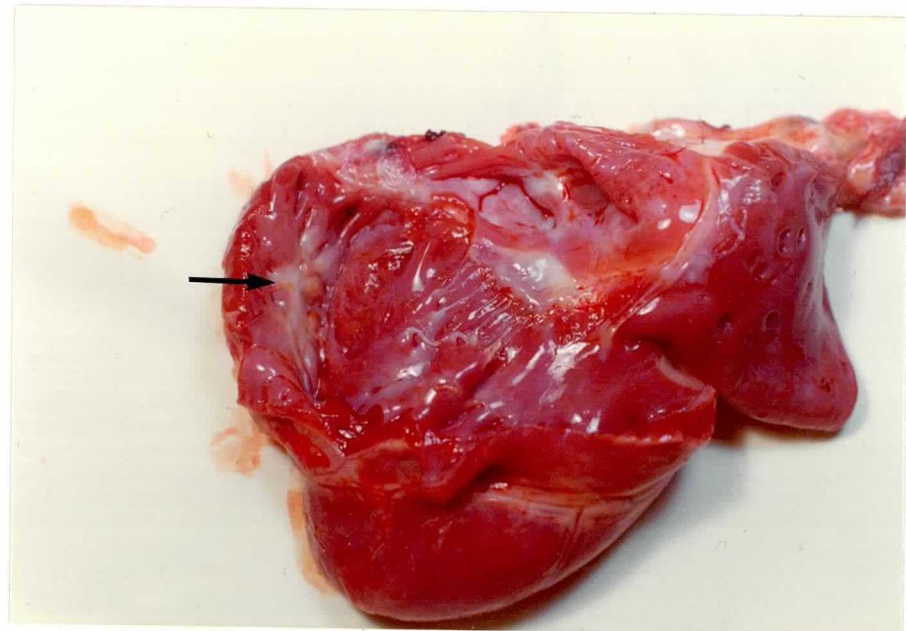


Fig. 60. Portion of right ventricular incision.
(arrow)

Table 1. Experimental Results I-1

No. of Cases	1	2	3	4	5	Ave.	S.D.
Body Weight (kg.)	12.0	13.5	13.5	11.0	11.0	12.2	1.2
Cooling(min.)	110	106	84	135	115	110.0	16.4
Respiratory arrest (C)	25.0	23.0	23.0	24.6	23.9	23.9	0.8
Cause of Death (C)	Fibr.	Fibr.	Fibr.	Fibr.	Fibr.	20.6	0.3
	21.0	20.6	20.0	20.5	20.8		

Table 2. Method of Hypothermia

1. Premedication

- | | | |
|-----|---------------------------------|-------------------|
| (1) | Before 1 hr. | |
| | Hydroxyzine Hydrochloride | 0.5 mg/kg. I.M. |
| | Atropine Sulfate | 0.025 mg/kg. I.M. |
| (2) | Before 30 min. | |
| | Triflupromazine Hydrochloride | 0.5 mg/kg. I.M. |
| | Atropine Sulfate | 0.025 mg/kg. I.M. |
| | Hydroxyzine Hydrochloride | 0.5 mg/kg. I.M. |
| | Hydrocortisone Sodium Succinate | 10 mg/kg. I.M. |

2. Induction

- | | | |
|-----|-------------------------|-------------------|
| (1) | Thiopental Sodium | 15-20 mg/kg. I.V. |
| (2) | Succinyl Cholinchloride | 0.5 mg/kg. I.V. |

3. Endotracheal Intubation

Triflupromazine Hydrochloride 0.5 mg/kg.
I.M.

4. Ether Anesthesia

5. Cooling (surface Cooling)

Low Molecular Weight Dextran 10-15 ml/kg. I.V.
Heparin Sodium (E.T. 30°C) 1 mg/kg. I.V.

6. Cooling was discontinued when body temperature
reached 20-23 degrees C.

7. In Room Temp.

8. Rewarming (up to 35°C)

Protamine Sulfate 1.5 mg/kg. I.V.
7% Sodium Bicarbonate Solution I.V.

Table 3 Experimental Results I-2

No. of Cases	1	2	3	4	5	Average	S.D.
Body Weight(kg)	12.0	12.5	10.0	6.5	7.0	9.6	2.8
Cooling(min.)	73	100	104	95	44	83.2	22.3
Rewarming(min.)	64	81	101	67	82	79	14.7
Cooling was stopped(°C)	22.5	21.5	21.0	20.0	21.0	21.2	0.9
The lowest B.Temp.(°C)	21.0	20.9	20.5	19.6	19.7	20.3	0.7
After drop(°C)	1.5	0.6	0.5	0.4	1.3	0.86	0.5
Respiratory arrest(°C)	27.0	24.0	26.0	26.5	27.0	26.1	1.2
Respiration reappeared(°C)	27.5	27.0	26.5	27.0	28.0	27.2	0.6
Room temp.(°C)	20.5	21.5	21.5	25.5	15.0	20.8	3.8

Table 4 • P Wave Duration (sec.)

No. of Cases	1	2	3	4	5	Ave.	S.D.
Cont.	0.034	0.042	0.036	0.040	0.040	0.038	0.0030
Premed.	0.040	0.042	0.034	0.040	0.040	0.039	0.0030
Anes.	0.038	0.042	0.042	0.040	0.042	0.041	0.0018
35(c)	0.042	0.044	0.042	0.040	0.042	0.042	0.0016
33	0.042	0.060	0.044	0.042	0.040	0.046	0.0081
31	0.050	0.053	0.050	0.052	0.042	0.051	0.0049
29				0.060	0.050	0.053	0.0050
27	0.056	0.076	0.080	0.070	0.060	0.060	0.0100
25				0.060	0.068	0.068	0.0094
23	0.058	0.076	0.080	0.080	0.068	0.072	
10 (min.)	0.060	0.098	0.080	0.090	extra.	0.082	0.0160
20	0.062	0.100	0.080	0.090	extra.	0.083	0.0160
30	0.072	0.098	0.080	0.082	extra.	0.083	0.0110
40	0.076	0.099	0.078	0.082	extra.	0.084	0.0110
50	0.078	0.098	0.078	0.080	0.060	0.079	0.0130
60	0.080	0.096	0.078	0.080	0.060	0.079	0.0130
23(c)	0.070	0.099	0.060	0.076	0.070	0.075	0.0150
25	0.062	0.084	0.058	0.070	0.052	0.065	0.0120
27	0.050	0.082	0.052	0.060	0.050	0.058	0.0140
29	0.038	0.056	0.050	0.056	0.044	0.049	0.0080
31	0.036	0.050	0.048	0.050	0.042	0.045	0.0061
33	0.036	0.042	0.040	0.042	0.040	0.040	0.0024
35	0.036	0.040	0.032	0.040	0.040	0.038	0.0035
24 (hr.)	0.034	0.040	0.040	0.040	0.040	0.039	0.0030
48	0.036	0.042	0.032	0.040	0.040	0.038	0.0044
72	0.034	0.040	0.040	0.040	0.040	0.038	0.0032

Table 5 PQ Interval (sec)

No. of Cases	1	2	3	4	5	Ave.	S.D.
Cont.	0.10	0.10	0.09	0.09	0.09	0.094	0.0055
Premed.	0.10	0.08	0.08	0.09	0.06	0.082	0.0148
Anes.	0.09	0.08	0.08	0.07	0.08	0.080	0.0071
35(a)							
33	0.09	0.08	0.09	0.08	0.08	0.083	0.0050
31		0.09	0.10	0.08	0.08	0.089	0.0073
29	0.10		0.10	0.10	0.08	0.095	0.0114
27				0.11	0.09	0.102	0.0091
25	0.12	0.12	0.15	0.12	0.10	0.110	0.0141
23	0.14	0.14	0.16	0.16	0.14	0.128	0.0164
10 (min.)	0.16	0.20	0.20	0.22	extra.	0.195	0.0250
20	0.16	0.20	0.20	0.21	extra.	0.193	0.0212
30	0.18	0.18	0.20	0.18	extra.	0.186	0.0094
40	0.19	0.18	0.18	0.20	extra.	0.188	0.0076
50	0.18	0.18	0.18	0.17	0.17	0.178	0.0051
60	0.19	0.19	0.18	0.18	0.16	0.178	0.0116
23(a)	0.17	0.16	0.14	0.15	0.14	0.152	0.0133
25	0.14	0.14	0.13	0.14	0.10	0.129	0.0160
27	0.10	0.12	0.11	0.12	0.10	0.110	0.0091
29	0.10	0.10	0.10	0.09	0.10	0.098	0.0014
31	0.08	0.10	0.10	0.08	0.08	0.094	0.0087
33	0.08	0.10	0.09	0.08	0.090	0.0086	
35	0.08	0.10	0.09	0.08	0.082	0.0077	
24 (hr.)	0.11	0.09	0.09	0.09	0.096	0.0094	
48	0.12	0.10	0.09	0.09	0.102	0.0131	
72	0.10	0.08	0.09	0.08	0.091	0.0091	

Table 6 • QRS Complex Duration
(sec.)

No. of cases	1	2	3	4	5	Ave.	S.D.
Cont.	0.040	0.040	0.040	0.040	0.040	0.0400	0
Premed.	0.038	0.040	0.040	0.040	0.040	0.0396	0.0000
Anes.	0.038	0.040	0.040	0.040	0.040	0.0396	0.0000
35(c)	0.042	0.040	0.040	0.040	0.040	0.0405	0.0010
33	0.050	0.060	0.042	0.042	0.040	0.0468	0.0083
31	0.050	0.070	0.050	0.050	0.040	0.0533	0.0153
29	0.060	0.050	0.060	0.048	0.0545	0.0064	
27	0.070	0.080	0.070	0.052	0.0610	0.0127	
25	0.070	0.080	0.070	0.060	0.0700	0.0071	
23	0.092	0.090	0.070	0.080	0.0804	0.0105	
10(min.)	0.094	0.100	0.100	0.090	extra.	0.0960	0.0049
20	0.090	0.098	0.082	0.100	extra.	0.0930	0.0082
30	0.092	0.100	0.090	0.096	extra.	0.0945	0.0044
40	0.100	0.100	0.096	0.098	extra.	0.0985	0.0017
50	0.100	0.096	0.096	0.090	0.0944	0.0042	
60	0.094	0.090	0.096	0.080	0.0900	0.0062	
23(min.)	0.080	0.070	0.080	0.076	0.080	0.0772	0.0044
25	0.062	0.062	0.070	0.060	0.078	0.0664	0.0075
27	0.054	0.062	0.058	0.060	0.062	0.0592	0.0033
29	0.048	0.058	0.058	0.060	0.050	0.0548	0.0054
31	0.046	0.052	0.050	0.046	0.040	0.0468	0.0046
33	0.040	0.052	0.040	0.040	0.040	0.0424	0.0053
35	0.038	0.050	0.040	0.040	0.040	0.0416	0.0047
24(hr.)	0.038	0.050	0.040	0.036	0.0410	0.0062	
48	0.040	0.042	0.038	0.036	0.0390	0.0024	
72	0.038	0.036	0.036	0.036	0.0372	0.0010	

Table 7 QT Interval (sec.)

No. of Cases	1	2	3	4	5	Ave.	S.D.
Cont.	0.18	0.20	0.18	0.20	0.20	0.19	0.0093
Premedi.	0.16	0.15	0.16	0.15	0.16	0.16	0.0055
Anes.	0.19	0.22	0.14	0.16	0.21	0.18	0.0336
35(0)							
33	0.22	0.24	0.18	0.20	0.21	0.21	0.0250
31		0.16	0.20	0.22		0.20	0.0283
29	0.36	0.31	0.29	0.30	0.28	0.29	0.0354
27				0.34	0.32	0.31	0.0359
25	0.40	0.40	0.44	0.41	0.36	0.33	0.0141
23	0.48	0.50	0.48	0.50	0.50	0.49	0.0286
10(min.)							
20	0.58	0.64	0.74	0.68	0.66	0.66	0.0673
30	0.62	0.62	0.71	0.64	0.65	0.65	0.0578
40	0.62	0.60	0.70	0.62	0.65	0.64	0.0427
50	0.64	0.64	0.70	0.60	0.64	0.64	0.0443
60	0.66	0.60	0.58	0.51	0.72	0.66	0.0456
					0.68	0.61	0.0671
23(0)							
25	0.54	0.47	0.51	0.50	0.52	0.51	0.0259
27	0.44	0.43	0.44	0.40	0.40	0.42	0.0214
29	0.30	0.36	0.35	0.34	0.36	0.34	0.0249
31	0.26	0.30	0.30	0.30	0.30	0.29	0.0179
33	0.24	0.27	0.27	0.26	0.26	0.26	0.0122
35	0.20	0.24	0.23	0.23	0.23	0.23	0.0164
	0.19	0.16	0.20	0.20	0.19	0.0219	
24(hr.)							
48	0.18	0.18	0.20	0.18	0.19	0.0091	
72	0.20	0.16	0.20	0.18	0.19	0.0188	
	0.17	0.18	0.20	0.16	0.18	0.0149	

Table 8 TR Interval (sec.)

No. of Cases	1	2	3	4	5	Ave.	S.D.
Cont.	0.28	0.24	0.28	0.30	0.32	0.284	0.0297
Premed.	0.12	0.09	0.03	0.12	0.02	0.076	0.0483
Anes.	0.06	0.14	0.052	0.02	0.08	0.071	0.0445
35(c)	0.08	0.08	0.02	0.02	0.08	0.050	0.0346
33	0.08	0.06	0.03	0.05	0.06	0.054	0.0192
31						0.058	0.0028
29	0.10	0.06	0.06	0.12	0.12	0.099	0.0274
27						0.170	0.0141
25	0.27	0.18	0.16	0.25	0.26	0.224	0.0503
23	0.35	0.25	0.20	0.48	0.36	0.328	0.1085
10(min.)	0.45	0.51	0.67	0.98	extra.	0.653	0.2373
20	0.58	0.44	0.64	0.82	extra.	0.620	0.1575
30	0.64	0.54	0.56	0.68	extra.	0.605	0.0661
40	0.70	0.50	0.53	0.64	extra.	0.593	0.0936
50	0.73	0.50	0.49	0.62	0.96	0.660	0.1943
60	0.75	0.49	0.48	0.57	0.58	0.568	0.1148
23(c)	0.41	0.30	0.25	0.29	0.30	0.310	0.0596
25	0.30	0.19	0.19	0.18	0.17	0.206	0.0532
27	0.17	0.14	0.12	0.13	0.13	0.138	0.0184
29	0.16	0.11	0.10	0.09	0.09	0.109	0.0299
31	0.14	0.10	0.09	0.06	0.10	0.068	0.0286
33	0.14	0.07	0.04	0.04	0.08	0.073	0.0395
35	0.09	0.08	0.03	0.04	0.06	0.060	0.0249
24(hr.)	0.20	0.16	0.25	0.30	0.227	0.0614	
48	0.19	0.24	0.18	0.28	0.221	0.0466	
72	0.16	0.24	0.18	0.23	0.178	0.0648	

Table 9 Heart rate (/min)

	Chapter 1.		Chapter 2.		Chapter 3.		Chapter 4.	
	mean	* S.D.						
C.	110.0 *	1.5	105.6 *	2.3	98.0 *	9.2	121.0 *	21.5
A.	172.0 *	7.9	184.3 *	39.0	196.8 *	42.6	195.2 *	26.2
35 °C.	189.8 *	18.8	180.8 *	32.6	174.1 *	34.7	171.4 *	31.1
33	162.8 *	17.5	155.4 *	14.4	147.0 *	24.4	148.0 *	22.1
31	142.5 *	21.6	134.7 *	6.2	133.0 *	16.9	130.8 *	18.8
29	110.5 *	15.4	113.5 *	13.4	117.3 *	12.3	113.2 *	12.2
27	85.8 *	13.8	95.0 *	6.2	99.1 *	9.3	89.2 *	10.8
25	60.8 *	11.0	80.2 *	3.5	80.0 *	8.3	67.8 *	13.3
23	42.8 *	8.7	62.8 *	6.8	60.9 *	6.3	57.3 *	9.4
10 min.	+/-		41.3 *	7.0	40.5 *	3.6	42.5 *	2.1
20								
30								
40								
50								
60								
23 °C.	62.2 *	4.5	59.1 *	7.4	80.7 *	11.4	75.0 *	5.0
25	71.2 *	11.6	79.3 *	14.4	95.0 *	11.8	91.7 *	11.8
27	101.8 *	3.9	96.6 *	11.8	104.0 *	16.2	108.3 *	6.2
29	120.6 *	2.3	108.9 *	10.7	122.0 *	8.1	116.7 *	4.7
31	134.2 *	6.9	130.2 *	12.6	132.0 *	7.5	130.0 *	8.2
33	155.8 *	11.0	155.8 *	13.2	140.0 *	10.5	141.7 *	11.8
35	176.0 *	5.0	165.0 *	22.7	174.0 *	18.5	156.7 *	4.7

Circulatory arrest

Circulatory arrest
& Right atrial
incisionCirculatory arrest
& Left atrial
incisionCirculatory arrest
& Right ventricular
transverse
incisionCirculatory arrest
& Right ventricular
longitudinal
incision

Table 10. Maximal Arterial Pressure. (mmHg)

	Chapter 1.	Chapter 2.	Chapter 3.	Chapter 4.
	mean * S.D.	mean * S.D.	mean * S.D.	mean * S.D.
C.	137.0 * 11.2	137.0 * 32.5	118.9 * 10.5	116.0 * 23.8
A.				
35 °C.	147.9 * 21.2	147.2 * 37.3	110.9 * 6.3	101.1 * 23.3
33	136.8 * 20.6	116.8 * 40.3	105.2 * 8.4	88.9 * 15.9
31	130.8 * 21.1	118.0 * 30.0	104.5 * 10.9	90.1 * 19.2
29	127.2 * 17.7	122.3 * 31.0	97.4 * 9.5	94.0 * 22.7
27	122.7 * 14.5	110.0 * 25.0	97.0 * 17.0	80.0 * 25.2
25	114.6 * 12.3	96.9 * 30.0	96.1 * 16.9	76.0 * 24.4
23	104.1 * 25.4	94.3 * 25.2	97.3 * 14.5	75.0 * 21.7
10 min.	+ 91.9 * 19.2			
20	84.8 * 22.8			
30	85.8 * 23.1			
40	88.5 * 25.3			
50	90.9 * 24.7			
60	86.3 * 20.7			
		Circulatory arrest		
			Circulatory arrest	
			& Right atrial	
			incision	
			Circulatory arrest	
			& Left atrial	
			incision	
			Circulatory arrest	
			& Right ventricular	
			transverse	
			incision	
			Circulatory arrest	
			& Right ventricular	
			longitudinal	
			incision	
23 °C.	86.1 * 22.1	56.2 * 14.6	60.5 * 16.9	45.5 * 15.0
25	96.4 * 26.3	60.9 * 16.9	65.9 * 25.0	67.4 * 8.6
27	97.1 * 23.2	76.9 * 25.4	84.0 * 22.4	82.5 * 12.8
29	91.9 * 17.4	87.9 * 25.8	91.6 * 6.1	83.5 * 13.3
31	96.8 * 25.3	95.5 * 21.2	96.3 * 9.3	89.0 * 18.3
33	113.9 * 29.9	110.5 * 21.2	100.3 * 13.2	84.9 * 7.5
35	141.6 * 33.6	119.6 * 21.3	104.5 * 28.7	100.8 * 11.8
				66.0 * 20.0
				63.9 * 7.6
				75.5 * 18.9
				69.0 * 12.3
				72.3 * 9.6
				82.5 * 7.6
				84.7 * 11.0
				109.0 * 18.7
				89.2 * 17.9
				115.9 * 20.7
				101.0 * 15.0

Table 11 Central Venous Pressure (mmHg)

		Chapter 1.		Chapter 2.		Chapter 3.		Chapter 4..	
C.	A.	mean 0.13	* S.D. * 0.5	mean 0.5	* S.D. * 0.8	mean -0.7	* S.D. * 1.6	mean 0.8	* S.D. * 1.0
35 °C.		0.46 *	1.0	1.2 *	1.1	0.2 *	1.9	2.8 *	1.5
33		0.57 *	1.7	1.6 *	1.3	0.3 *	1.8	3.1 *	2.0
31		0.57 *	1.2	2.8 *	1.0	3.2 *	2.0	3.3 *	1.9
29		0.57 *	1.2	3.8 *	1.5	4.0 *	2.3	4.0 *	1.6
27		0.16 *	0.9	4.3 *	1.8	5.2 *	1.1	3.8 *	3.1
25		1.40 *	0.4	4.5 *	1.6	5.9 *	2.0	4.5 *	2.6
23		7.20 *	3.1	5.3 *	1.8	6.1 *	2.0	4.6 *	2.8
10 min.	+			5.7 *	2.0			5.0 *	1.8
20		5.8 *	1.1					5.6 *	2.6
30		5.9 *	1.6					4.8 *	1.2
40		6.0 *	1.8					4.0 *	1.4
50		5.8 *	2.0					3.8 *	1.6
60		5.6 *	2.1					3.5 *	1.1
23 °C.		5.7 *	2.0	5.7 *	2.4	4.8 *	1.3	5.5 *	2.1
25		5.0 *	2.1	4.2 *	2.0	5.2 *	2.1	6.2 *	1.2
27		5.1 *	2.0	3.9 *	2.0	4.0 *	1.0	4.4 *	0.8
29		4.0 *	1.5	3.8 *	2.2	4.0 *	1.5	4.0 *	1.0
31		3.8 *	1.7	2.3 *	1.8	3.3 *	1.1	2.4 *	1.8
33		2.5 *	1.8	1.0 *	1.5	2.8 *	1.0	1.8 *	1.4
35		1.1 *	1.2	-0.4 *	1.3	2.5 *	1.5	0.3 *	0.5
								0.3 *	2.4
								-0.5 *	1.4

Table. 12

Young's solution

Potassium citrate	0.81 Gm.
Magnesium sulfate	2.46 Gm.
Water q.s. to make 100 ml	
pH adjusted to 7.4 with NaHCO ₃	

Okamura's solution

20 % Glucose	10 ml
2 % CaCl ₂	10 ml
0.1% Noradrenalin	1 ml
Effortil (10 mg)	1 ml

Table 13 Experimental Results II-1

No. of Cases	Body weight (kg)	Cool- ing (min) upted	Cooling was sto- pped (°C)	The low- est B.Temp. (°C)	Respirat- ory arre- st (°C)	After drop of Circu- lation (°C)	Cessation of Circu- lation (min.)
1	13.5	119	20.0	19.1	25.0	0.9	63
2	15.0	96	19.6	19.0	24.0	0.6	60
3	11.0	69	19.8	19.6	24.5	0.2	48
Ave.	13.2	94.7	19.8	19.2	24.5	0.6	57
S.D.	2.0	25.0	0.2	0.3	0.5	0.4	7.9
1	11.0	72	23.0	22.1	25.0	0.9	30
2	11.0	83	23.0	20.5	26.0	2.5	22
3	12.0	86	20.5	19.8	29.0	0.7	20
4	8.5	59	23.0	22.2	27.0	0.8	29
5	8.5	62	23.0	21.5	25.0	1.5	29
Ave.	10.2	72.4	22.5	21.2	26.4	1.3	26
S.D.	1.6	12.1	1.1	1.0	1.7	0.8	0.8

No. of Cases	Circulation was interr- upted(°C)	Young's Solution (ml)	Cardiac beat re- appeared(°C)	Vital Sign	Room Temp. (°C)
1	19.9	10.0	-	+	24.0
2	19.9	7.0	22.2	+	24.0
3	20.2	9.0	-	+	22.8
Ave.	20.0	8.7			23.6
S.D.		1.5			0.7
1	22.4	6.0	-	+	24.5
2	20.5	9.0	-	+	25.9
3	19.8	12.0	-	+	29.1
4	21.8	8.0	23.0	+	31.0
5	21.5	10.0	-	+	29.0
Ave.	21.2	9.0			27.9
S.D.		2.2			2.6

Table 14 Experimental Results II-2

No. of Cases	Body weight (kg)	Cool- ing time (min.)	Cooling was sto- pped (°C)	Rewarm- ing (min.)	The low- est B.Temp. (°C)	After drop rest (°C)	Respira- tory ar- rest (°C)	Respira- tion re- appeared (°C)
1	10.0	60	23	117	22.1	0.9	27.0	26.0
2	9.0	62	23	126	21.3	1.7	25.0	28.0
3	9.0	81	23	152	21.5	1.5	27.0	27.0
4	7.0	43	23	139	20.5	2.5	25.0	23.0
5	8.5	64	23	128	21.3	1.7	25.5	27.0
6	10.0	60	23	127	21.2	1.8	27.2	27.0
Ave.	8.9	61.7	23	131.5	21.3	1.7	26.1	26.3
S.D.	1.1	12.1		12.2	0.5	0.5	1.1	1.8

No. of Cases	Cessation of Circula- tion (min.)	Circulation was inter- rupted (°C)	Young's Solution (ml)	Okamura's Solution (ml)	Cardiac beat re- appeared (°C)	Times of Electro- shock (°C)	Room temp. (°C)
1	33	22.1	10.0	19.5	22.3	2	21.0
2	34	21.9	8.0	10.5	21.2	1	18.5
3	40	21.8	10.0	10.0	21.6	1	19.3
4	38	20.9	13.0	16.0	20.5	2	15.5
5	38	21.4	9.6	12.0	23.0	18	15.5
6	46	21.4	13.0	19.0	21.2	5	14.0
Ave.	38.2	21.6	10.6	14.5	21.6	4.8	17.3
S.D.	4.7		2.0	4.2	0.9	6.6	2.7

No. of Cases	Coronary perfusion (ml)	Time required for recovery from the cardiac unconsciousness (min.)	Time required for resuscitation (min.)	Survival hr.(°)min.(')
1	110	346	4	7°41'
2	90	240	3	Survival
3	100	190	3	Survival
4	110	379	6'37"	48°
5	120	201	48	24°
6	160	250	10	7°50'
Ave.	115	267.7	12.3	
S.D.	24.3	77.6		

Table 15. Experimental Results III.

No. of cases		1	2	3	4	5	ave.	S.D.
Body weight(kg.)	R	8.0	11.0	7.5	8.1	6.0	8.1	1.8
	L	7.0	6.0	8.0	8.0	12.0	8.2	2.0
Cooling (min.)		62.0	92.0	69.0	69.0	54.0	69.2	12.7
		46.0	78.0	56.0	65.0	145.0	78.0	35.1
Rewarming (min.)		60.0	81.0	63.0	44.0	80.0	65.6	13.8
		70.0	68.0	68.0	50.0	157.0	82.6	37.9
The lowest body temperature(C)		22.1	21.2	22.7	22.5	22.0	22.1	0.6
		21.0	22.6	21.0	22.6	22.2	21.9	0.8
After drop (C)		0.9	1.8	0.3	0.5	1.0	0.9	0.6
		2.0	0.4	2.0	0.4	0.8	1.1	0.8
Cessation of circulation(min.)		44.0	40.0	38.0	34.0	40.0	39.2	3.6
		38.0	38.0	41.0	42.0	46.0	41.0	3.3
Open heart (min.)		37.0	38.0	33.0	31.0	37.0	35.2	3.0
		32.0	35.0	37.0	35.0	39.0	35.6	2.6
Time required for cardiac re-suscitation (min.)	2	1	1	1	2		1.4	0.5
	4	1	4	1	4		2.8	1.6
Coronary perfusion (min.)	2	2	2	2	3		2.2	0.4
	2	1	5	3	6		3.4	1.9

Table 16. Experimental Results IV-1.

NO. of cases	1	2	3	4	5	6	7	8	9	10	ave.
Body weight[Kg.]	8.5	10.0	14.0	14.5	11.0	9.0	13.0	14.0	13.0	10.0	11.7
Cooling [min.]	54	65	77	69	67	78	57	97	82	82	72.8
Rewarming [min.]	107	137	124	123	120	78	92	132	72	87	107.2
The lowest body temperature[°C]	21.2	20.5	21.2	21.0	21.7	21.2	21.5	22.5	22.6	21.9	21.5
After drop [°C]	1.8	2.5	1.8	2.0	1.3	1.8	1.5	0.5	0.4	1.1	1.5
Cessation of circulation[min.]	46	51	51	39	60	44	41	46	31	40	44.9
Open heart[min.]	39	40	38	35	41	37	32	39	28	32	36.1
Cardiac beat reappeared [°C]	21.4	20.5	21.4	21.3	22.2	21.2	21.5	22.5	23.0	21.9	21.7
Time required for cardiac resuscitation[min.]	4	3	8	4	27	1	1	3	1	4	5.6
for recovery from unconsciousness [min.]	520	390	416	402	510	240	520	502	540	500	454.0
Coronary perfusion [ml.]	400	400	450	250	430	300	280	320	180	240	325

Table 17. Experimental Results IV-2.

No. of cases	1	2	3	4	5	6	7	8	9	10	ave.
Body weight[Kg.]	13.5	16.0	11.0	11.0	5.0	8.0	10.0	13.0	12.0	8.0	10.8
Cooling [min.]	122	129	77	96	68	68	63	70	74	60	82.7
Rewarming [min.]	117	108	75	88	84	102	110	120	90	85	97.9
The lowest body temperature[°C]	22.5	22.5	22.3	22.5	21.2	20.9	20.3	20.4	22.0	21.5	21.6
After drop [°C]	0.5	0.5	0.7	0.5	1.8	2.1	2.7	2.6	1.0	1.5	1.4
Cessation of circulation[min.]	43	35	33	35	46	53	38	39	46	50	41.8
Open heart[min.]	32	32	31	32	45	45	33	34	41	43	36.8
Cardiac beat reappeared [°C]	23.5	23.5	24.0	24.0	21.2	20.9	21.2	21.3	22.5	22.0	22.4
Time required for cardiac resuscitation[min.]	5	2	1	3	2	4	5	3	7	8	4.0
for recovery from unconsciousness [min.]	480	530	547	610	270	530	420	550	605	380	492.2
Coronary perfusion [ml.]	430	400	250	310	420	760	400	300	420	500	419.0

STUDIES ON THE DEEP HYPOTHERMIA OF THE DOG.

TAKUO SHIDA

Department of Veterinary Surgery, Azabu Veterinary College.

(Director : Prof. Dr. Takashi Kita)

Hypothermia has intrigued scientists for many years with reports appearing as early as the 18 th century. In 1862, cold narcosis of degree sufficient to permit surgery was demonstrated by Walther. This was confirmed and extended by Bakamat'ev in 1902, who observed that a state of poikilothermy could be produced in warm blooded hypothermic animals. During the next 40 years, which has been called the golden era of physiology, hypothermia served as a tool for the study of basic biological mechanisms. Modern emphasis on hypothermia in the homeotherm is largely the result of its potential in therapy of human ills, especially in cardiovascular surgery. A number of workers demonstrated that during hypothermia the circulation could be stopped for prolonged periods of time in the 1940's and early 1950's. But it was not until 1950 that a study was carried out for the expressed purpose of applying hypothermia to cardiovascular surgery.

The heart appears to lag behind other tissues with only a 50 % reduction in oxygen consumption at 25 C. Reduction of temperature of vital cells depress metabolism and thus enables the cells to withstand longer periods of hypoxia. (At 77 F. circulation to brain can be stopped for 15 minutes, compared to a maximum of 3 minutes at 98 F.).

Surface-induced hypothermia is the simplest of the methods that have been used to achieve circulatory stasis for prolonged periods, thus providing ample time for open heart surgery. Hypothermic circulatory stasis has been used for a variety of surgical procedures, viz., experimental replacement of the aortic valve, total atrial septum

replacement, experimental orthotopic cardiac replacement, closure of ventricular septal defect, surgery of brain and liver, and replacement of the mitral valve. This form of circulatory stasis has also been used successfully for the correction of various congenital defects in infant and was utilized for heart transplantation in an infant.

Hypothermia can be induced either by surface cooling techniques or by extracorporeal techniques. Because extracorporeal techniques require complicated equipment and are associated with high mortality among infants, surface-induced deep hypothermia elective cardiac arrest is the preferred procedure. Cardiopulmonary bypass allows the heart to be arrested for a sufficient amount of time to permit surgical correction to be carried out. But small animals (10 kg. or less) do not tolerate cardiopulmonary bypass procedures well. Trauma to the formed elements in the blood, damage to pulmonary capillaries and hemorrhage from suture lines due to heparinization all appear to be factors in increasing the overall surgical risk.

Surface-induced hypothermia provides excellent exposure of the heart, along with a dry, bloodless, and motionless operative field. The fact that caval and coronary cannulas are not needed, thus allowing an unobstructed view, has been cited as another advantage. The additional time necessary for cooling and rewarming is a minor factor, considering the overall simplicity, economy, and safety of technique. Since it is the only one requiring a minimum of staff with simple equipment, body surface cooling will be the only practicable method of

producing hypothermia in canine surgery.

Catecholamine production in hypothermic dogs is impaired during cooling. This is perhaps beneficial as one effect of both epinephrine and norepinephrine is to sensitized the myocardium to fibrillation by their effect on slow diastolic depolarization. Blood levels of the catecholamines increases sharply immediately following reestablishment of the circulation and will then taper off as rewarming occurs. Both epinephrine and norepinephrine are present in greater amounts during rewarming than at corresponding temperatures during cooling.

A left shift of the oxygen-hemoglobin disassociation curve results in oxygen being released in tissue at a partial pressure considerably less than under normothermic conditions. More oxygen is dissolved in plasma at lower temperature and is readily available to tissues if sufficient oxygen is delivered to the lungs. Oxygen transport across membranes is not impaired by lowered body temperature. Carbon dioxide production falls but its solubility also increases at the lower temperature. This can be significant as there is a tendency to hypoventilate at lower body temperatures. High levels of carbon dioxide can cause large decreases in pH which become evident during rewarming and may compromise myocardial function.

Still, a method of surface induced deep hypothermia carries 4 inherent disadvantages : the threat of ventricular fibrillation : the danger of neurologic damage ; the probable occurrence of rewarming shock and the difficulty of cardiac resuscitation. This investigation was

undertaken to find ways to eliminate these hazards.

Then the purpose of this study was to accomplish an method of surface induced deep hypothermia of the dog which would be highly suitable for open heart surgery under complete circulatory arrest for periods of up to 40 minutes.

1. The effects of deep hypothermia and developing new method of deep hypothermic anesthesia in the dog.

Ten dogs of mixed breeding, about 1 year old and weighing between 11.0 and 13.5 kg., allotted to 2 groups.

(Group 1)

Dogs in group 1 underwent the simple procedure of cooling which performed by body surface cooling with pentobarbital sodium (25mg./kg. I.V.) to 20 C. to serve as controls.

Anesthesia was induced with pentobarbital sodium. Femoral vessels were cannulated to measure arterial blood pressure and central venous pressure, for collection of blood samples. Midesophageal temperature was constantly recorded on a telethermometer. Electrocardiographic monitoring (limb lead II) was done throughout the procedure. The arterial and central venous blood samples for oxygen tension (PO₂), carbon dioxide (PCO₂), pH, Base Excess, and packed cell volume determinations were obtained at each 2- to 4- C. gradation in temperature.

Cooling was accomplished with crushed ice and cold water with a plastic sheet interposed between the body of the dog and the water. Active cooling was discontinued when esophageal temperature reached 21 C..

Observations and Results.

Cooling (to 21 C.) required 110 ± 16.4 minutes with a range of 84 to 135 minutes, and falling rate of body temperature was $0.15^{\circ}\text{C}/\text{min}$. In cooling process, shivering appeared when esophageal temperature reached 35°C ., and it continued to 29°C .. Respiration stopped when esophageal temperature reached $23.9 \pm 0.3^{\circ}\text{C}$. with a range of 23.0 to 25.0°C .. Heart rate was 110 ± 15 /min. at controled value. It decreased gradually during cooling, at 21 C. it was one-fourth the controled value. The electrocardiographic changes were a prolonged PQ, QT, ST, TP interval and widened QRS. Ventricular fibrillation or asystole developed in all cases when esophageal temperature reached 21 to 20 C. The systoric pressure in the femoral artery were decresesed to 23.6 per cent of controled value at 21 C.. Central venous pressures were increased remarkably in accordance with decrease in body temperature. It was $10.2 \pm 1.8 \text{ mmHg}$. at 21 C.. Blood pH, oxygentention and Base Excess were decreased to 6.84 ± 0.05 , $22.4 \pm 6.2 \text{ mmHg}$. and $-19.7 \pm 2.6 \text{ mEq/l}$ and carbon dioxide tention was increased to $99.7 \pm 0.5 \text{ mmHg}$. at 21 C.. In blood gas analysis, severe hypoxia, hypercapnia and acidemia were observed under hypothermic conditions. The packed cell volumes were

increased remarkably in accordance with a decrease in body temperature, it were 45.0 ± 7.0 % at the lowest temperature.

As a result of hypothermia with pentobarbital sodium, all dogs were dead when esophageal temperature reached 21 to 20 C.. The causes of death were thought to occur severe metabolic acidosis, hypercapnia, hypoxia, sludging and disturbance of peripheral circulation under hypothermic conditions.

(Group 2)

Dog in group 2 underwent the hypothermic anesthesia whose method was contrived by auther to 21 C. and rewarming after 1 hour.

Hydroxyzine hydrochloride (0.5 mg/kg. of body weight) and atropine sulfate (0.025 mg/kg.) were given intramusculy 1 hour prior to cooling. Triflupromazine hydrochloride (0.5 mg/kg.), atropine sulfate (0.025 mg/kg.), hydroxyzine hydrochloride (0.5 mg/kg.) and hydrocortisone sodium succinate (10 mg/kg.) were given intramusculy 30 minutes prior to cooling. Anesthesia was induced with thiopental sodium and, aftrer endotracheal intubation, was maintained at deep levels with ether administtered via a semiclosed circuit.

Femoral vessels and jugular vein were cannulated to measure arterial blood pressure and central venous pressure, for collection of blood samples, and for infusion. Midesophageal temperature was constantly recorded on a telethermometer. Electrocardiographic monitoring (limb lead II) was done throughout the procedure. The arterial and central venous blood samples for PO_2 , PCO_2 , pH and packed cell volume deter-

minations were obtained at each 2- to 4- C. gradation in temperature. Crushed ice was placed over the entire body of each dog. Low molecular weight dextran (10 %) in dextrose was administered I.V. (10-15ml/kg.) during cooling between 35 and 21 C.. Heparin sodium was administered I.V. (1mg/kg.) at 30 C. in esophageal temperature. Ether was continued down to 23 ± 2 C. so as to prevent shivering.

Active cooling was discontinued when body temperature reached 21 C.. The dog was removed from the ice bath and it placed on the operating table for 1 hour.

After 1 hour, slow rewarming was accomplished with warm water (42 to 44 C.) with a plastic sheet interposed between the body of the dog and the water. Ether was administered in the ventilating gas to control spontaneous movements and shivering. Active rewarming was discontinued when body temperature reached 36 C.. The dogs were observed after 3 days.

Observation and Results.

Cooling (to 21 C.) required 79.0 ± 14.9 minutes with a range of 64 to 101, and falling rate of body temperature was 0.16 C./min.. Respiration stopped when esophageal temperature reached 26.1 ± 1.2 C. with a range of 24.0 to 27.0 C.. When the dog reached a deep esophageal temperature of 21 C. it was removed from the ice bath. Because of the phenomenon known as " after drop ", the body temperature continued to fall, the lowest body temperature was 20.3 ± 0.7 C. with a range of 19.6 to 21 C..

After 1 hour, slow rewarming was accomplished with warm water. The increasing rate of body temperature was 0.15 C/min., respiration reappeared when esophageal temperature reached 27.2 ± 0.6 C. with a range of 26.5 to 28.0 C.. In rewarming process, shivering appeared at 33 to 34 C., laryngo-pharyngeal and palpebral reflex was remarkably. All dogs were sufficiently awake at 35 C. so as to continue their respiration unassisted. These dogs were survivors without apparent functional damage.

2. The effect of complete circulatory arrest and consideration for the cardiac resuscitation under the deep hypothermia in the dog.

Fourteen dogs of mixed breeding, about 1 year old and weighing between 7 and 13.5 kg., allotted to 2 groups of 8 and 6 dogs each.

(Group 1)

Active cooling was discontinued when body temperature reached 21 C.. The heart was exposed through a right 5 th intercostal incision or sternal incision. The azygos vein and vena cava were ligated, using umbilical tape. After a few beats had emptied the heart, the aorta and pulmonary artery were ligated, and Young's solution was forcefully injected into the aortic root by aortic puncture.

After about 40 minutes, the vascular ligations were released - first inflow, then out-flow and ventilation and manual cardiac

compression were started. Okamura's solution was used as and when required to facilitate resuscitation. If ventricular fibrillation developed, a.c.shock was performed.

All dogs died because of the impossibility of cardiac resuscitation. These resulted from the torsion of aortic root and disturbance of coronary circulation. Necropsy of these 8 dogs revealed pulmonary edema and hemorrhagic lesion under endocardium.

(Group 2)

Active cooling was discontinued when body temperature reached 21 C.. The heart was exposed through a right 5 th intercostal incision. The azygos vein and vena cava were ligated, using umbilical tape. After a few beats had emptied the heart, the aorta and pulmonary artery were ligated, and Young's solution was forcefully injected into the aortic root through the catheter.

After 40 minutes, the coronary perfusion of oxygenated blood was started. If ventricular fibrillation developed, it was terminated with 110- to 120- V. a.c.shock. When cardiac beat reappeared, the vascular ligations were released and ventilation was started. After the closure of thoracic wall, slow rewarming was accomplished with warm water with a plastic sheet interposed between the body of the dog and the water. Ether was administered in the ventilating gas to control spontaneous movements and shivering. Active rewarming was discontinued when body temperature reached 36 C..

Cooling required 61.7 ± 12.0 /min. with a range of 60 to 81 minutes, respiration stopped when esophageal temperature reached 26.1 ± 1.1 C.. The lowest body temperature was 21.3 ± 0.5 C. with a range of 20.5 to 22.1 C.. Surface induced deep hypothermia allowed safe cardiac arrest for 38.2 ± 4.7 minutes. Dogs were not ventilated during the period of circulatory arrest.

After cardiac beat reappeared, heart rate increased gradually during rewarming. It recovered to controlled value at 35 C.. In electrocardiographic changes, ventricular premature contractions occurred in all cases when esophageal temperature reached 23 C, the notch on R spike observed a few case. The systolic pressure in the femoral artery were 119.6 ± 21.3 mmHg at 35 C.. Central venous pressure were decreased remarkably in accordance with increase in body temperature. It was -0.36 ± 1.3 mmHg at 35 C.. In blood gas analysis, blood pH, oxygen tension and Base Excess were decreased to 7.27 ± 0.12 , 256.7 ± 95.3 mmHg and -12.4 ± 6.4 mEq/l after circulatory arrest. Arterio-venous oxygen difference increased remarkably in rewarming process. The packed cell volume was decreased remarkably in accordance with a increase in body temperature after circulatory arrest, it was 29.4 ± 5.3 % at 35 C..

In dogs of group 2, the method of hypothermia has permitted complete circulatory arrest for periods of up to 38.2 minutes. All dogs were sufficiently awake at 35 C. so as to continue their respiration unassisted. These dogs were survivors without apparent neurologic damage.

3. Right and left atriotomy under complete circulatory arrest and deep hypothermia on the dog.

Ten dogs of mixed breeding, about 1 year old and weighing between 6.0 and 12.0 kg., allotted to 2 groups.

(group 1)

The hypothermic anesthesia which was contrived by author was performed all dogs. When the dog reached a esophageal temperature of 23 C., it was removed from the ice bath. The surgical site was prepared for sterile surgery and the dog placed on the operating table. The heart was exposed through a right 4 th intercostal incision. A right atrial incision extending from posterior vena cava to right auricle was made under the circulatory stasis and the elective cardiac arrest. 35.2 ± 3.0 minutes later, the atrial wound was closed by continuous suture. The method of coronary perfusion, cardiac resuscitation and rewarming were same as chapter 2.

Right atriotomy of 35.2 ± 3.0 minutes' duration was well tolerated, without any gross evidence of postoperative neurologic or circulatory damage at hypothermia of 20 to 23 C.. All dogs were sufficiently awake at 38 C. so as to continue their respirations unassisted. These dogs were long-term survivors without apparent neurologic damage. Central venous pressure was increased remarkably after atriotomy, it was 2.5 ± 1.5 mmHg at 35 C.. In one dog, atrial fibrillation developed as esophageal temperature increased beyond 27 C.. Their post operative status was excellent

and their follow-up did not reveal any particular change in their behavior.

(Group 2)

Dog in group 2 underwent the hypothermic anesthesia whose method was contrived by author to 23 C.. The heart was exposed through a left 4 th intercostal incision and a left atrial incision extending from left auricle to pulmonary vein was made under complete circulatory arrest for periods of up to 41.0 minutes.

In three dogs, coronary air embolism resulted from open heart surgery was found, femoral arterial pressure decreased from 77.9 ± 22.9 to 45.5 ± 15.0 mmHg. Frequent premature ventricular contractions or runs of ventricular tachycardia developed as esophageal temperature increased beyond 27 to 29 C.. But as the body temperature increased beyond 30 C., heart action and blood pressure recovered gradually ; at 35 C. heart rate ranged between 150 and 160 /min., femoral arterial pressure was 100.8 ± 11.8 mmHg. When the dogs were warmed up, they return to normal. Arrhythmias such as atrioventricular block, frequent premature ventricular contractions, atrial fibrillation or ventricular tachycardia were not observed in their post operative status.

4. Right ventriculotomy under complete circulatory arrest and deep hypothermia on the dog.

Twenty dogs of mixed breeding, about 1 year old and weighing between

5.0 and 16.0 kg., allotted to 2 groups.

(Group 1)

The hypothermic anesthesia which was contrived by author was performed all dogs. When the dog reached a esophageal temperature of 23 C., it was removed from the ice bath. The surgical site was prepared for sterile surgery and the dog placed on the operating table. The heart was exposed through a right 5 th intercostal incision. Right ventricular incision extending from coronary groove to apex was made under circulatory stasis and the elective cardiac arrest. 36.1 ± 4.2 minutes later, the right ventricular wound was closed by double continuous suture. The method of coronary perfusion, cardiac resuscitation and rewarming were same as chapter 2..

The time required for cardiac resuscitation was 5.6 ± 3.8 minutes after right ventricular transverse incision. Heart rate, maximal arterial pressure, blood pH and Base Excess recovered gradually in accordance with a increase in body temperature. In the electrocardiogram, the noch on R spike observed all cases when body temperature reached 23 to 25 C..

(Group 2)

Dog in group 2 underwent the hypothermic anesthesia whose method was contrived by author to 23 C.. The heart was exposed through a right 5 th intercostal incision, and a right ventricular longitudinal incision extending from pulmonary conus to apex was made under complete circu-

latory and cardiac arrest for periods of up to 40 minutes.

The time required for cardiac resuscitation was 4.0 ± 2.3 minutes after right ventricular longitudinal incision. Cardiac activity was regained after coronary perfusion of oxygenated blood sometimes without ever passing through ventricular fibrillation. Rewarming started immediately after cardiac resuscitation, the body temperature recovered to the normal within 97.9 ± 15.5 minutes on an average. Heart rate, maximal arterial pressure, blood pH, Base Excess and central venous pressure recovered gradually in accordance with a increase in body temperature. The notch on R spike in the electrocardiogram observed all cases same as group 1. Premature ventricular contractions or runs of ventricular tachycardia developed many times as esophageal temperature increased beyond 23 to 25 C.. But they return to normal when the dogs were warmed up to normothermia. Right ventriculotomy of 40 minutes' duration was well tolerated, without any gross evidence of postoperative neurologic or circulatory damage.

The method of surface induced deep hypothermia and coronary perfusion which were contrived by author permitted deep hypothermia(20 C.) for an hour, complete circulatory stasis under cardiac arrest for periods of up to 38.2 minutes, right and left atriotomy and right ventriculotomy under complete circulatory arrest for period of up to 35 minutes. All dogs were sufficiently awake at 38 C. on rectal temperature so as to continue their respirations unassisted. These dogs were

longe-term survivors without apparent circulatory or neurologic damage.

In dogs, this deep hypothermia and the method of cardiac resuscitation would be highly suitable for open heart surgery.